

Abbildung 5.1: Keramik: $h_{\text{Scherbe}} = f(\text{Warenart})$

(Zahlenwerte zur Abb. siehe Tab. 5.1)

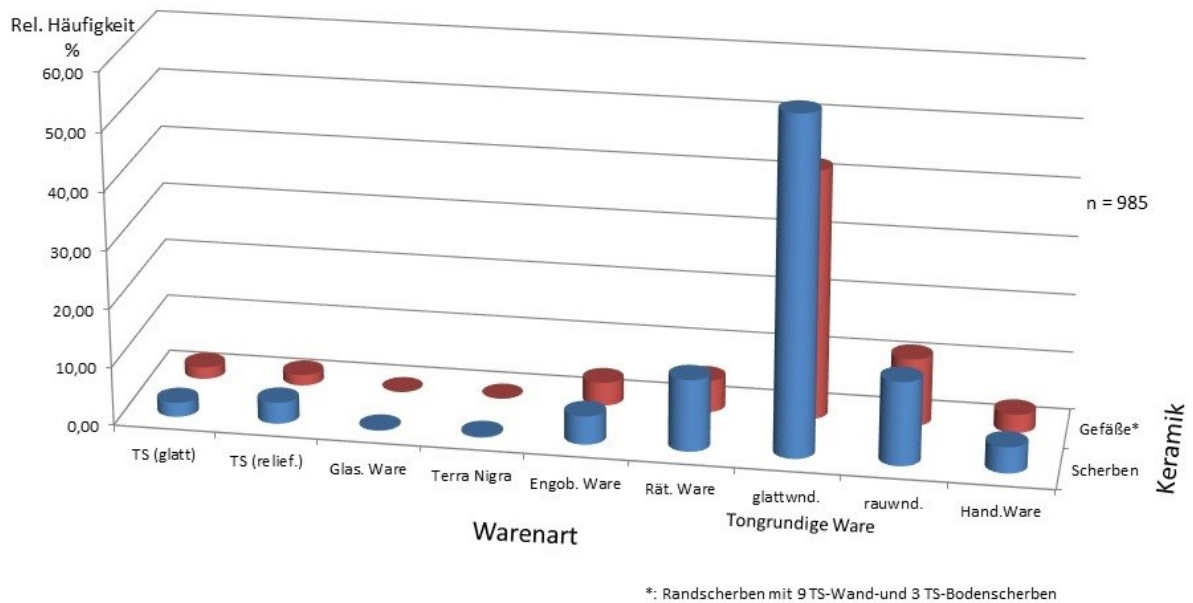


Abbildung 5.2: Keramik: $h_{\text{Objekt}} = f(\text{Warenart}, (\text{Gefäße}^*, \text{Scherben}))$ über alle Funde

(Zahlenwerte zur Abb. siehe Tab. 5.2)

*: Randscherben, 9 TS-Wand und 3 TS-Bodenscherben

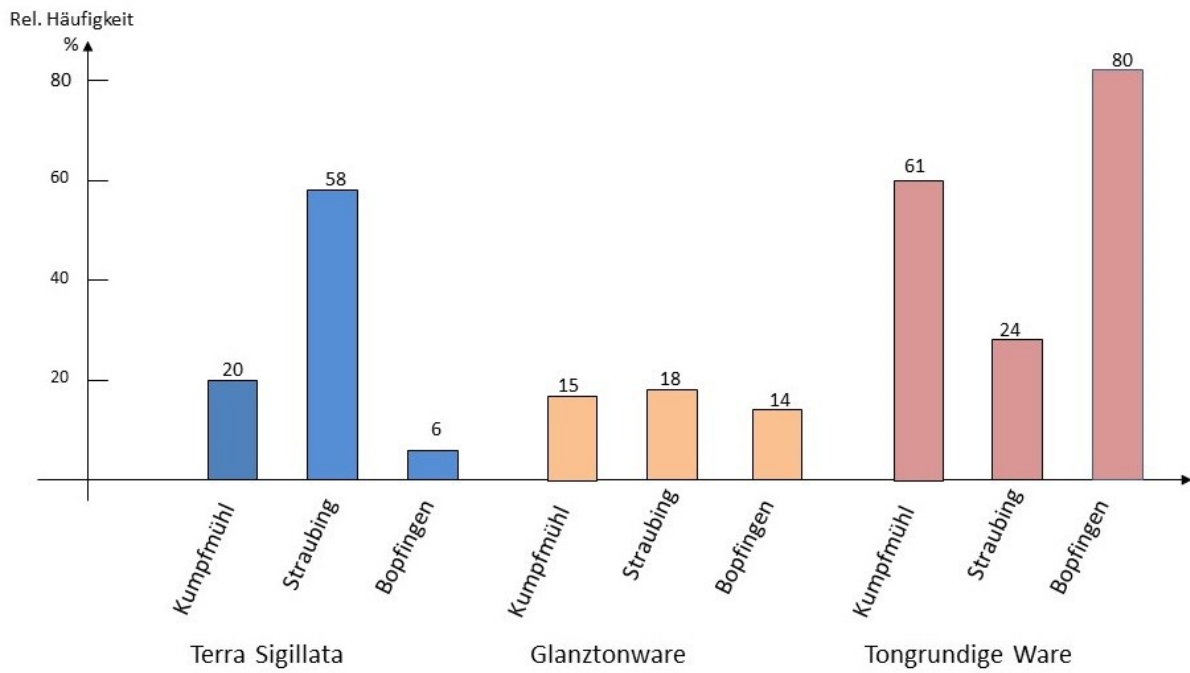


Abbildung 5.3: Fundspektren von Regensburg-Kumpfmühl, Straubing und Bopfingen

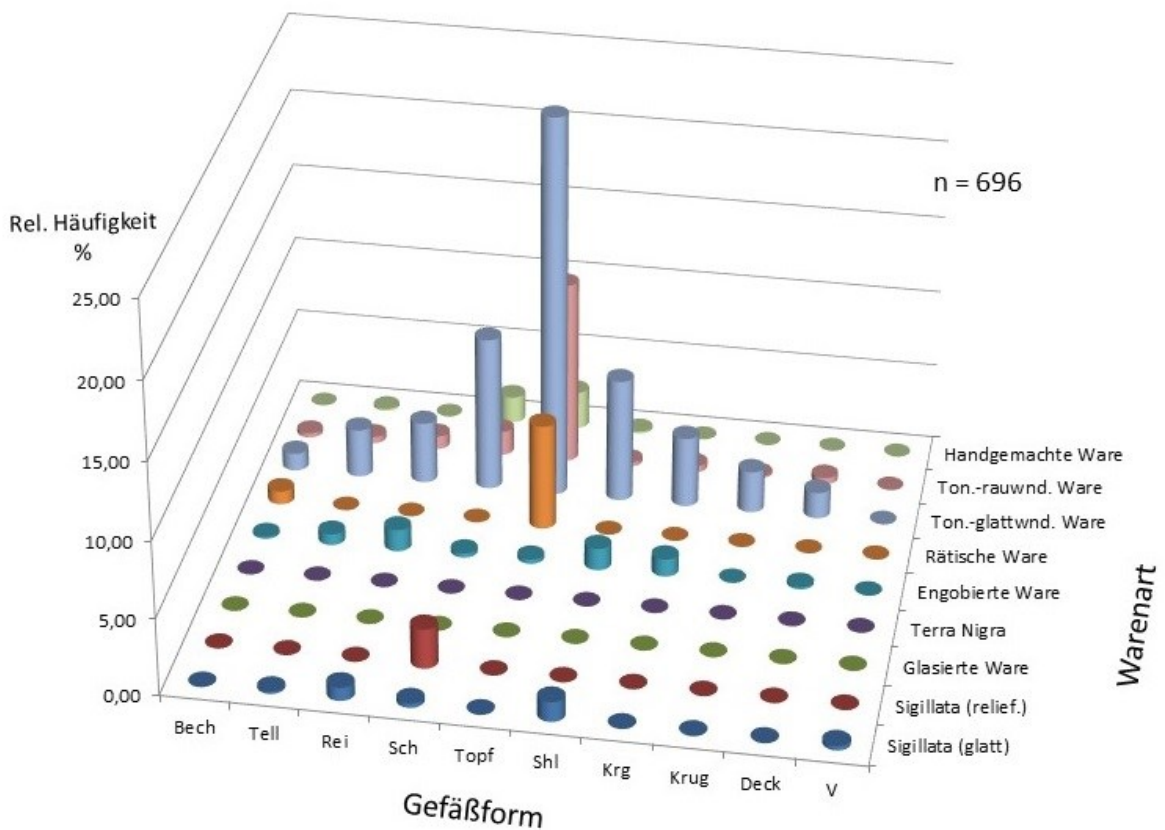


Abbildung 5.4: Keramik: $h_{\text{Gefäße}^*} = f(\text{Gefäßform}, \text{Warenart})$ über alle Funde
(Zahlenwerte zur Abb. siehe Tab. 5.3)

*: Randscherben, 9 TS-Wand und 3 TS-Bodenscherben

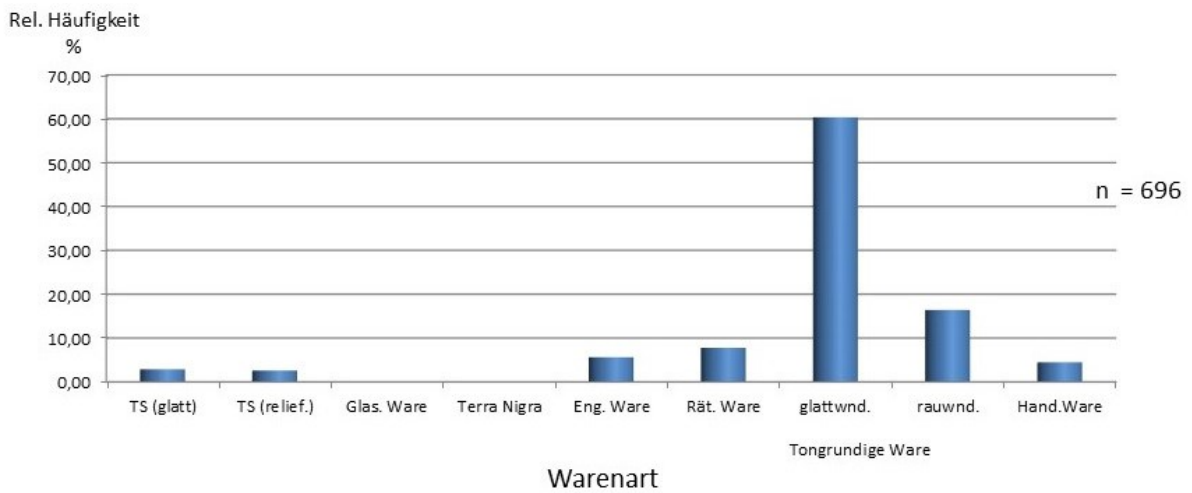


Abbildung 5.5: Keramik: $h_{\text{Gefäße}^*} = f(\text{Warenart})$ über alle Funde
(Zahlenwerte zur Abb. siehe Tab. 5.12)

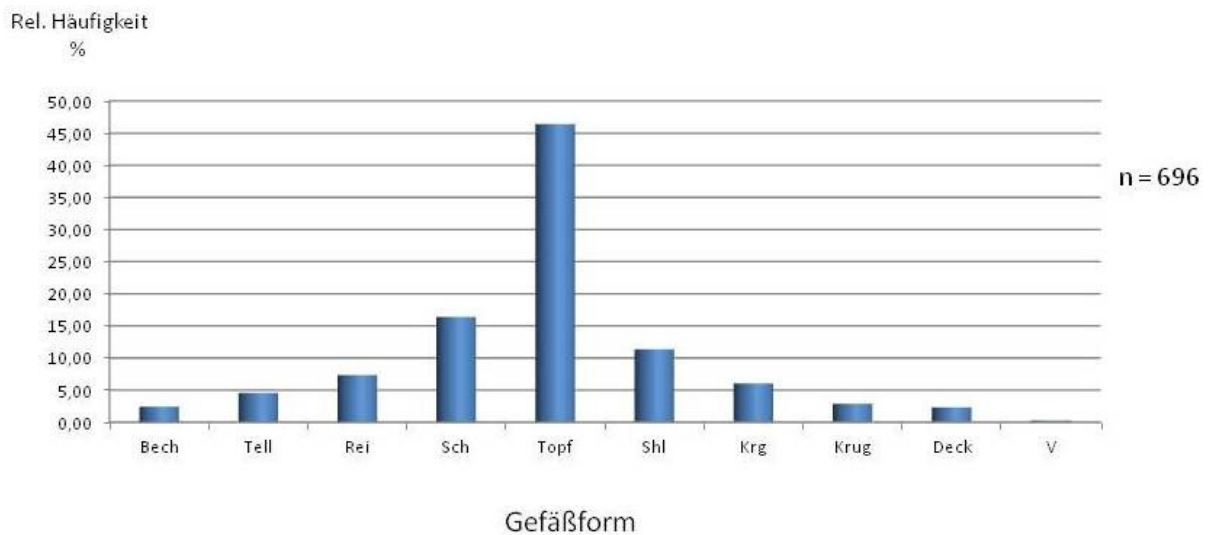


Abbildung 5.6: Keramik: $h_{\text{Gefäße}^*} = f(\text{Gefäßform})$ über alle Funde
(Zahlenwerte zur Abb. siehe Tab. 5.13)

*: Randscherben, 9 TS-Wand und 3 TS-Bodenscherben

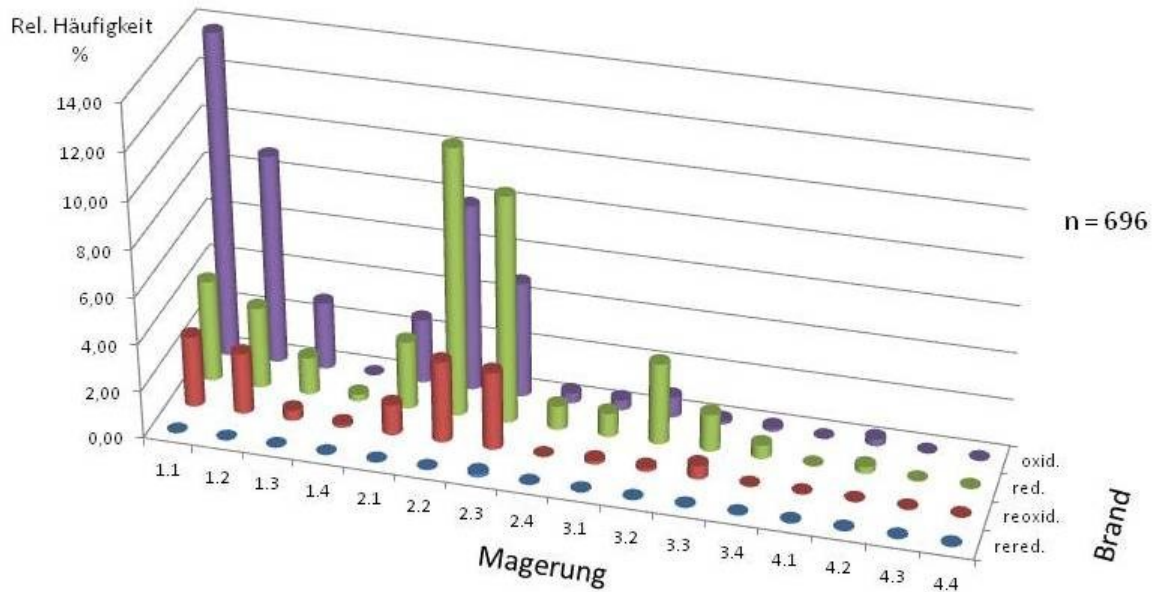


Abbildung 5.7: Keramik: $h_{\text{Gefäße}^*} = f(\text{Magerung}, \text{Brand})$ über alle Funde
(Zahlenwerte zur Abb. siehe Tab. 5.14)

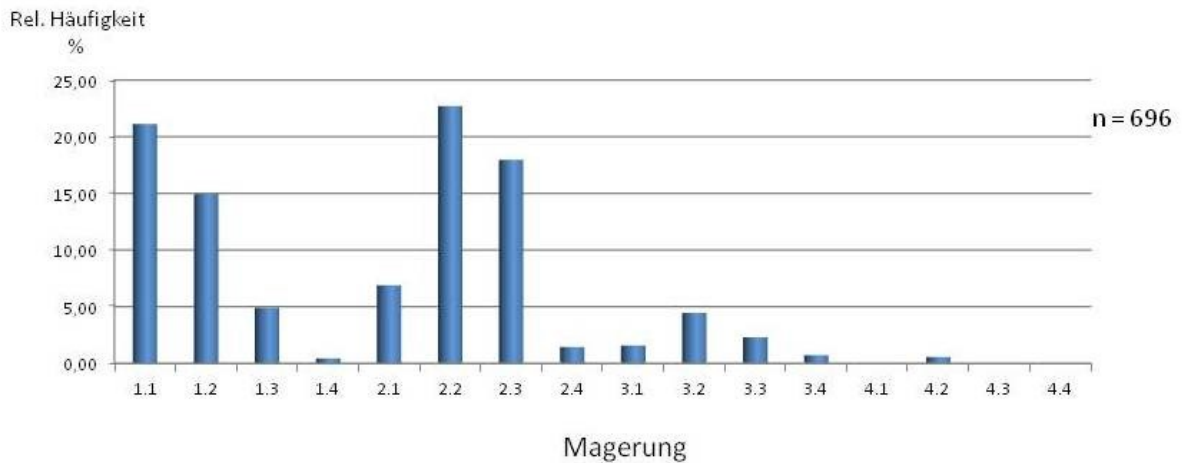


Abbildung 5.8: Keramik: $h_{\text{Gefäße}^*} = f(\text{Magerung})$ über alle Funde
(Zahlenwerte zur Abb. siehe Tab. 5.15)

*: Randscherben, 9 TS-Wand und 3 TS-Bodenscherben

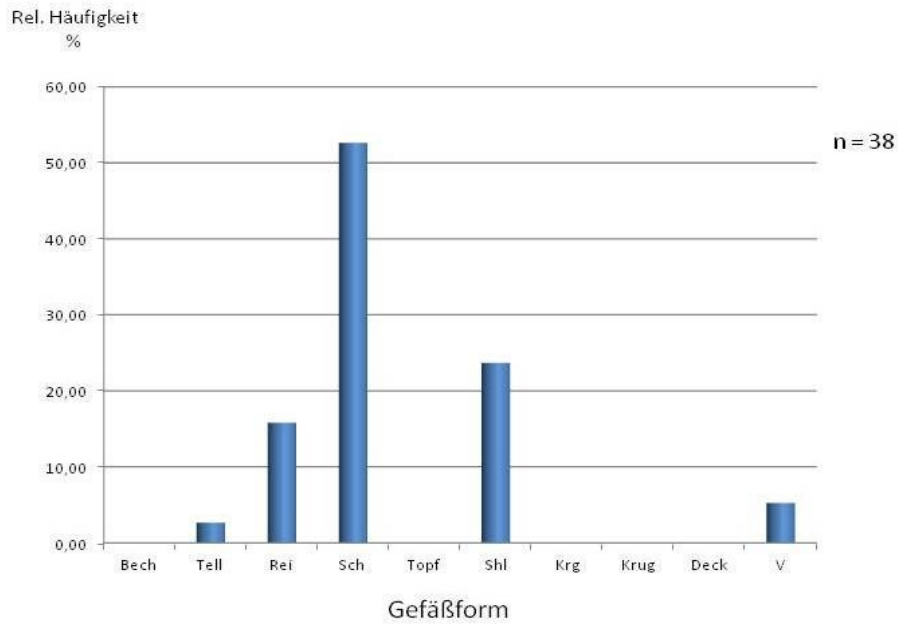


Abbildung 5.9: Sigillata: $h_{\text{Gefäße}^*} = f(\text{Gefäßform})$ über alle Funde
(Zahlenwerte zur Abb. siehe Tab. 5.16)

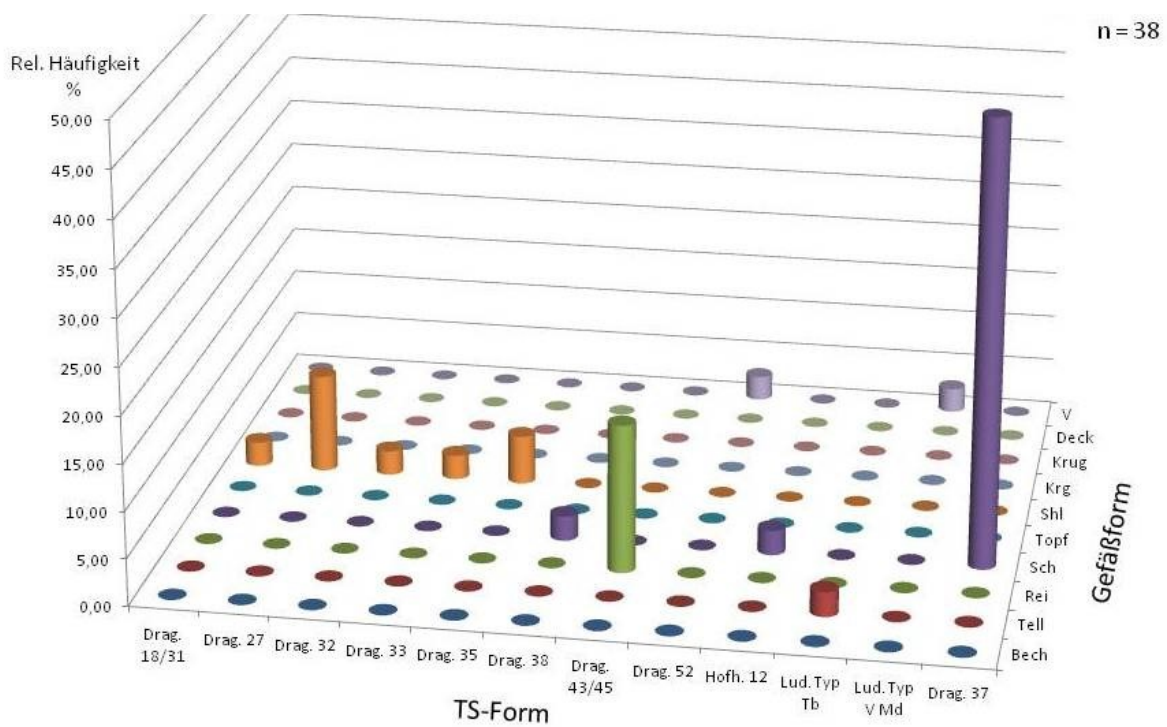
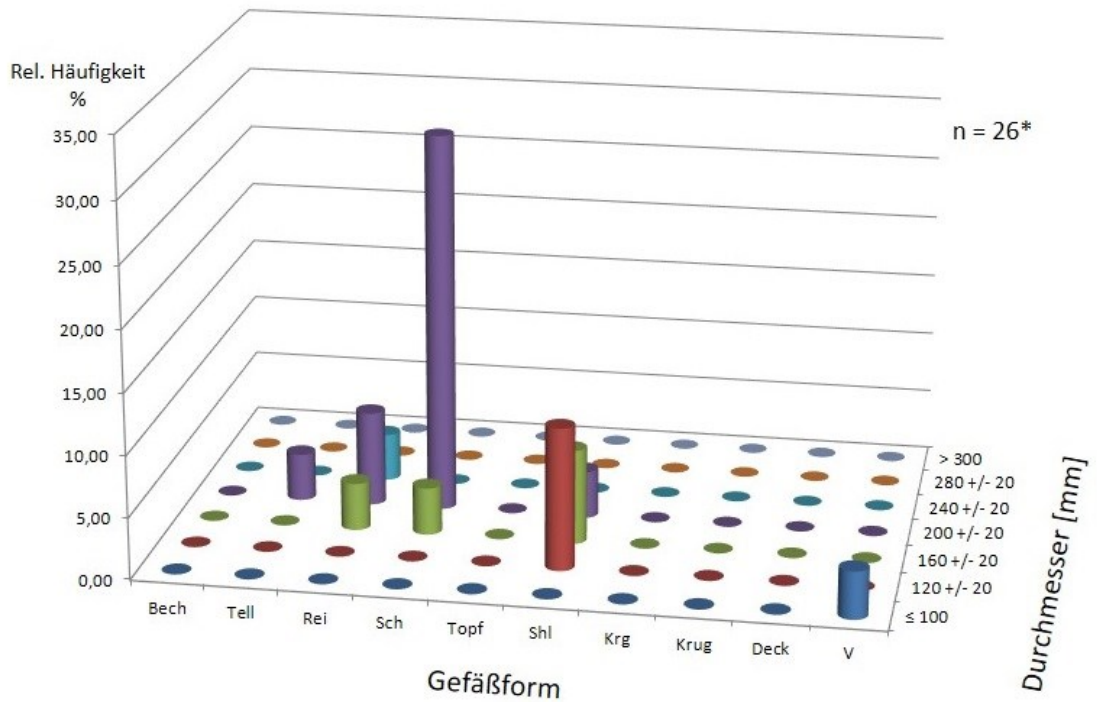


Abbildung 5.10: Sigillata: $h_{\text{Gefäße}^*} = f(\text{TS-Form}, \text{Gefäßform})$ über alle Funde
(Zahlenwerte zur Abb. finden sich in Tab. 5.17)

*: Randscherben, 9 TS-Wand und 3 TS-Bodenscherben



*: Es fehlen die 9 TS-Wand- und die 3 TS-Bodenscherben

Abbildung 5.11: Sigillata: $h_{\text{GefäÙe}} = f(\text{GefäÙform, Durchmesser})$ über alle Funde
(Zahlenwerte zur Abb. finden sich in Tab. 5.18)

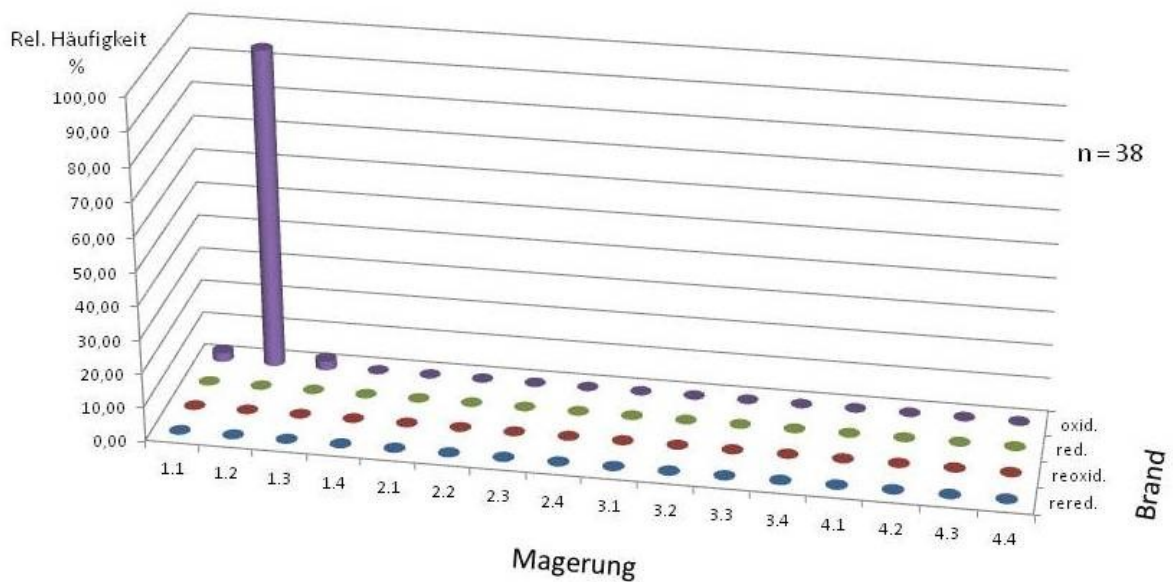


Abbildung 5.12: Sigillata: $h_{\text{GefäÙe}^*} = f(\text{Magerung, Brand})$ über alle Funde
(Zahlenwerte zur Abb. siehe Tab. 5.19)

*: Randscherben, 9 TS-Wand- und 3 TS-Bodenscherben

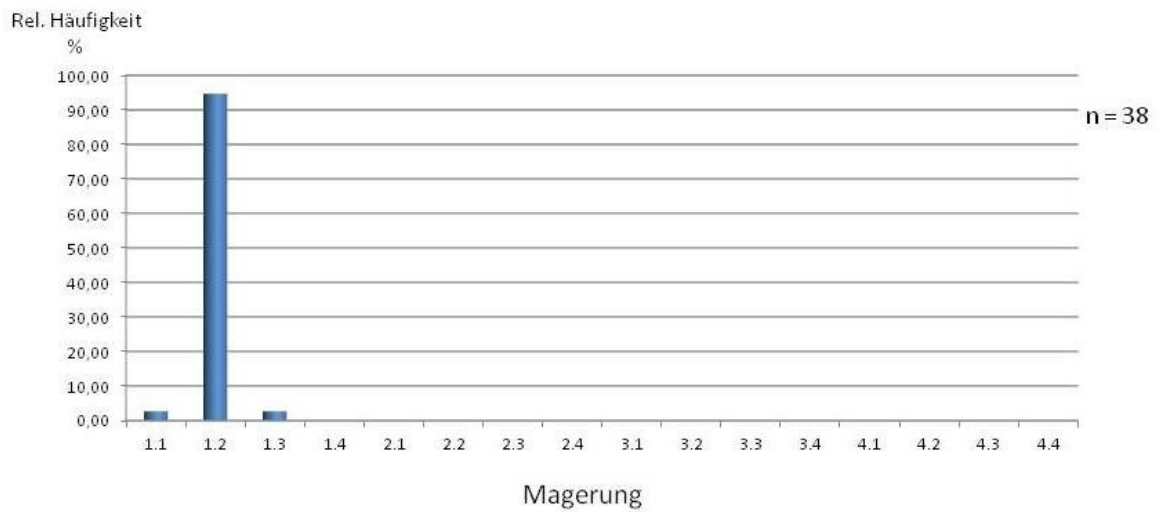


Abbildung 5.13: Sigillata: $h_{\text{Gefäße}^*} = f(\text{Magerung})$ über alle Funde
(Zahlenwerte zur Abb. siehe Tab. 5.20)

*: Randscherben, 9 TS-Wand- und 3 TS-Bodenscherben

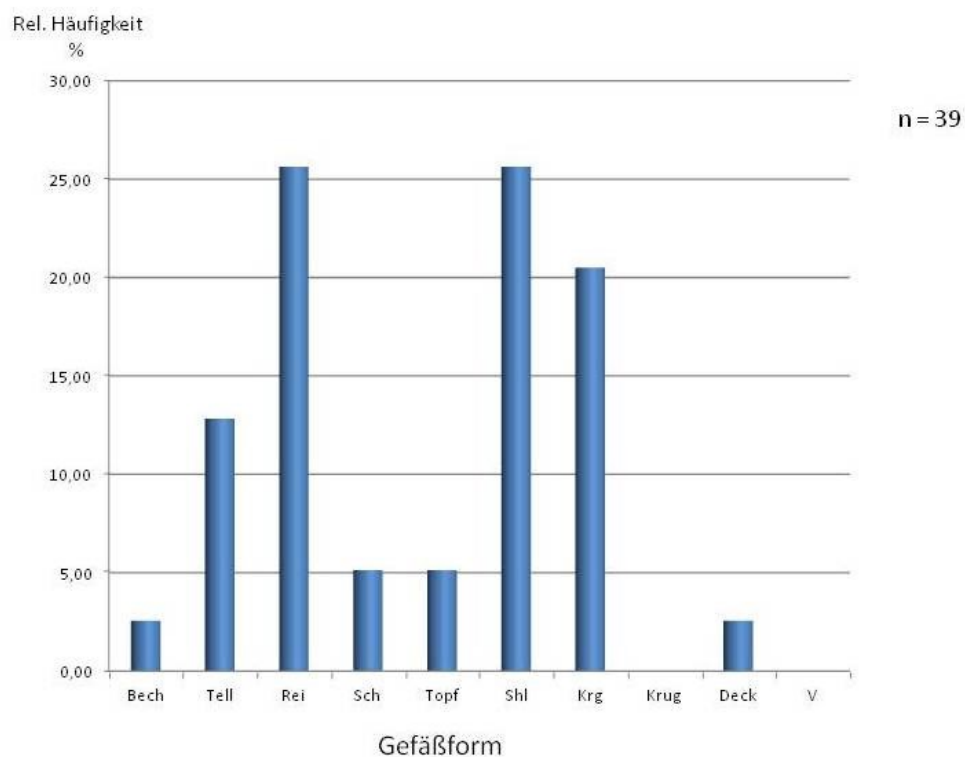


Abbildung 5.14: Engobierte Ware: $h_{\text{Gefäße}} = f(\text{Gefäßform})$ über alle Funde
(Zahlenwerte zur Abb. siehe Tab. 5.22)

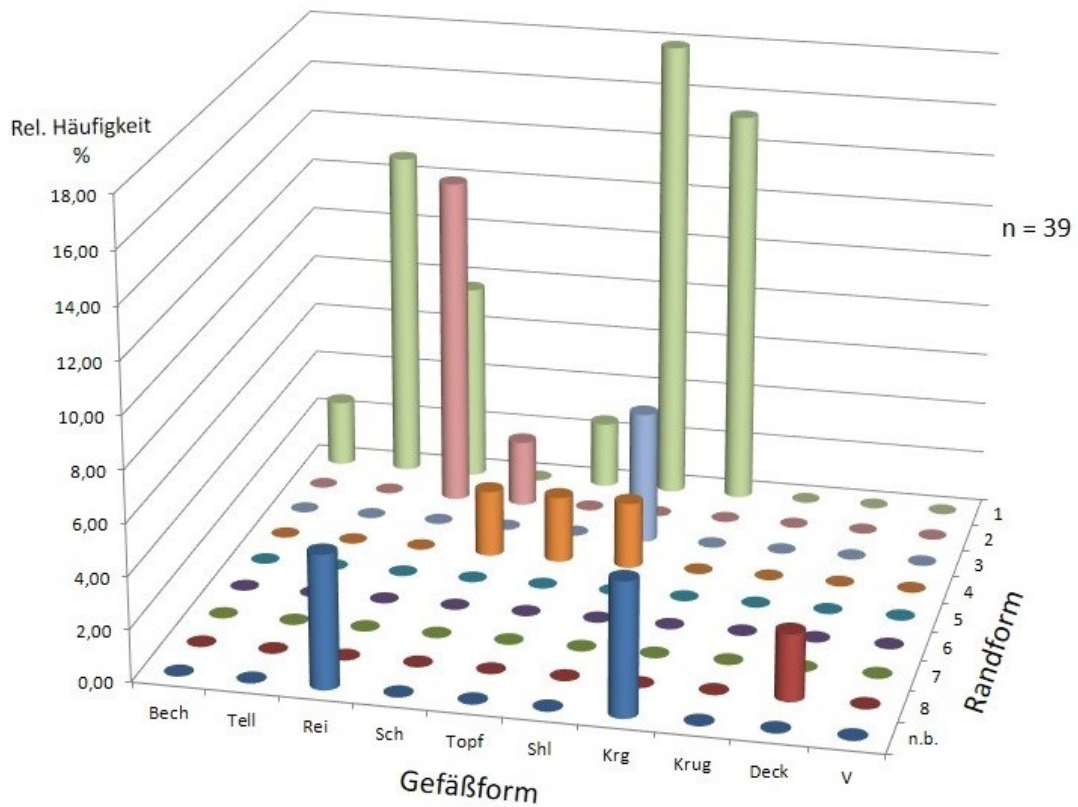


Abbildung 5.15: Engobierte Ware: $h_{\text{Gefäße}} = f(\text{Gefäßform}, \text{Randform})$ über alle Funde
(Zahlenwerte zur Abb. siehe Tab. 5.23)

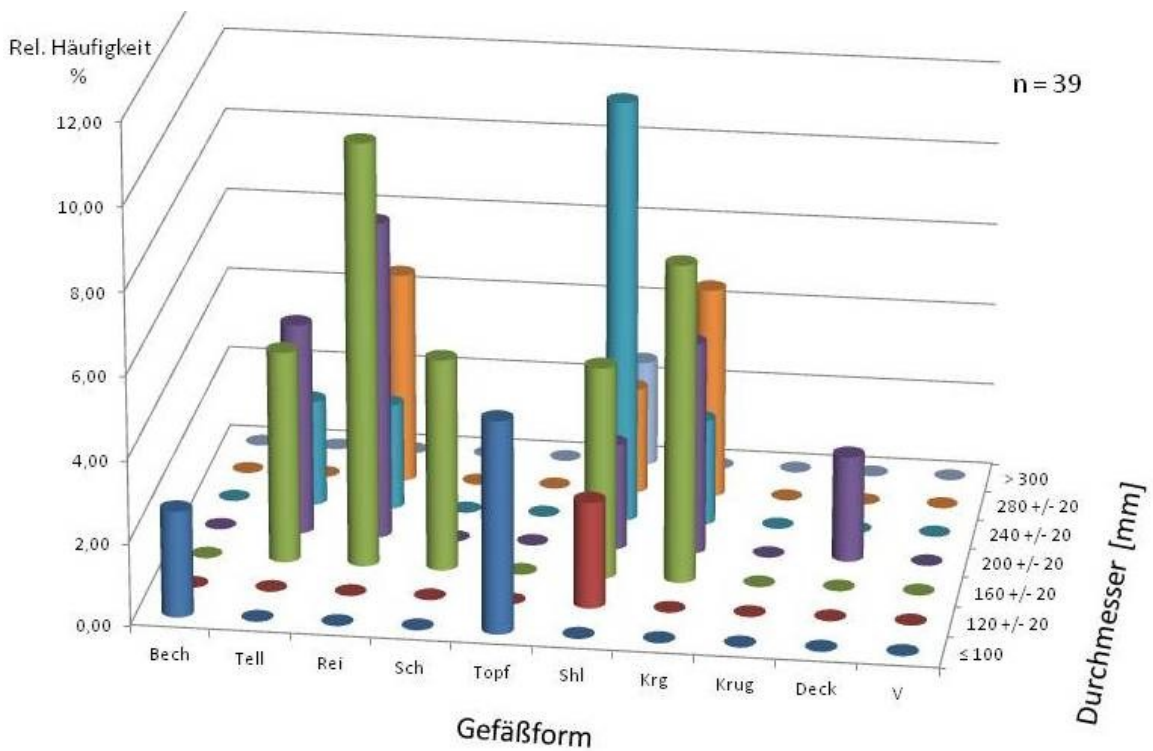


Abbildung 5.16: Engobierte Ware: $h_{\text{Gefäße}} = f(\text{Gefäßform}, \text{Durchmesser})$ über alle Funde
(Zahlenwerte zur Abb. siehe Tab. 5.24)

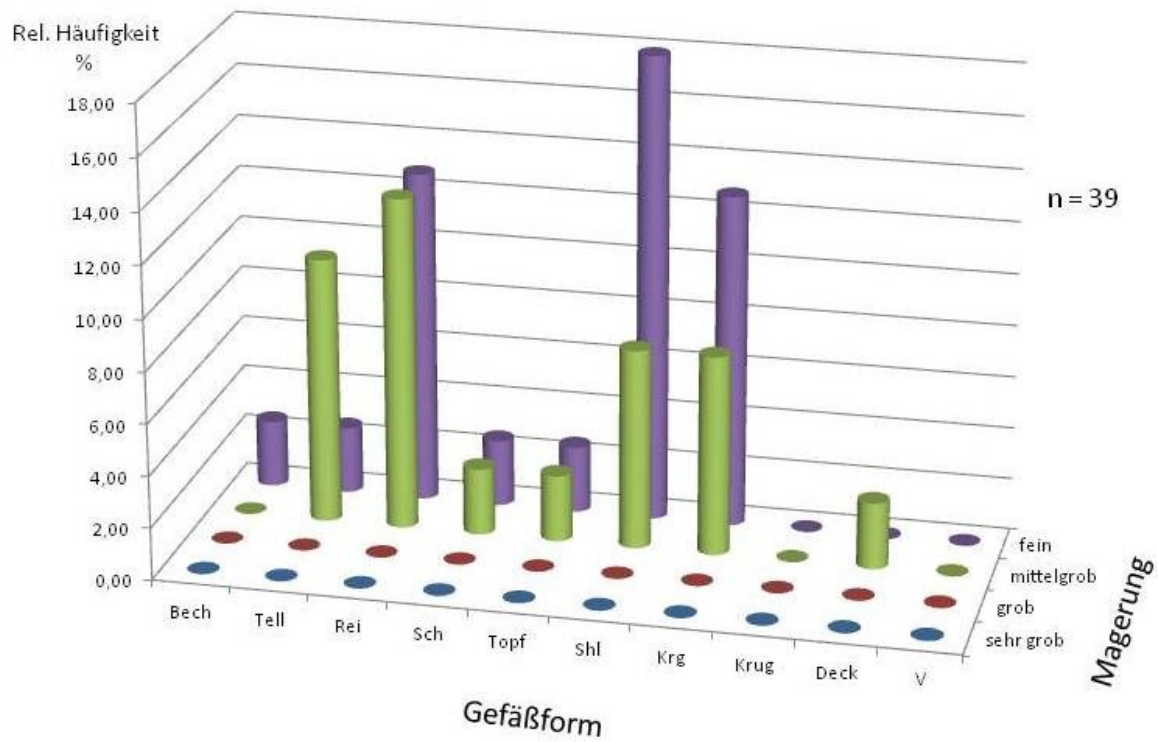


Abbildung 5.17: Engobierte Ware: $h_{\text{GefäÙe}} = f(\text{GefäÙform, Magerung})$ über alle Funde
(Zahlenwerte zur Abb. siehe Tab. 5.25)

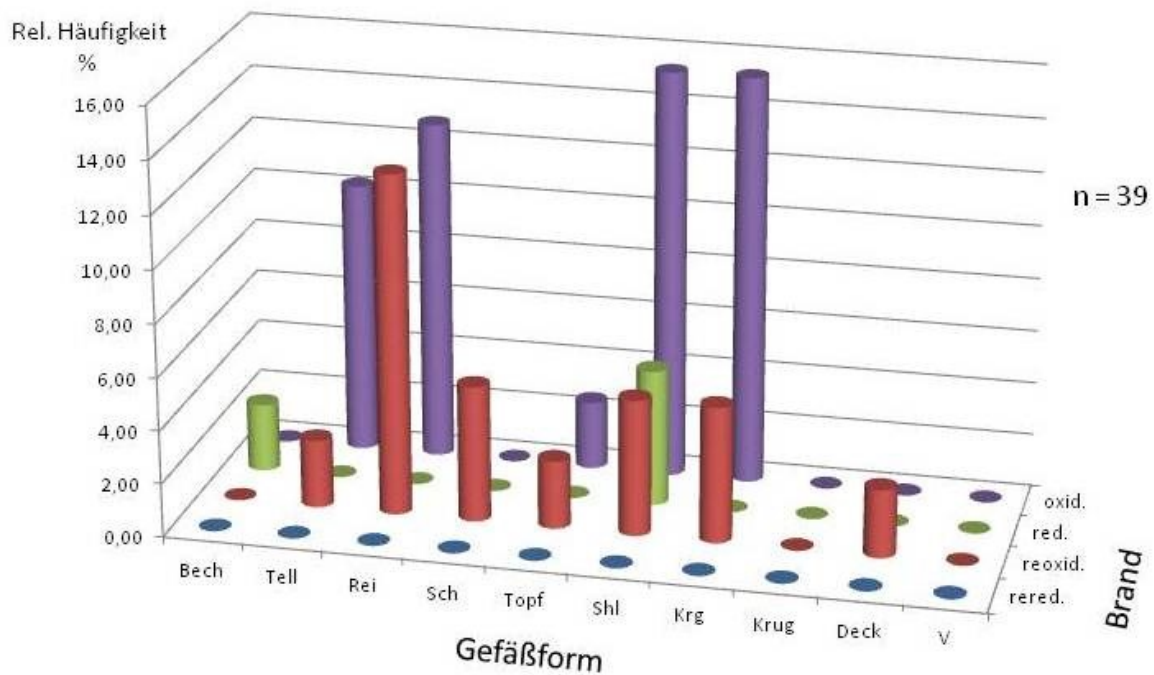


Abbildung 5.18: Engobierte Ware: $h_{\text{GefäÙe}} = f(\text{GefäÙform, Brand})$ über alle Funde
(Zahlenwerte zur Abb. siehe Tab. 5.26)

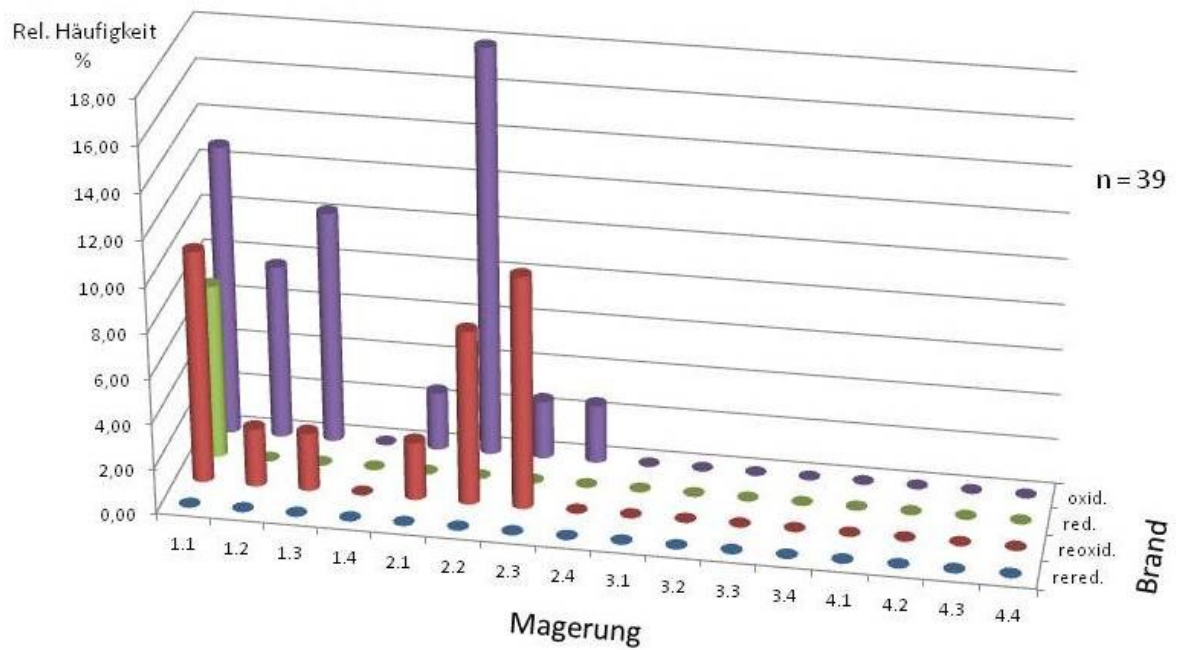


Abbildung 5.19: Engobierte Ware: $h_{\text{Gefäße}} = f(\text{Magerung}, \text{Brand})$ über alle Funde
(Zahlenwerte zur Abb. siehe Tab. 5.27)

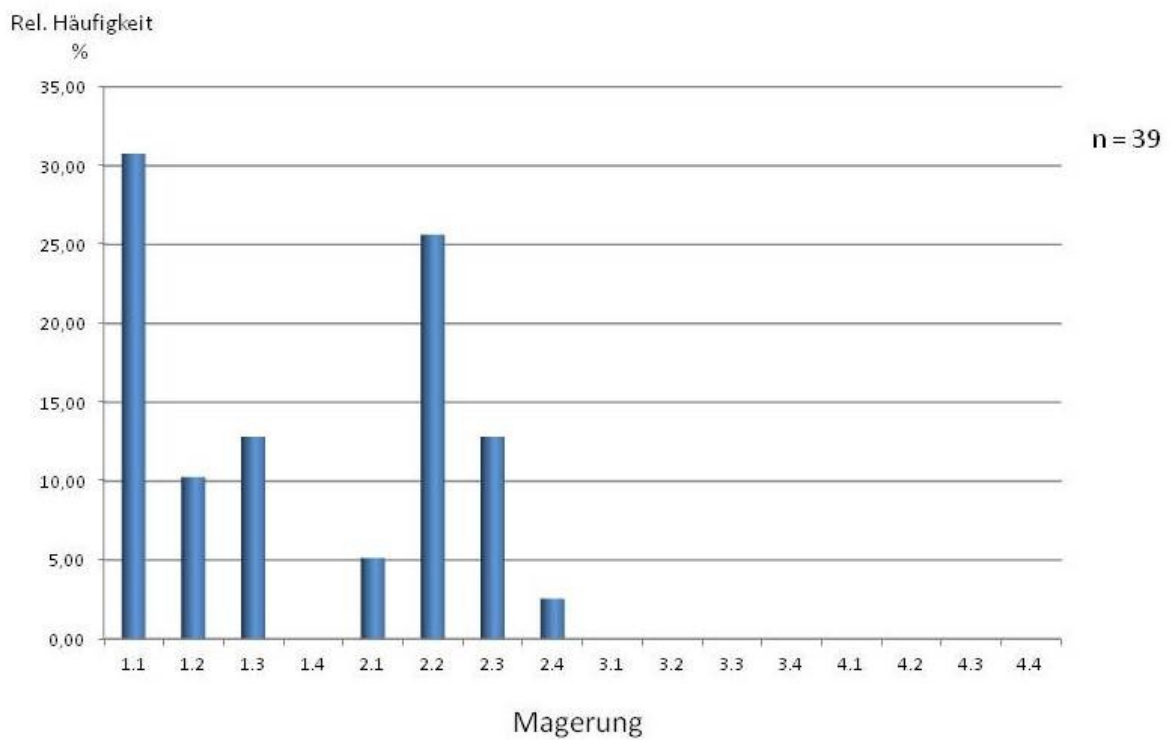


Abbildung 5.20: Engobierte Ware: $h_{\text{Gefäße}} = f(\text{Magerung})$ über alle Funde
(Zahlenwerte zur Abb. siehe Tab. 5.28)

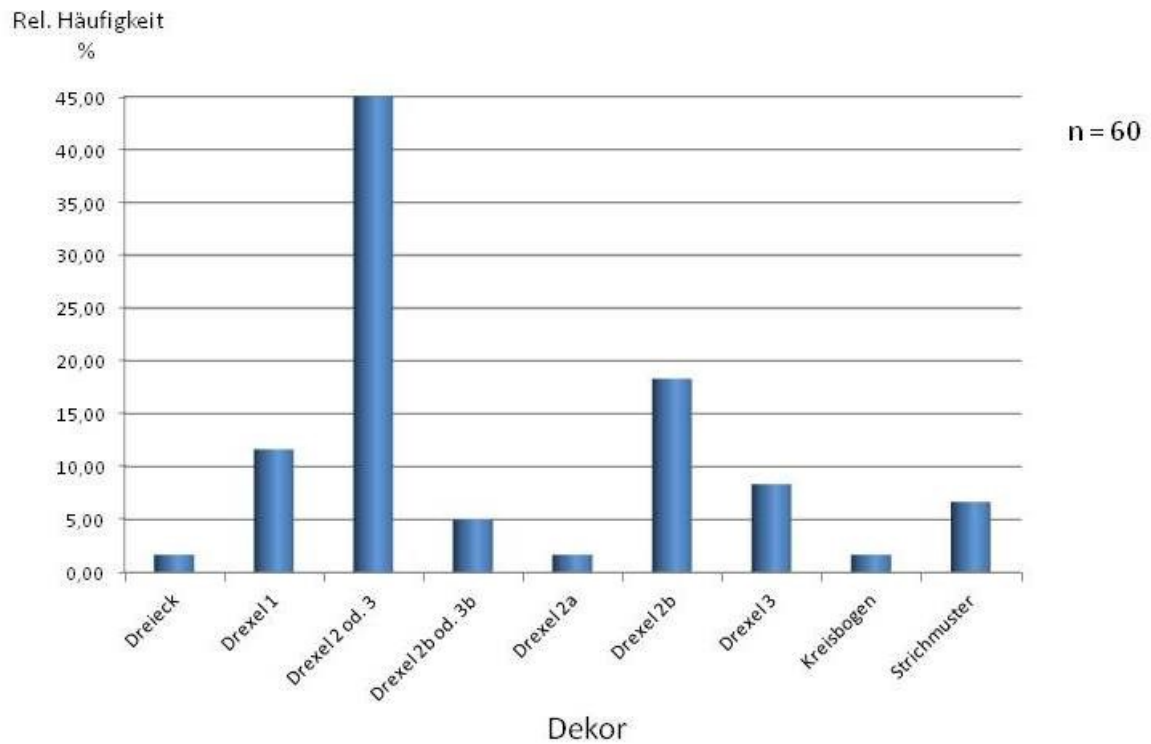


Abbildung 5.21: Rätische Ware: $h_{\text{Scherbe}} = f(\text{Dekor})$ über alle Funde
(Zahlenwerte zur Abb. siehe Tab. 5.30)

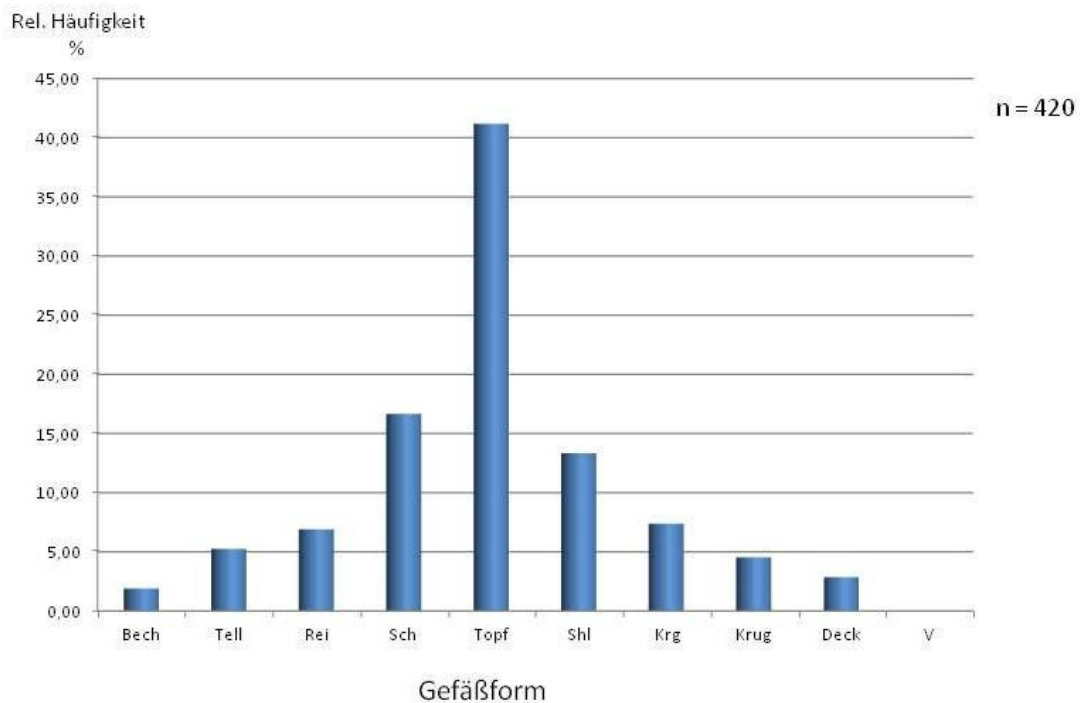


Abbildung 5.22: Tongrundig-glattwandige Ware: $h_{\text{Gefäße}} = f(\text{Gefäßform})$ über alle Funde
(Zahlenwerte zur Abb. siehe Tab. 5.31)

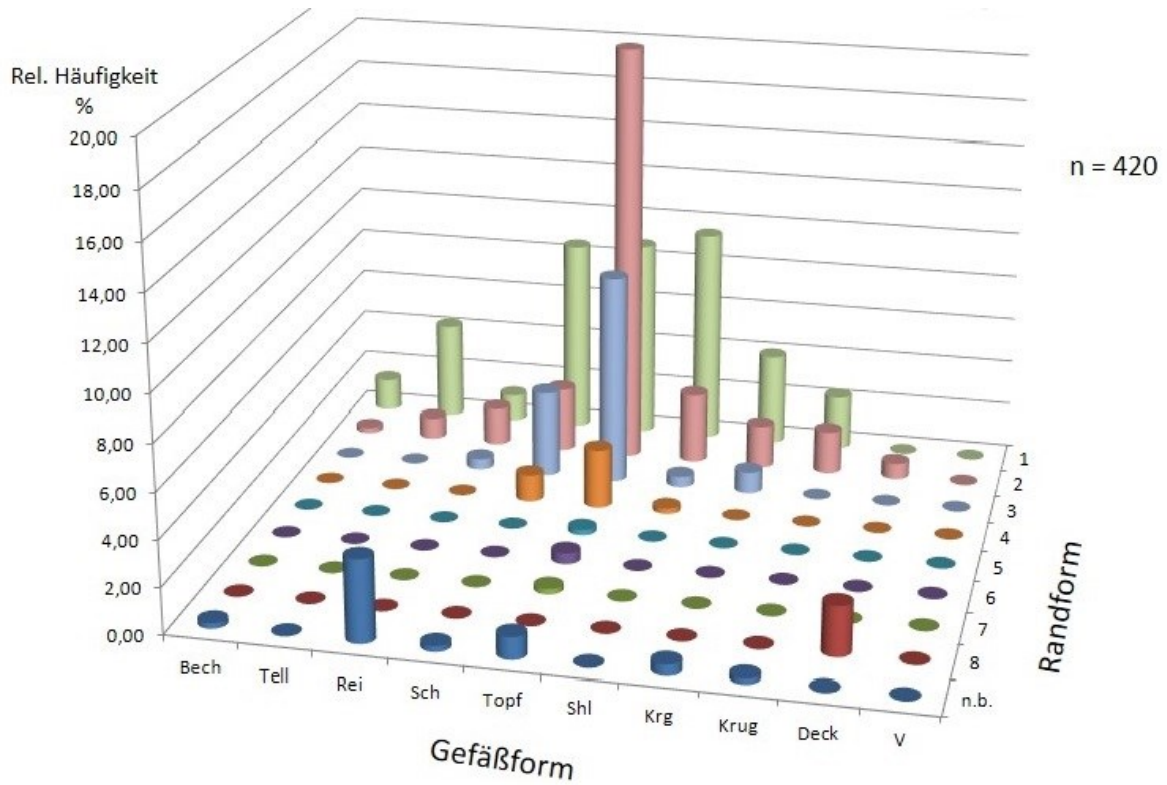


Abbildung 5.23: Tongrundig-glattwandige Ware: $h_{\text{Gefäße}} = f(\text{Gefäßform}, \text{Randform})$ über alle Funde
(Zahlenwerte zur Abb. siehe Tab. 5.32)

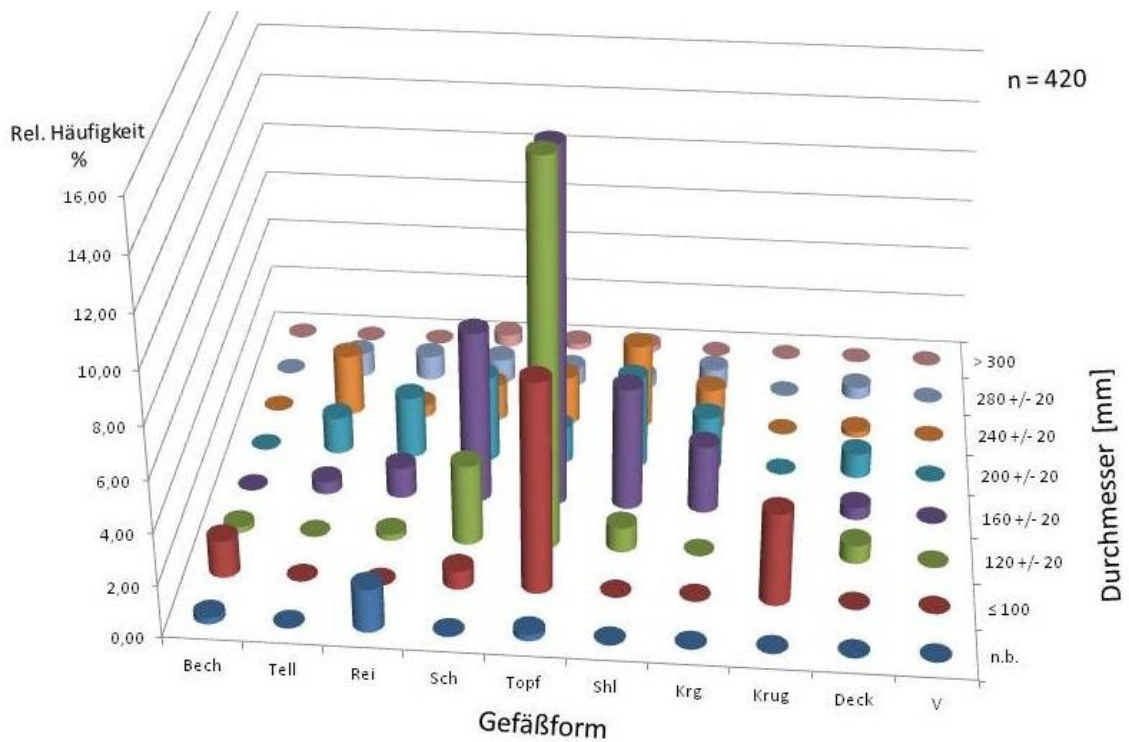


Abbildung 5.24: Tongrundig-glattwandige Ware: $h_{\text{Gefäße}} = f(\text{Gefäßform}, \text{Durchmesser})$ über alle Funde
(Zahlenwerte zur Abb. siehe Tab. 5.35)

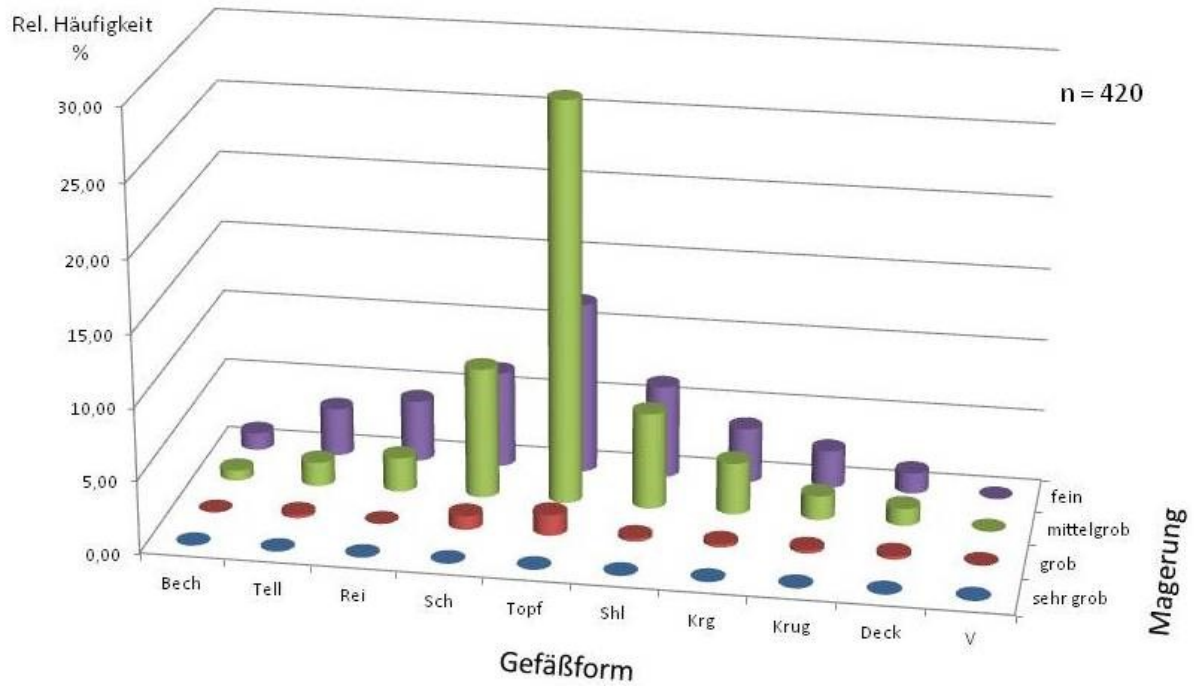


Abbildung 5.25: Tongrundig-glattwandige Ware: $h_{\text{Gefäße}} = f(\text{Gefäßform}, \text{Magerung})$ über alle Funde

(Zahlenwerte zur Abb. siehe Tab. 5.33)

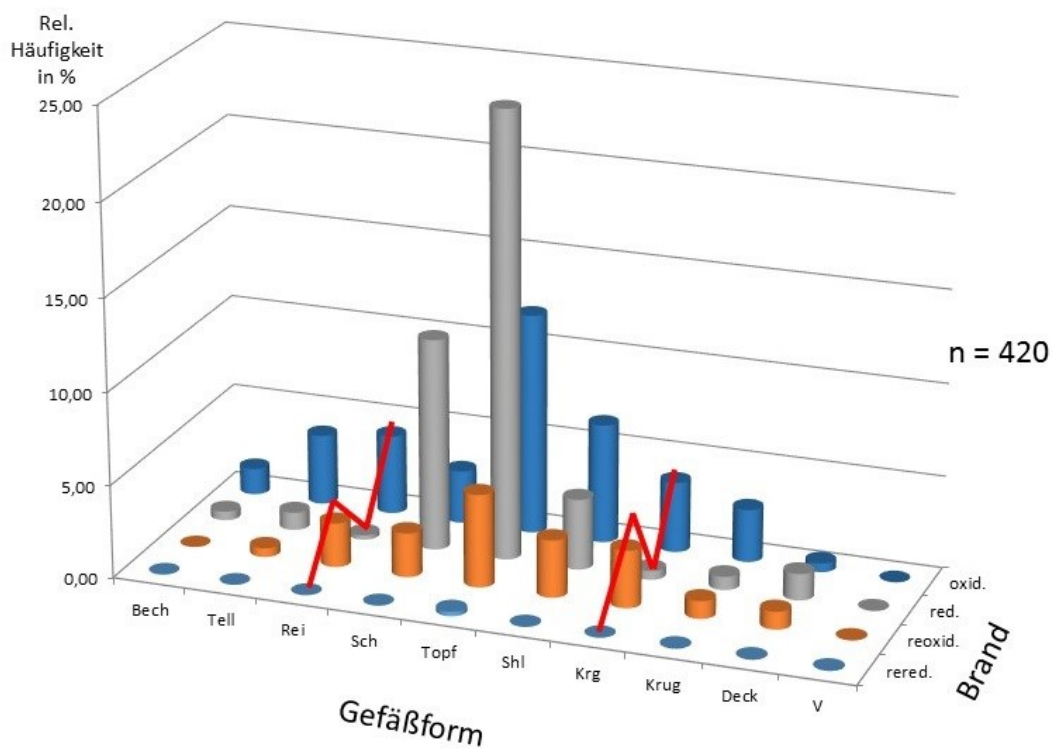


Abbildung 5.26: Tongrundig-glattwandige Ware: $h_{\text{Gefäße}} = f(\text{Gefäßform}, \text{Brand})$ über alle Funde

(Zahlenwerte zur Abb. siehe Tab. 5.34)

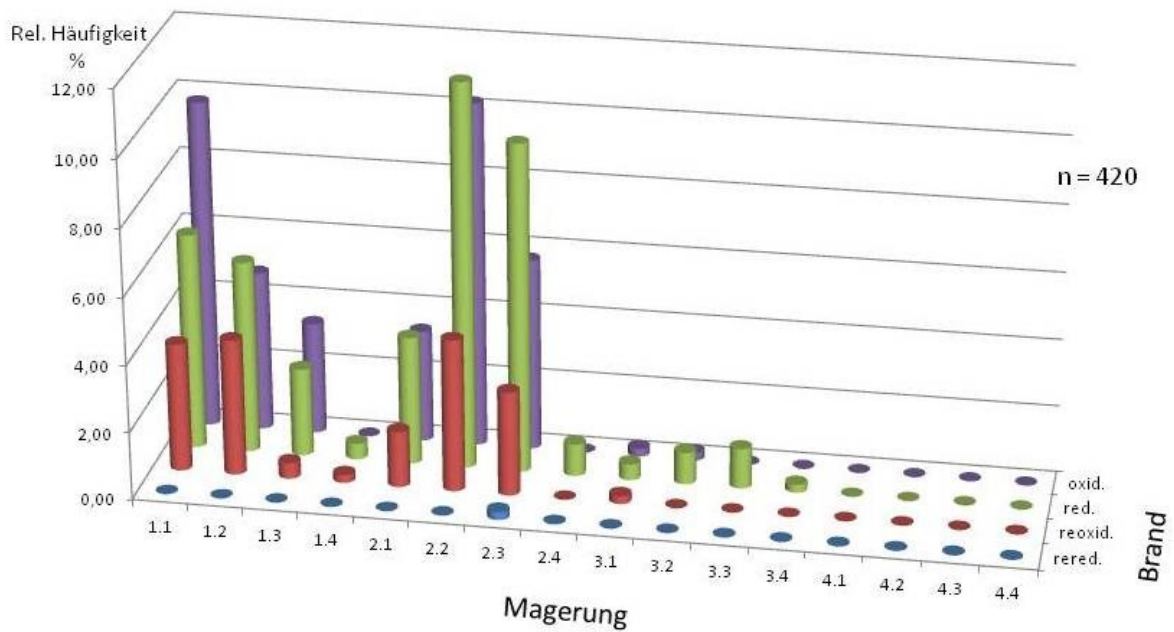


Abbildung 5.27: Tongrundig-glattwandige Ware: $h_{\text{Gefäße}} = f(\text{Magerung}, \text{Brand})$ über alle Funde

(Zahlenwerte zur Abb. siehe Tab. 5.36)

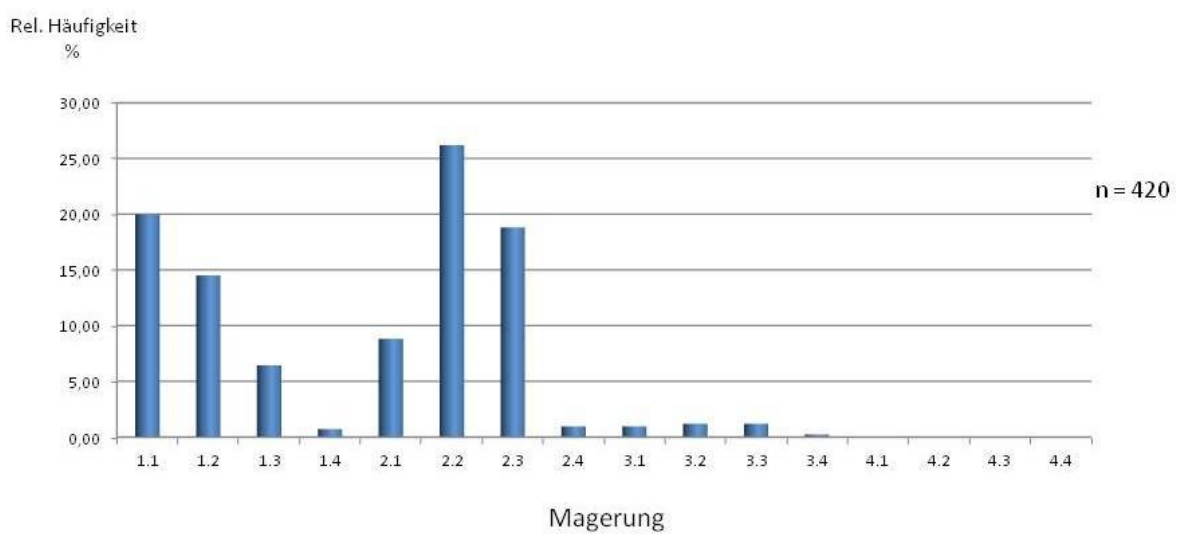


Abbildung 5.28: Tongrundig-glattwandige Ware: $h_{\text{Gefäße}} = f(\text{Magerung})$ über alle Funde

(Zahlenwerte zur Abb. siehe Tab. 5.37)

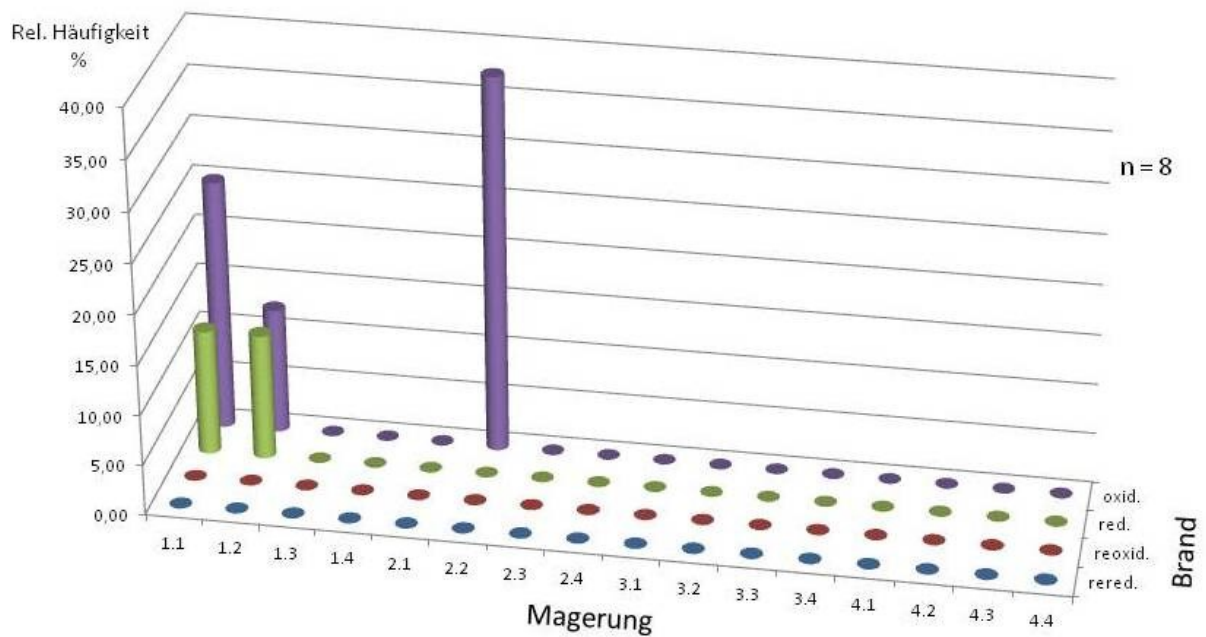


Abbildung 5.29: Tongrundig-glattwandige Ware: $h_{\text{Becher}} = f(\text{Magerung}, \text{Brand})$ über alle Funde
(Zahlenwerte zur Abb. siehe Tab. 5.38)

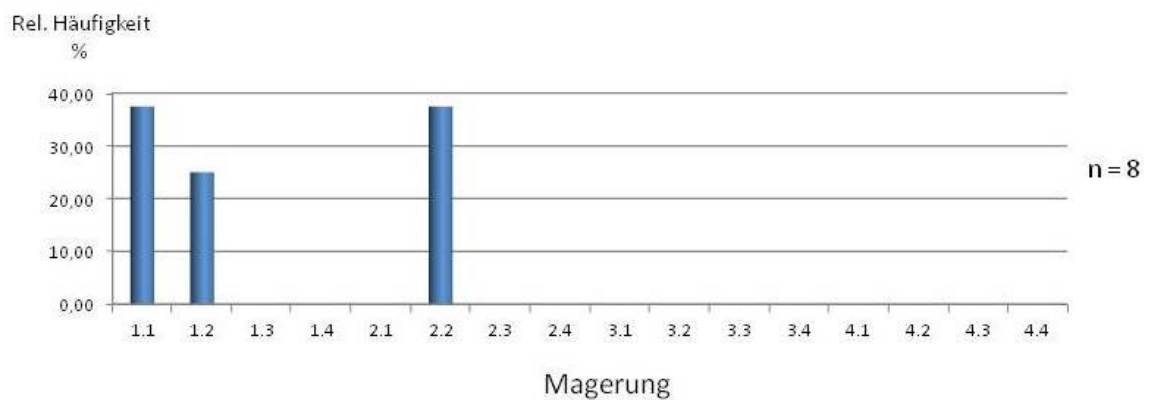


Abbildung 5.30: Tongrundig-glattwandige Ware: $h_{\text{Becher}} = f(\text{Magerung})$ über alle Funde
(Zahlenwerte zur Abb. siehe Tab. 5.39)

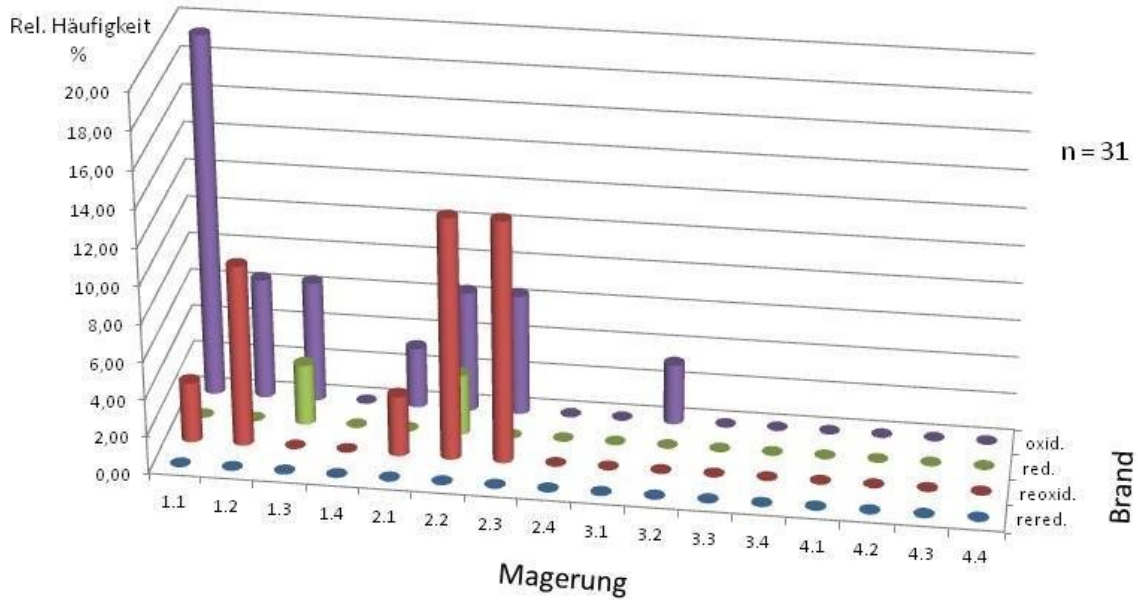


Abbildung 5.31: Tongrundig-glattwandige Ware: $h_{Krg} = f(\text{Magerung}, \text{Brand})$ über alle Funde
(Zahlenwerte zur Abb. siehe Tab. 5.41)

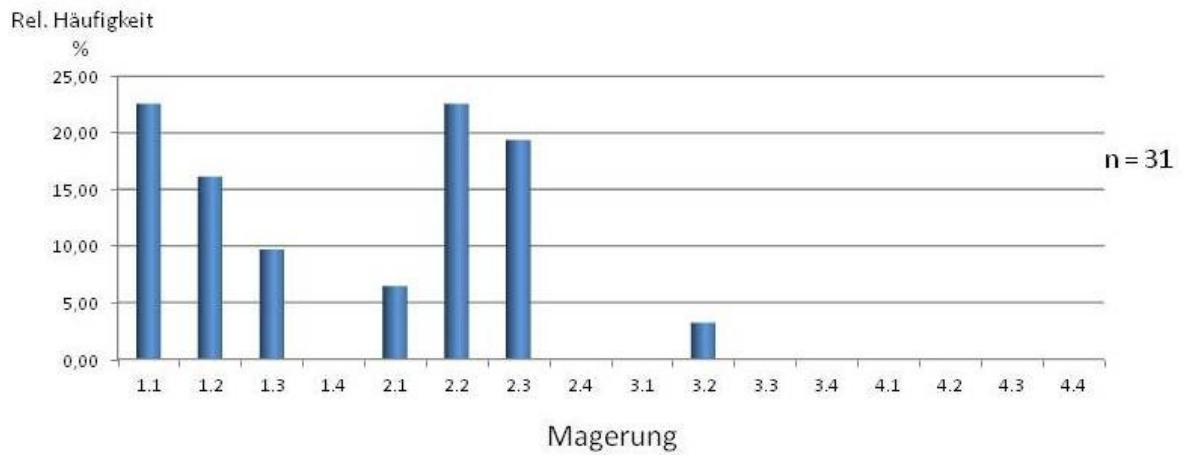


Abbildung 5.32: Tongrundig-glattwandige Ware: $h_{Krg} = f(\text{Magerung})$ über alle Funde
(Zahlenwerte zur Abb. siehe Tab. 5.42)

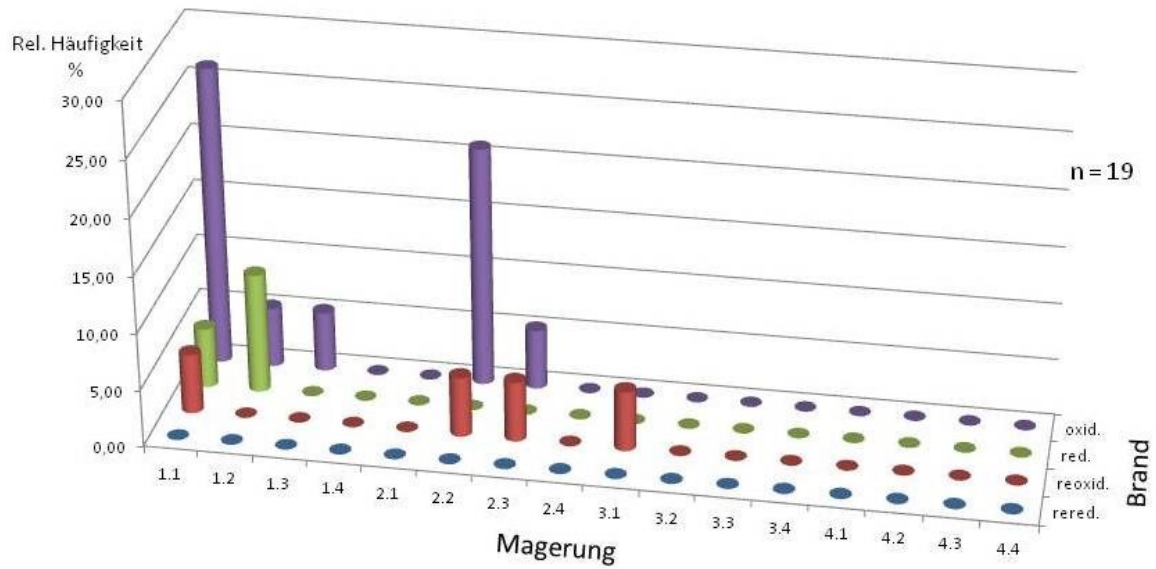


Abbildung 5.33: Tongrundig-glattwandige Ware: $h_{Krug} = f(\text{Magerung}, \text{Brand})$ über alle Funde
(Zahlenwerte zur Abb. siehe Tab. 5.44)

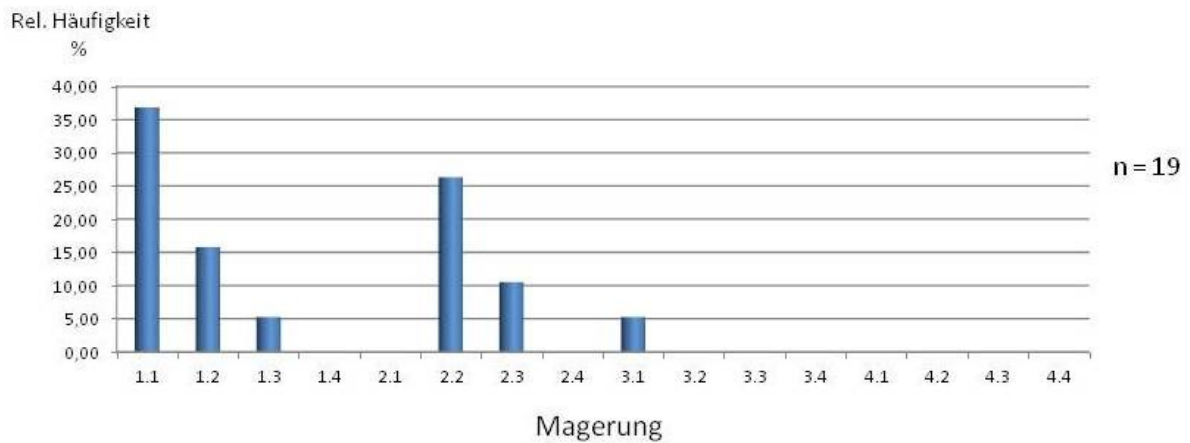


Abbildung 5.34: Tongrundig-glattwandige Ware: $h_{Krug} = f(\text{Magerung})$ über alle Funde
(Zahlenwerte zur Abb. siehe Tab. 5.45)

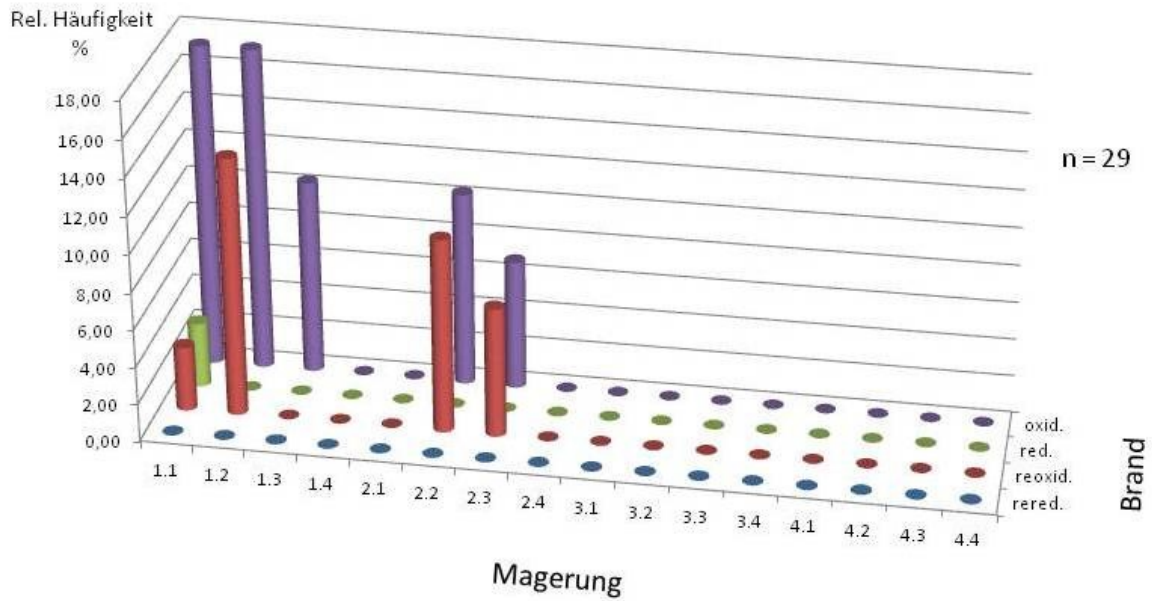


Abbildung 5.35: Tongrundig-glattwandige Ware: $h_{Rei} = f(\text{Magerung}, \text{Brand})$ über alle Funde
(Zahlenwerte zur Abb. siehe Tab. 5.47)

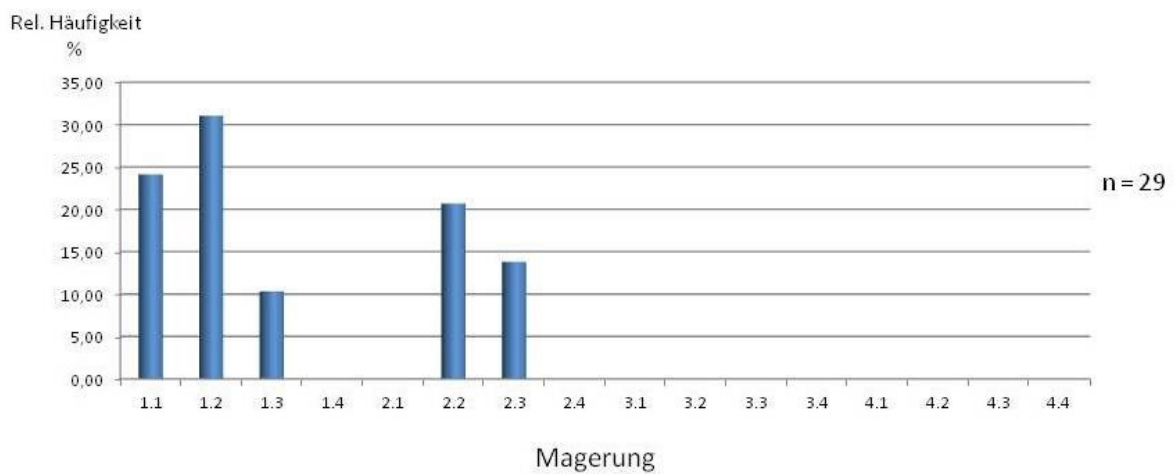


Abbildung 5.36: Tongrundig-glattwandige Ware: $h_{Rei} = f(\text{Magerung})$ über alle Funde
(Zahlenwerte zur Abb. siehe Tab. 5.48)

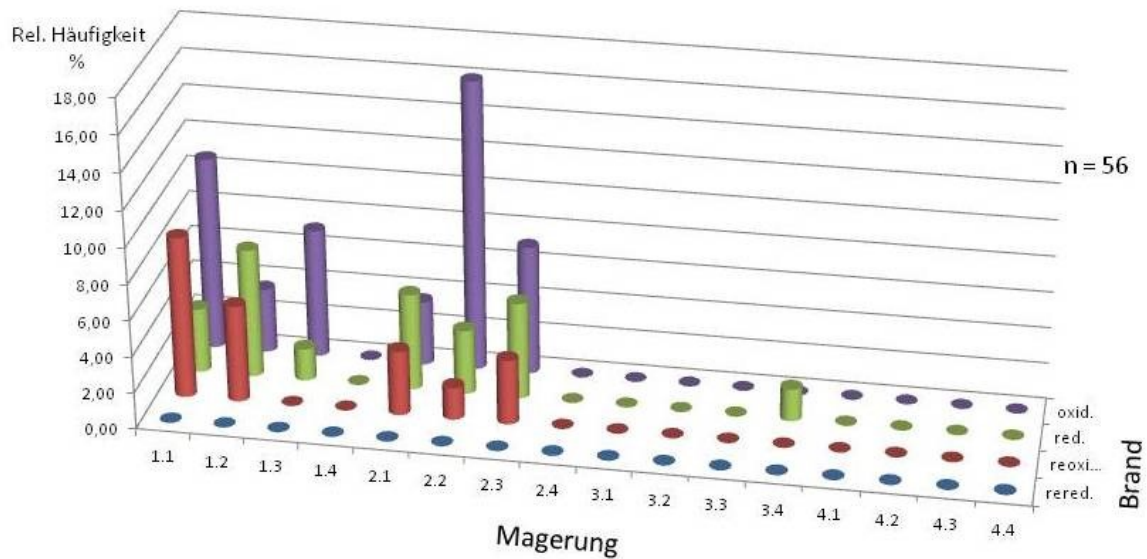


Abbildung 5.37: Tongrundig-glattwandige Ware: $h_{ShI} = f(\text{Magerung}, \text{Brand})$ über alle Funde
(Zahlenwerte zur Abb. siehe Tab. 5.50)

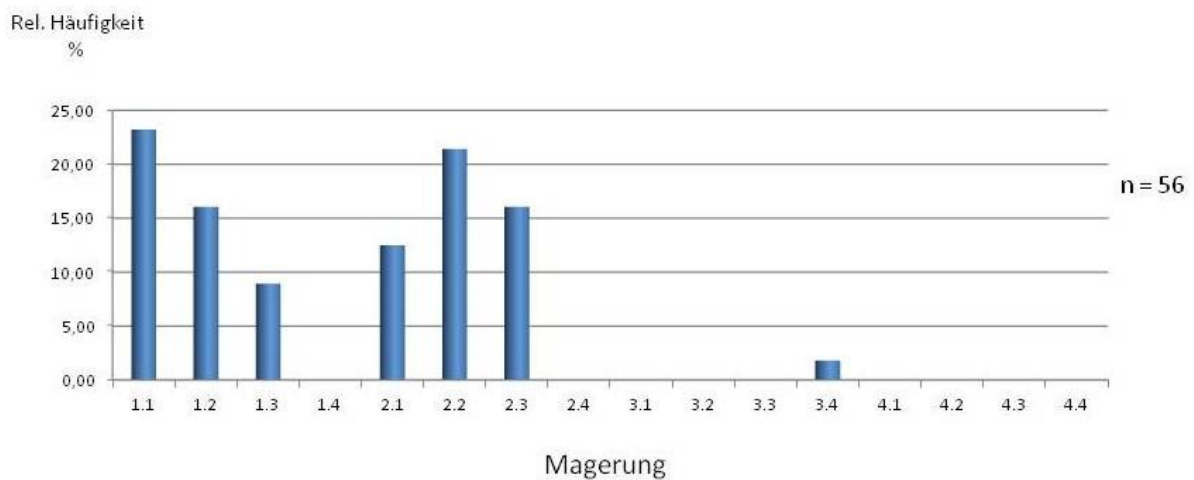


Abbildung 5.38: Tongrundig-glattwandige Ware: $h_{ShI} = f(\text{Magerung})$ über alle Funde
(Zahlenwerte zur Abb. siehe Tab. 5.51)

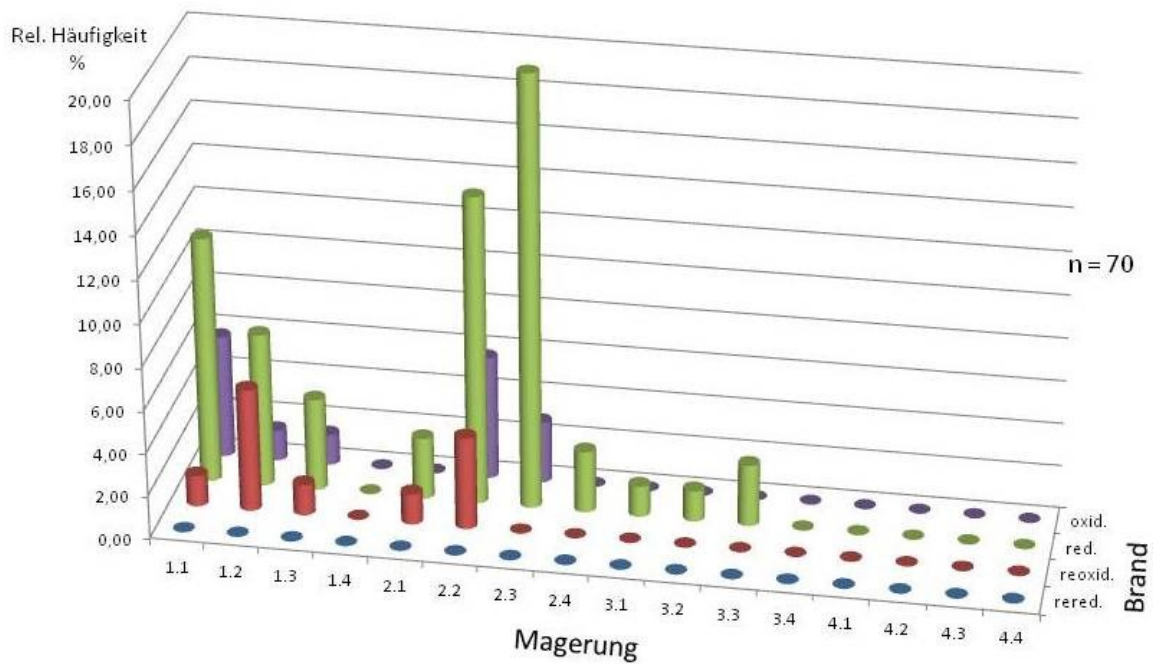


Abbildung 5.39: Tongrundig-glattwandige Ware: $h_{Sch} = f(\text{Magerung}, \text{Brand})$ über alle Funde
(Zahlenwerte zur Abb. siehe Tab. 5.53)

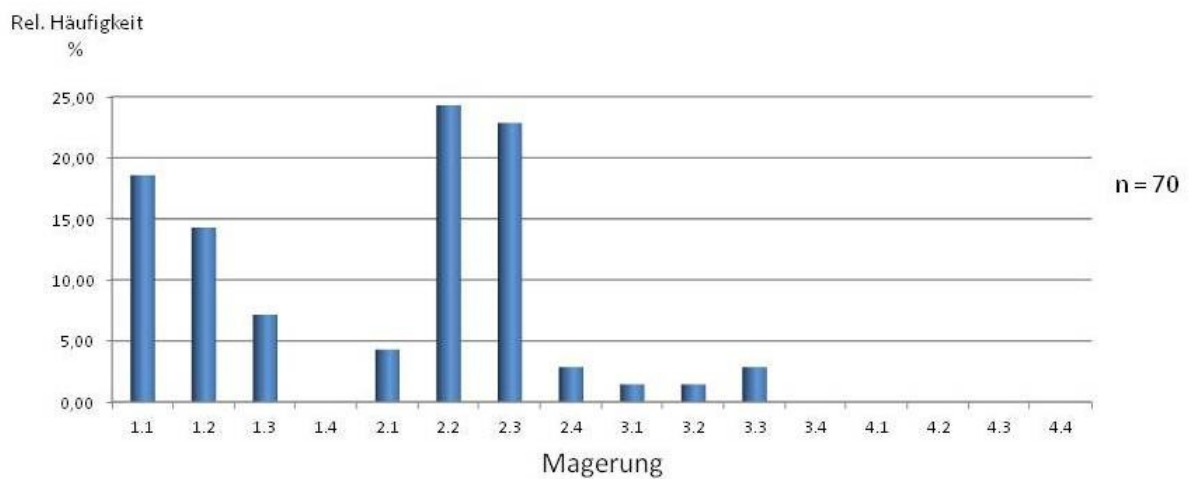


Abbildung 5.40: Tongrundig-glattwandige Ware: $h_{Sch} = f(\text{Magerung})$ über alle Funde
(Zahlenwerte zur Abb. siehe Tab. 5.54)

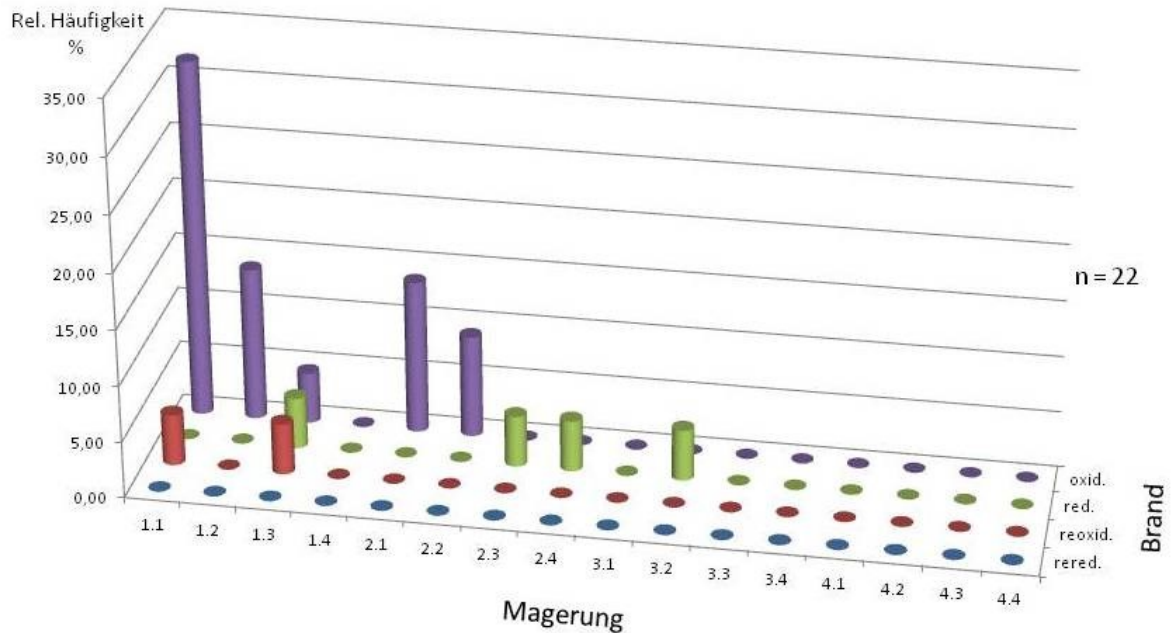


Abbildung 5.41: Tongrundig-glattwandige Ware: $h_{\text{Tell}} = f(\text{Magerung}, \text{Brand})$ über alle Funde
(Zahlenwerte zur Abb. siehe Tab. 5.56)

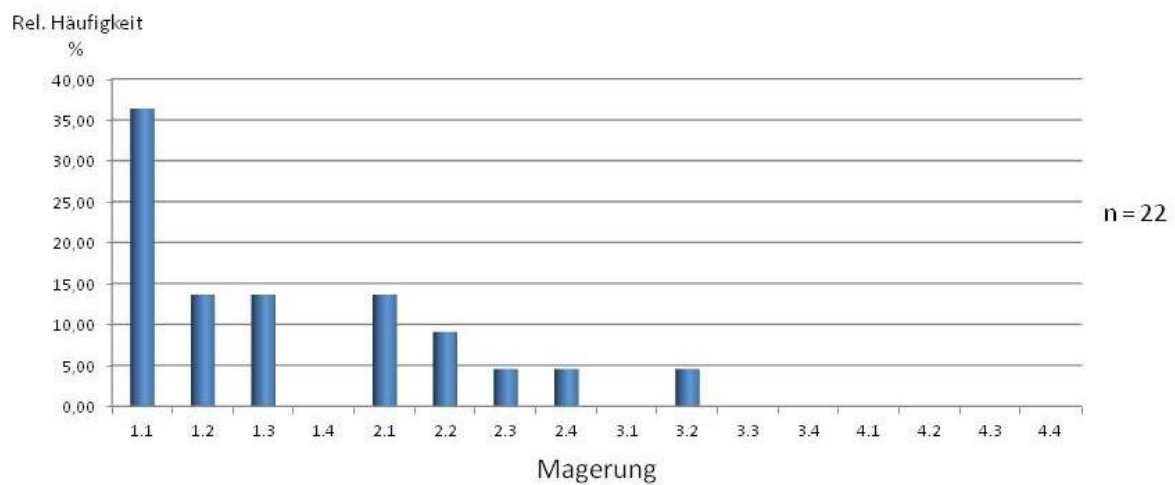


Abbildung 5.42: Tongrundig-glattwandige Ware: $h_{\text{Tell}} = f(\text{Magerung})$ über alle Funde
(Zahlenwerte zur Abb. siehe Tab. 5.57)

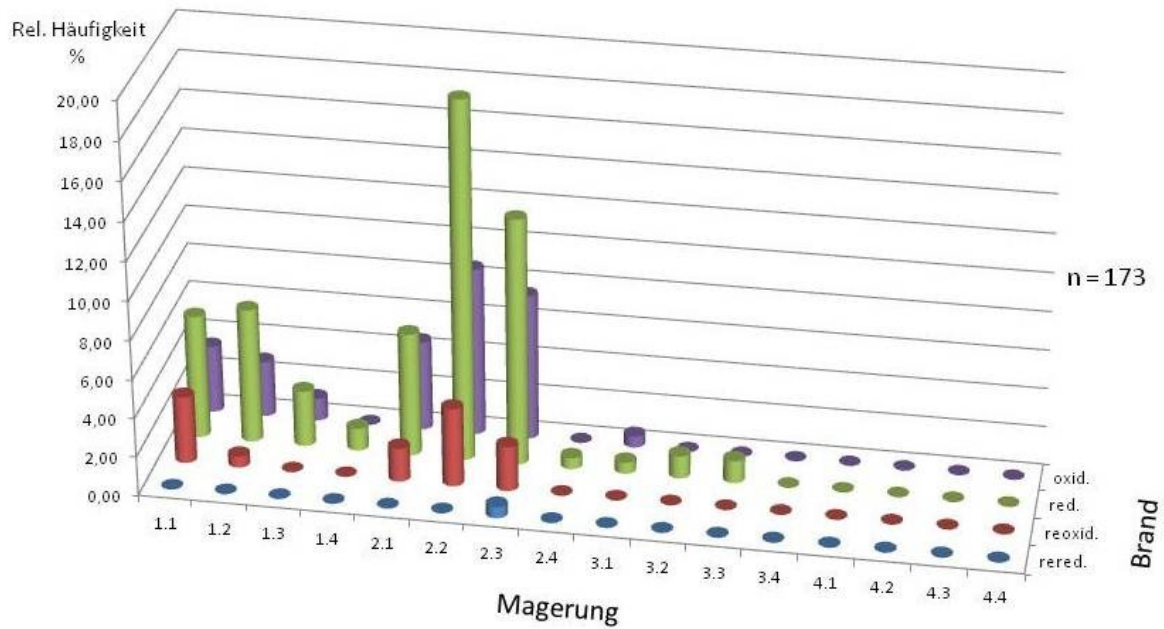


Abbildung 5.43: Tongrundig-glattwandige Ware: $h_{\text{Topf}} = f(\text{Magerung}, \text{Brand})$ über alle Funde
(Zahlenwerte zur Abb. siehe Tab. 5.59)

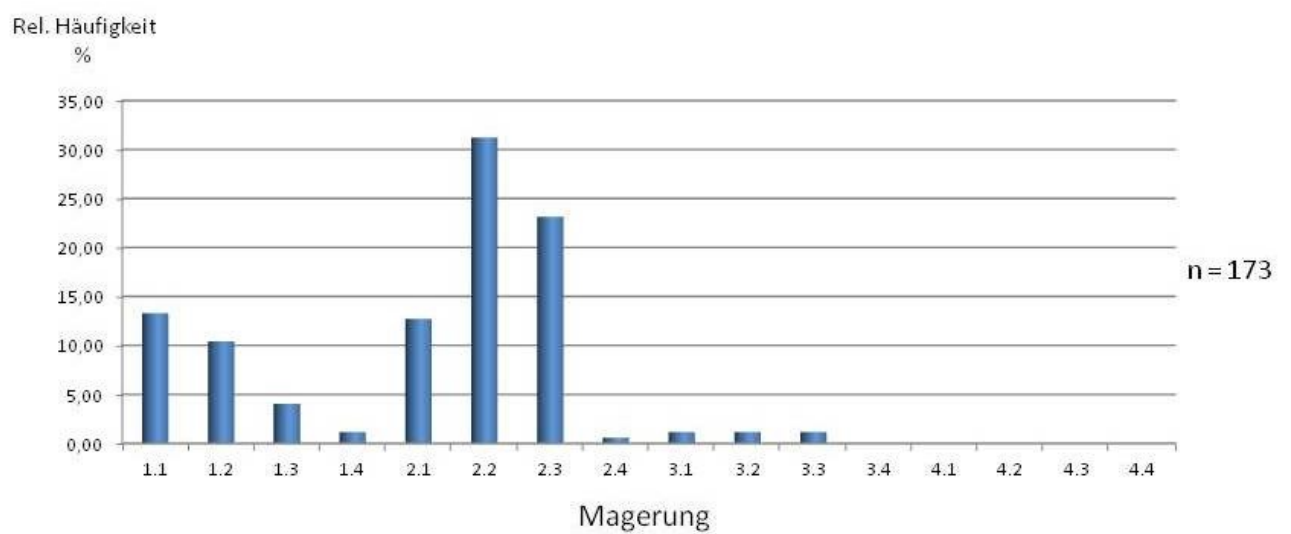


Abbildung 5.44: Tongrundig-glattwandige Ware: $h_{\text{Topf}} = f(\text{Magerung})$ über alle Funde
(Zahlenwerte zur Abb. siehe Tab. 5.60)

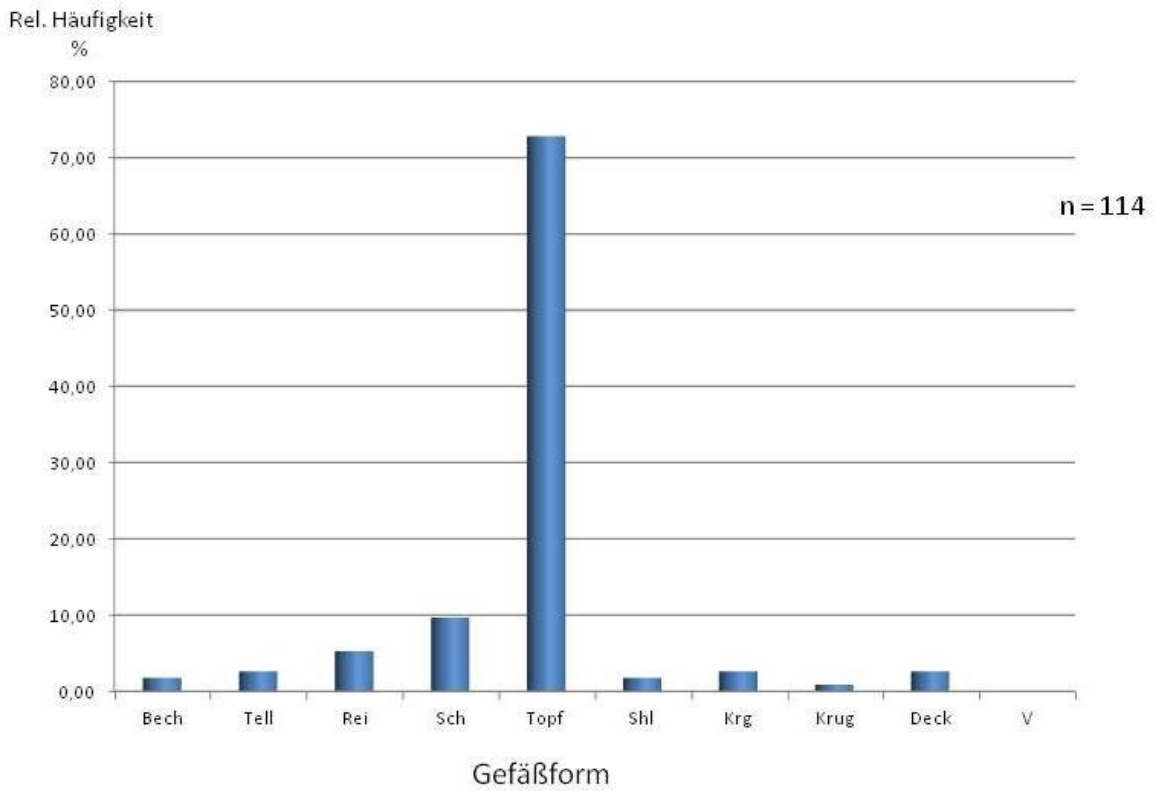


Abbildung 5.45: Tongrundig-rauwandige Ware: $h_{\text{Gefäße}} = f(\text{Gefäßform})$ über alle Funde
(Zahlenwerte zur Abb. siehe Tab. 5.63)

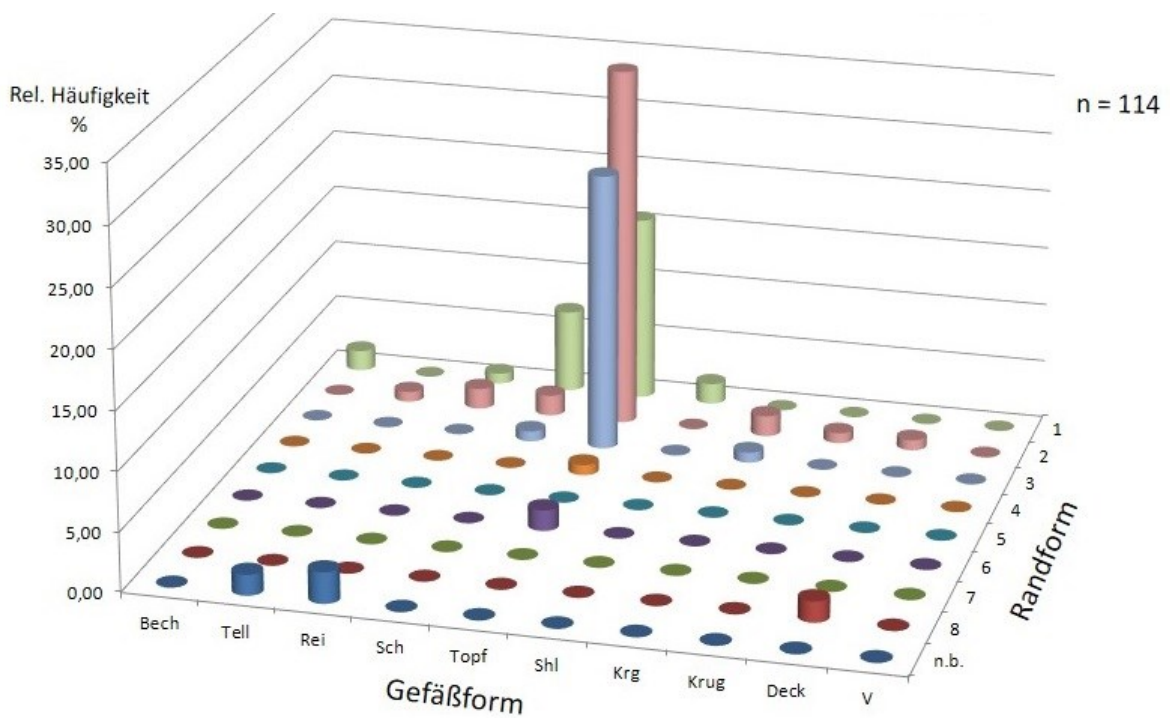


Abbildung 5.46: Tongrundig-rauwandige Ware: $h_{\text{Gefäße}} = f(\text{Gefäßform}, \text{Randform})$ über alle Funde
(Zahlenwerte zur Abb. siehe Tab. 5.64)

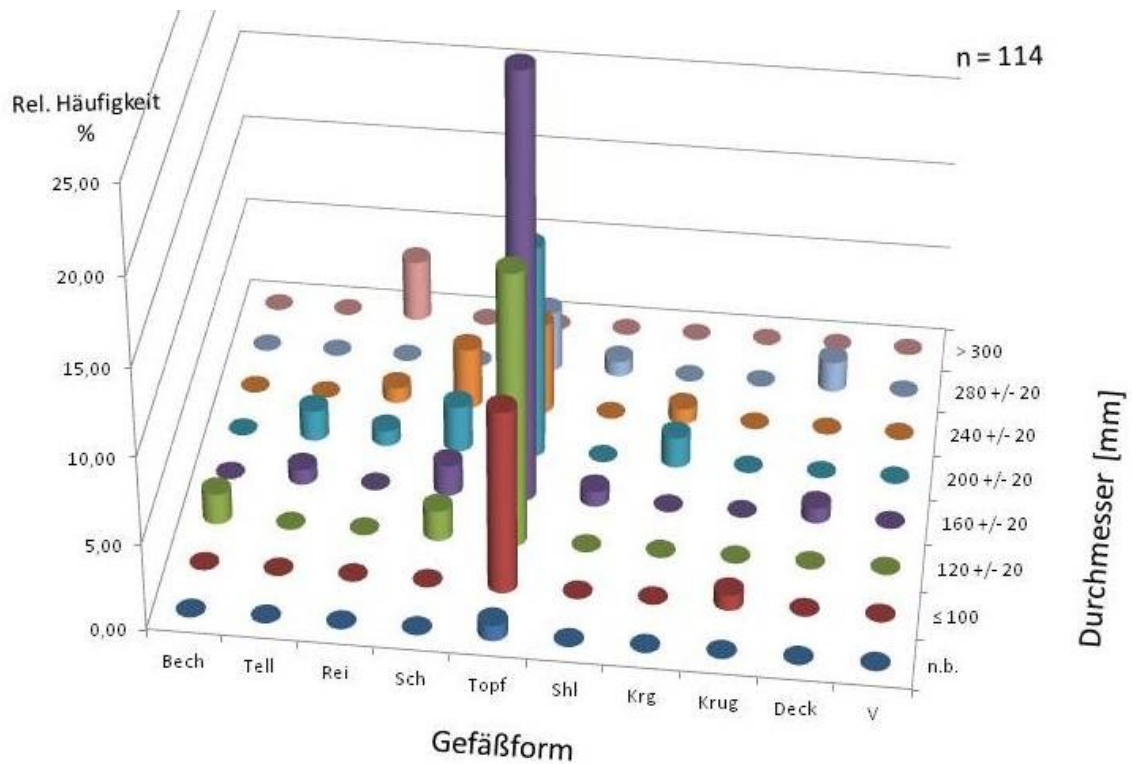


Abbildung 5.47: Tongrundig-rauwandige Ware: $h_{\text{GefäÙe}} = f(\text{GefäÙform, Durchmesser})$ über alle Funde

(Zahlenwerte zur Abb. siehe Tab. 5.67)

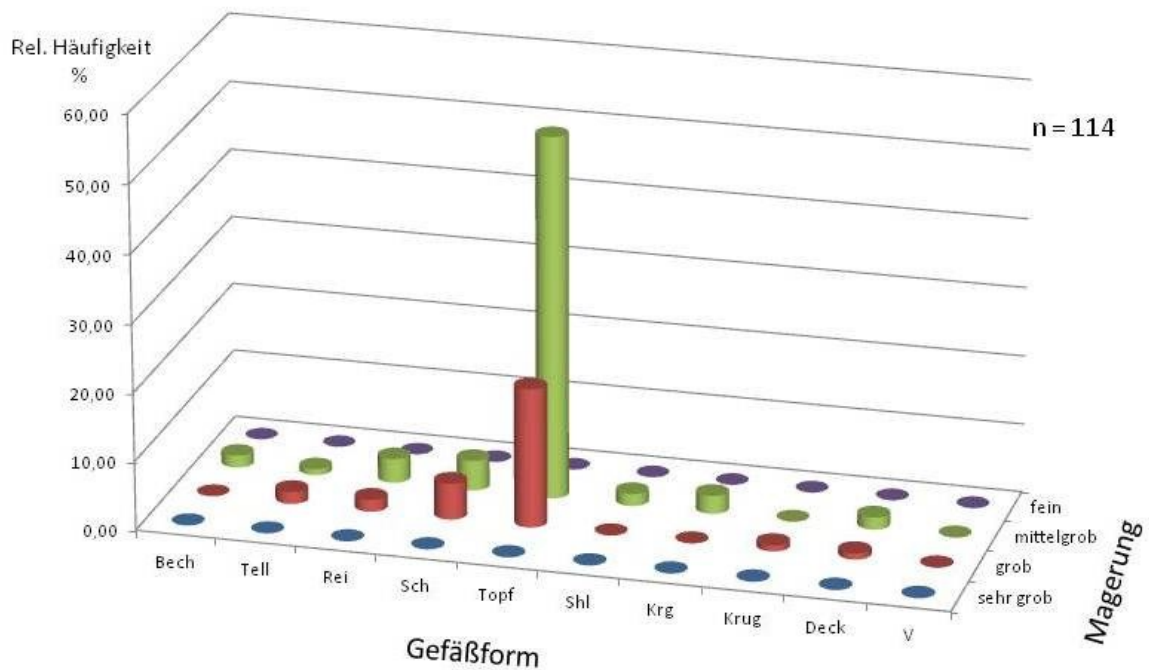


Abbildung 5.48: Tongrundig-rauwandige Ware: $h_{\text{GefäÙe}} = f(\text{GefäÙform, Magerung})$ über alle Funde

(Zahlenwerte zur Abb. siehe Tab. 5.65)

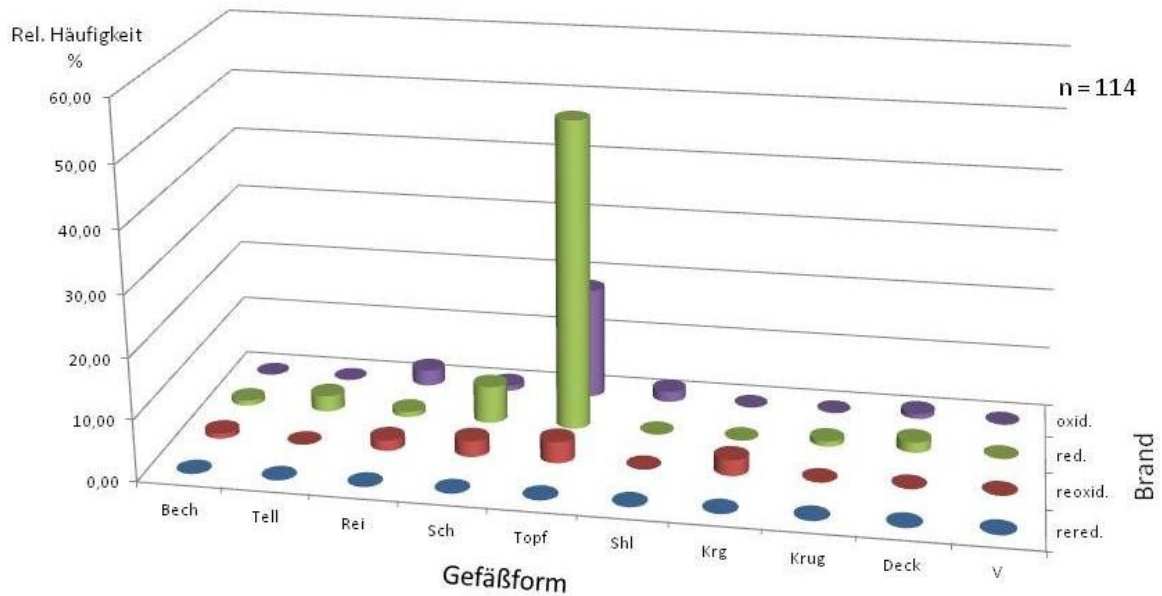


Abbildung 5.49: Tongrundig-rauwandige Ware: $h_{\text{GefäÙe}} = f(\text{GefäÙform}, \text{Brand})$ über alle Funde
(Zahlenwerte zur Abb. siehe Tab. 5.66)

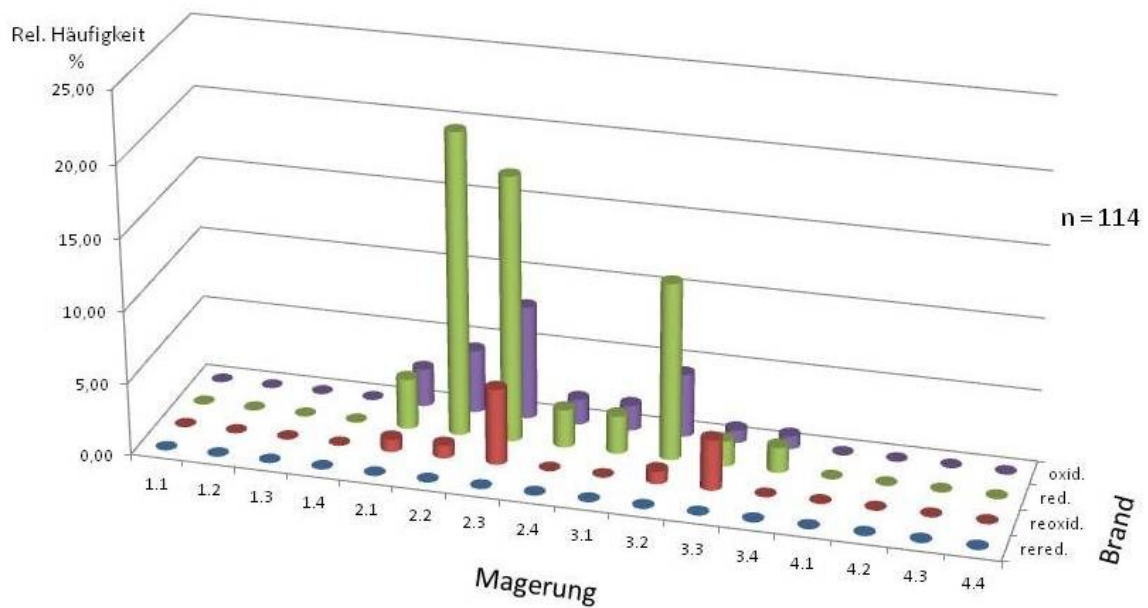


Abbildung 5.50: Tongrundig-rauwandige Ware: $h_{\text{GefäÙe}} = f(\text{Magerung}, \text{Brand})$ über alle Funde

(Zahlenwerte zur Abb. siehe Tab. 5.68)

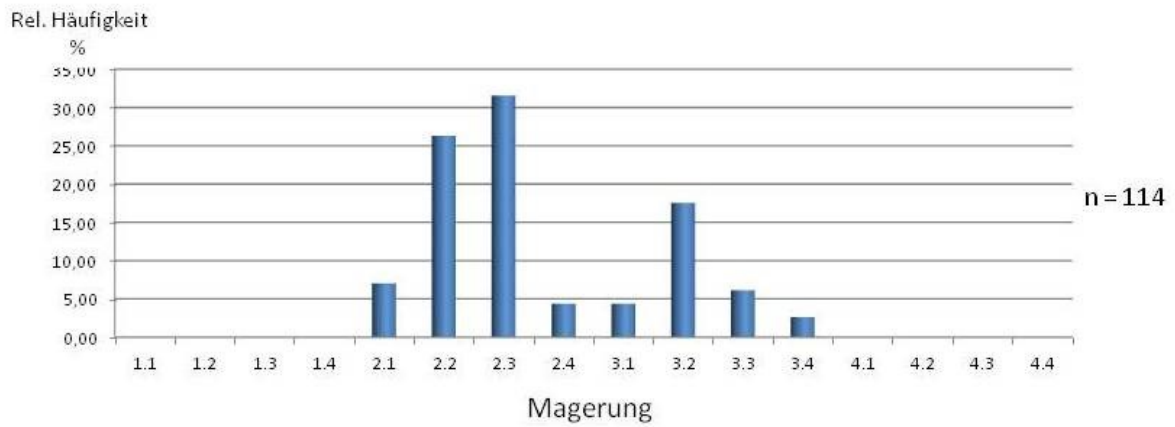


Abbildung 5.51: Tongrundig-rauwandige Ware: $h_{\text{Gefäße}} = f(\text{Magerung})$ über alle Funde
(Zahlenwerte zur Abb. siehe Tab. 5.69)

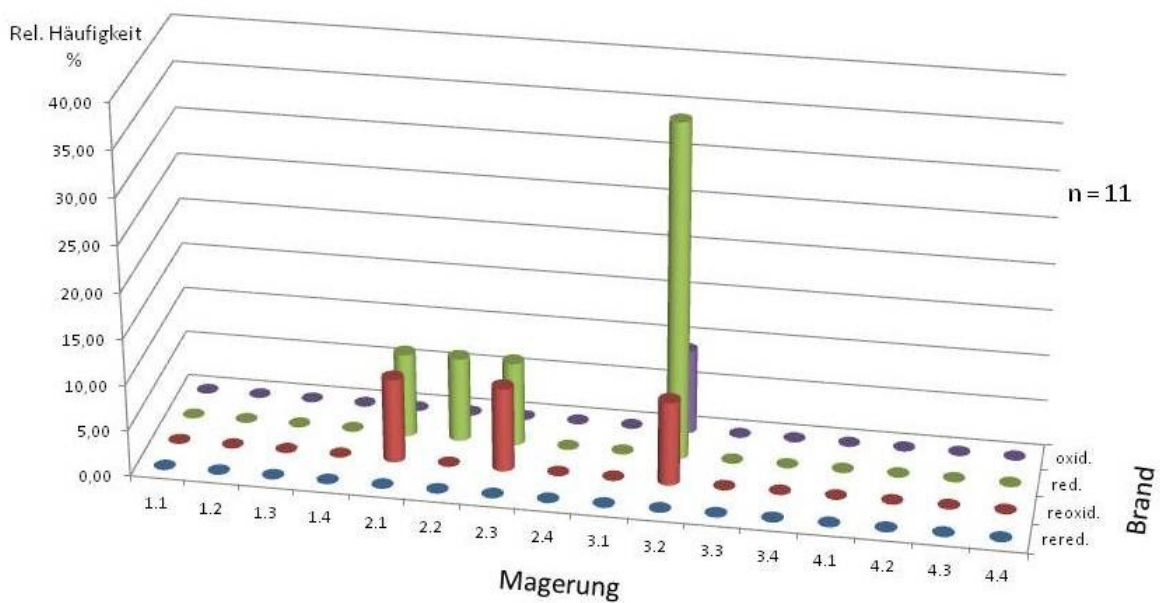


Abbildung 5.52: Tongrundig-rauwandige Ware: $h_{\text{Sch}} = f(\text{Magerung}, \text{Brand})$ über alle Funde
(Zahlenwerte zur Abb. siehe Tab. 5.70)

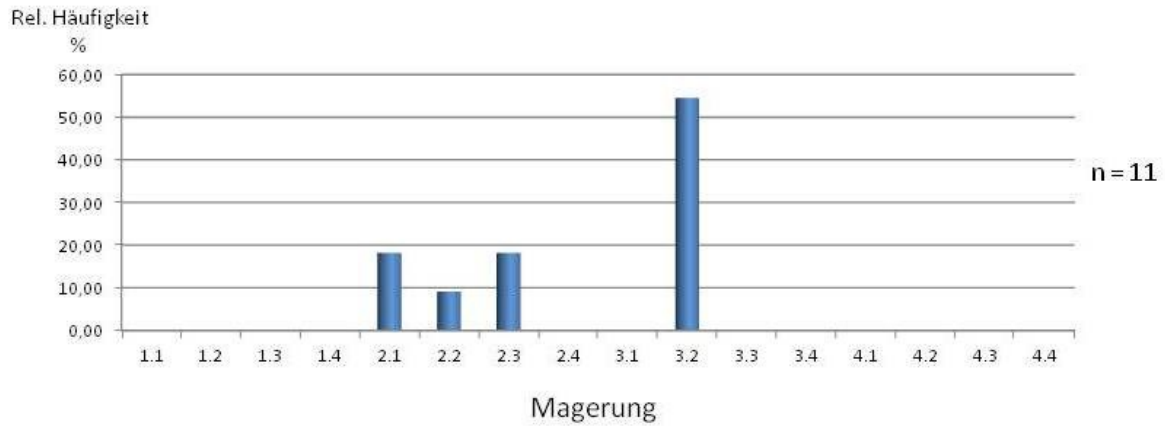


Abbildung 5.53: Tongrundig-rauwandige Ware: $h_{Sch} = f(\text{Magerung})$ über alle Funde
(Zahlenwerte zur Abb. siehe Tab. 5.71)

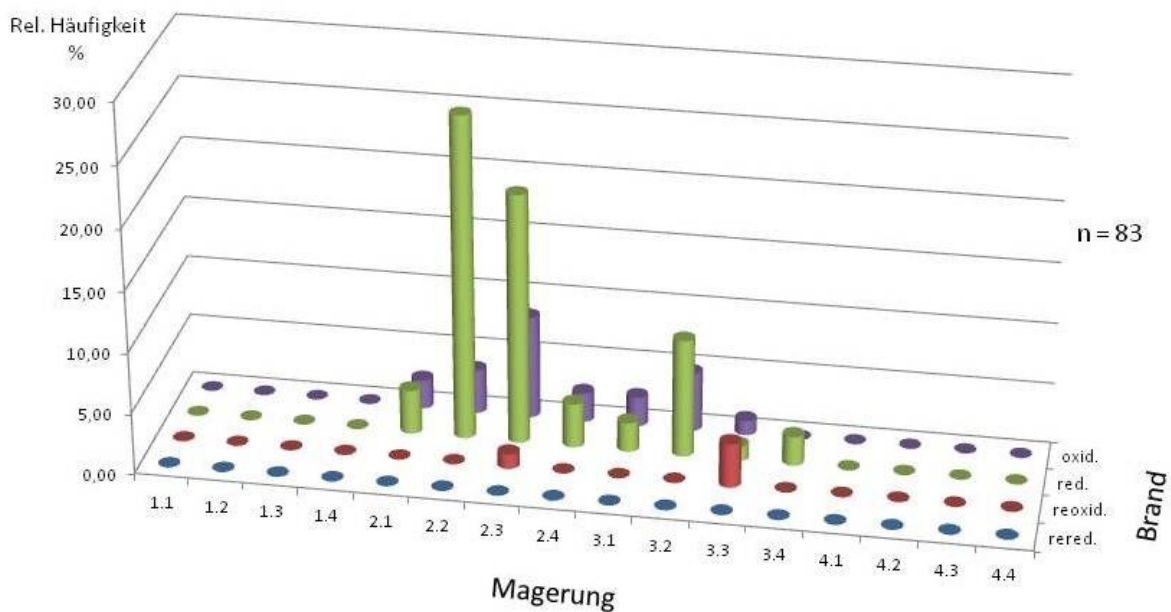


Abbildung 5.54: Tongrundig-rauwandige Ware: $h_{Topf} = f(\text{Magerung}, \text{Brand})$ über alle Funde
(Zahlenwerte zur Abb. siehe Tab. 5.72)

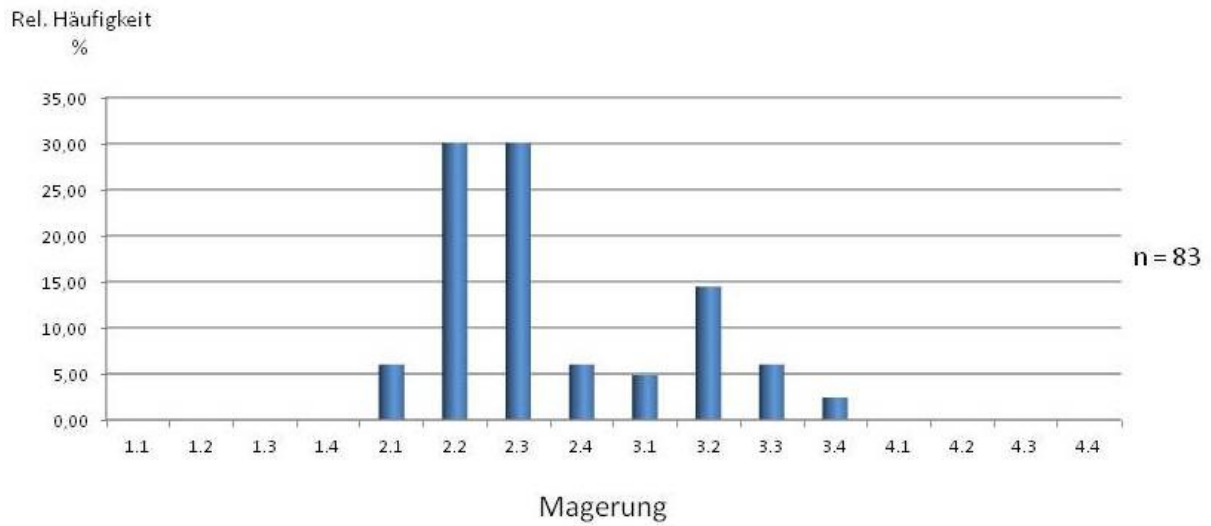


Abbildung 5.55: Tongrundig-rauwandige Ware: $h_{\text{Topf}} = f(\text{Magerung})$ über alle Funde
(Zahlenwerte zur Abb. siehe Tab. 5.73)

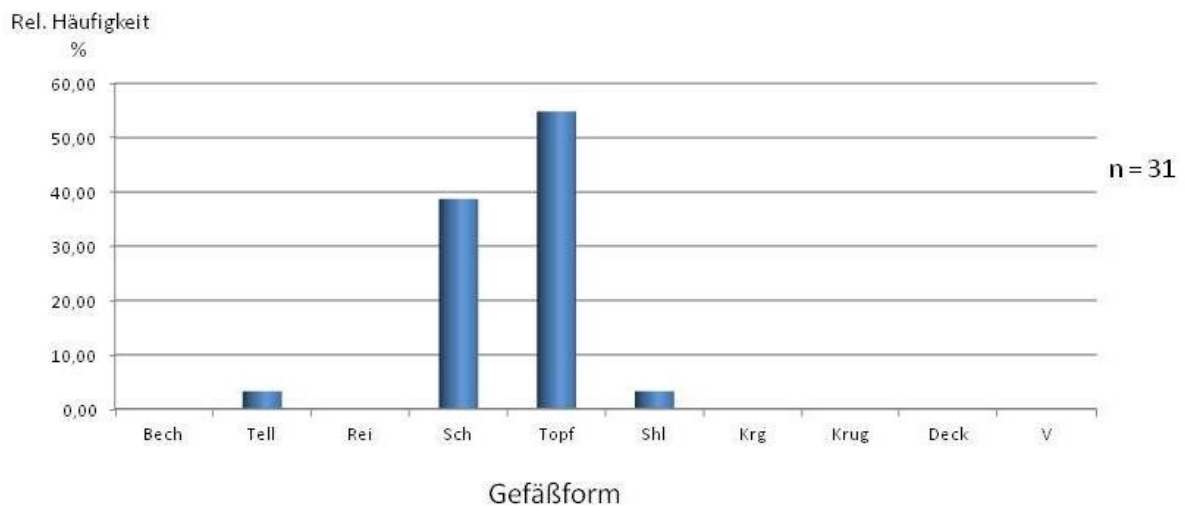


Abbildung 5.56: Handgemachte Ware: $h_{\text{Gefäße}} = f(\text{Gefäßform})$ über alle Funde
(Zahlenwerte zur Abb. siehe Tab. 5.74)

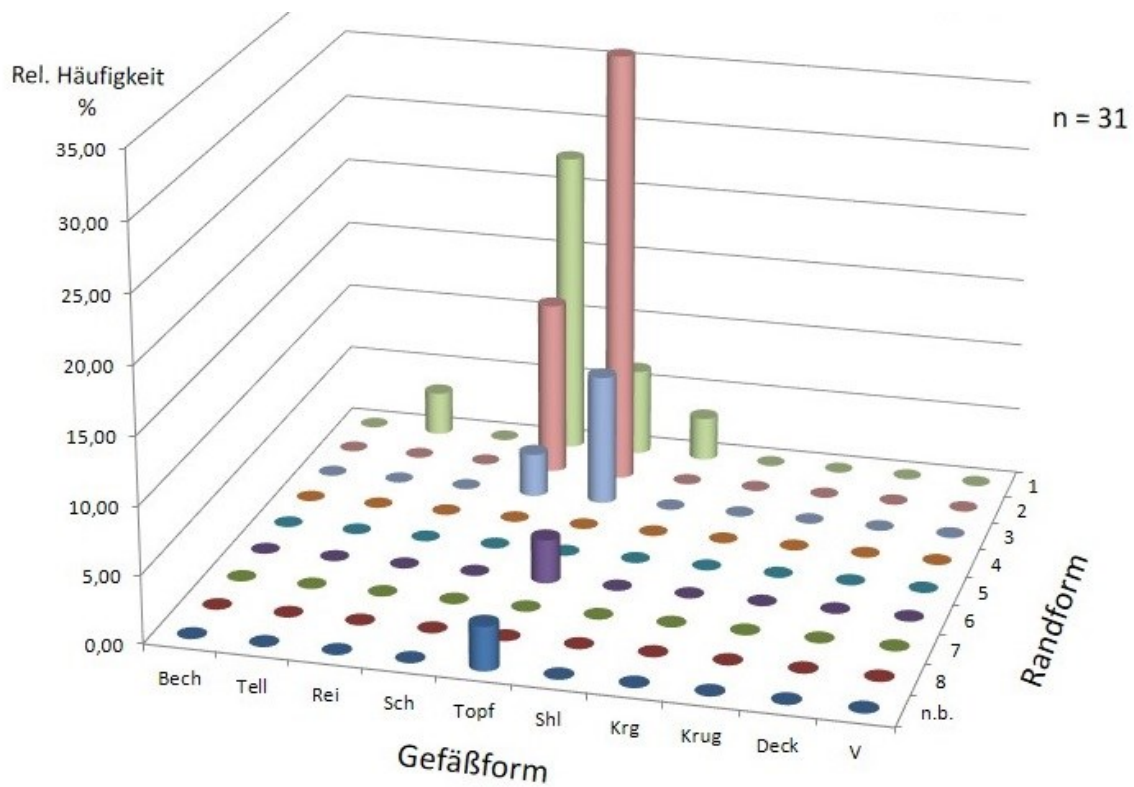


Abbildung 5.57: Handgemachte Ware: $h_{\text{GefäÙe}} = f(\text{GefäÙform}, \text{Randform})$ über alle Funde
(Zahlenwerte zur Abb. siehe Tab. 5.75)

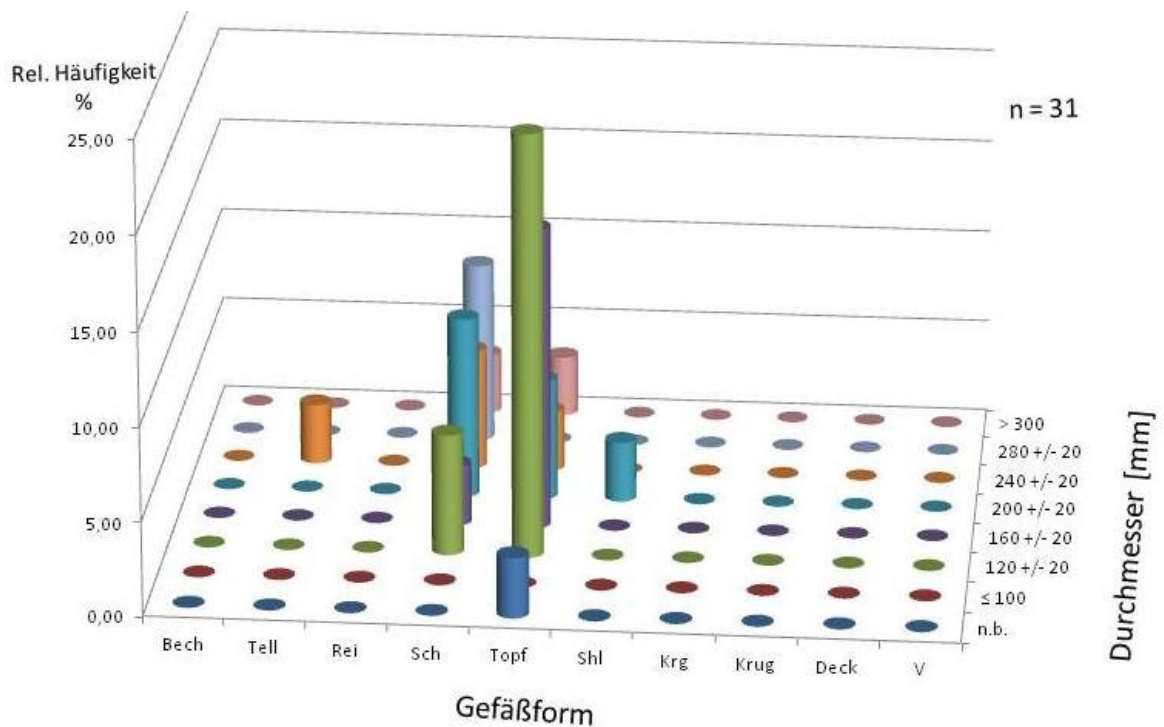


Abbildung 5.58: Handgemachte Ware: $h_{\text{GefäÙe}} = f(\text{GefäÙform}, \text{Durchmesser})$ über alle Funde
(Zahlenwerte zur Abb. siehe Tab. 5.78)

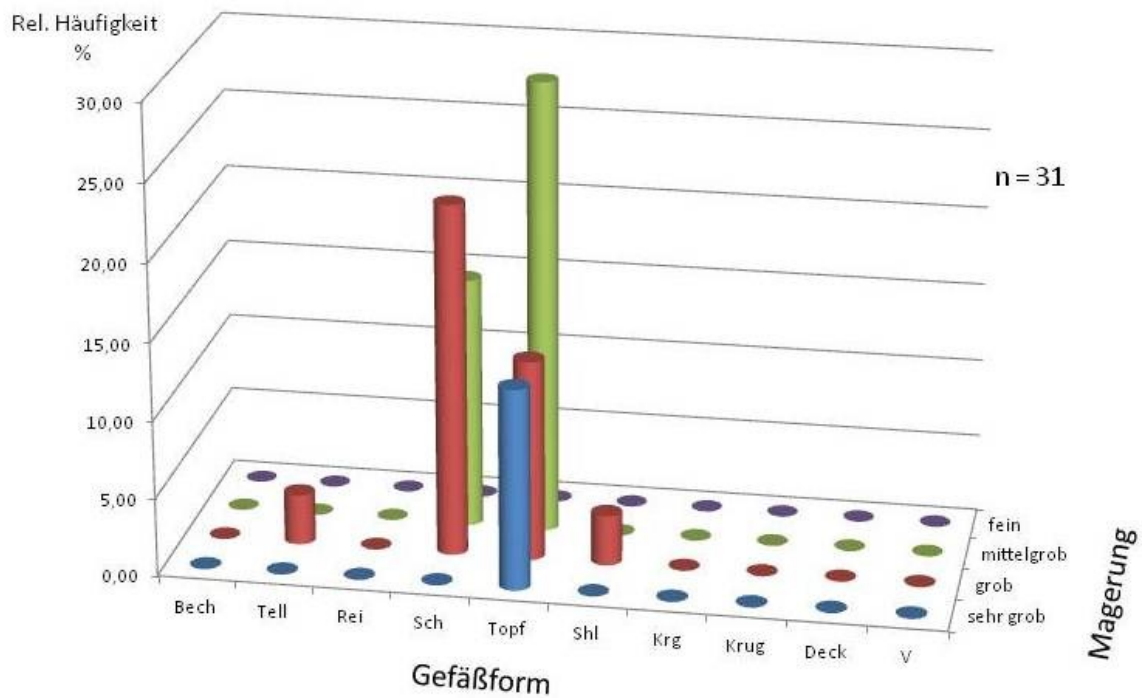


Abbildung 5.59: Handgemachte Ware: $h_{\text{GefäÙe}} = f(\text{GefäÙform, Magerung})$ über alle Funde
(Zahlenwerte zur Abb. siehe Tab. 5.76)

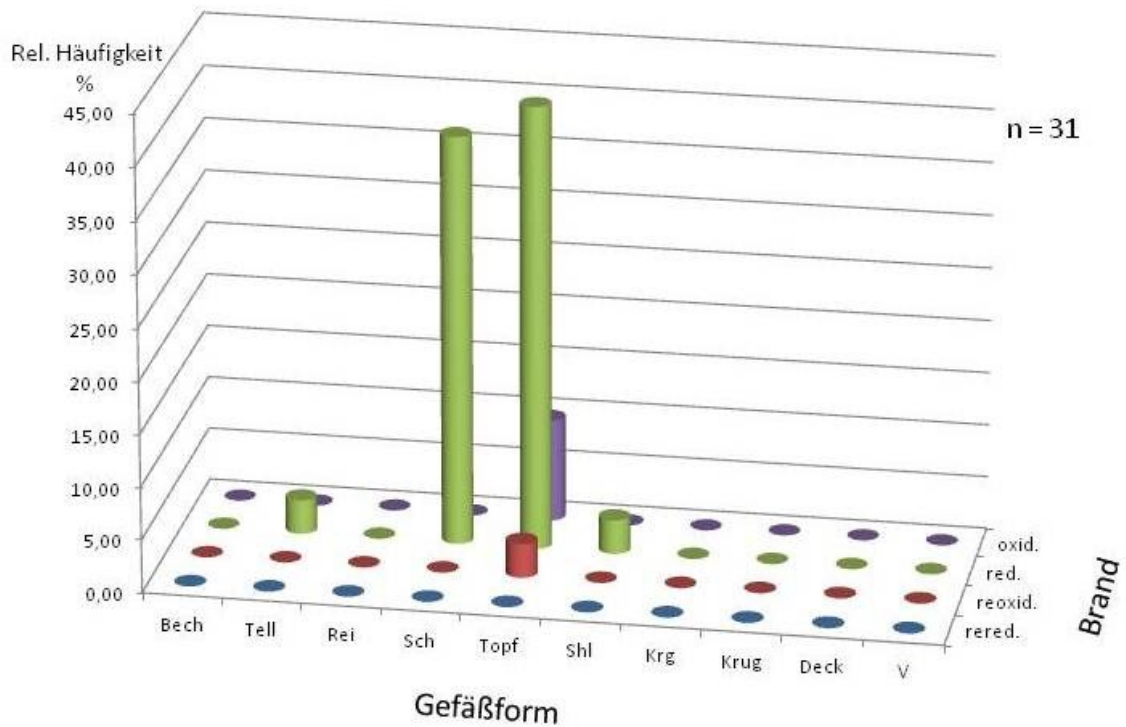


Abbildung 5.60: Handgemachte Ware: $h_{\text{GefäÙe}} = f(\text{GefäÙform, Brand})$ über alle Funde

(Zahlenwerte zur Abb. siehe Tab. 5.77)

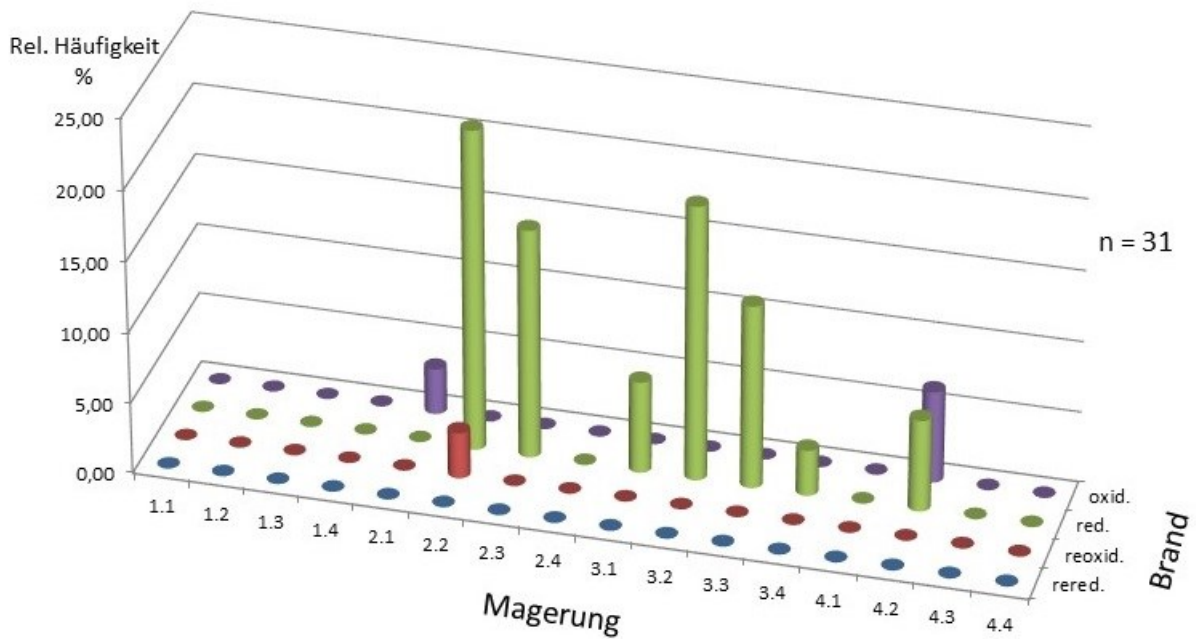


Abbildung 5.61: Handgemachte Ware: $h_{\text{Gefäße}} = f(\text{Magerung}, \text{Brand})$ über alle Funde
(Zahlenwerte zur Abb. siehe Tab. 5.79)

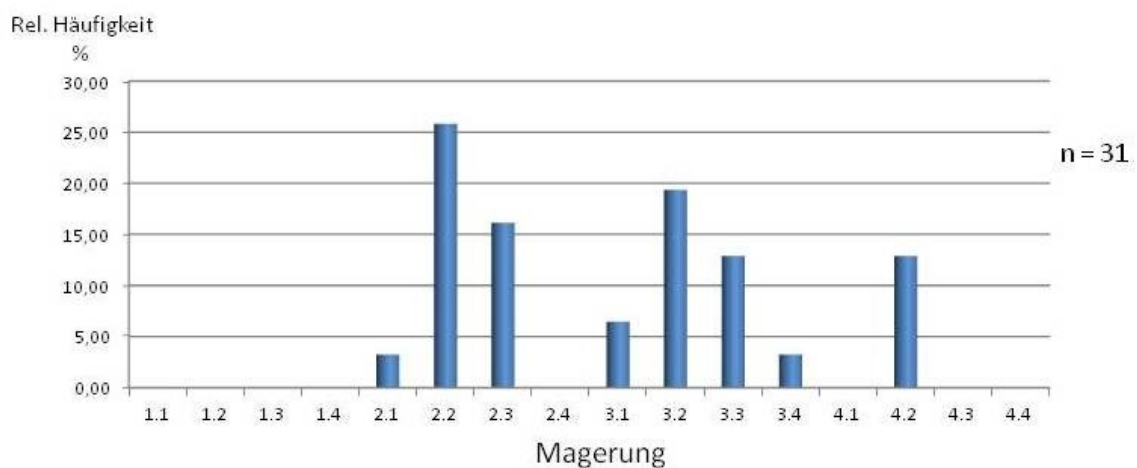


Abbildung 5.62: Handgemachte Ware: $h_{\text{Gefäße}} = f(\text{Magerung})$ über alle Funde
(Zahlenwerte zur Abb. siehe Tab. 5.80)

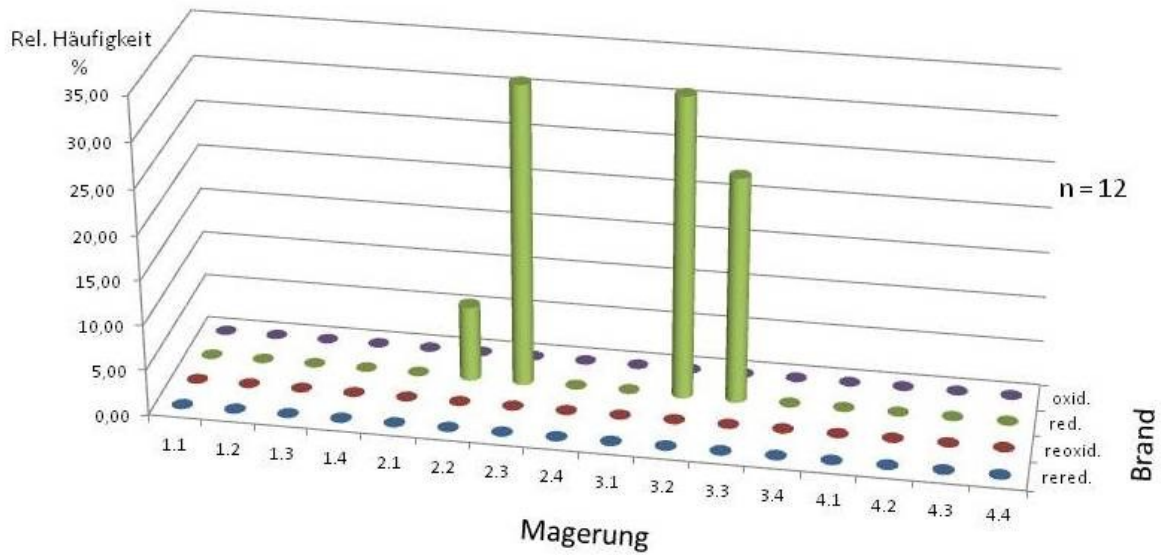


Abbildung 5.63: Handgemachte Ware: $h_{Sch} = f(\text{Magerung}, \text{Brand})$ über alle Funde
(Zahlenwerte zur Abb. siehe Tab. 5.81)

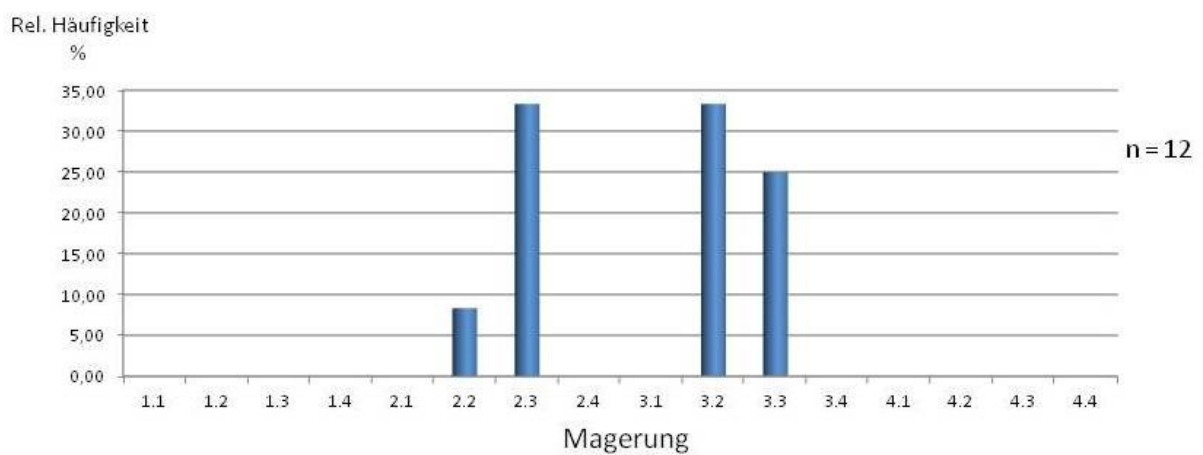


Abbildung 5.64: Handgemachte Ware: $h_{Sch} = f(\text{Magerung})$ über alle Funde
(Zahlenwerte zur Abb. siehe Tab. 5.82)

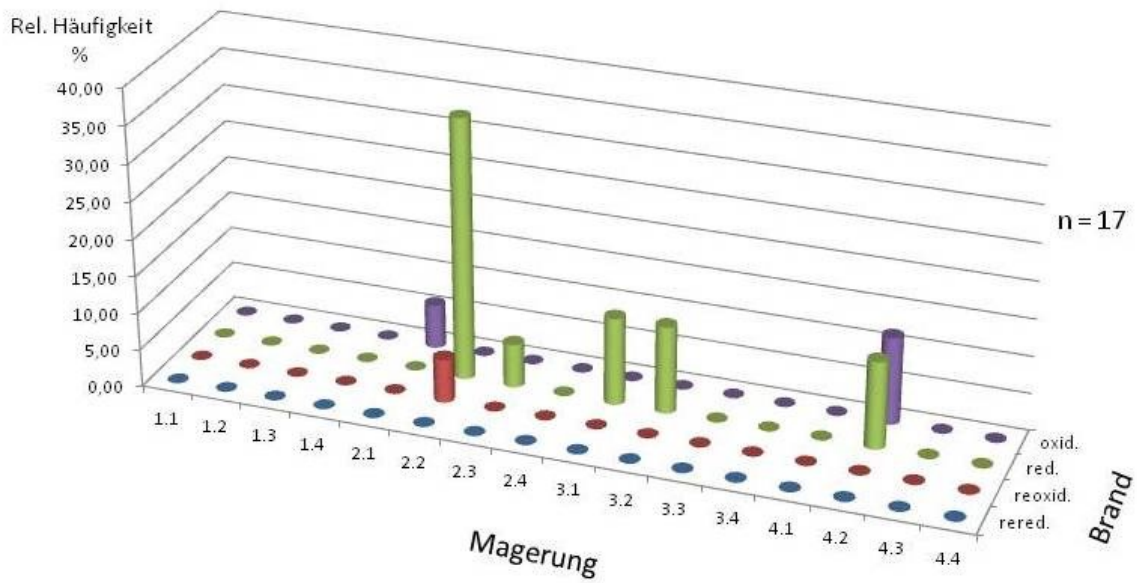


Abbildung 5.65: Handgemachte Ware: $h_{\text{Topf}} = f(\text{Magerung}, \text{Brand})$ über alle Funde
(Zahlenwerte zur Abb. siehe Tab. 5.83)

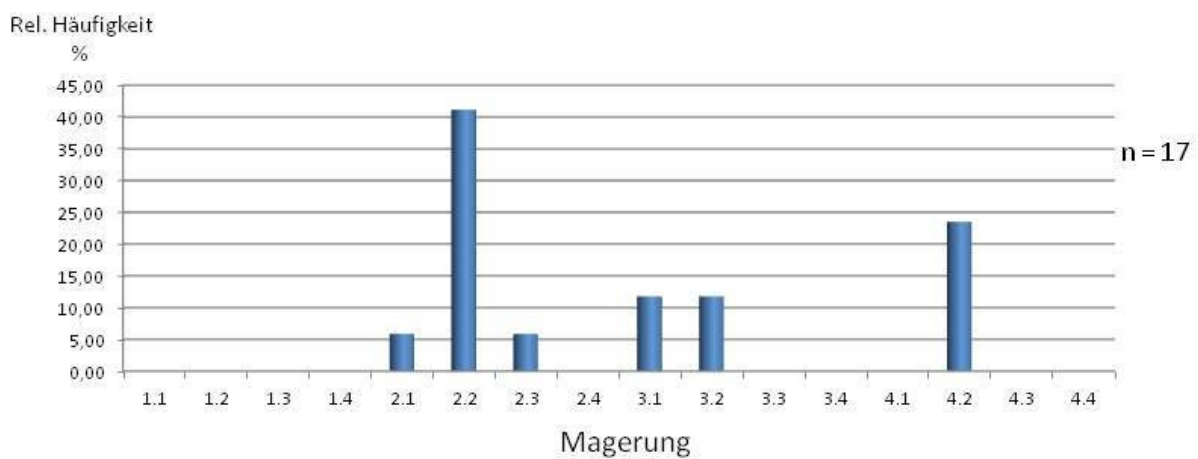


Abbildung 5.66: Handgemachte Ware: $h_{\text{Topf}} = f(\text{Magerung})$ über alle Funde
(Zahlenwerte zur Abb. siehe Tab. 5.84)

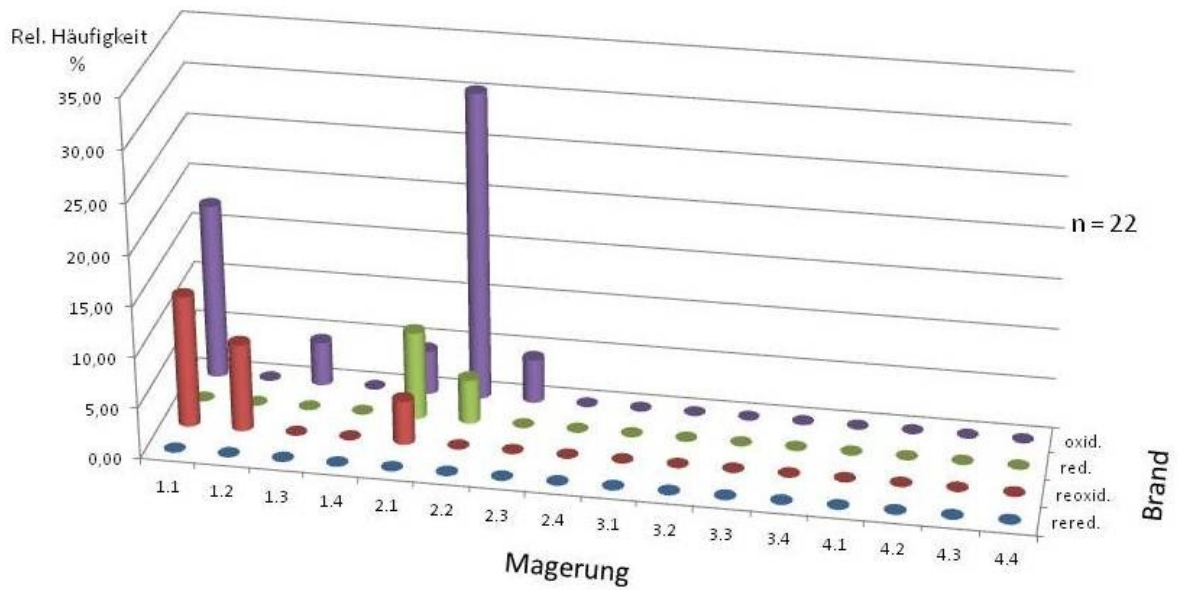


Abbildung 5.67: Tongrundig-glattwandige Ware: $h_{shl}^* = f(\text{Magerung}, \text{Brand})$ über alle Funde
(Zahlenwerte zur Abb. siehe Tab. 5.85)

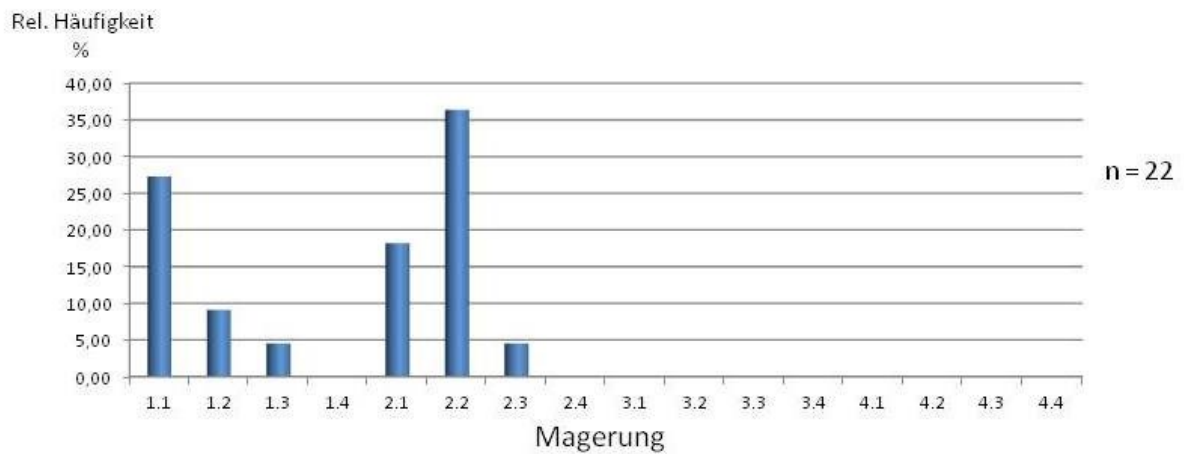


Abbildung 5.68: Tongrundig-glattwandige Ware: $h_{shl}^* = f(\text{Magerung})$ über alle Funde
(Zahlenwerte zur Abb. siehe Tab. 5.86)

*: Form wie Drag. 32

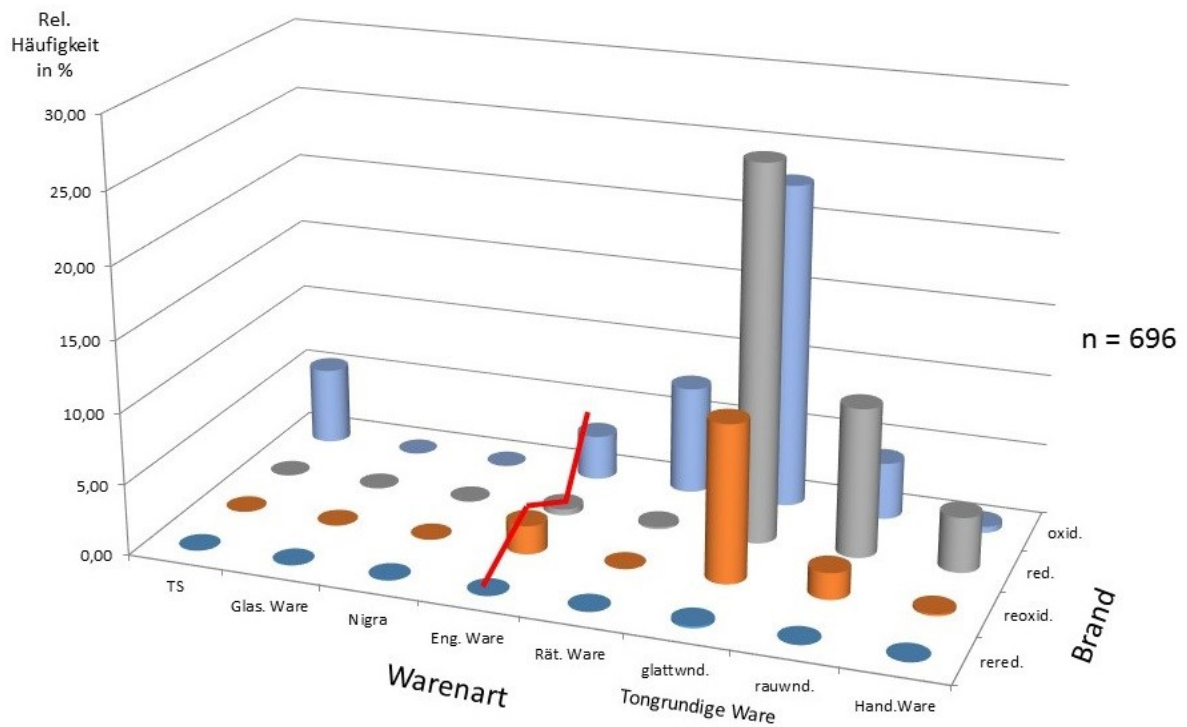


Abbildung 5.69: Keramik: $h_{\text{Gefäße}^*} = f(\text{Warenart}, \text{Brand})$ über alle Funde
(Zahlenwerte zur Abb. siehe Tab. 5.88)

*: Randscherben, 9 TS-Wand und 3 TS-Bodenscherben

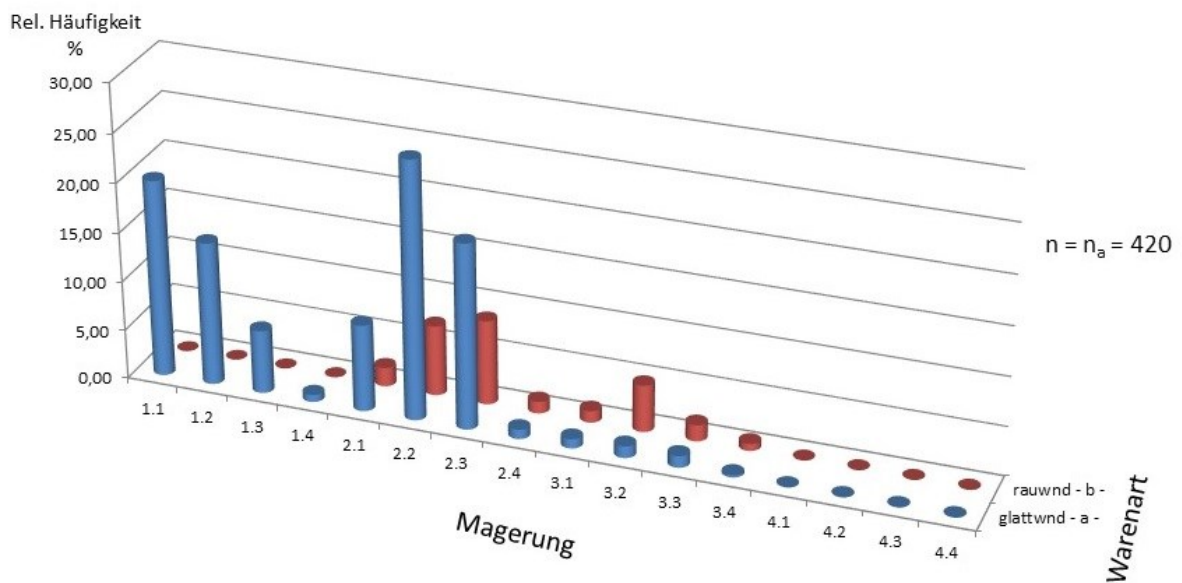


Abbildung 5.70: Tongrundige Ware: $h_{\text{Gefäße}} = f(\text{Magerung}, (\text{glattwnd.}, \text{rauwnd.}))$ über alle Funde

(Zahlenwerte zur Abb. siehe Tab. 5.89)

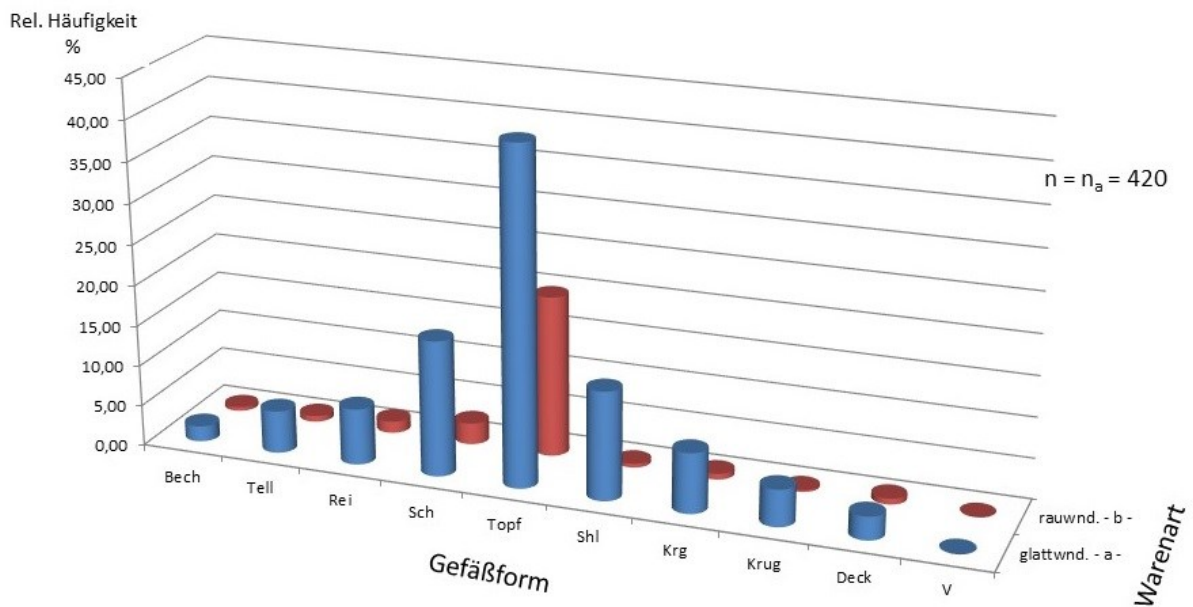


Abbildung 5.71: Tongrundige Ware: $h_{\text{GefäÙe}} = f(\text{GefäÙform, (glattwnd., rauwnd.)})$ über alle Funde

(Zahlenwerte zur Abb. siehe Tab. 5.90)

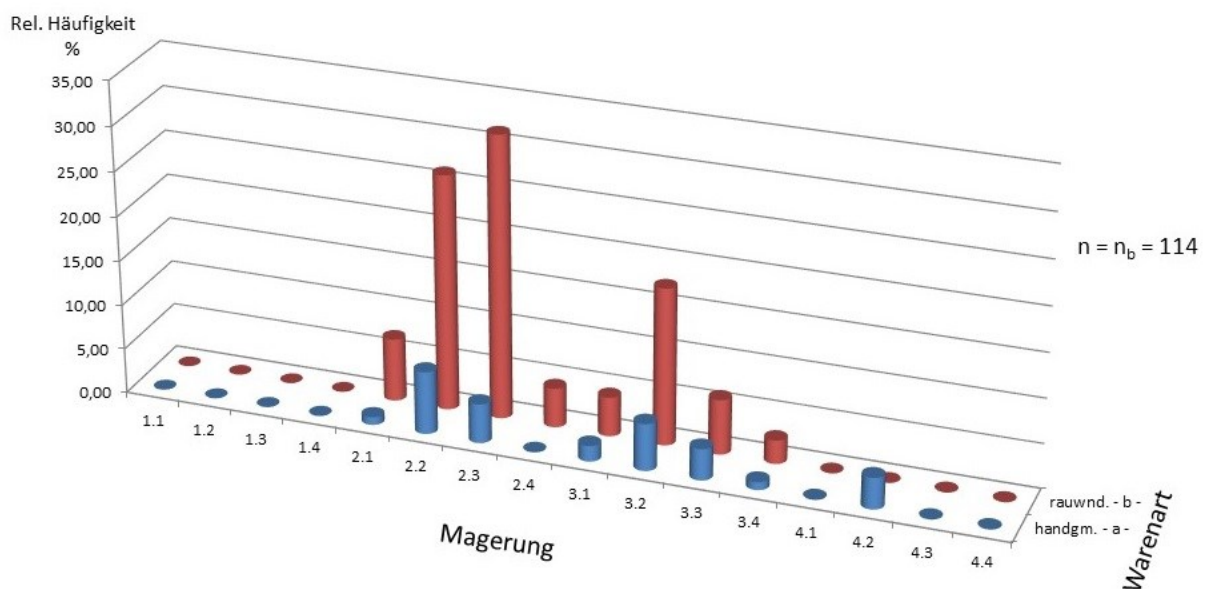


Abbildung 5.72: Handgemachte und rauwandige Ware: $h_{\text{GefäÙe}} = f(\text{Magerung, (handgm., rauwnd.)})$ über alle Funde

(Zahlenwerte zur Abb. siehe Tab. 5.91)

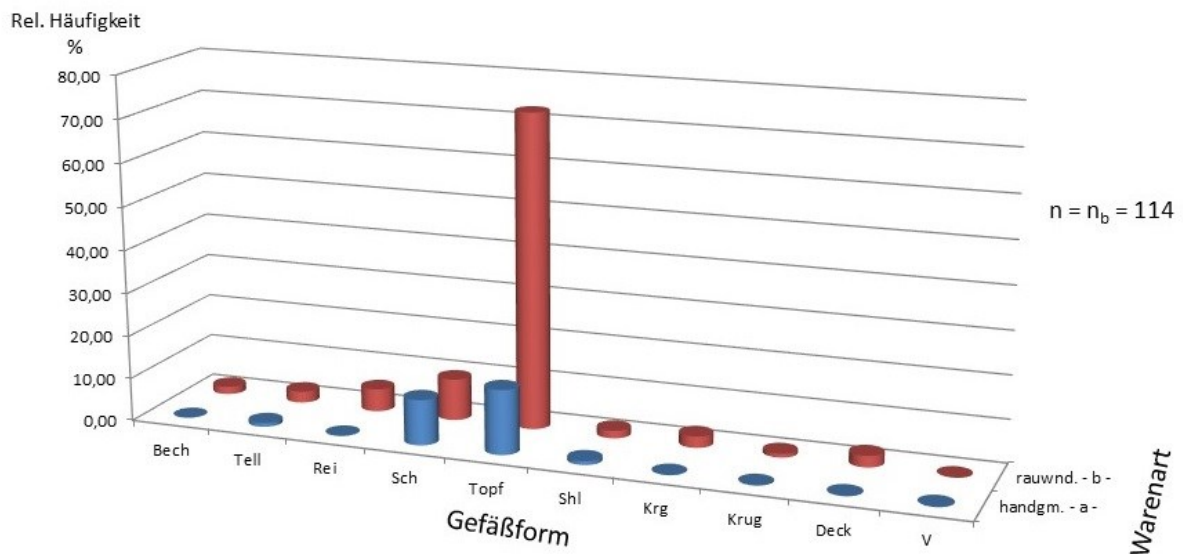


Abbildung 5.73: Handgemachte und rauwandige Ware: $h_{\text{GefäÙe}} = f(\text{GefäÙform, (handgm., rauwnd.)})$ über alle Funde
(Zahlenwerte zur Abb. siehe Tab. 5.92)

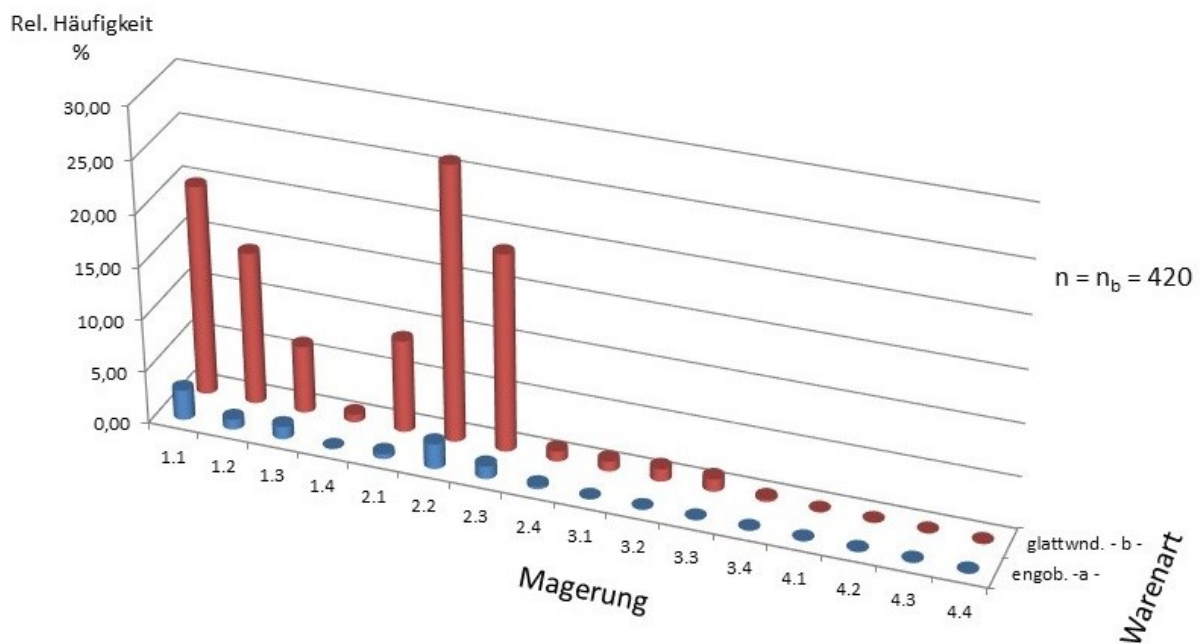


Abbildung 5.74: Engobierte und glattwandige Ware: $h_{\text{GefäÙe}} = f(\text{Magerung, (engob., glattwnd.)})$ über alle Funde
(Zahlenwerte zur Abb. siehe Tab. 5.93)

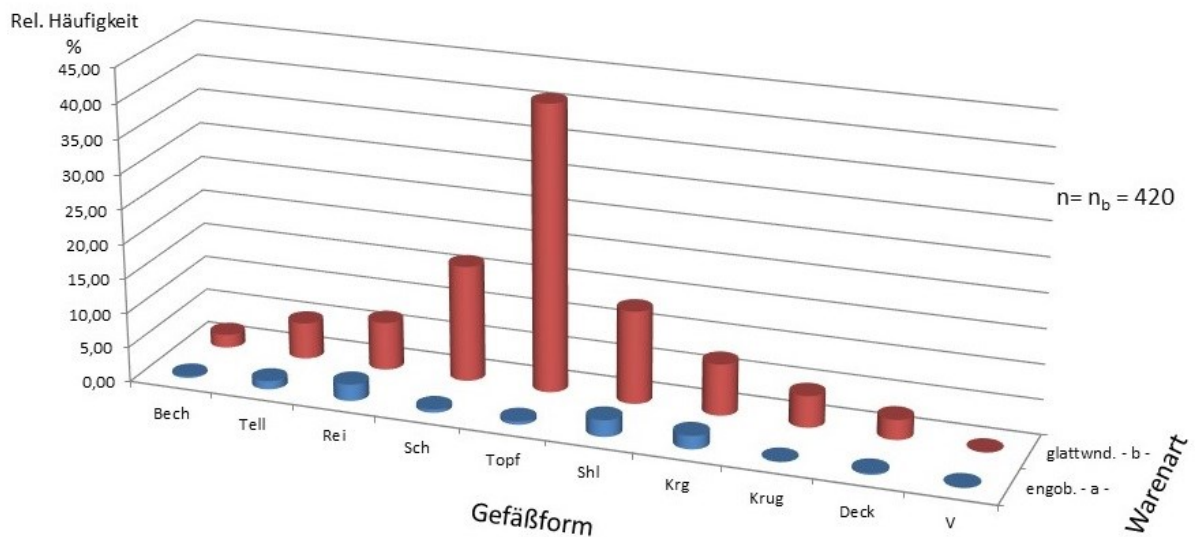


Abbildung 5.75: Engobierte und glattwandige Ware: $h_{\text{Gefäße}} = f(\text{Gefäßform}, (\text{engob.}, \text{glattwnd.}))$ über alle Funde
(Zahlenwerte zur Abb. siehe Tab. 5.94)

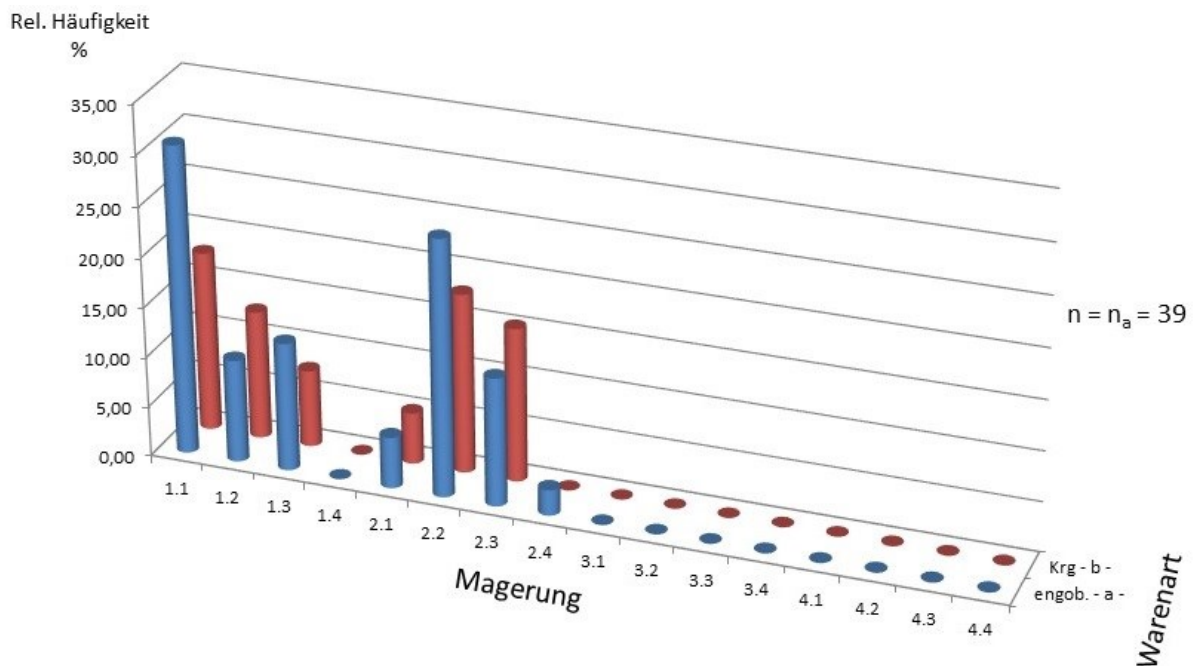


Abbildung 5.76: Engobierte und glattwandige Ware: $h_{\text{Gefäße}} = f(\text{Magerung}, (\text{engob.}, \text{Krg}))$
über alle Funde
(Zahlenwerte zur Abb. siehe Tab. 5.95)

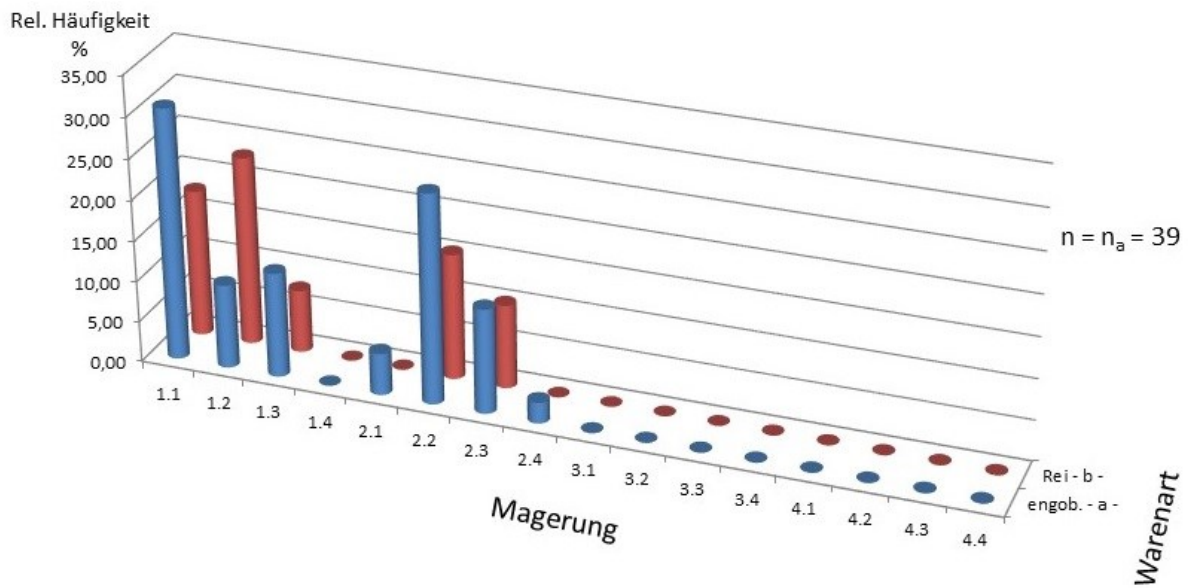


Abbildung 5.77: Engobierte und glattwandige Ware: $h_{\text{Gefäße}} = f(\text{Magerung}, (\text{engob.}, \text{Rei}))$
über alle Funde
(Zahlenwerte zur Abb. siehe Tab. 5.96)

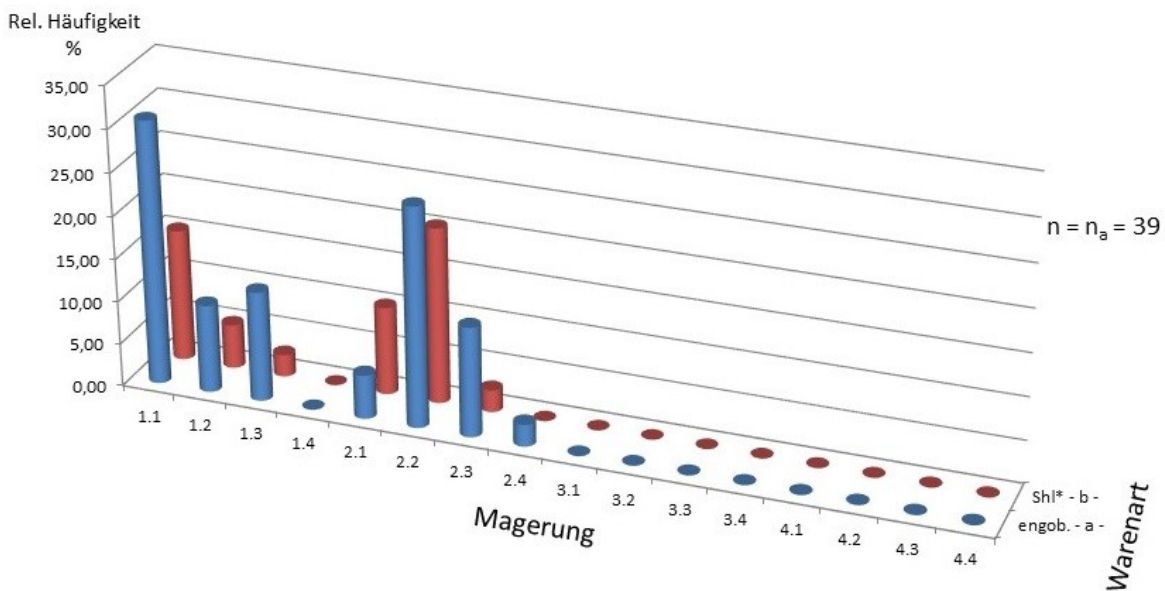


Abbildung 5.78: Engobierte und glattwandige Ware: $h_{\text{Gefäße}} = f(\text{Magerung}, (\text{engob.}, \text{Shl}^*))$
über alle Funde
(Zahlenwerte zur Abb. siehe Tab. 5.97)

*: Form wie Drag. 32

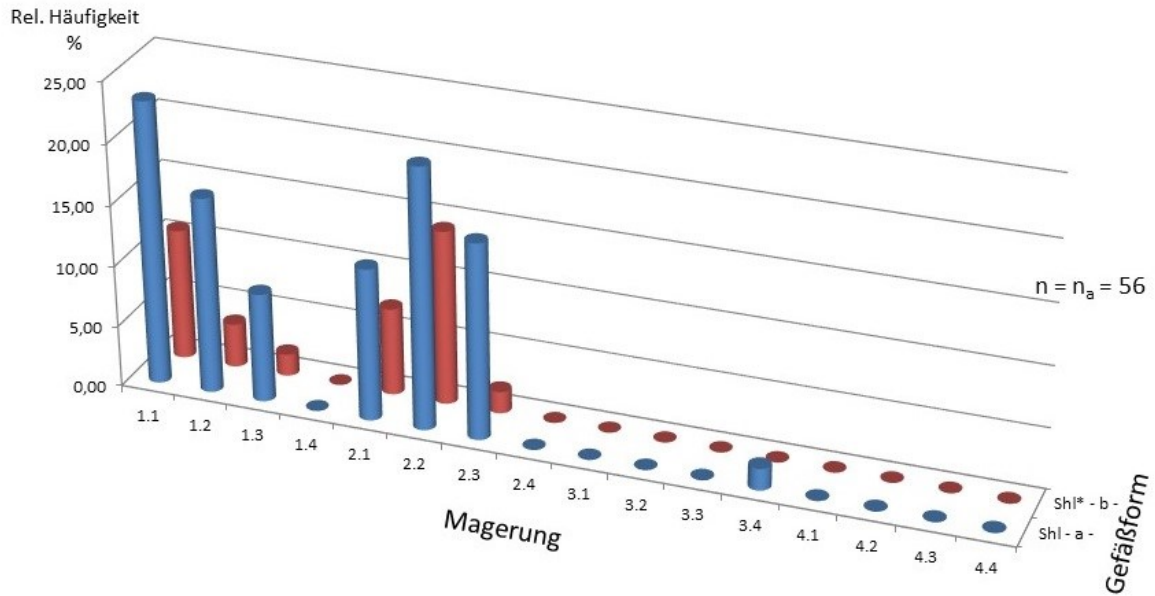


Abbildung 5.79: Tongrundig-glatte Wandige Ware: $h_{Shl} = f(\text{Magerung}, (\text{Shl}, \text{Shl}^*))$ über alle Funde

(Zahlenwerte zur Abb. siehe Tab. 5.98)

*: Form wie Drag. 32

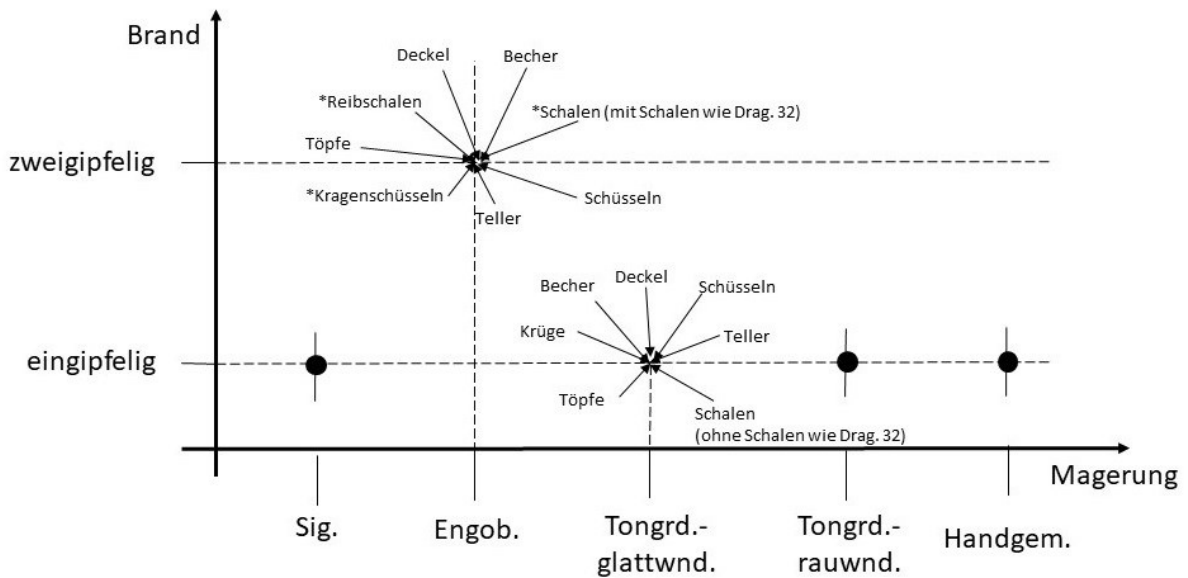


Abbildung 5.80: Korrelation zwischen Brand und Magerung

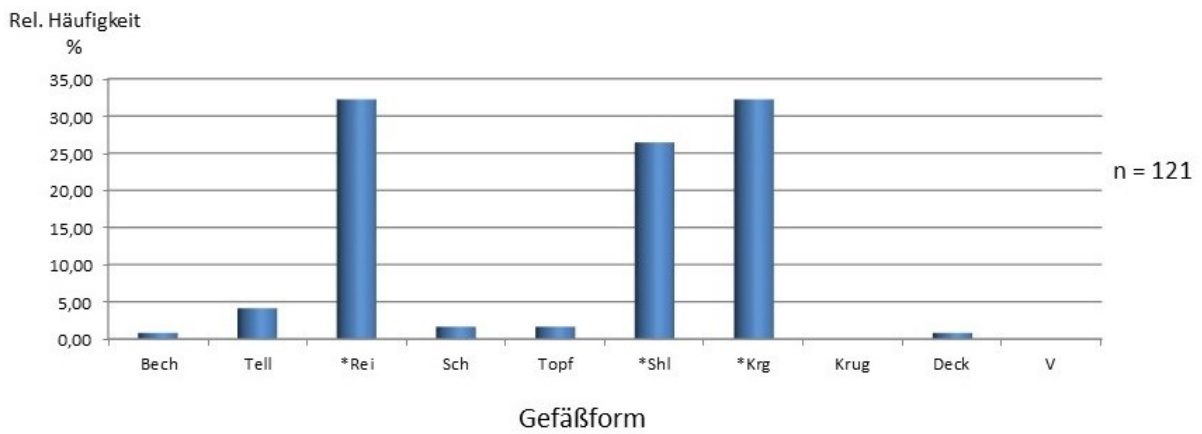


Abbildung 5.81: *Engobierware: $h_{\text{GefäÙe}} = f(\text{GefäÙform})$ über alle Funde

(Zahlenwerte zur Abb. siehe Tab. 5.99)

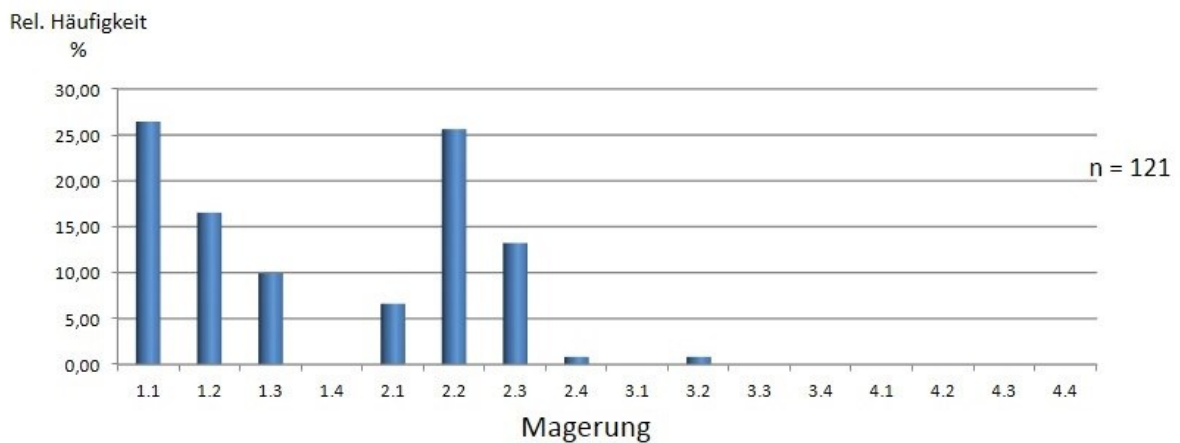


Abbildung 5.82: *Engobierware: $h_{\text{GefäÙe}} = f(\text{Magerung})$ über alle Funde

(Zahlenwerte zur Abb. siehe Tab. 5.100)

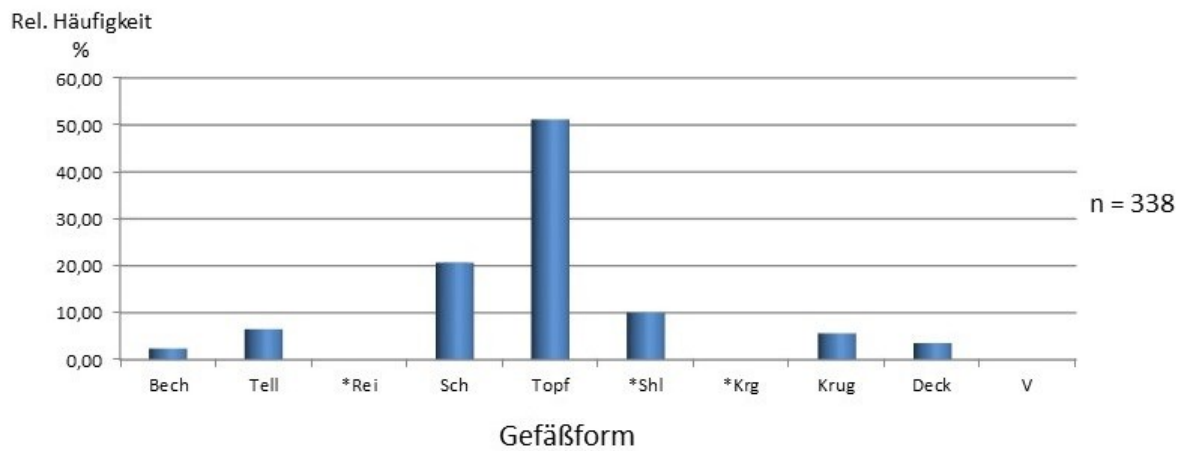


Abbildung 5.83: *Tongrundig-glattwandige Ware: $h_{\text{GefäÙe}} = f(\text{GefäÙform})$ über alle Funde
(Zahlenwerte zur Abb. siehe Tab. 5.101)

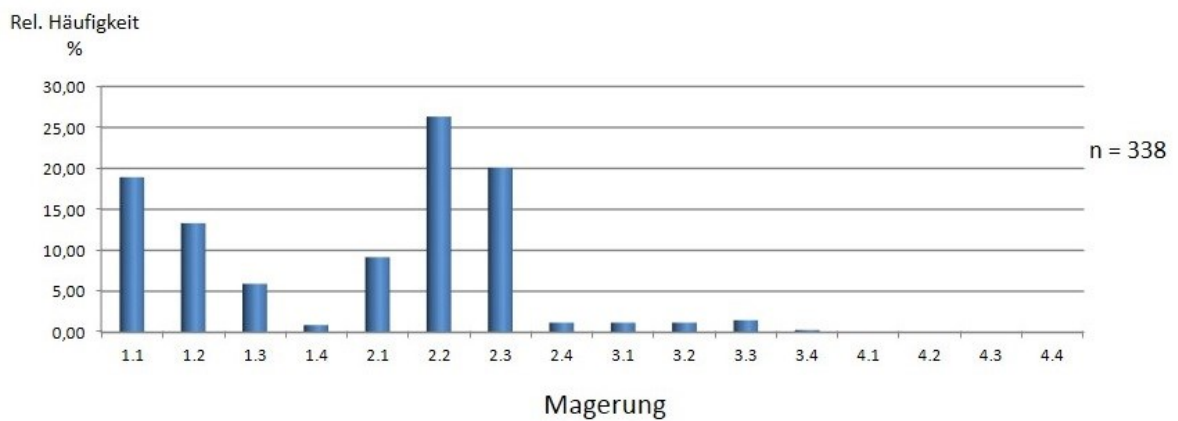


Abbildung 5.84: *Tongrundig-glattwandige Ware: $h_{\text{GefäÙe}} = f(\text{Magerung})$ über alle Funde
(Zahlenwerte zur Abb. siehe Tab. 5.102)

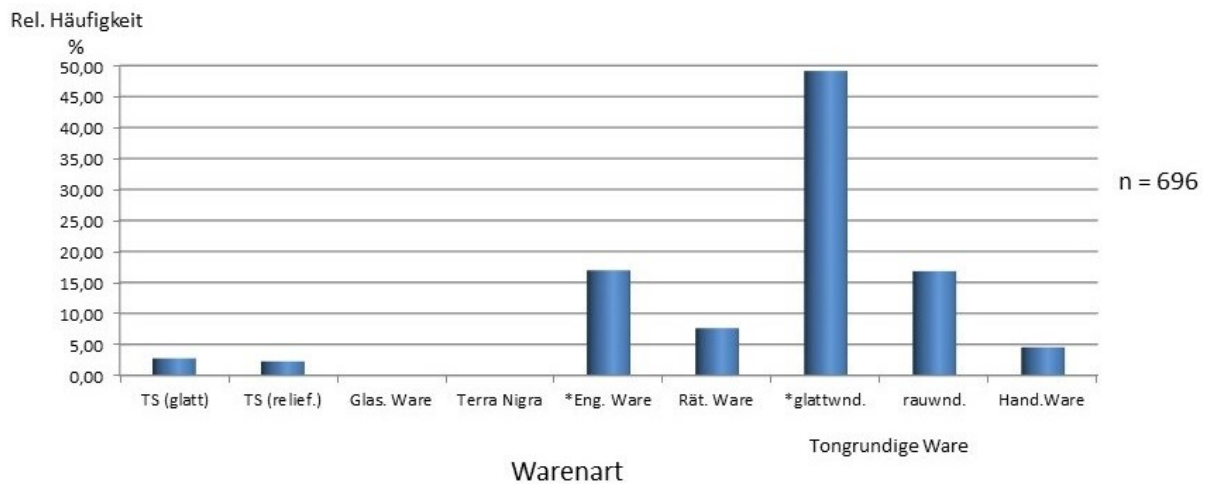


Abbildung 5.85: Keramik: $h_{\text{Gefäße}^*} = f(\text{Warenart})$ über alle Funde
(Zahlenwerte zur Abb. siehe Tab. 5.103)

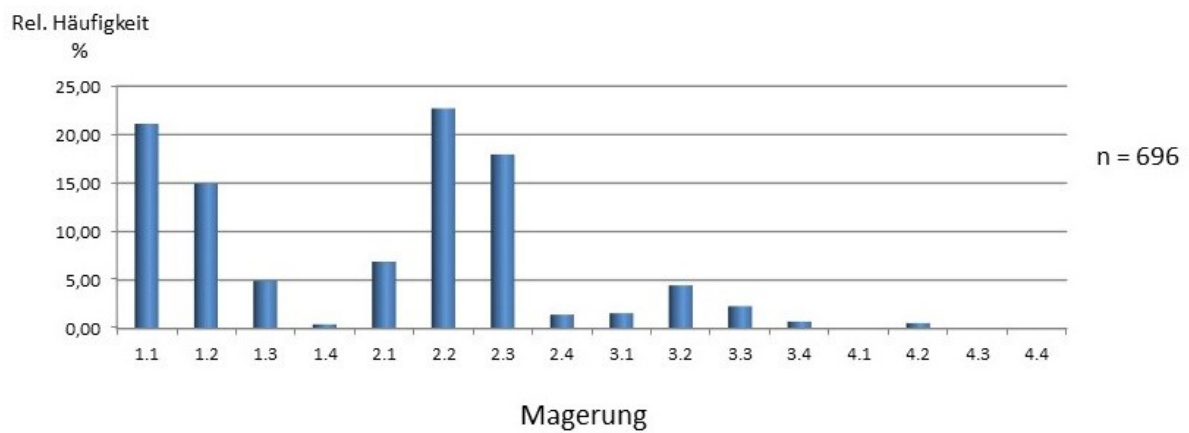


Abbildung 5.86: : Keramik: $h_{\text{Gefäße}^*} = f(\text{Magerung})$ über alle Funde
(Zahlenwerte zur Abb. siehe Tab. 5.104)

*: Randscherben, 9 TS-Wand- und 3 TS-Bodenscherben

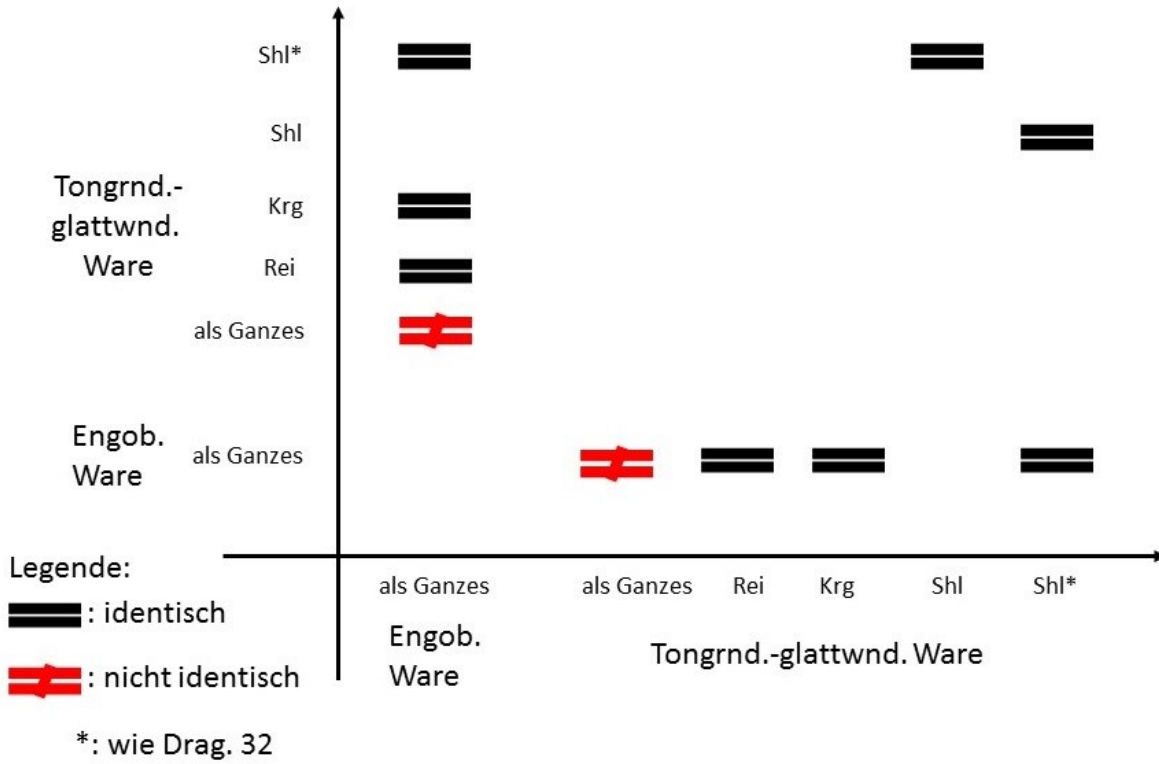


Abbildung 5.87: Identitäten bei der Magerung von engobierter und tongrundig-glattwandiger Ware

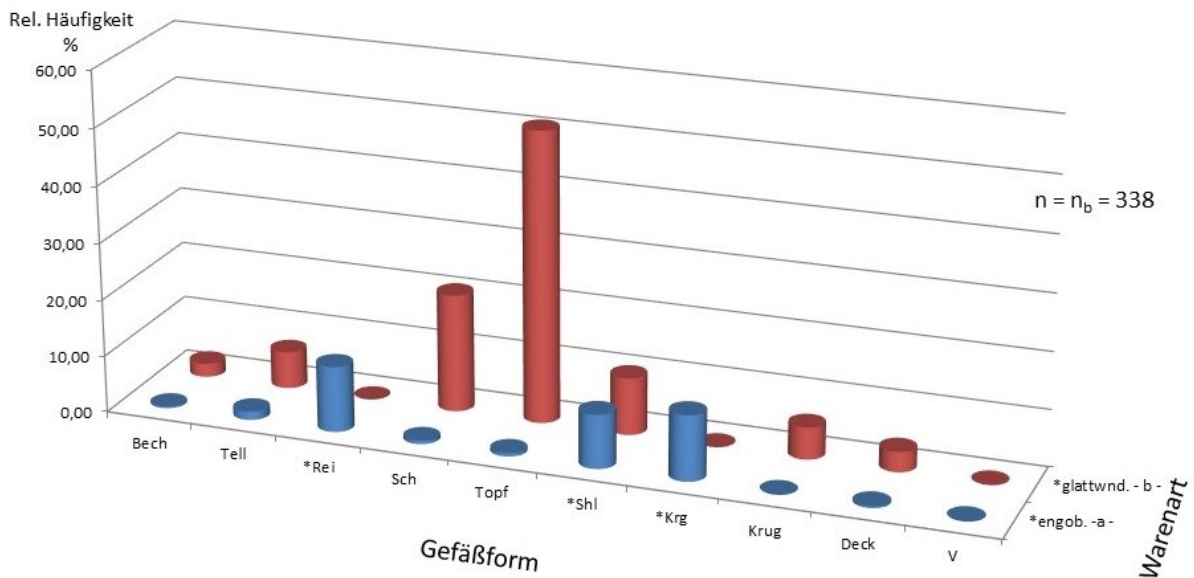


Abbildung 5.88: Keramik: $h_{\text{Gefäße}} = f(\text{Gefäßform}, (*\text{engob.}, *\text{glattwnd.}))$ über alle Funde (Zahlenwerte zur Abb. siehe Tab. 5.105)

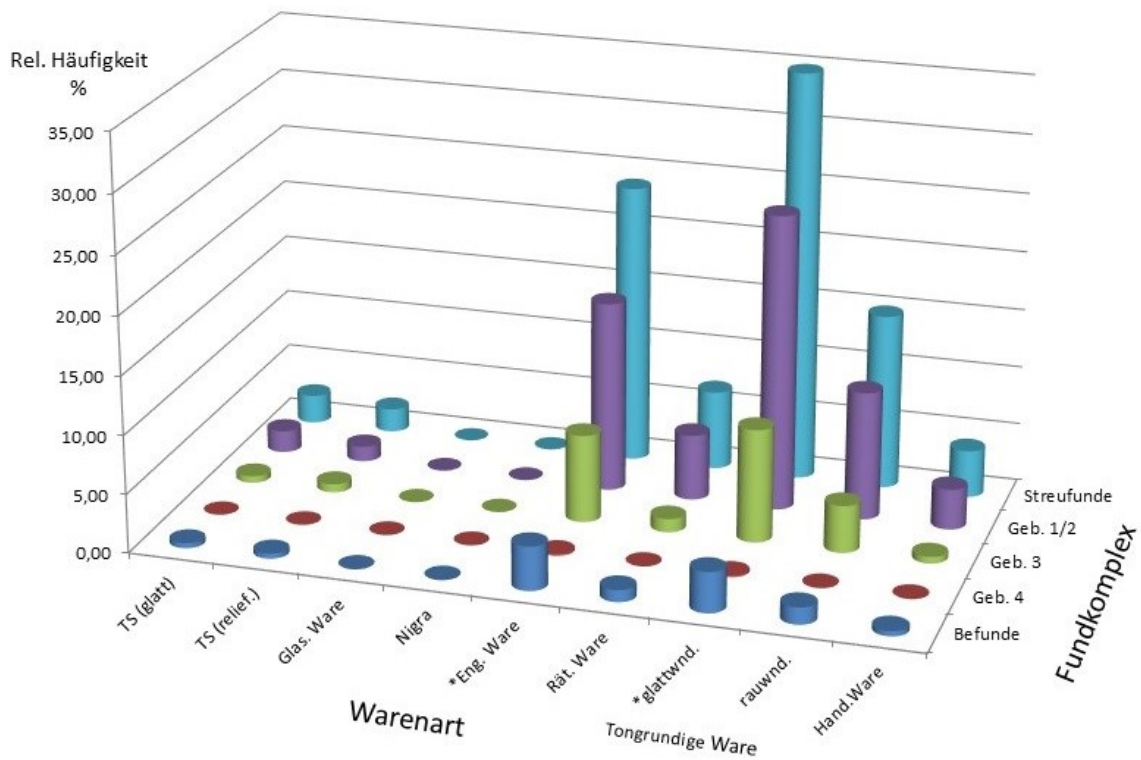


Abbildung 5.89: Keramik: $h_{\text{Gefäße}^*} = f(\text{Warenart}, \text{Fundkomplex})$

(Zahlenwerte zur Abb. siehe Tab. 5.126)

- *: Streufunde: Randscherben, 8 TS-Wand- und 3 TS-Bodenscherben; n = 619
 Geb. 1/2: Randscherben, 4 TS-Wand- und 3 TS-Bodenscherben; n= 449
 Geb3: Randscherben, 4 TS-Wandscherben; n = 168
 Geb. 4: Randscherben; n = 2
 Befunde: Randscherben; n = 76

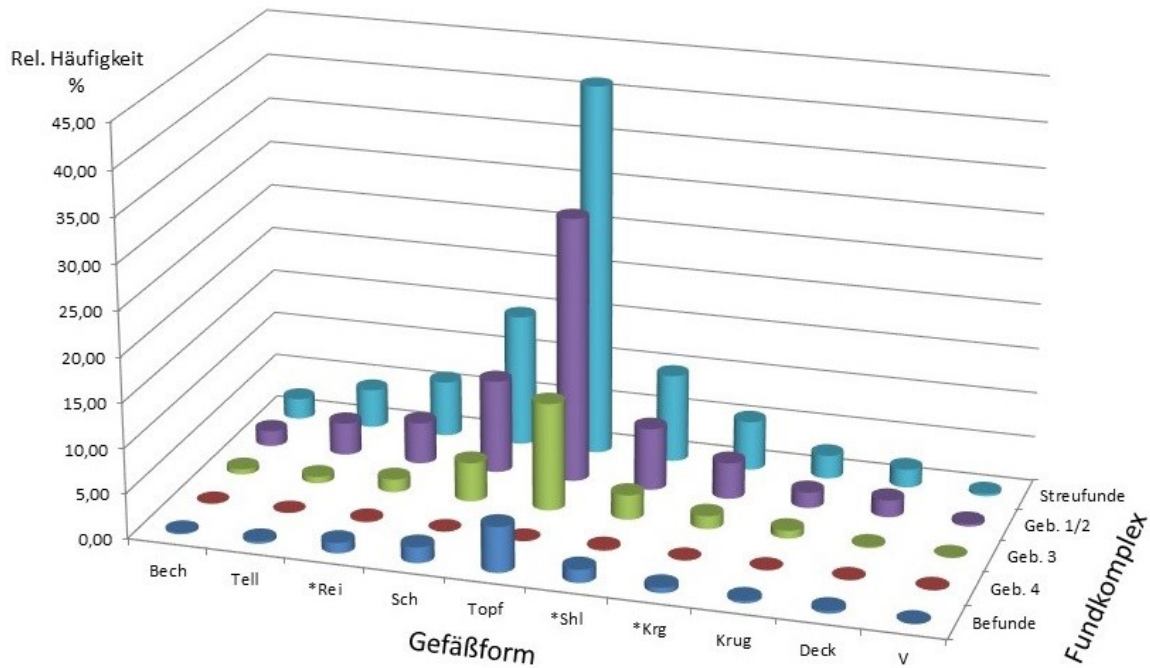


Abbildung 5.90: Keramik: $h_{\text{Gefäße}^*} = f(\text{Gefäßform}, \text{Fundkomplex})$

(Zahlenwerte zur Abb. siehe Tab. 5.127)

- *: Streufunde: Randscherben, 8 TS-Wand- und 3 TS-Bodenscherben; n = 619
- Geb. 1/2: Randscherben, 4 TS-Wand- und 3 TS-Bodenscherben; n= 449
- Geb3: Randscherben, 4 TS-Wandscherben; n = 168
- Geb. 4: Randscherben; n = 2
- Befunde: Randscherben; n = 76

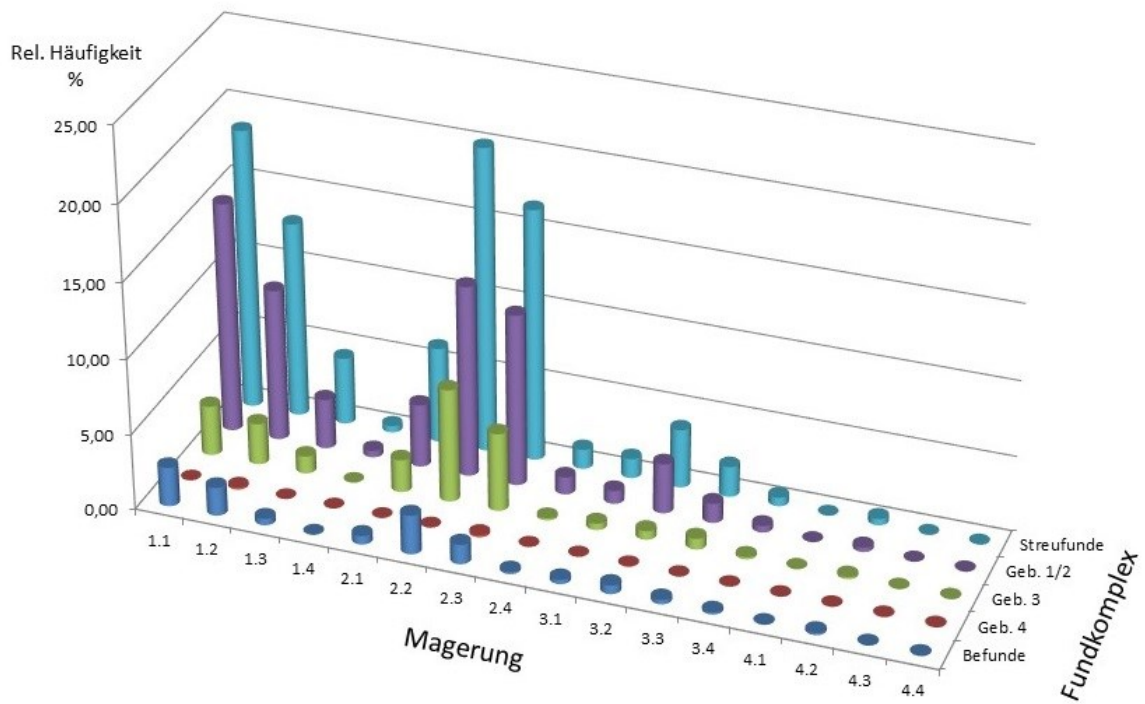


Abbildung 5.91: Keramik: $h_{\text{Gefäße}^*} = f(\text{Magerung}, \text{Fundkomplex})$

(Zahlenwerte zur Abb. siehe Tab. 5.128)

- *: Streufunde: Randscherben, 8 TS-Wand- und 3 TS-Bodenscherben; n = 619
- Geb. 1/2: Randscherben, 4 TS-Wand- und 3 TS-Bodenscherben; n= 449
- Geb3: Randscherben, 4 TS-Wandscherben; n = 168
- Geb. 4: Randscherben; n = 2
- Befunde: Randscherben; n = 76

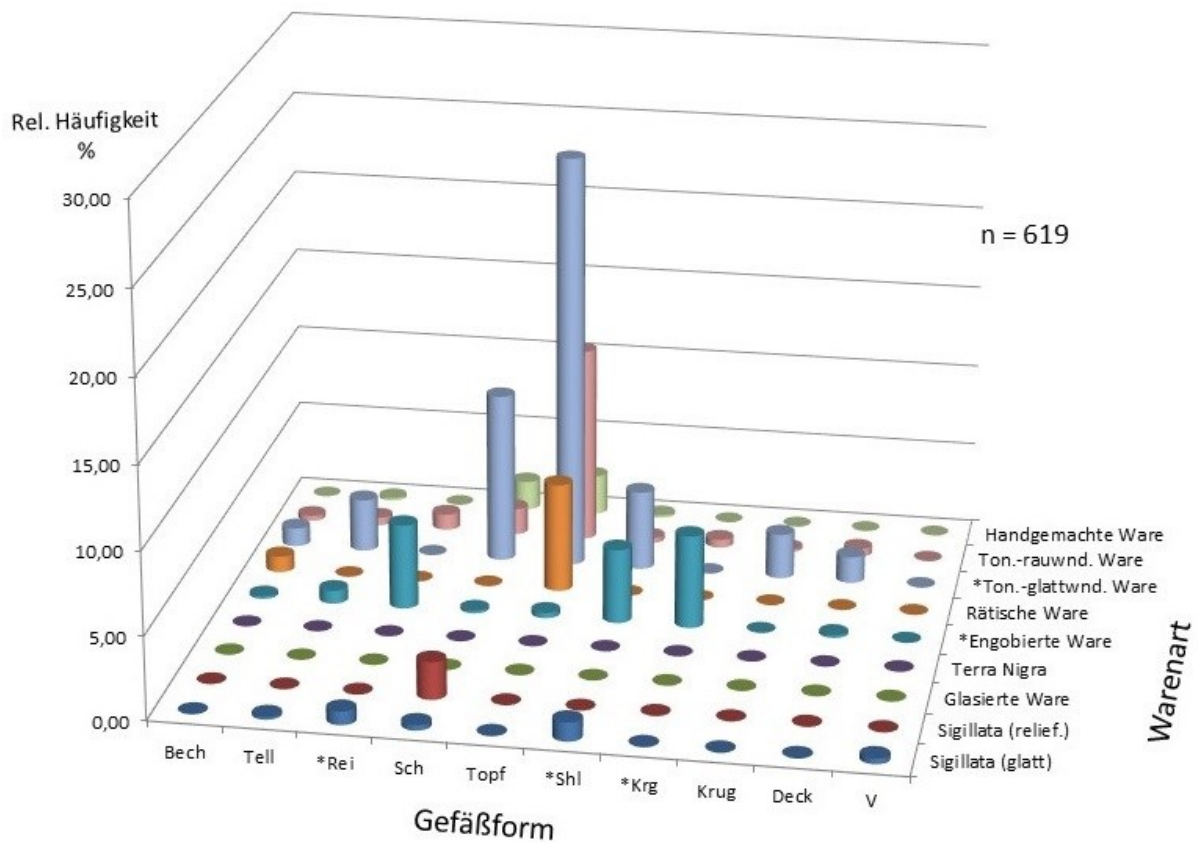


Abbildung 5.92: Keramik: $h_{\text{Gefäße}^*} = f(\text{Gefäßform}, \text{Wareart})$ über alle Streufunde
 (Zahlenwerte zur Abb. siehe Tab. 5.130)

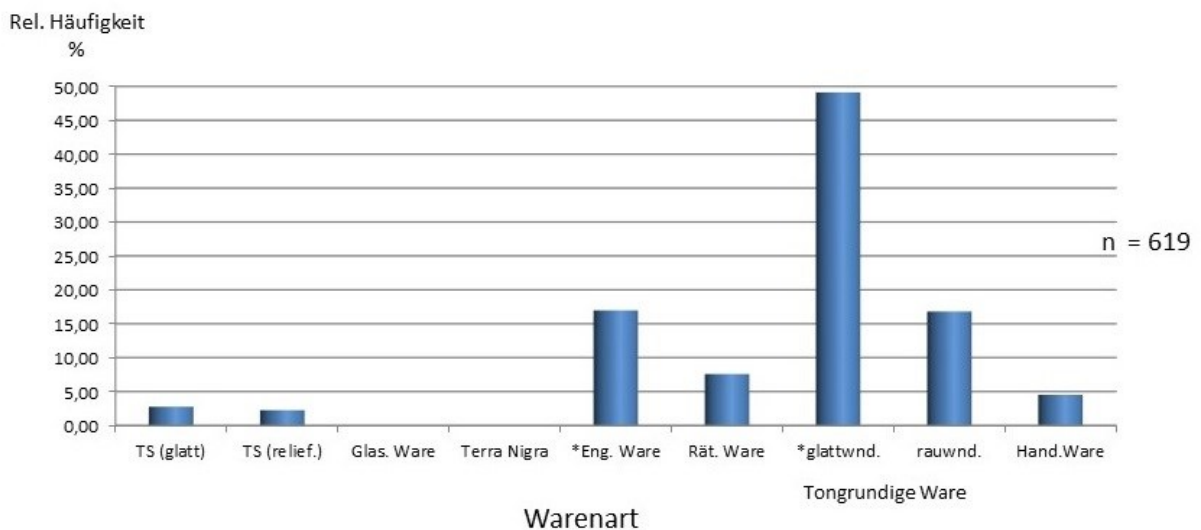


Abbildung 5.93: Keramik: $h_{\text{Gefäße}^*} = f(\text{Wareart})$ über alle Streufunde
 (Zahlenwerte zur Abb. siehe Tab. 5.131)

*: Randscherben, 8 TS-Wand und 3 TS-Bodenscherben

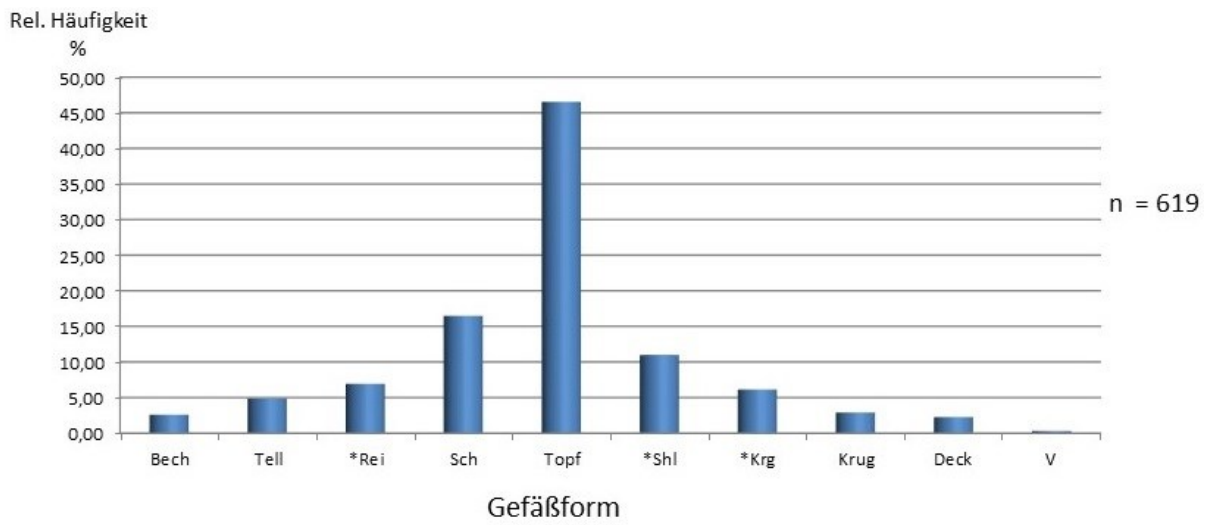


Abbildung 5.94: Keramik: $h_{\text{Gefäße}^*} = f(\text{Gefäßform})$ über alle Streufunde
(Zahlenwerte zur Abb. siehe Tab. 5.132)

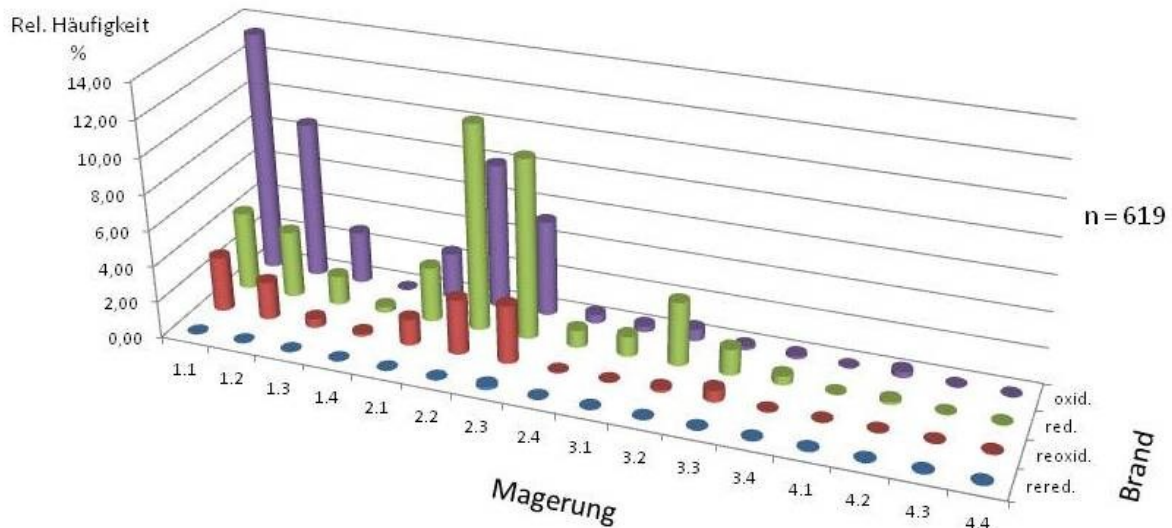


Abbildung 5.95: Keramik: $h_{\text{Gefäße}^*} = f(\text{Magerung}, \text{Brand})$ über alle Streufunde
(Zahlenwerte zur Abb. siehe Tab. 5.133)

*: Randscherben, 8 TS-Wand und 3 TS-Bodenscherben

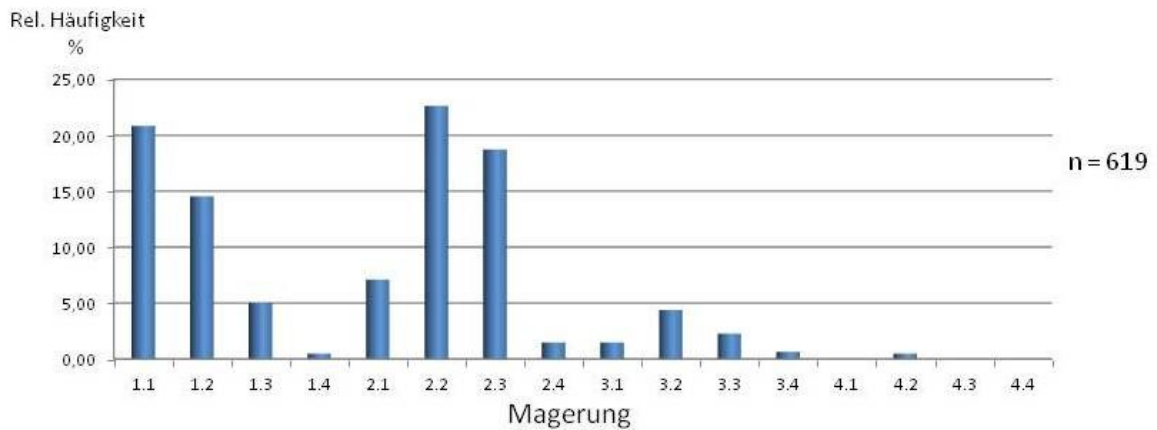


Abbildung 5.96: Keramik: $h_{\text{Gefäße}^*} = f(\text{Magerung})$ über alle Streufunde
(Zahlenwerte zur Abb. siehe Tab. 5.134)

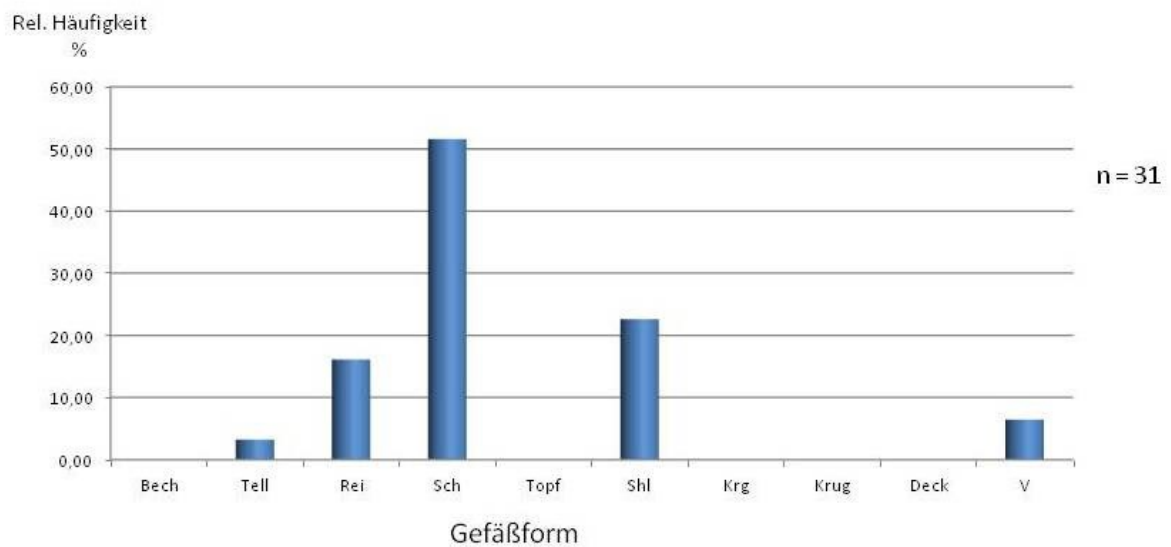


Abbildung 5.97: Sigillata: $h_{\text{Gefäße}^*} = f(\text{Gefäßform})$ über alle Streufunde
(Zahlenwerte zur Abb. siehe Tab. 5.135)

*: Randscherben, 8 TS-Wand- und 3 TS-Bodenscherben

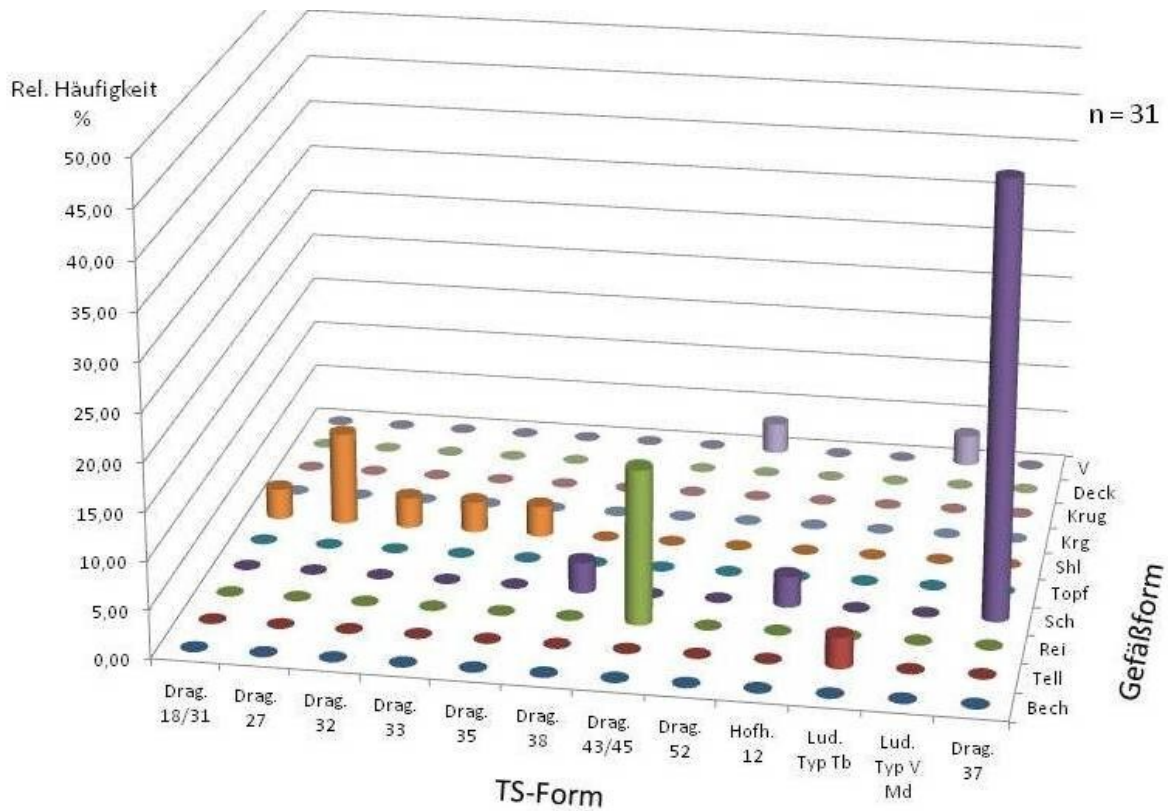


Abbildung 5.98: Sigillata: $h_{\text{Gefäße}^*} = f(\text{TS-Form}, \text{Gefäßform})$ über alle Streufunde
 (Zahlenwerte zur Abb. finden sich in Tab. 5.136)

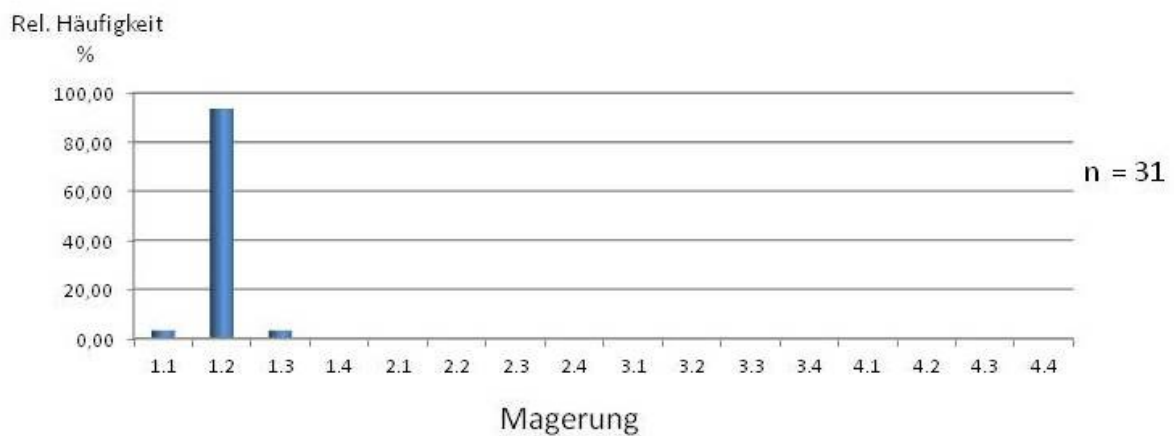


Abbildung 5.99: Sigillata: $h_{\text{Gefäße}^*} = f(\text{Magerung})$ über alle Streufunde
 (Zahlenwerte zur Abb. siehe Tab. 5.137)

*: Randscherben, 8 TS-Wand- und 3 TS-Bodenscherben

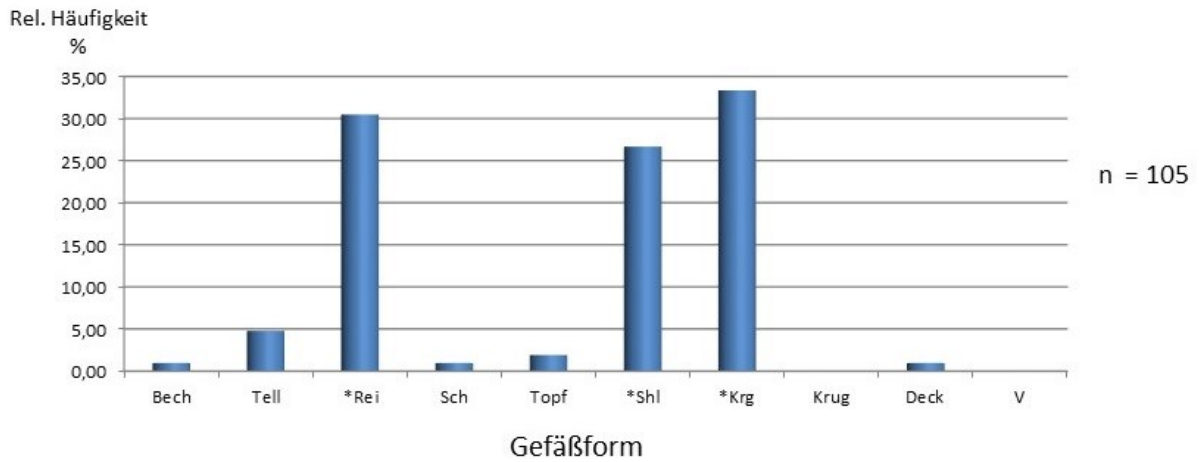


Abbildung 5.100: *Engobierte Ware: $h_{\text{GefäÙe}} = f(\text{GefäÙform})$ über alle Streufunde
(Zahlenwerte zur Abb. siehe Tab. 5.116)

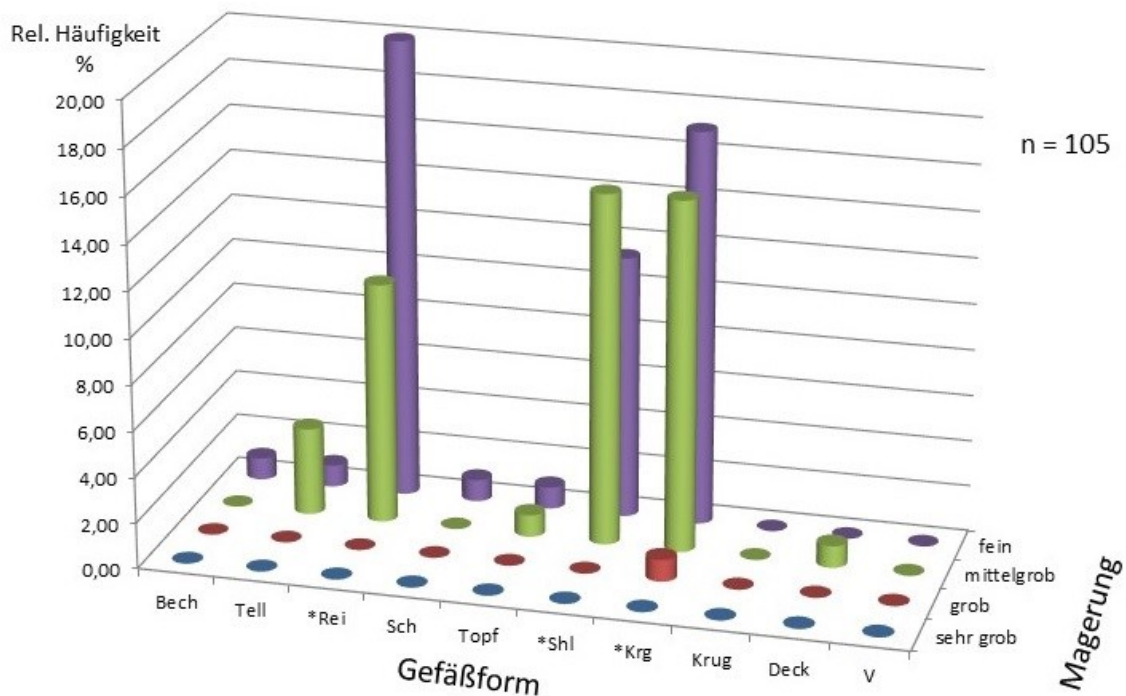


Abbildung 5.101: *Engobierte Ware: $h_{\text{GefäÙe}} = f(\text{GefäÙform}, \text{Magerung})$ über alle Streufunde
(Zahlenwerte zur Abb. siehe Tab. 5.117)

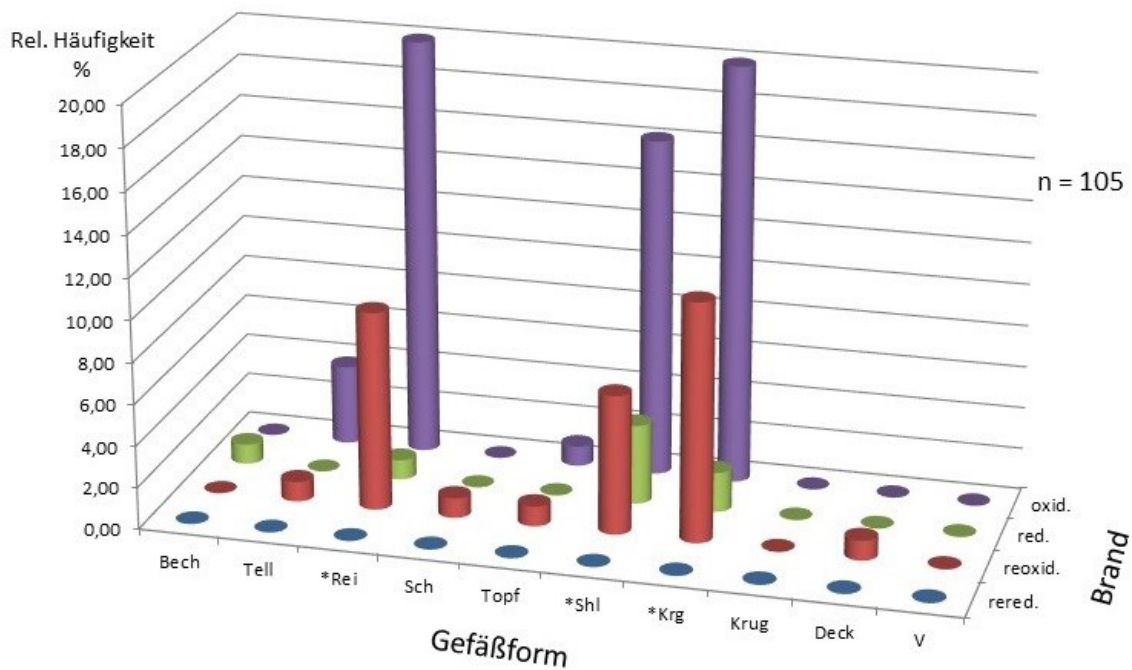


Abbildung 5.102: *Engobierte Ware: $h_{\text{GefäÙe}} = f(\text{GefäÙform}, \text{Brand})$ über alle Streufunde
(Zahlenwerte zur Abb. siehe Tab. 5.118)

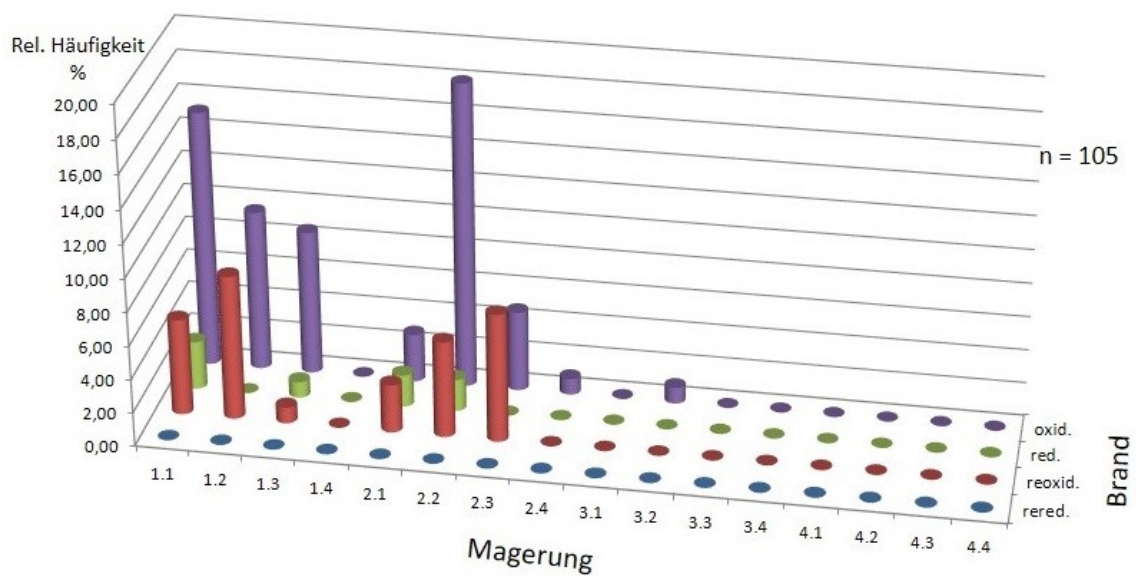


Abbildung 5.103: *Engobierte Ware: $h_{\text{GefäÙe}} = f(\text{Magerung}, \text{Brand})$ über alle Streufunde
(Zahlenwerte zur Abb. siehe Tab. 5.119)

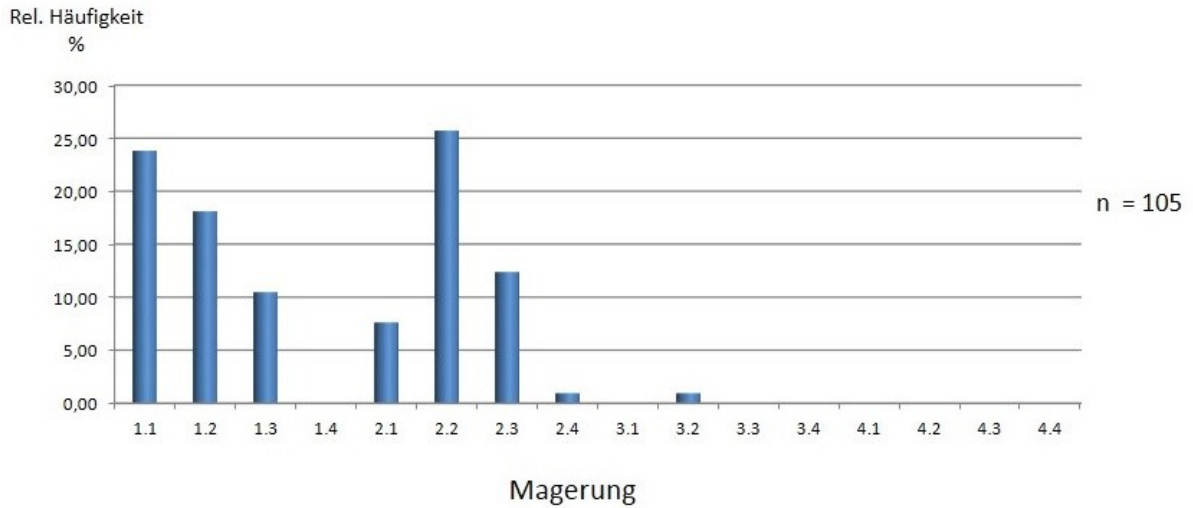


Abbildung 5.104: *Engobierte Ware: $h_{\text{GefäÙe}} = f(\text{Magerung})$ über alle Streufunde
(Zahlenwerte zur Abb. siehe Tab. 5.120)

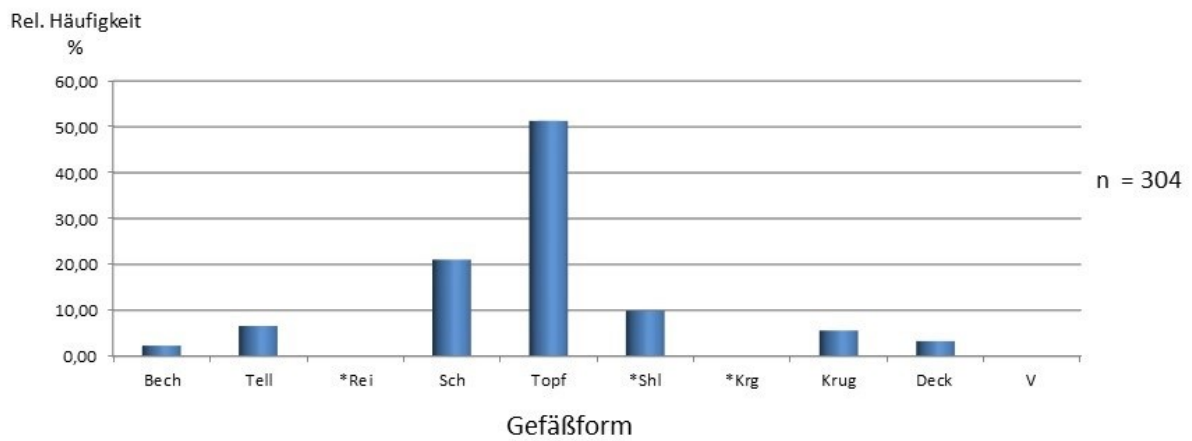


Abbildung 5.105: *Tongrundig-glattwandige Ware: $h_{\text{GefäÙe}} = f(\text{Gefäßform})$ über alle Streufunde
(Zahlenwerte zur Abb. siehe Tab. 5.121)

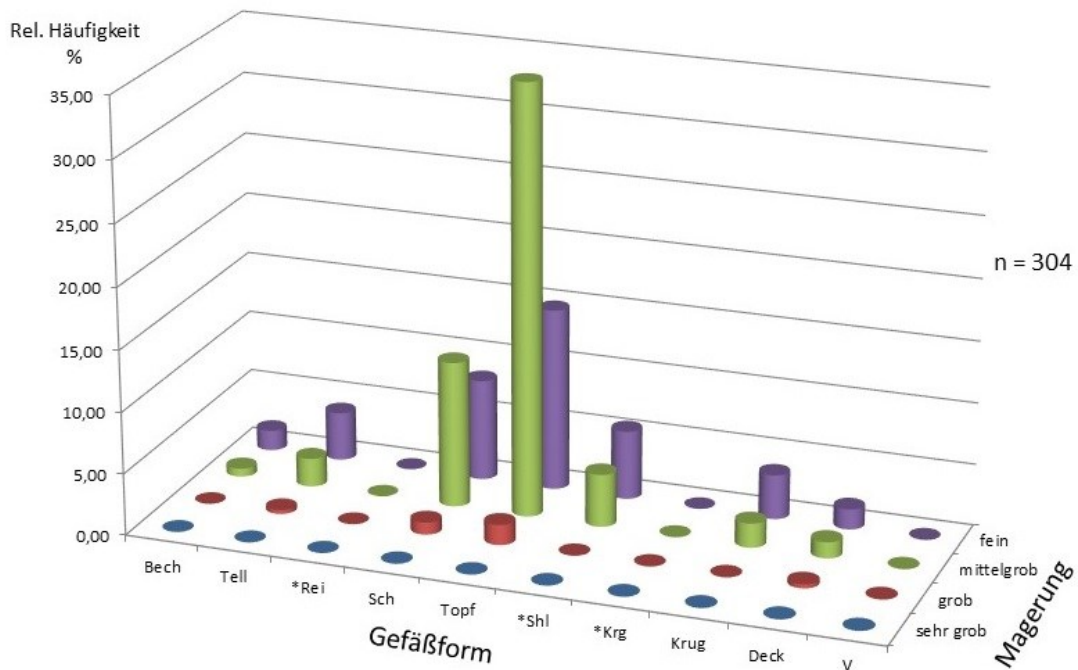


Abbildung 5.106: *Tongrundig-glattwandige Ware: $h_{\text{Gefäße}} = f(\text{Gefäßform}, \text{Magerung})$ über alle Streufunde

(Zahlenwerte zur Abb. siehe Tab. 5.122)

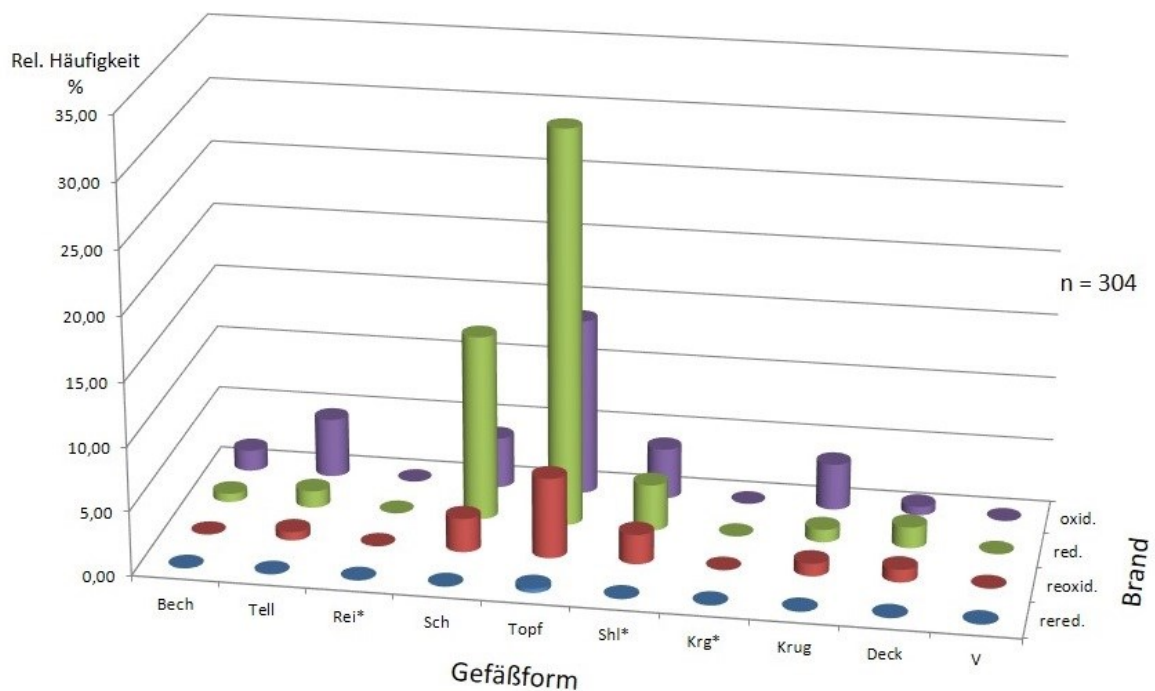


Abbildung 5.107: *Tongrundig-glattwandige Ware: $h_{\text{Gefäße}} = f(\text{Gefäßform}, \text{Brand})$ über alle Streufunde

(Zahlenwerte zur Abb. siehe Tab. 5.123)

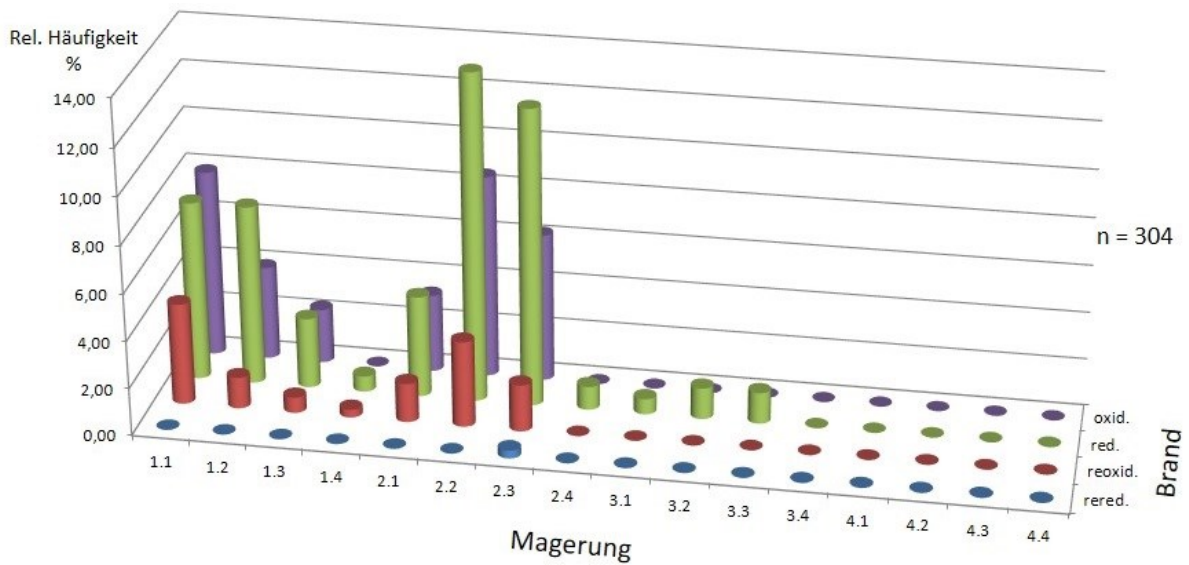


Abbildung 5.108: *Tongrundig-glattwandige Ware: $h_{\text{Gefäße}} = f(\text{Magerung}, \text{Brand})$ über alle Streufunde

(Zahlenwerte zur Abb. siehe Tab. 5.124)

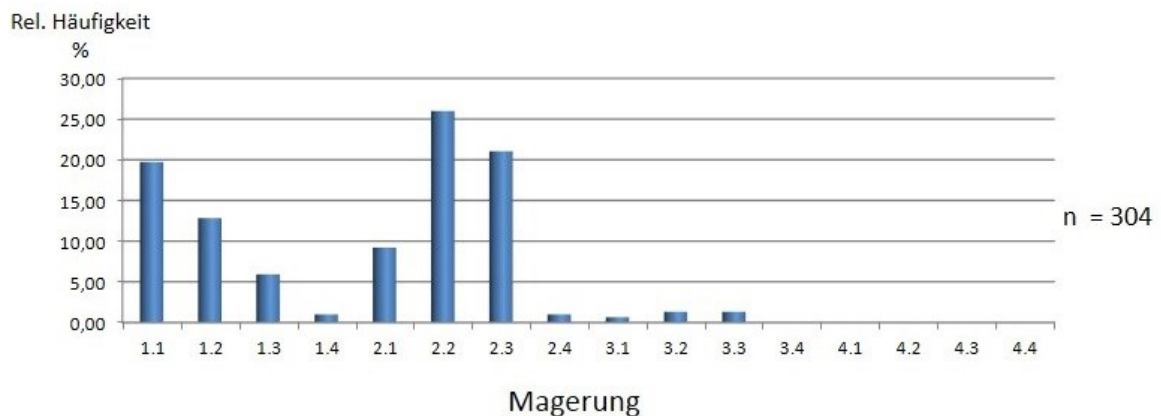


Abbildung 5.109: *Tongrundig-glattwandige Ware: $h_{\text{Gefäße}} = f(\text{Magerung})$ über alle Streufunde

(Zahlenwerte zur Abb. siehe Tab. 5.125)

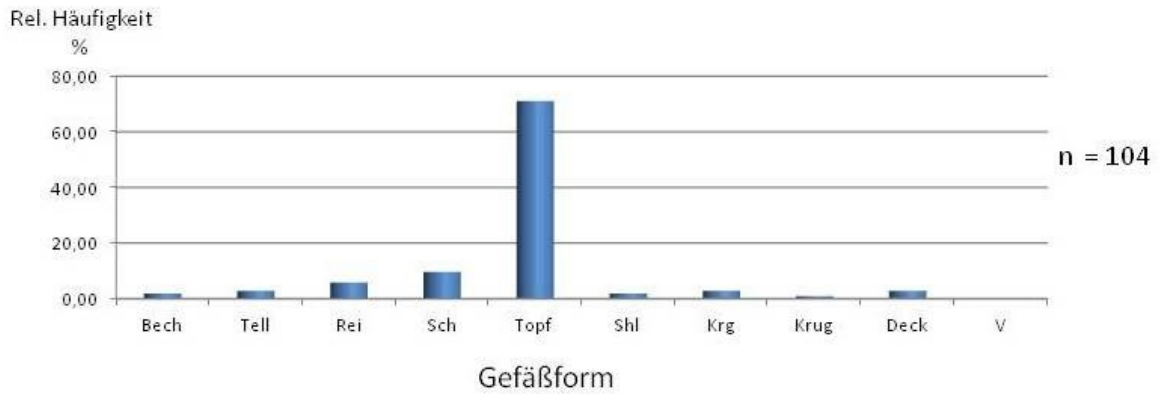


Abbildung 5.110: Tongrundig-rauwandige Ware: $h_{\text{GefäÙe}} = f(\text{GefäÙform})$ über alle Streufunde
(Zahlenwerte zur Abb. siehe Tab. 5.138)

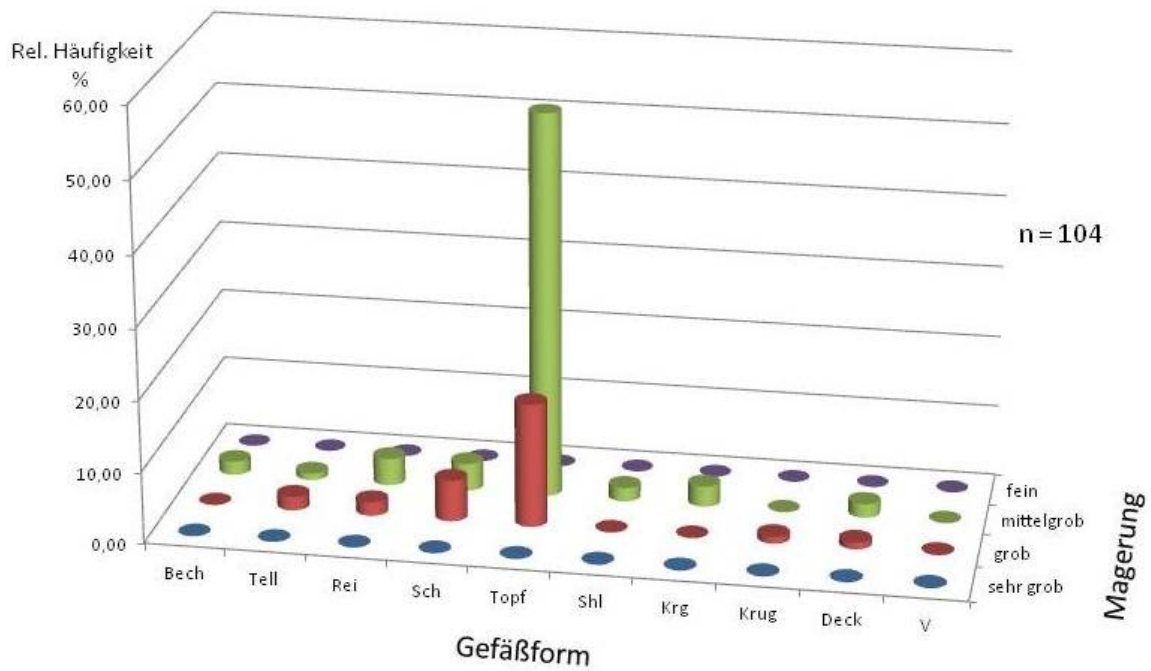


Abbildung 5.111: Tongrundig-rauwandige Ware: $h_{\text{GefäÙe}} = f(\text{GefäÙform}, \text{Magerung})$ über alle Streufunde
(Zahlenwerte zur Abb. siehe Tab. 5.139)

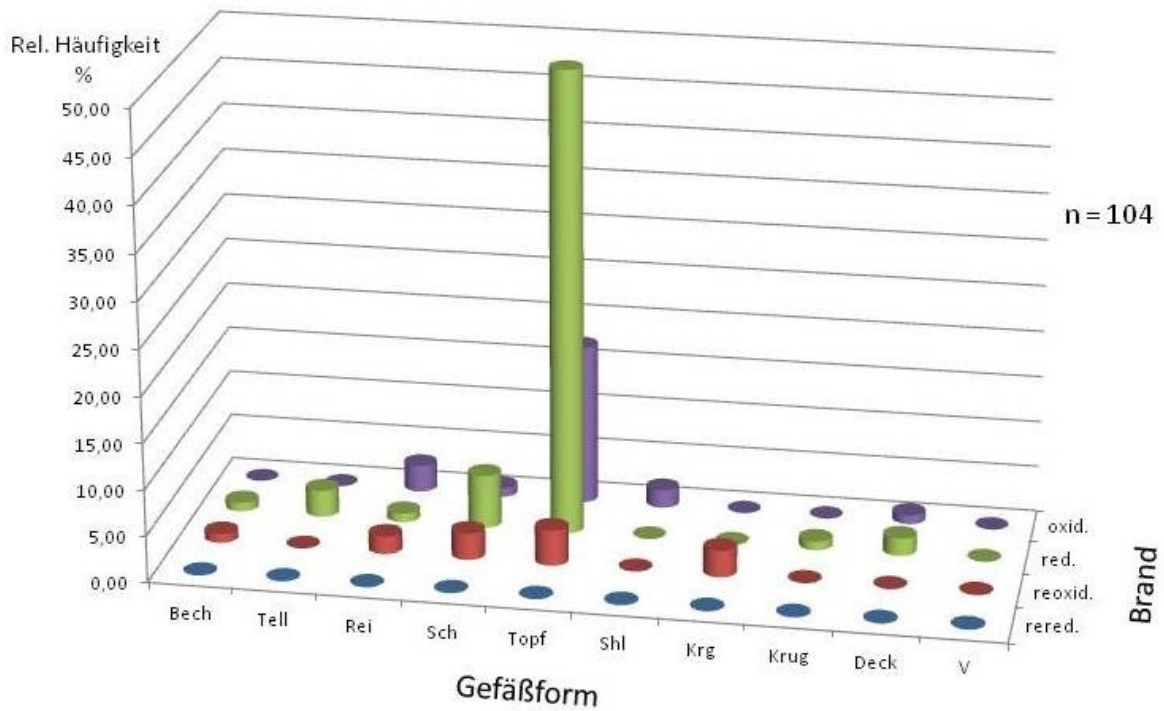


Abbildung 5.112: Tongrundig-rauwandige Ware: $h_{\text{GefäÙe}} = f(\text{GefäÙform, Brand})$ über alle Streufunde
(Zahlenwerte zur Abb. siehe Tab. 5.140)

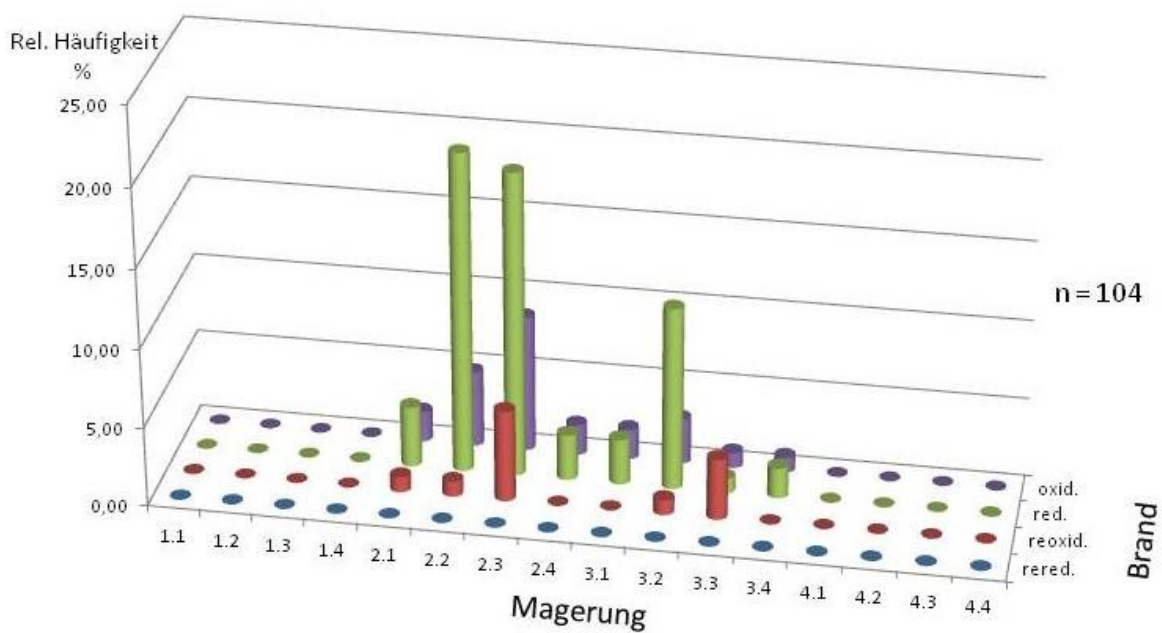


Abbildung 5.113: Tongrundig-rauwandige Ware: $h_{\text{GefäÙe}} = f(\text{Magerung, Brand})$ über alle Streufunde
(Zahlenwerte zur Abb. siehe Tab. 5.141)

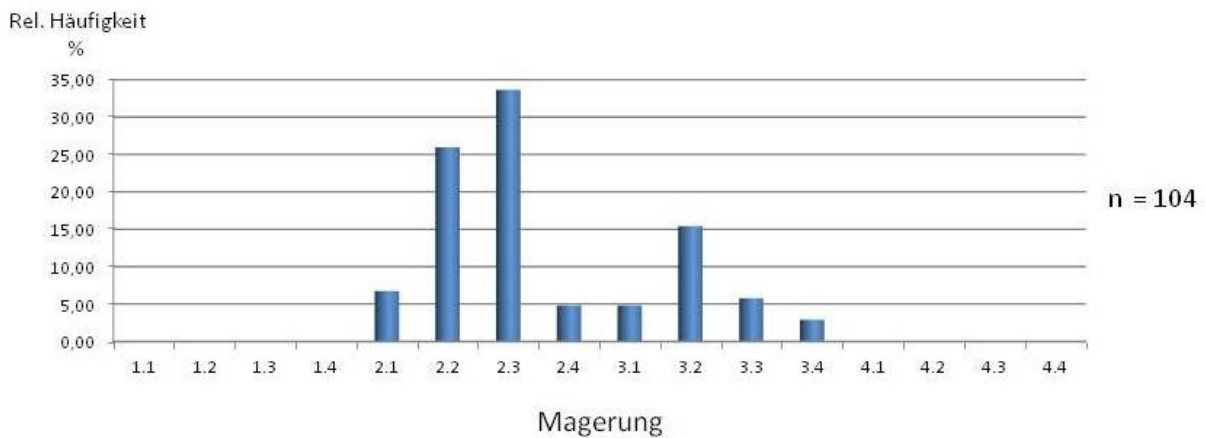


Abbildung 5.114: Tongrundig-rauwandige Ware: $h_{\text{Gefäße}} = f(\text{Magerung})$ über alle Streufunde
(Zahlenwerte zur Abb. siehe Tab. 5.142)

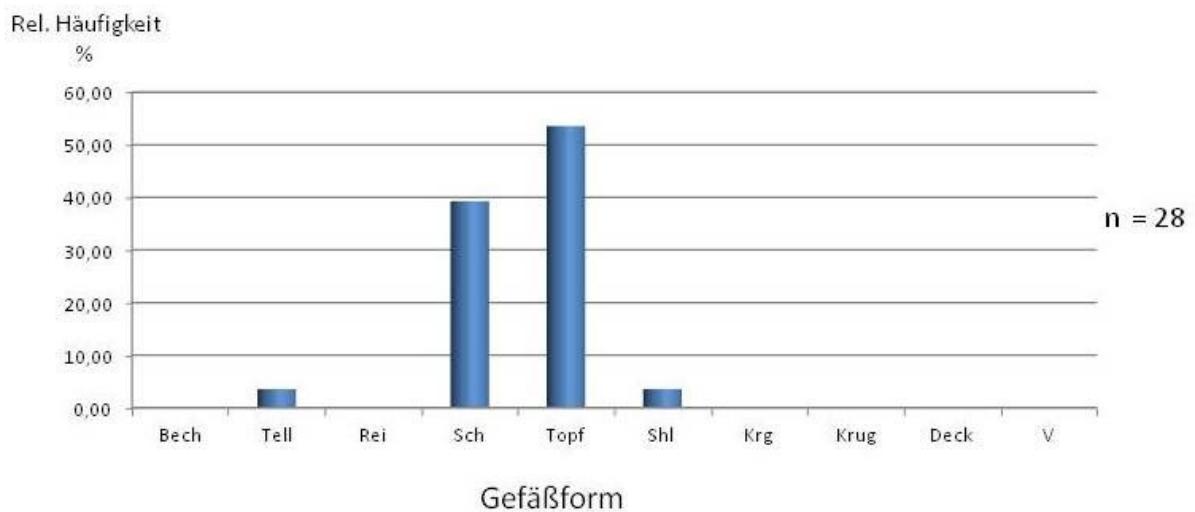


Abbildung 5.115: Handgemachte Ware: $h_{\text{Gefäße}} = f(\text{Gefäßform})$ über alle Streufunde
(Zahlenwerte zur Abb. siehe Tab. 5.143)

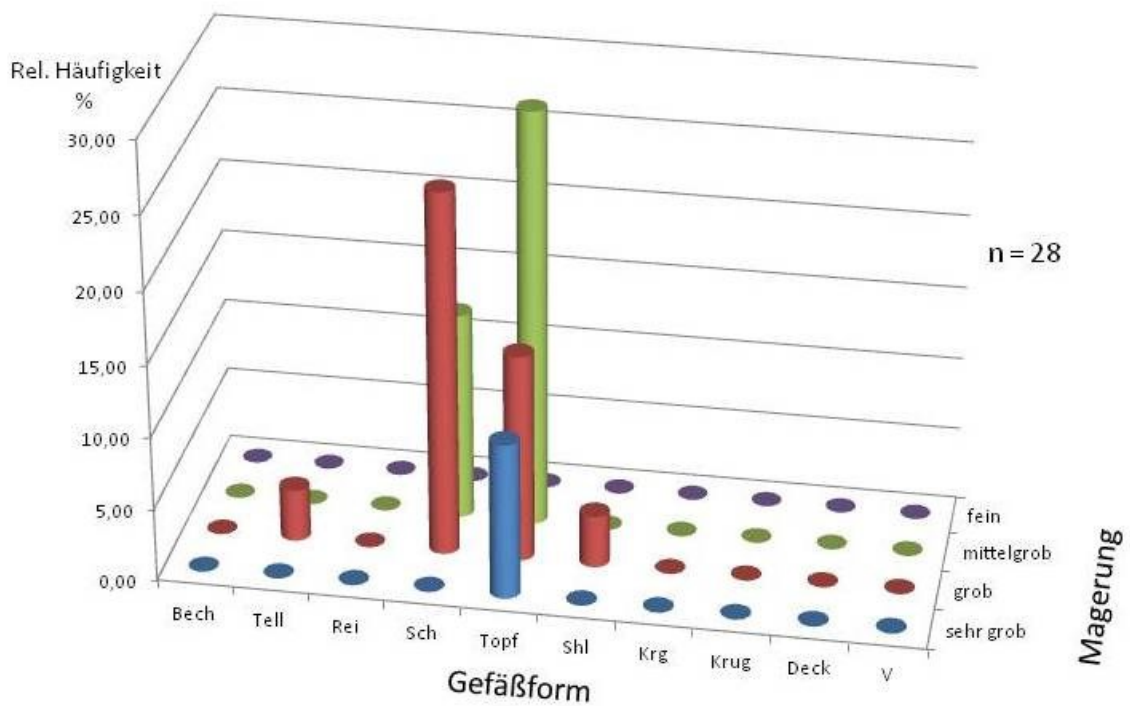


Abbildung 5.116: Handgemachte Ware: $h_{\text{Gefäße}} = f(\text{Gefäßform}, \text{Magerung})$ über alle Streufunde
(Zahlenwerte zur Abb. siehe Tab. 5.144)

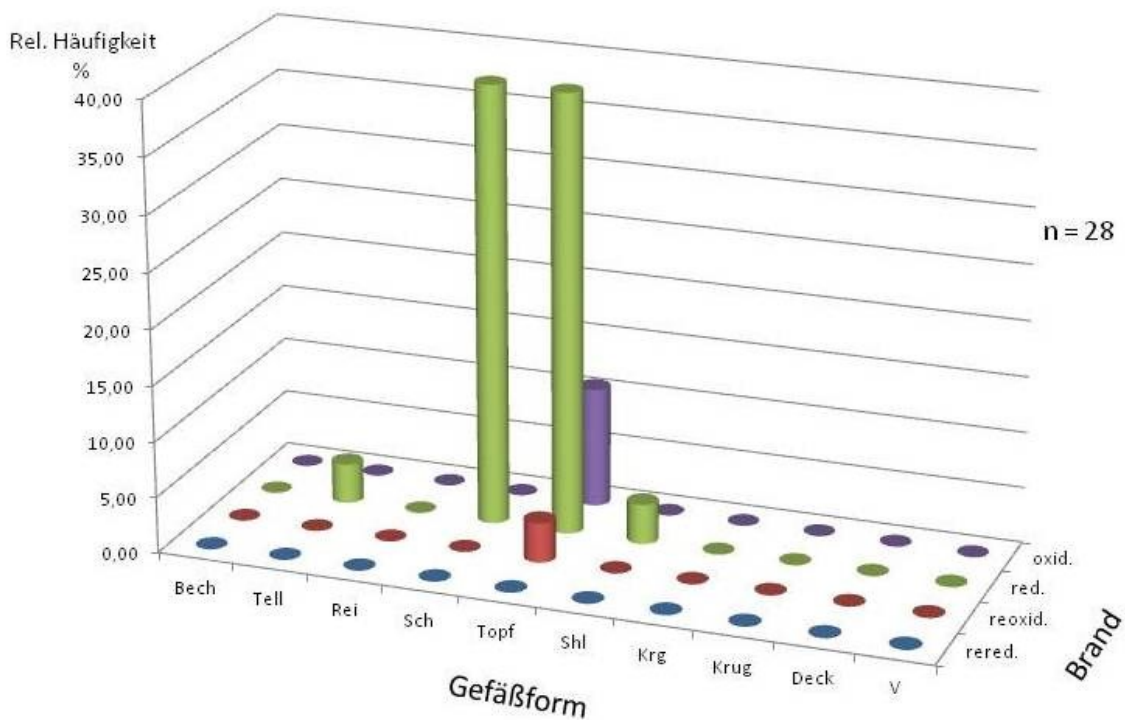


Abbildung 5.117: Handgemachte Ware: $h_{\text{Gefäße}} = f(\text{Gefäßform}, \text{Brand})$ über alle Streufunde
(Zahlenwerte zur Abb. siehe Tab. 5.145)

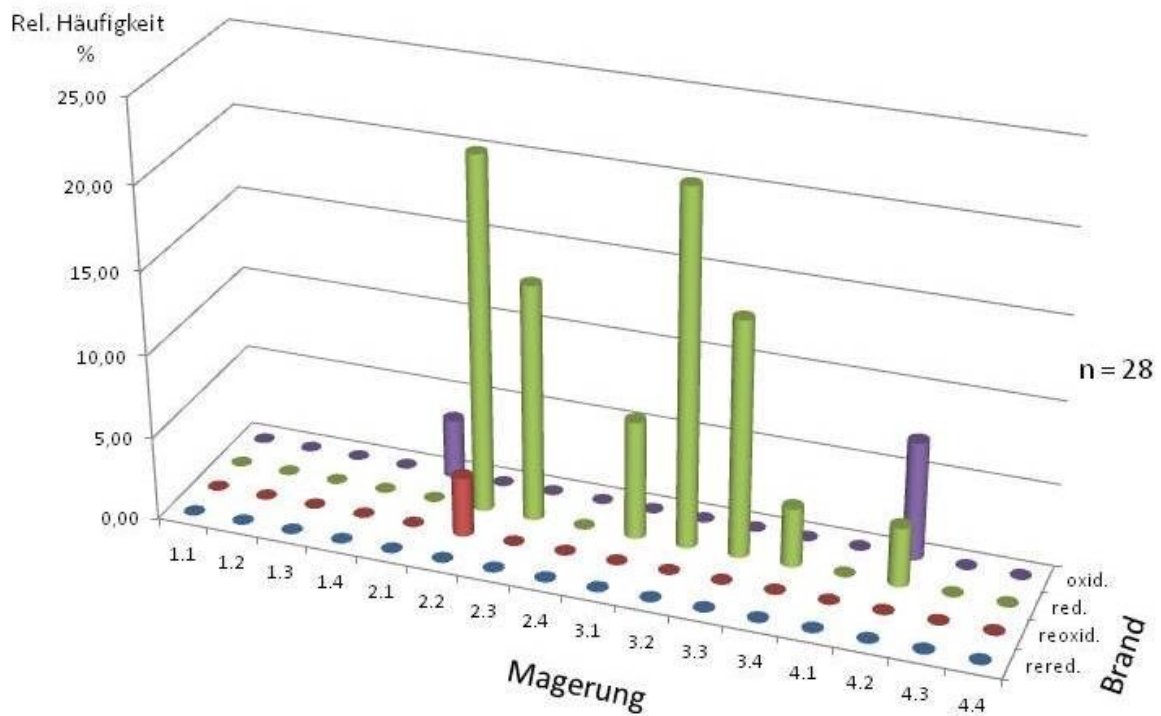


Abbildung 5.118: Handgemachte Ware: $h_{\text{Gefäße}} = f(\text{Magerung}, \text{Brand})$ über alle Streufunde
(Zahlenwerte zur Abb. siehe Tab. 5.146)

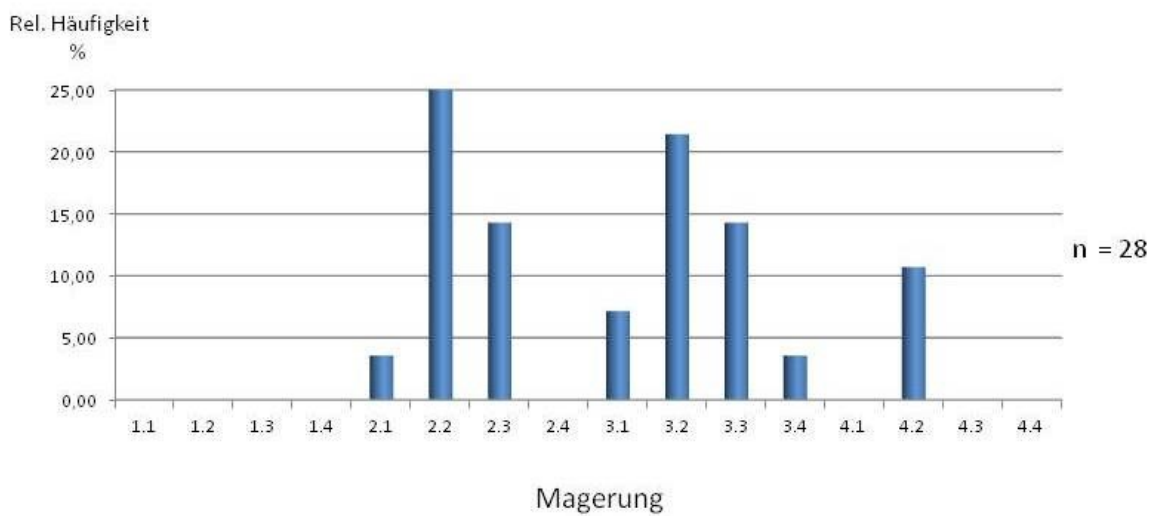


Abbildung 5.119: Handgemachte Ware: $h_{\text{Gefäße}} = f(\text{Magerung})$ über alle Streufunde
(Zahlenwerte zur Abb. siehe Tab. 5.147)

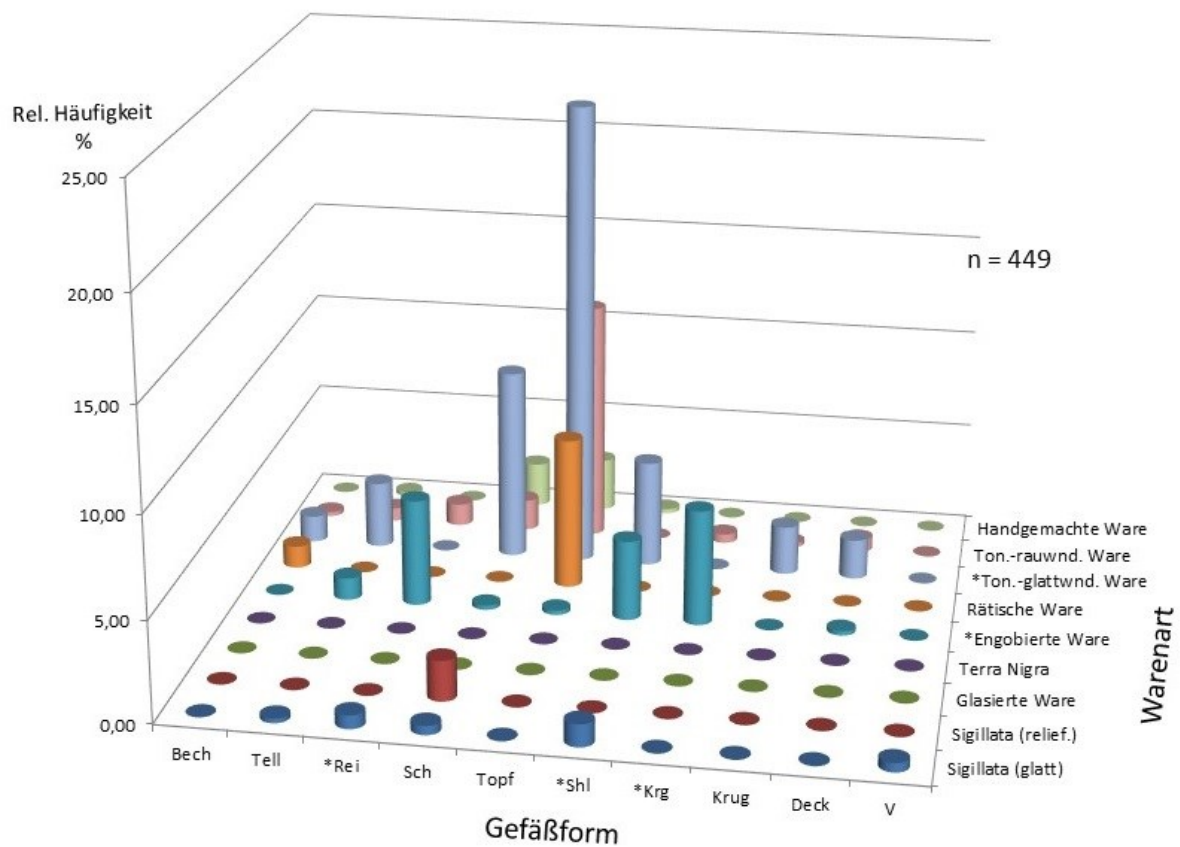


Abbildung 5.120: Keramik: $h_{\text{Gefäße}^*} = f(\text{Gefäßform}, \text{Warenart})$ für den Fundkomplex Geb. 1/2
(Zahlenwerte zur Abb. siehe Tab. 5.169)

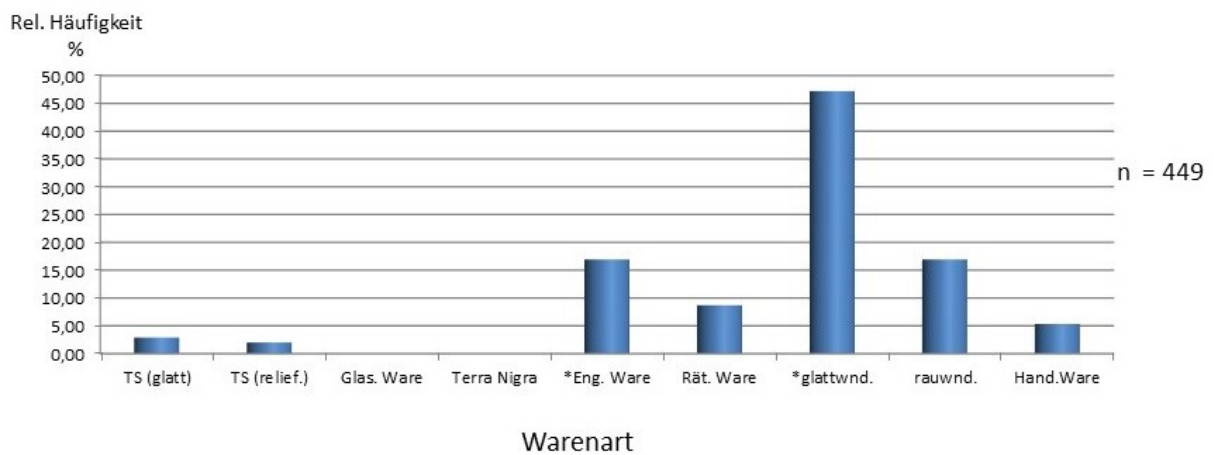


Abbildung 5.121: Keramik: $h_{\text{Gefäße}^*} = f(\text{Warenart})$ für den Fundkomplex Geb. 1/2
(Zahlenwerte zur Abb. siehe Tab. 5.170)

*: Randscherben, 4 TS-Wand und 3 TS-Bodenscherben

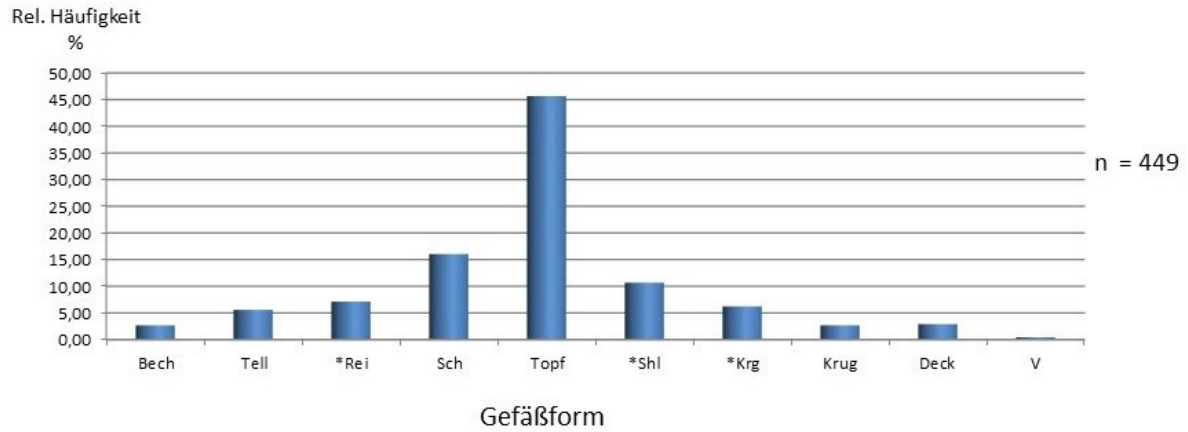


Abbildung 5.122: Keramik: $h_{\text{Gefäße}^*} = f(\text{Gefäßform})$ für den Fundkomplex Geb. 1/2
(Zahlenwerte zur Abb. siehe Tab. 5.171)

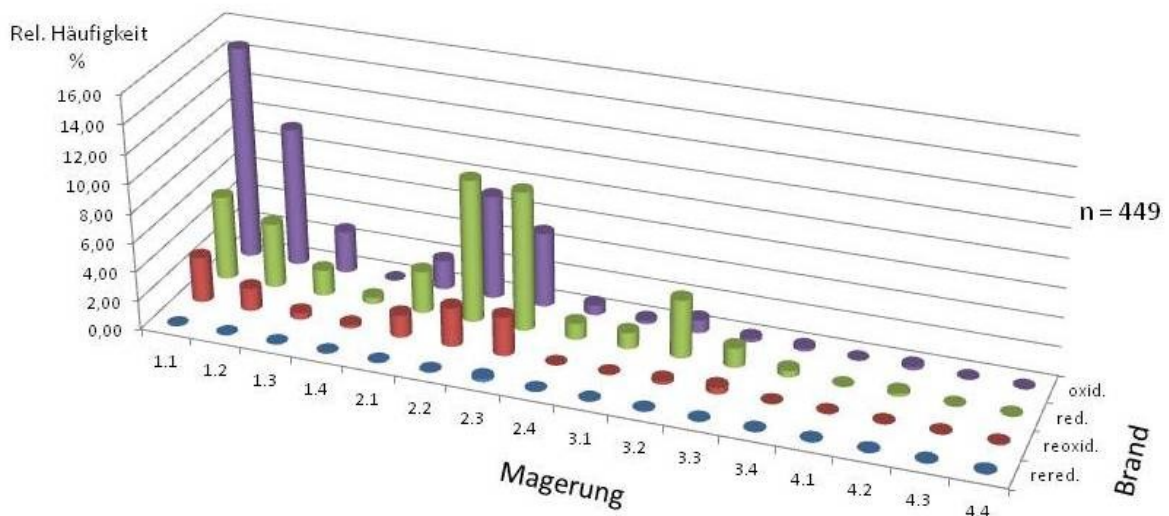


Abbildung 5.123: Keramik: $h_{\text{Gefäße}^*} = f(\text{Magerung}, \text{Brand})$ für den Fundkomplex Geb. 1/2
(Zahlenwerte zur Abb. siehe Tab. 5.172)

*: Randscherben, 4 TS-Wand und 3 TS-Bodenscherben

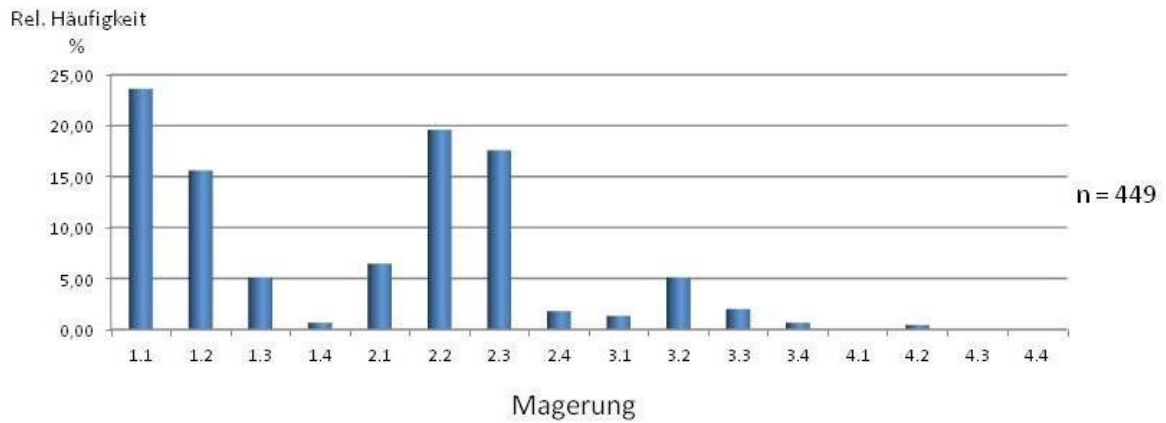


Abbildung 5.124: Keramik: $h_{\text{Gefäße}^*} = f(\text{Magerung})$ für den Fundkomplex Geb. 1/2
(Zahlenwerte zur Abb. siehe Tab. 5.173)

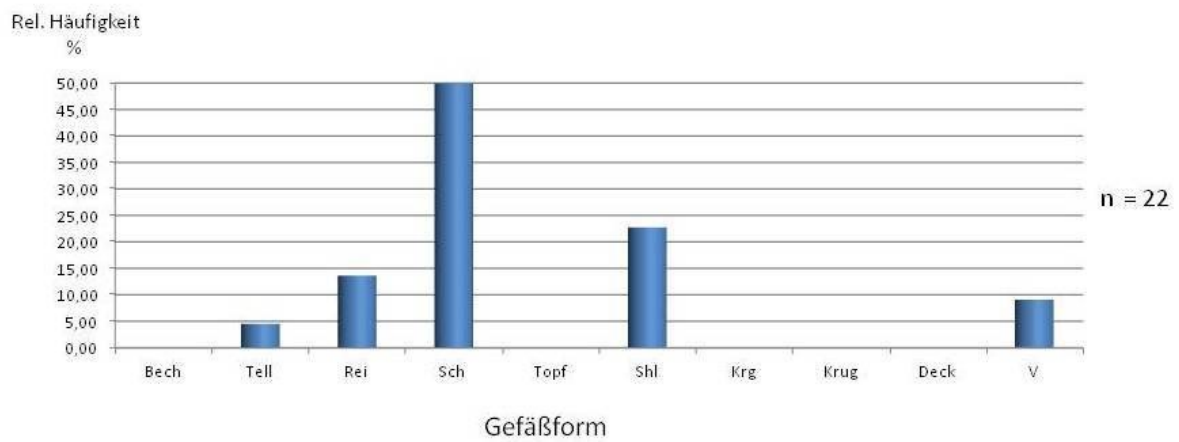


Abbildung 5.125: Sigillata: $h_{\text{Gefäße}^*} = f(\text{Gefäßform})$ für den Fundkomplex Geb. 1/2
(Zahlenwerte zur Abb. siehe Tab. 5.174)

*: Randscherben, 4 TS-Wand und 3 TS-Bodenscherben

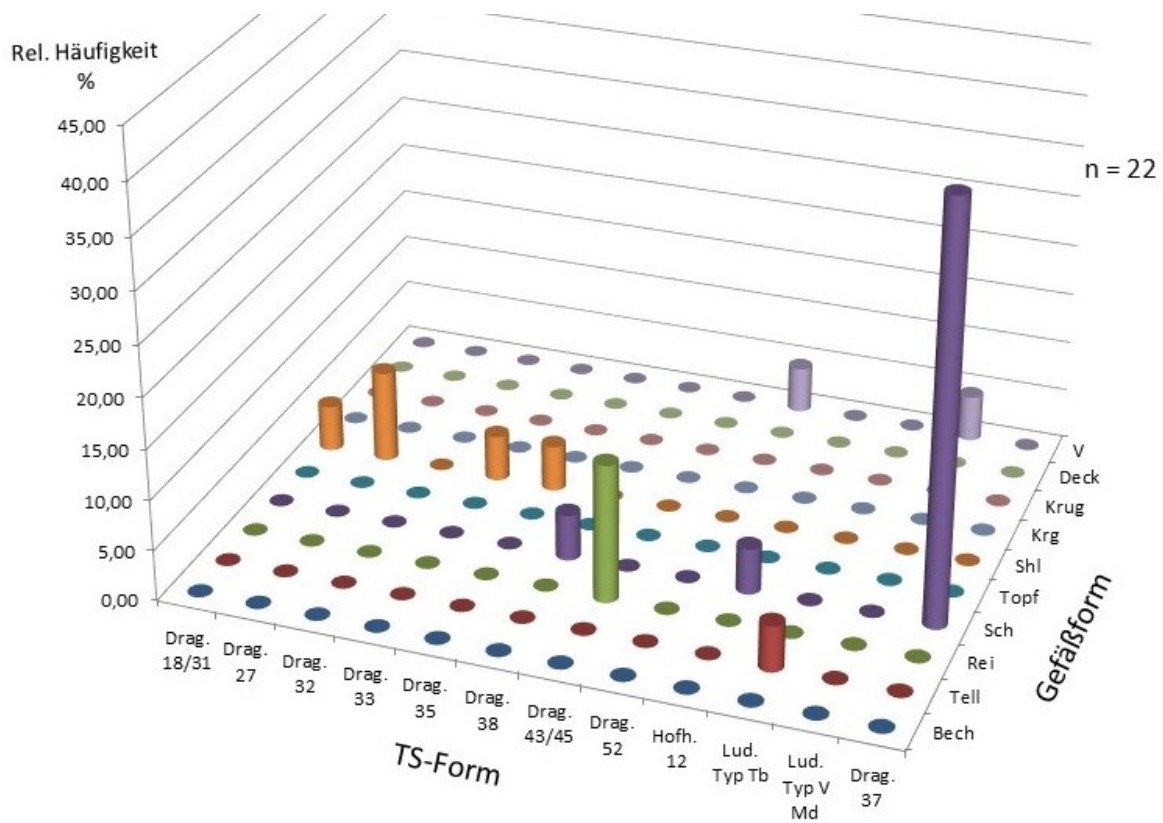


Abbildung 5.126: Sigillata: $h_{\text{Gefäße}^*} = f(\text{TS-Form}, \text{Gefäßform})$ für den Fundkomplex Geb. 1/2
 (Zahlenwerte zur Abb. finden sich in Tab. 5.175)

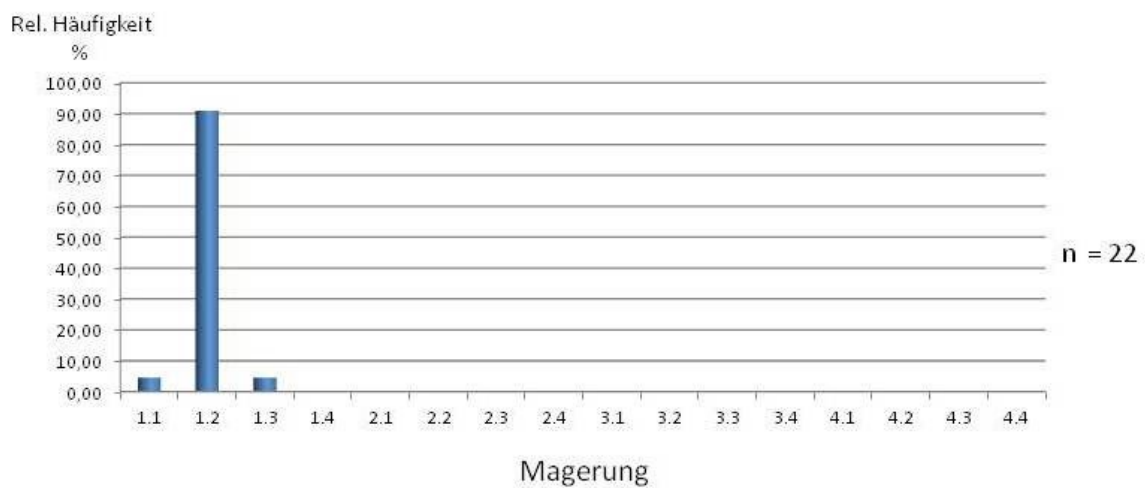


Abbildung 5.127: Sigillata: $h_{\text{Gefäße}^*} = f(\text{Magerung})$ für den Fundkomplex Geb. 1/2
 (Zahlenwerte zur Abb. siehe Tab. 5.176)

*: Randscherben, 4 TS-Wand- und 3 TS-Bodenscherben

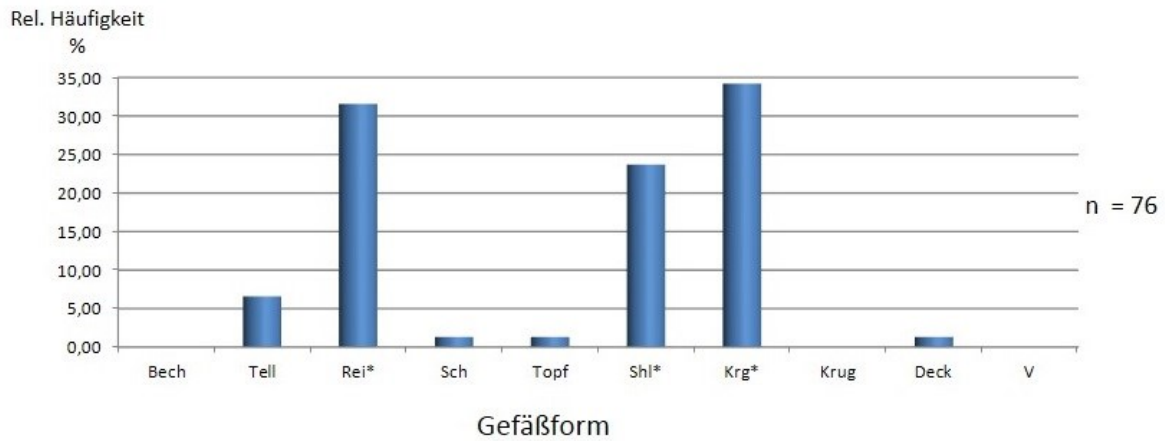


Abbildung 5.128: *Engobierte Ware: $h_{\text{GefäÙe}} = f(\text{GefäÙform})$ für den Fundkomplex Geb. 1/2
(Zahlenwerte zur Abb. siehe Tab. 5.158)

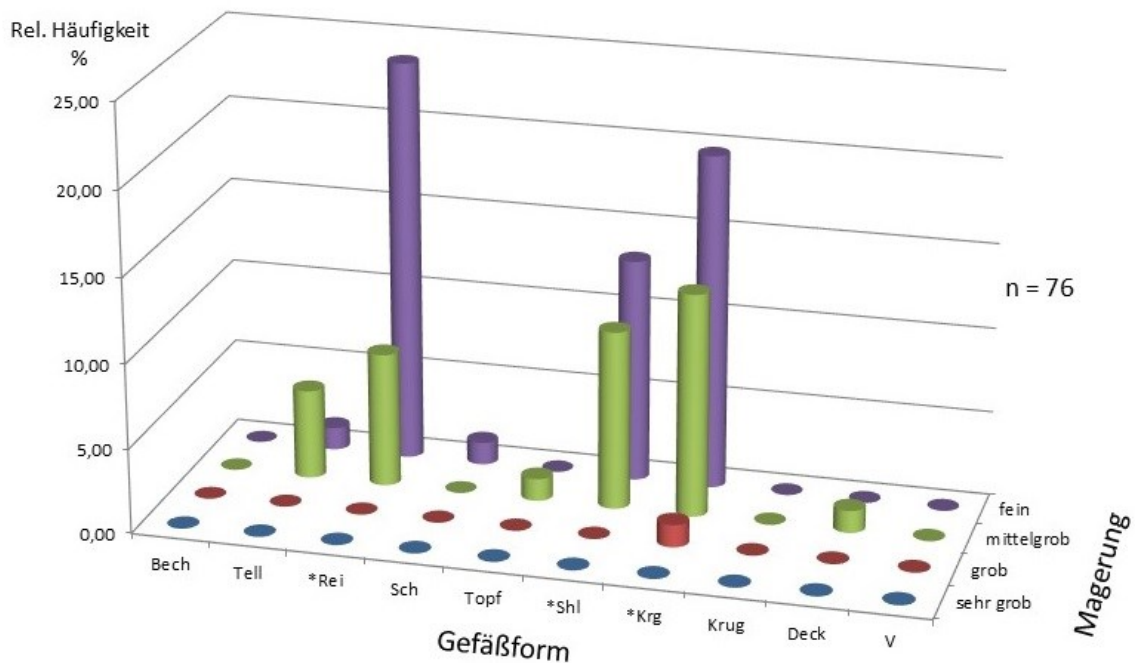


Abbildung 5.129: *Engobierte Ware: $h_{\text{GefäÙe}} = f(\text{GefäÙform}, \text{Magerung})$ für den Fundkomplex Geb. 1/2
(Zahlenwerte zur Abb. siehe Tab. 5.159)

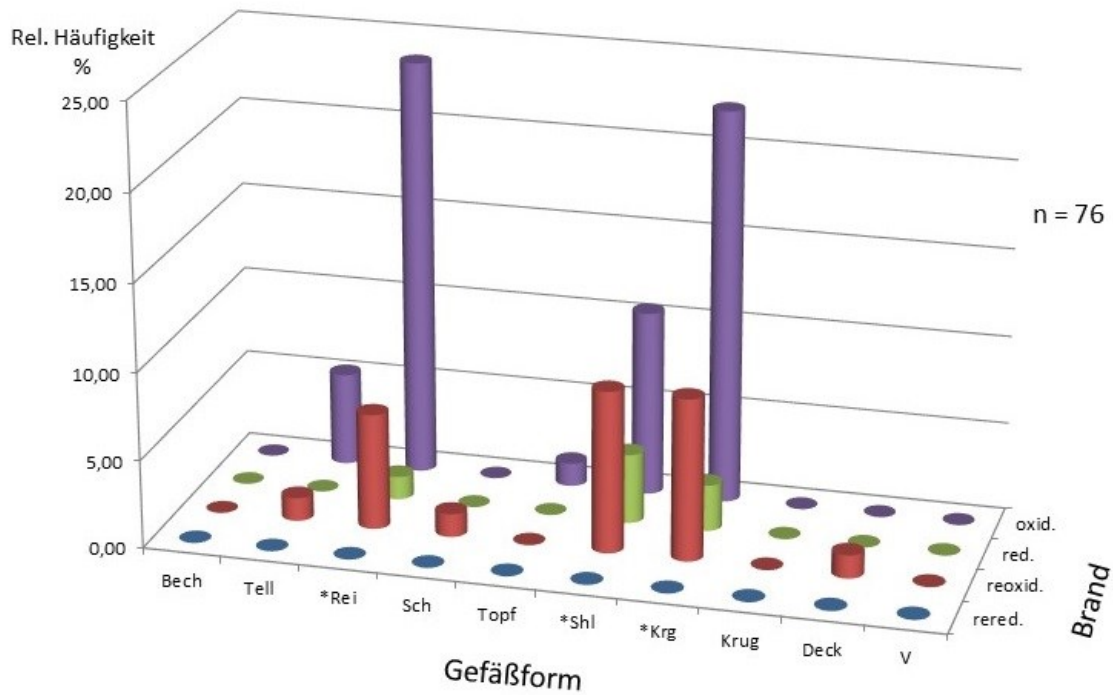


Abbildung 5.130: *Engobierte Ware: $h_{\text{GefäÙe}} = f(\text{GefäÙform}, \text{Brand})$ für den Fundkomplex

Geb. 1/2

(Zahlenwerte zur Abb. siehe Tab. 5.160)

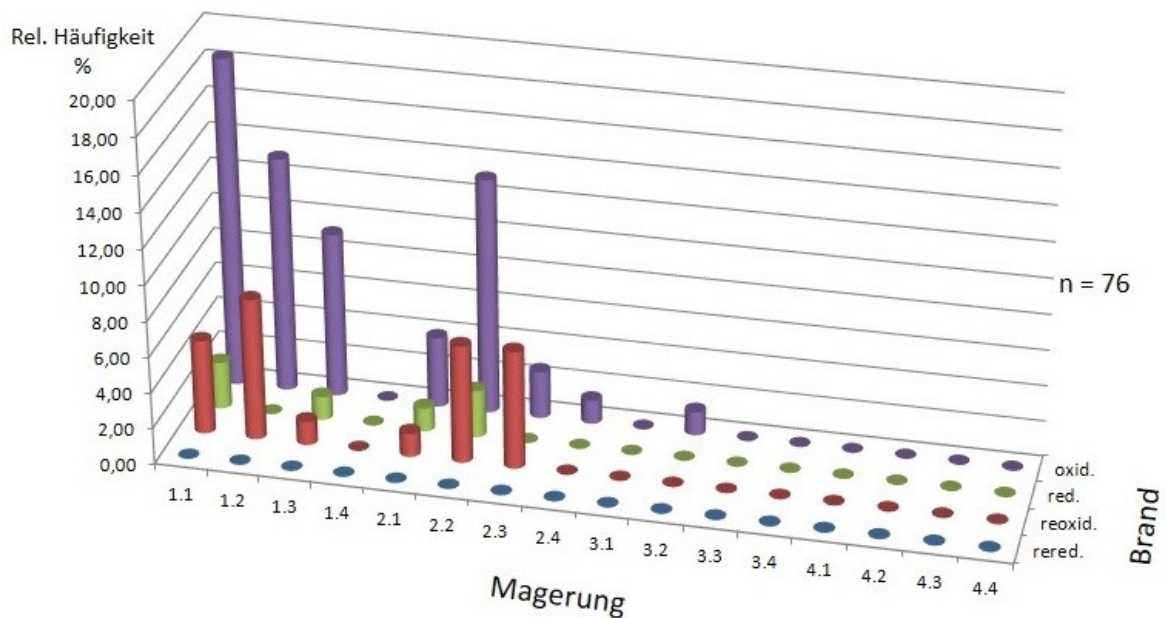


Abbildung 5.131: *Engobierte Ware: $h_{\text{GefäÙe}} = f(\text{Magerung}, \text{Brand})$ für den Fundkomplex

Geb. 1/2

(Zahlenwerte zur Abb. siehe Tab. 5.161)

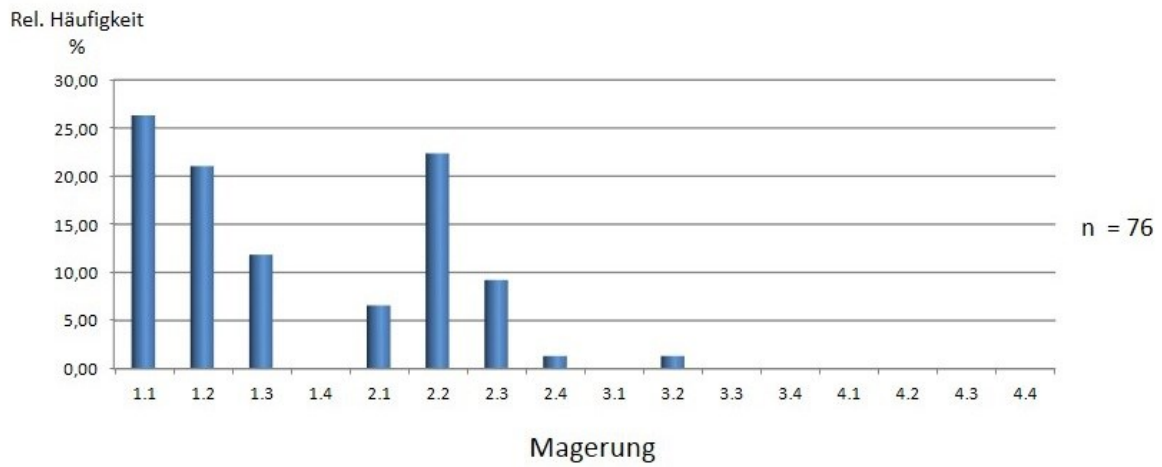


Abbildung 5.132: *Engobierte Ware: $h_{\text{Gefäße}} = f(\text{Magerung})$ für den Fundkomplex Geb. 1/2
(Zahlenwerte zur Abb. siehe Tab. 5.162)

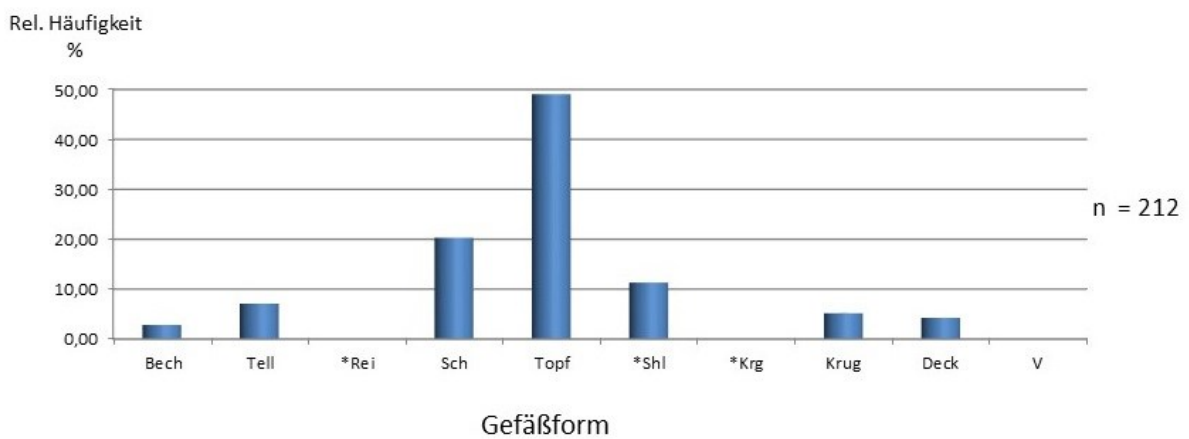


Abbildung 5.133: *Tongrundig-glattwandige Ware: $h_{\text{Gefäße}} = f(\text{Gefäßform})$ für den
Fundkomplex Geb. 1/2
(Zahlenwerte zur Abb. siehe Tab. 5.163)

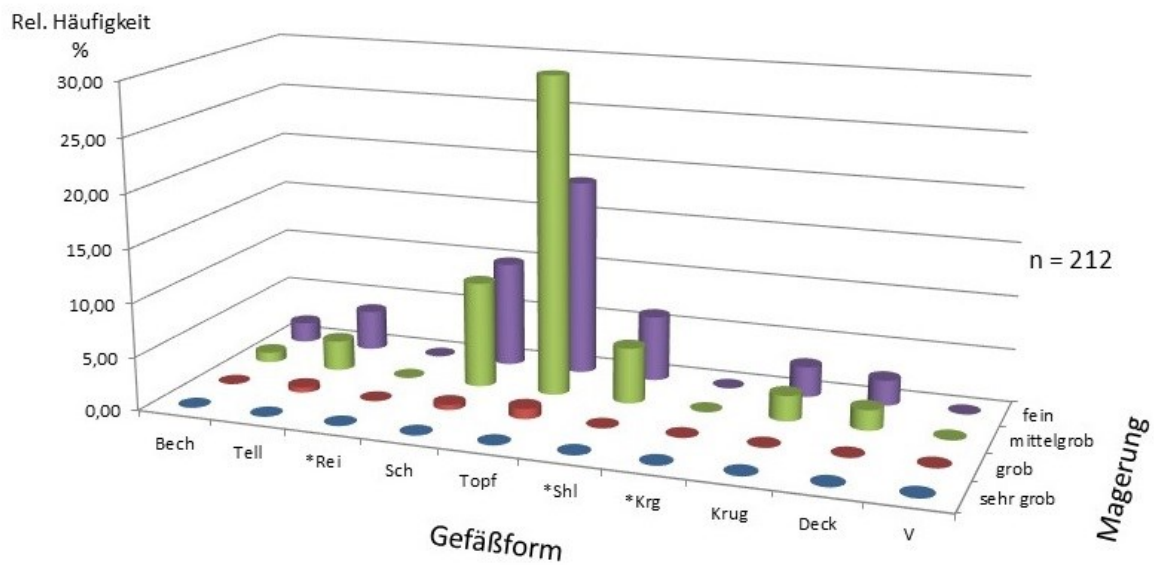


Abbildung 5.134: *Tongrundig-glattwandige Ware: $h_{\text{Gefäße}} = f(\text{Gefäßform}, \text{Magerung})$ für den Fundkomplex Geb. 1/2
(Zahlenwerte zur Abb. siehe Tab. 5.164)

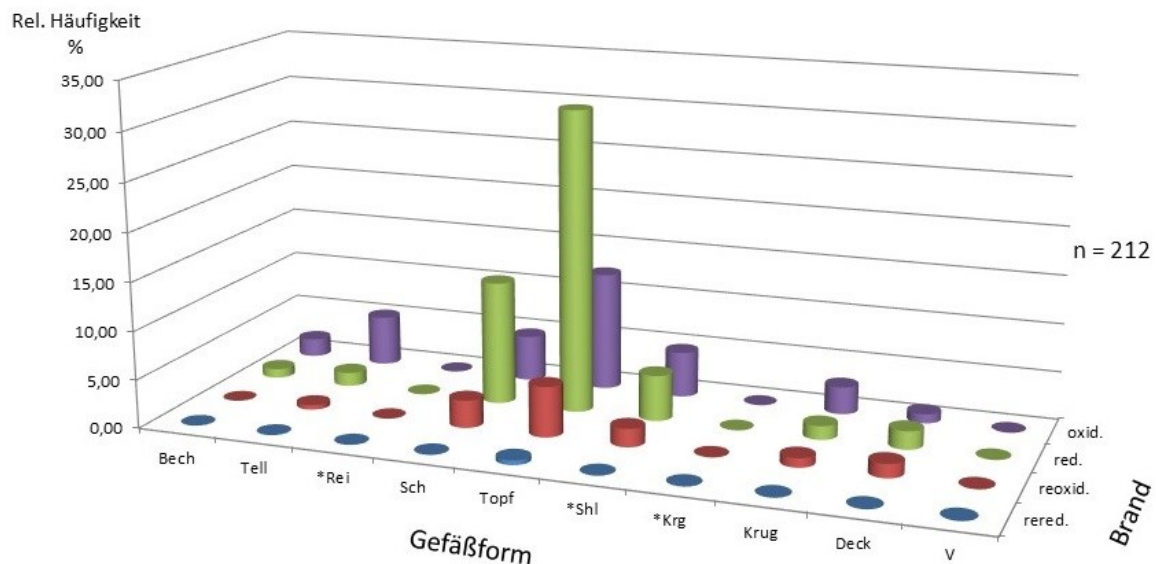


Abbildung 5.135: *Tongrundig-glattwandige Ware: $h_{\text{Gefäße}} = f(\text{Gefäßform}, \text{Brand})$ für den Fundkomplex Geb. 1/2
(Zahlenwerte zur Abb. siehe Tab. 5.165)

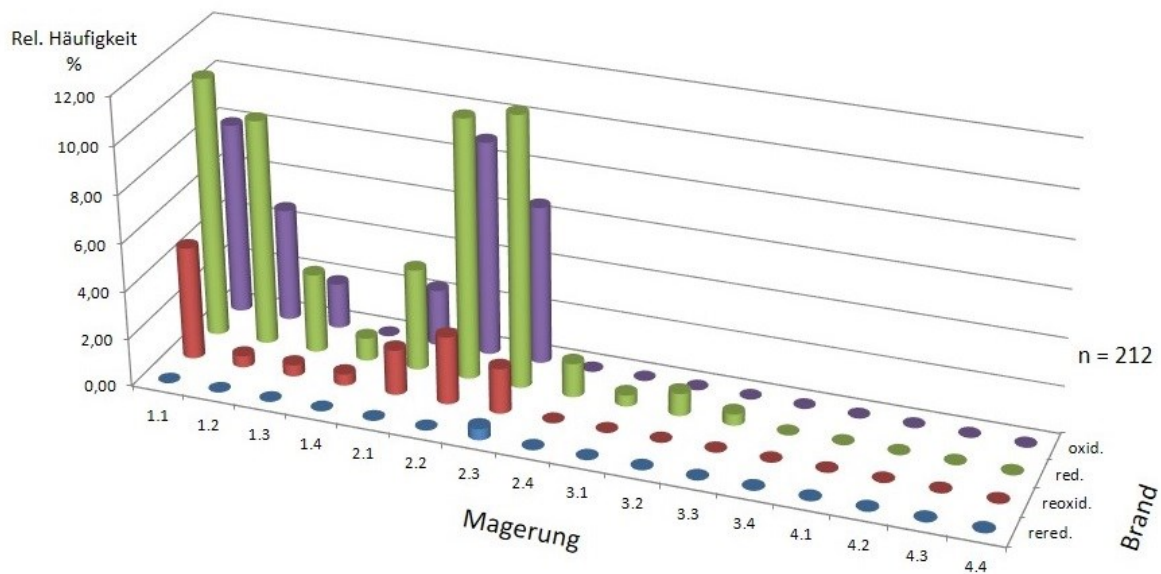


Abbildung 5.136: *Tongrundig-glattwandige Ware: $h_{\text{Gefäße}} = f(\text{Magerung}, \text{Brand})$ für den Fundkomplex Geb. 1/2
(Zahlenwerte zur Abb. siehe Tab. 5.166)

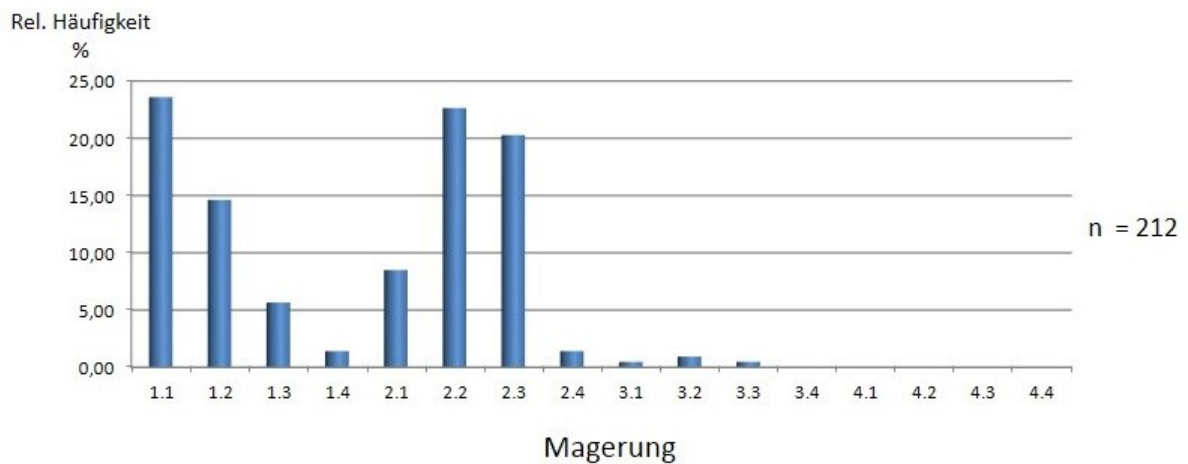


Abbildung 5.137: *Tongrundig-glattwandige Ware: $h_{\text{Gefäße}} = f(\text{Magerung})$ für den Fundkomplex Geb. 1/2
(Zahlenwerte zur Abb. siehe Tab. 5.167)

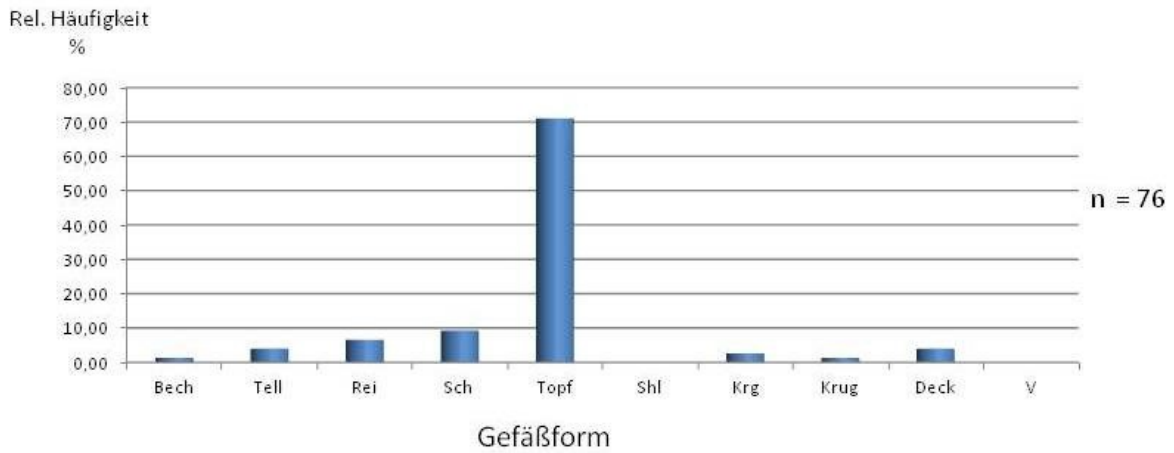


Abbildung 5.138: Tongrundig-rauwandige Ware: $h_{\text{Gefäße}} = f(\text{Gefäßform})$ für den Fundkomplex Geb. 1/2
(Zahlenwerte zur Abb. siehe Tab. 5.177)

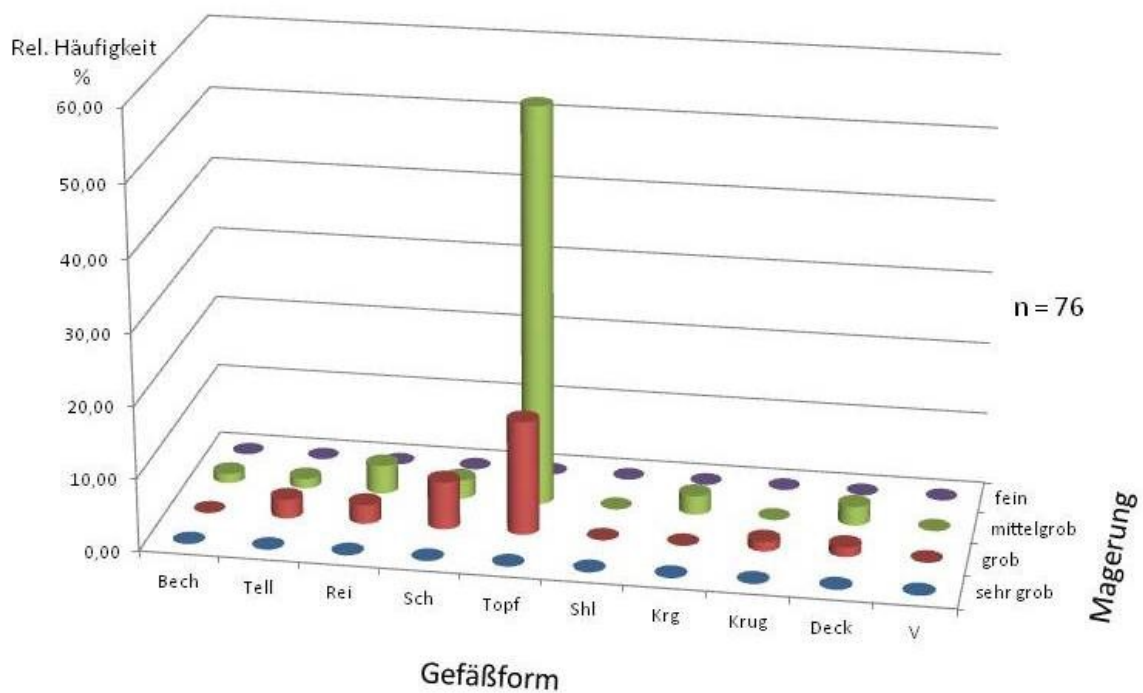


Abbildung 5.139: Tongrundig-rauwandige Ware: $h_{\text{Gefäße}} = f(\text{Gefäßform}, \text{Magerung})$ für den Fundkomplex Geb. 1/2
(Zahlenwerte zur Abb. siehe Tab. 5.178)

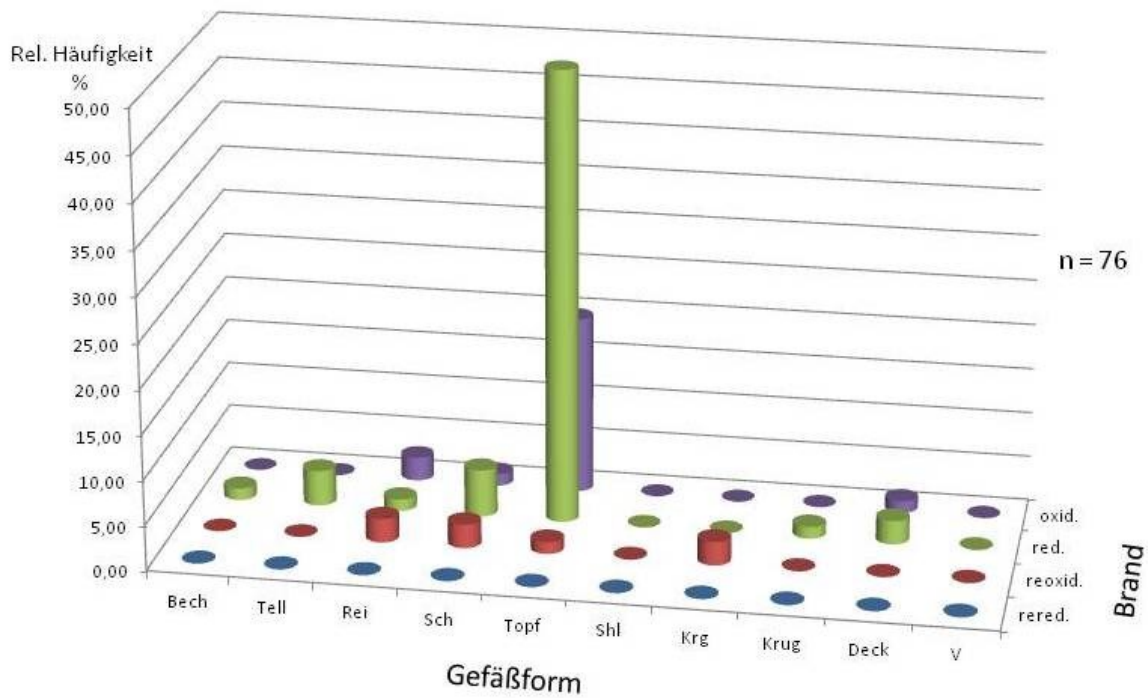


Abbildung 5.140: Tongrundig-rauwandige Ware: $h_{\text{GefäÙe}} = f(\text{GefäÙform}, \text{Brand})$ für den Fundkomplex Geb. 1/2 (Zahlenwerte zur Abb. siehe Tab. 5.179)

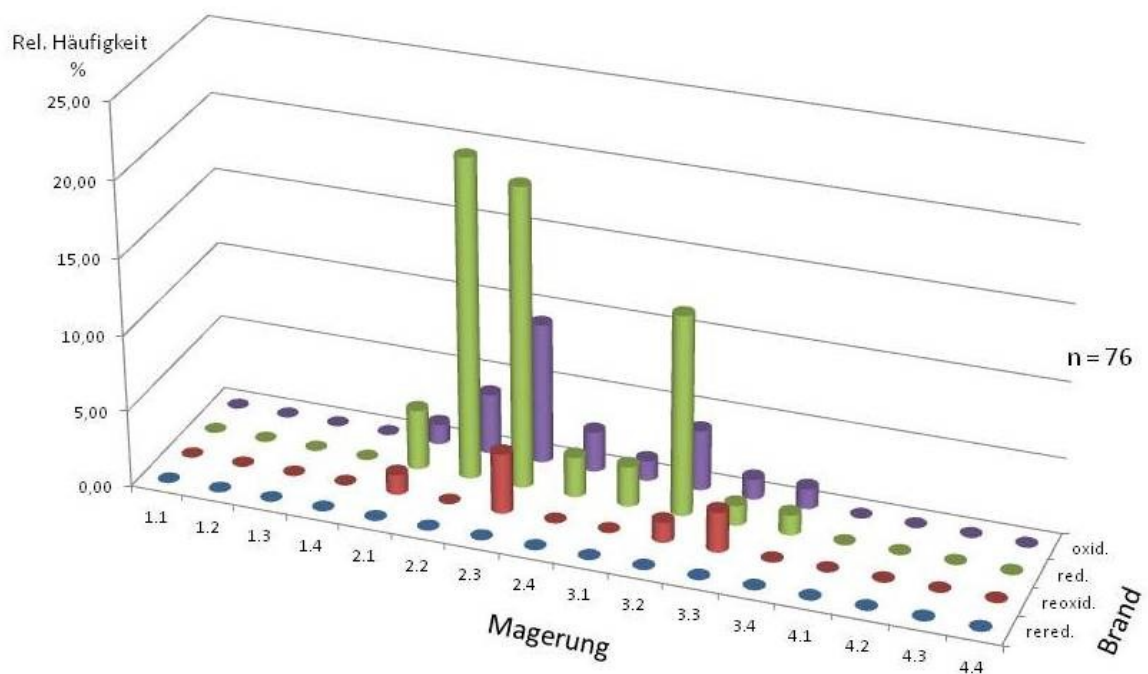


Abbildung 5.141: Tongrundig-rauwandige Ware: $h_{\text{GefäÙe}} = f(\text{Magerung}, \text{Brand})$ für den Fundkomplex Geb. 1/2 (Zahlenwerte zur Abb. siehe Tab. 5.180)

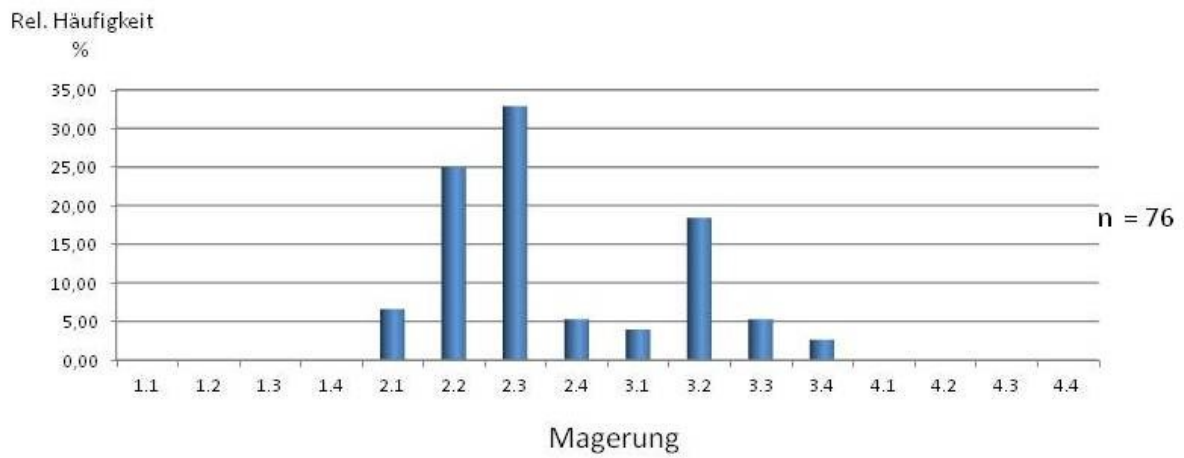


Abbildung 5.142: Tongrundig-rauwandige Ware: $h_{\text{Gefäße}} = f(\text{Magerung})$ für den Fundkomplex Geb. 1/2
(Zahlenwerte zur Abb. siehe Tab. 5.181)

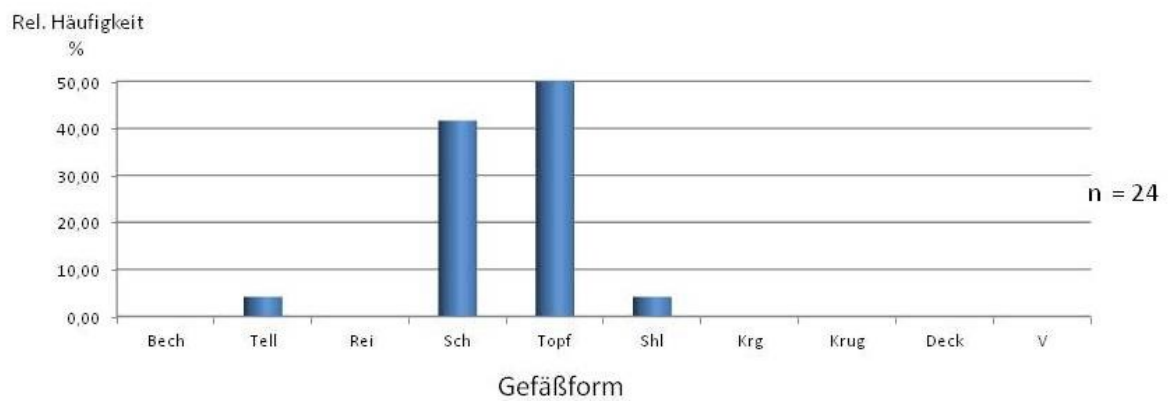


Abbildung 5.143: Handgemachte Ware: $h_{\text{Gefäße}} = f(\text{Gefäßform})$ für den Fundkomplex Geb. 1/2
(Zahlenwerte zur Abb. siehe Tab. 5.182)

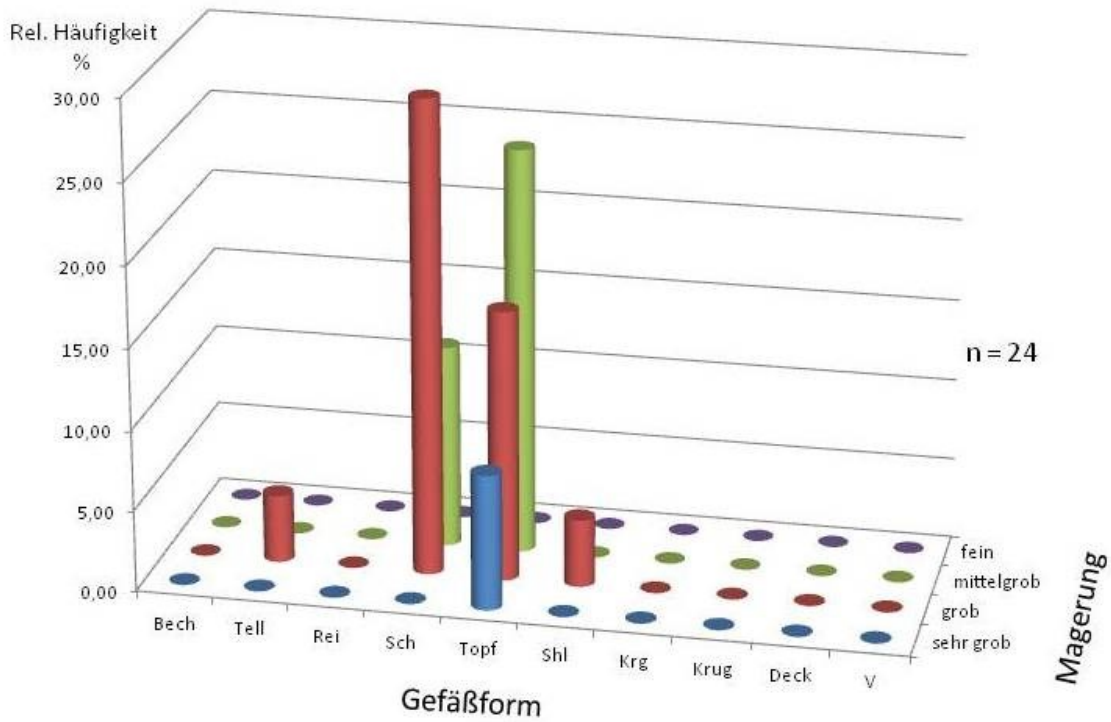


Abbildung 5.144: Handgemachte Ware: $h_{\text{GefäÙe}} = f(\text{GefäÙform}, \text{Magerung})$ für den Fundkomplex Geb. 1/2
(Zahlenwerte zur Abb. siehe Tab. 5.183)

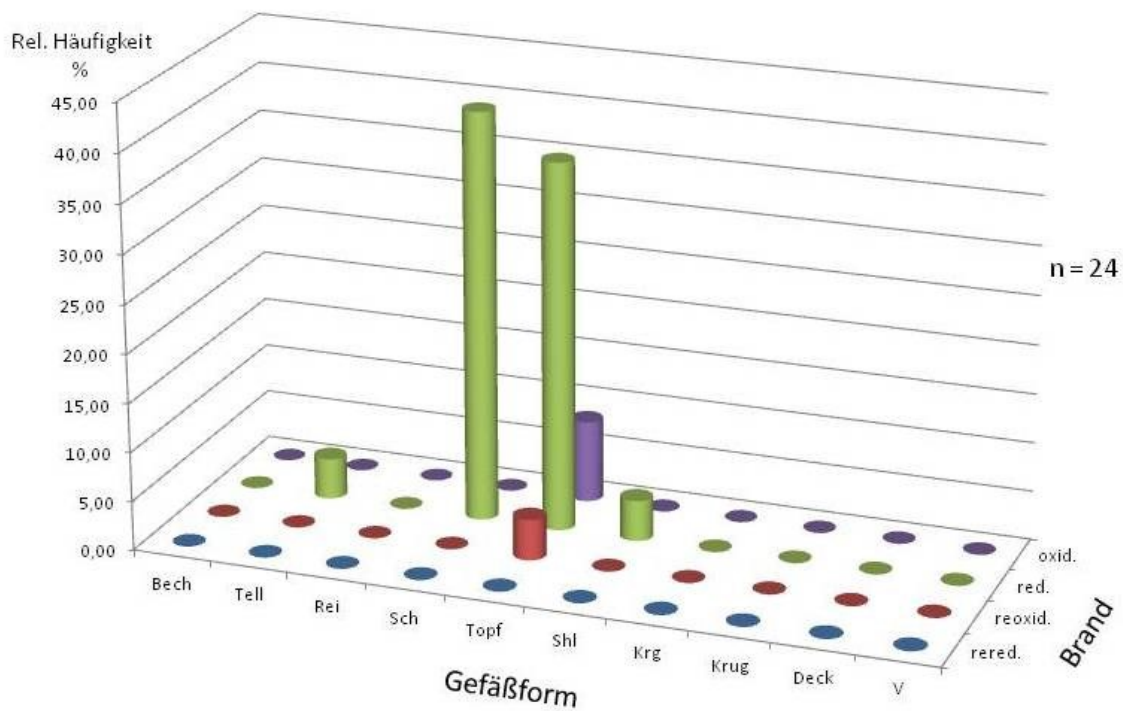


Abbildung 5.145: Handgemachte Ware: $h_{\text{GefäÙe}} = f(\text{GefäÙform}, \text{Brand})$ für den Fundkomplex Geb. 1/2
(Zahlenwerte zur Abb. siehe Tab. 5.184)

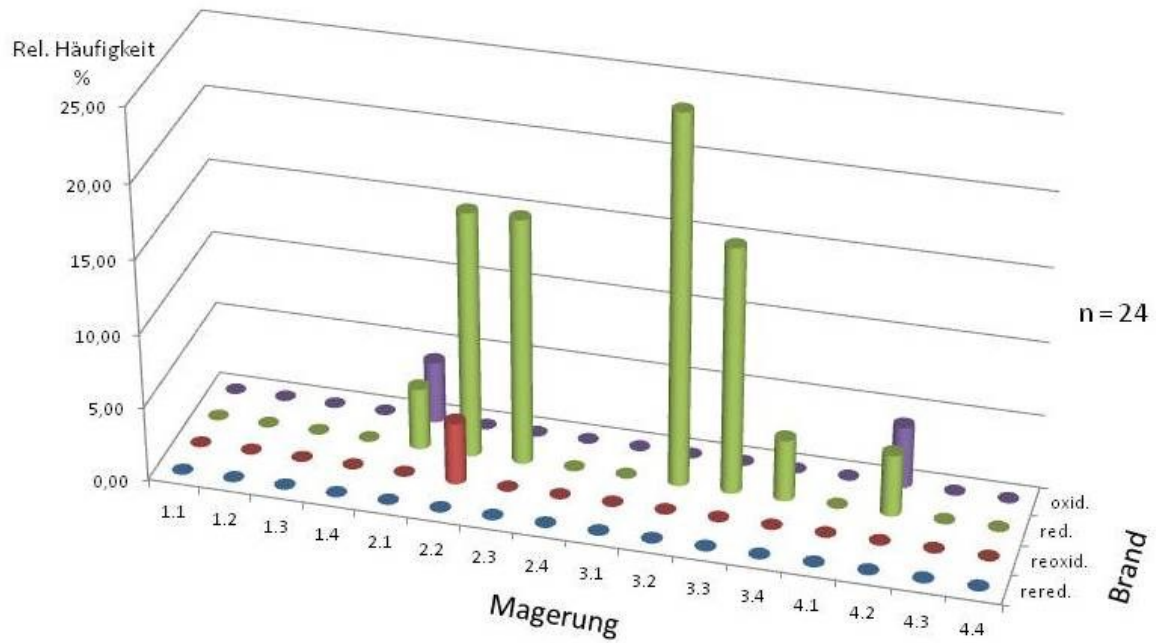


Abbildung 5.146: Handgemachte Ware: $h_{\text{Gefäße}} = f(\text{Magerung}, \text{Brand})$ für den Fundkomplex Geb. 1/2
(Zahlenwerte zur Abb. siehe Tab. 5.185)

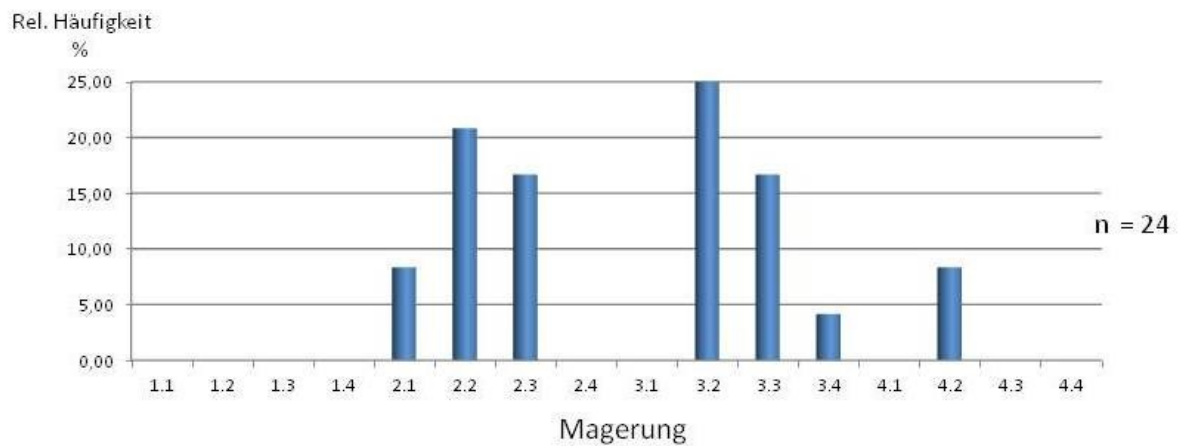


Abbildung 5.147: Handgemachte Ware: $h_{\text{Gefäße}} = f(\text{Magerung})$ für den Fundkomplex Geb. 1/2
(Zahlenwerte zur Abb. siehe Tab. 5.186)

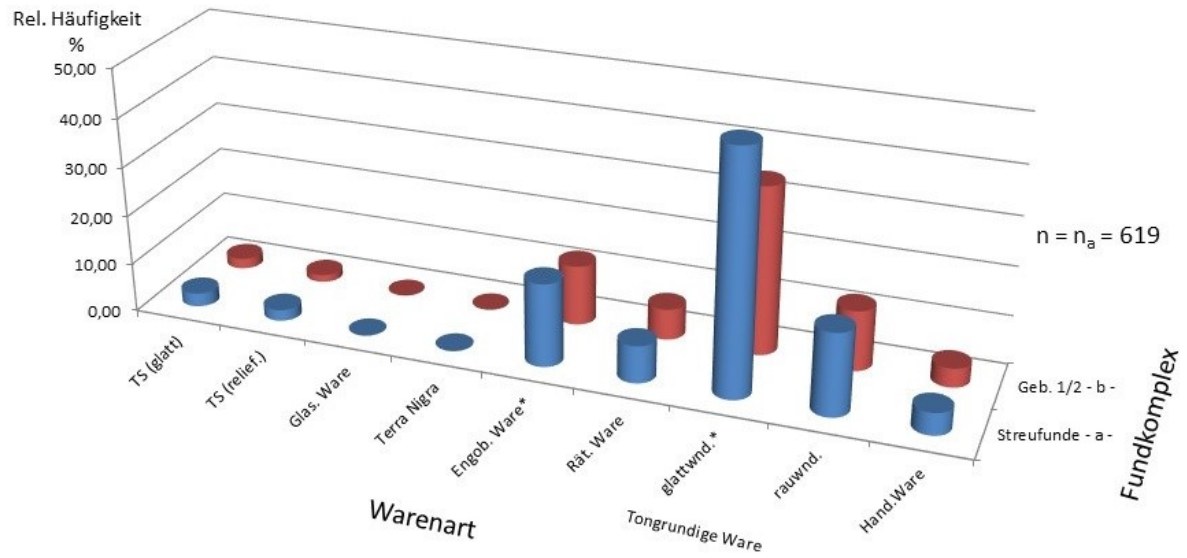


Abbildung 5.148: Keramik: $h_{\text{Gefäße}^*} = f(\text{Warenart}, (\text{Streufunde}, \text{Geb. 1/2}))$

(Zahlenwerte zur Abb. siehe Tab. 5.187)

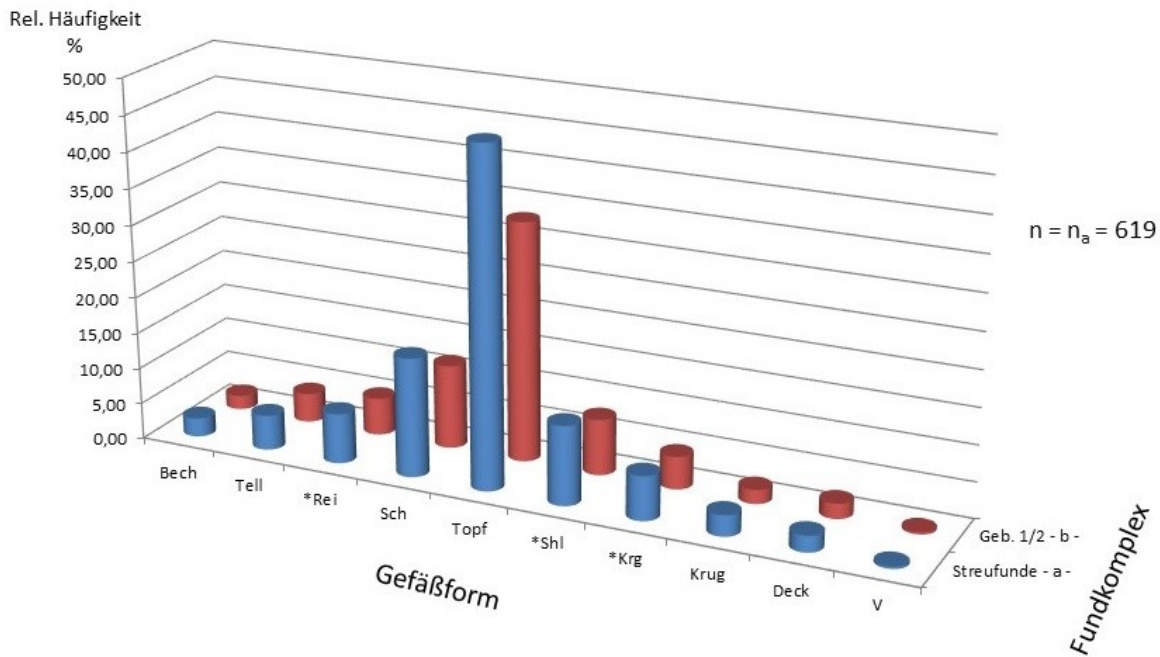


Abbildung 5.149: Keramik: $h_{\text{Gefäße}^*} = f(\text{Gefäßform}, (\text{Streufunde}, \text{Geb. 1/2}))$

(Zahlenwerte zur Abb. siehe Tab. 5.188)

*: Streufunde: Randscherben, 8 TS-Wand- und 3 TS-Bodenscherben
 Geb. 1/2: Randscherben, 4 TS-Wand- und 3 TS-Bodenscherben

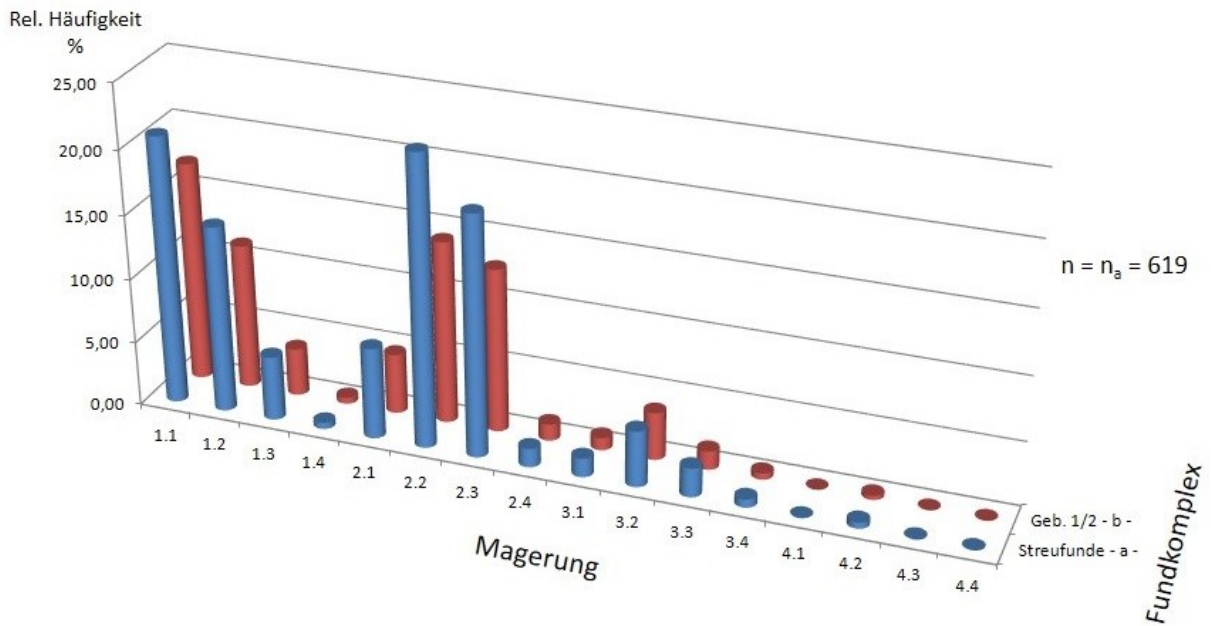


Abbildung 5.150: Keramik: $h_{\text{Gefäße}^*} = f(\text{Magerung}, (\text{Streufunde}, \text{Geb. 1/2}))$
 (Zahlenwerte zur Abb. siehe Tab. 5.189)

*: Streufunde: Randscherben, 8 TS-Wand- und 3 TS-Bodenscherben
 Geb. 1/2: Randscherben, 4 TS-Wand- und 3 TS-Bodenscherben

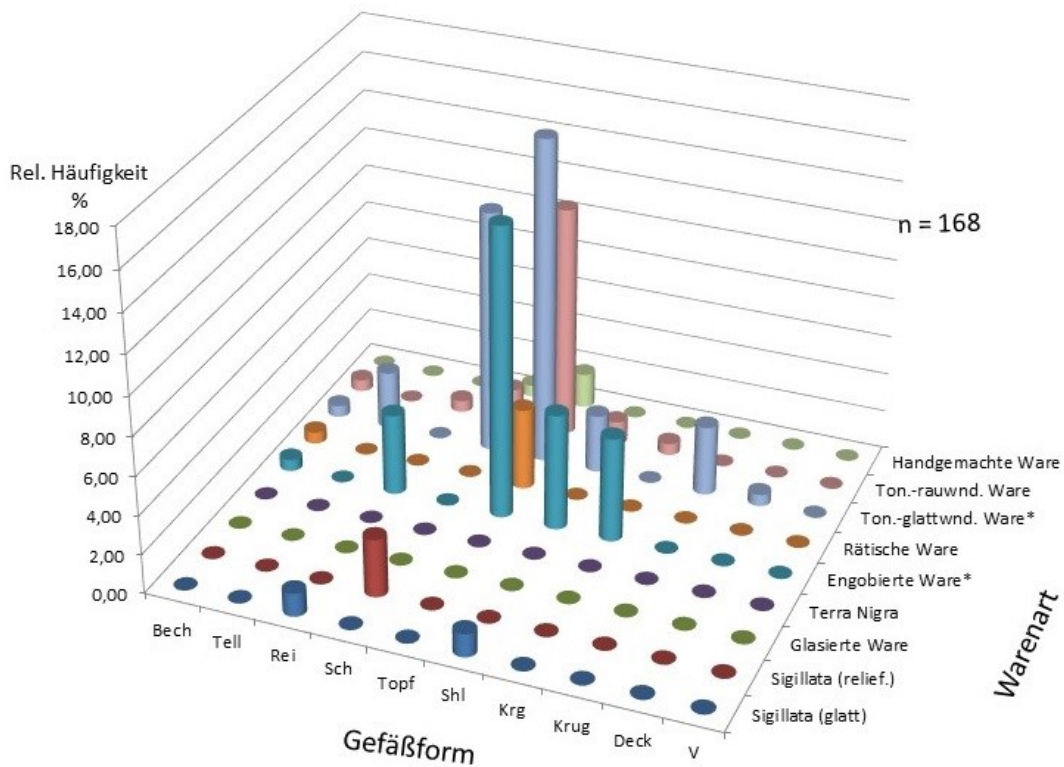


Abbildung 5.151: Keramik: $h_{\text{Gefäße}^*} = f(\text{Gefäßform}, \text{Warenart})$ für den Fundkomplex Geb. 3
 (Zahlenwerte zur Abb. siehe Tab. 5.211)

*: Randscherben, 4 TS-Wandscherben

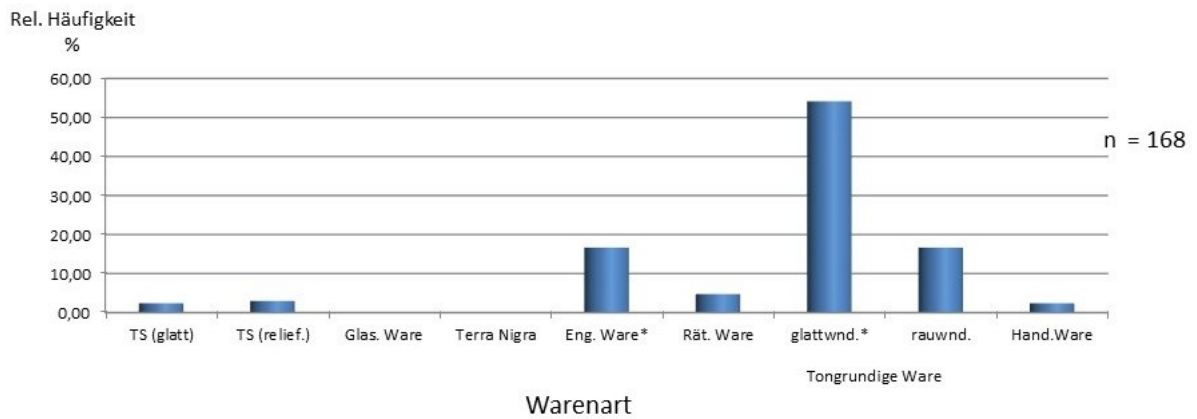


Abbildung 5.152: Keramik: $h_{\text{Gefäße}^*} = f(\text{Wareart})$ für den Fundkomplex Geb. 3
(Zahlenwerte zur Abb. siehe Tab. 5.212)

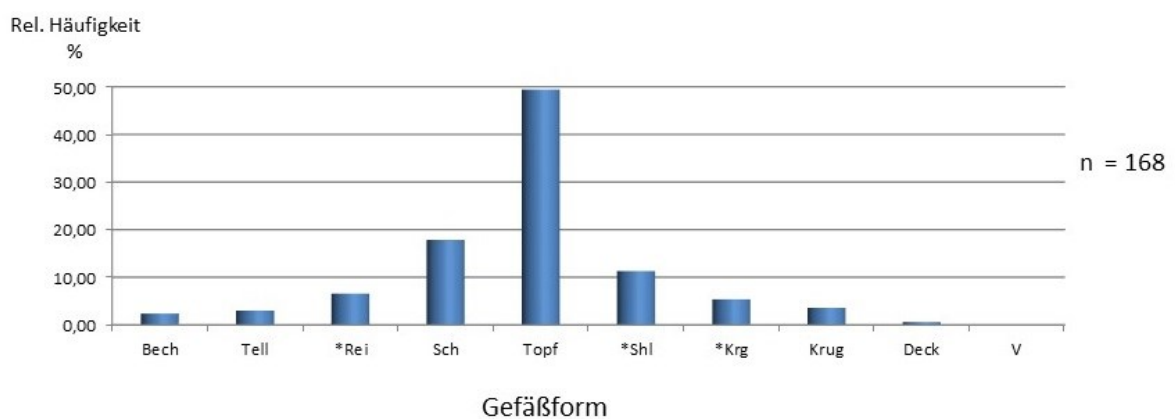


Abbildung 5.153: Keramik: $h_{\text{Gefäße}^*} = f(\text{Gefäßform})$ für den Fundkomplex Geb. 3
(Zahlenwerte zur Abb. siehe Tab. 5.213)

*: Randscherben, 4 TS-Wandscherben

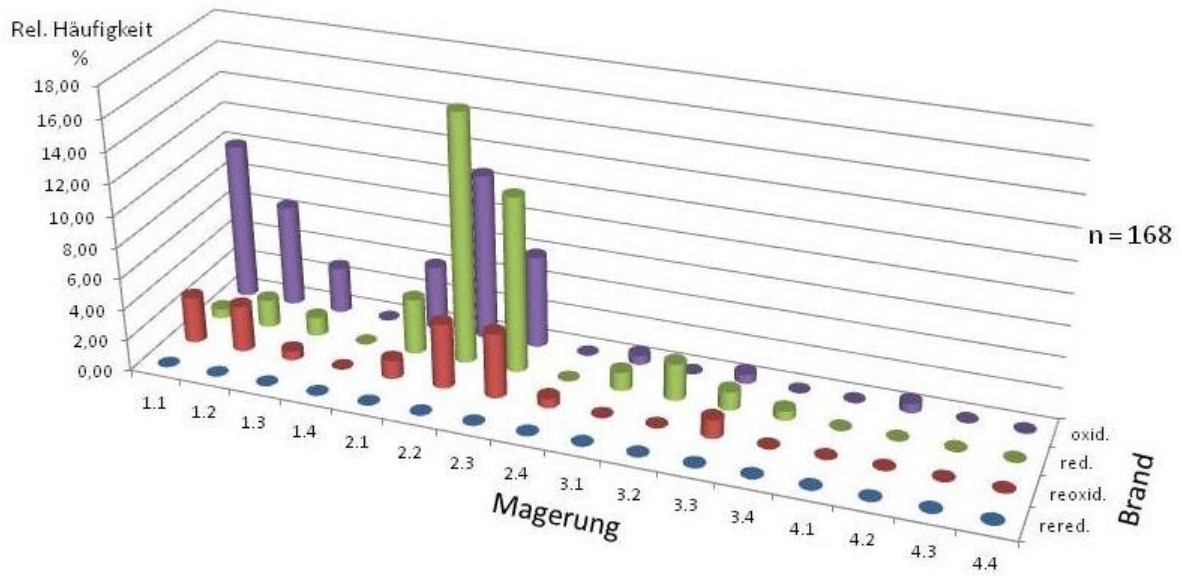


Abbildung 5.154: Keramik: $h_{\text{Gefäße}^*} = f(\text{Magerung}, \text{Brand})$ für den Fundkomplex Geb. 3
(Zahlenwerte zur Abb. siehe Tab. 5.214)

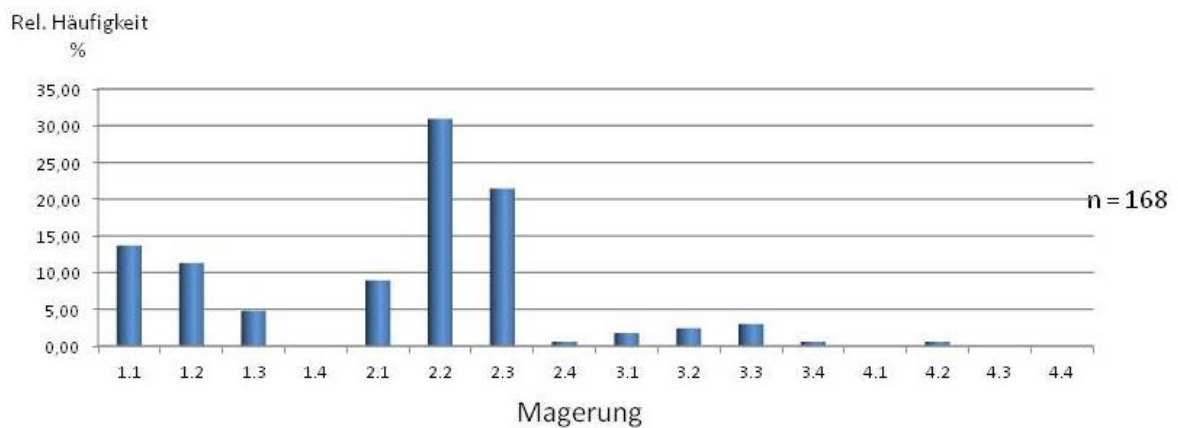


Abbildung 5.155: Keramik: $h_{\text{Gefäße}^*} = f(\text{Magerung})$ für den Fundkomplex Geb. 3
(Zahlenwerte zur Abb. siehe Tab. 5.215)

*: Randscherben, 4 TS-Wandscherben

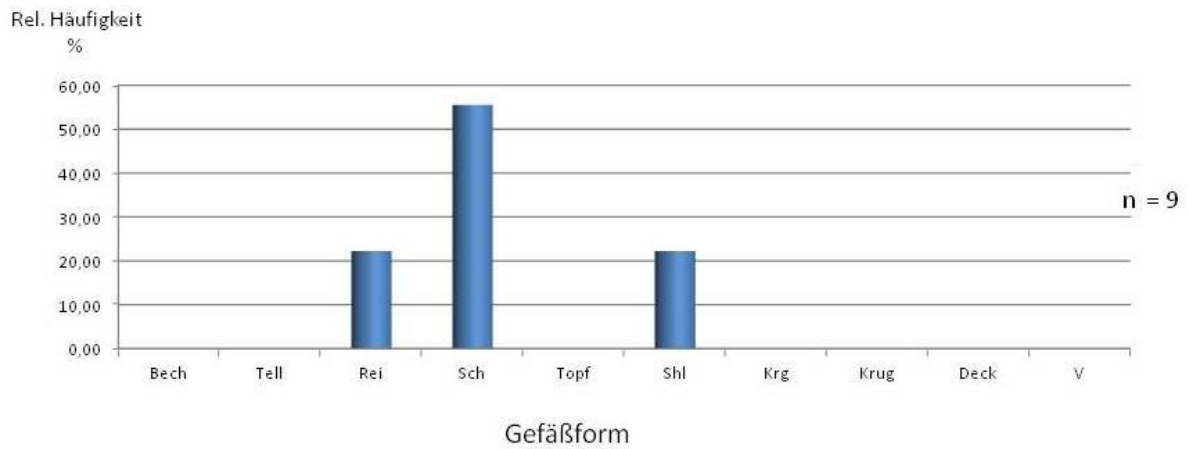


Abbildung 5.156: Sigillata: $h_{\text{Gefäße}^*} = f(\text{Gefäßform})$ für den Fundkomplex Geb. 3
(Zahlenwerte zur Abb. siehe Tab. 5.216)

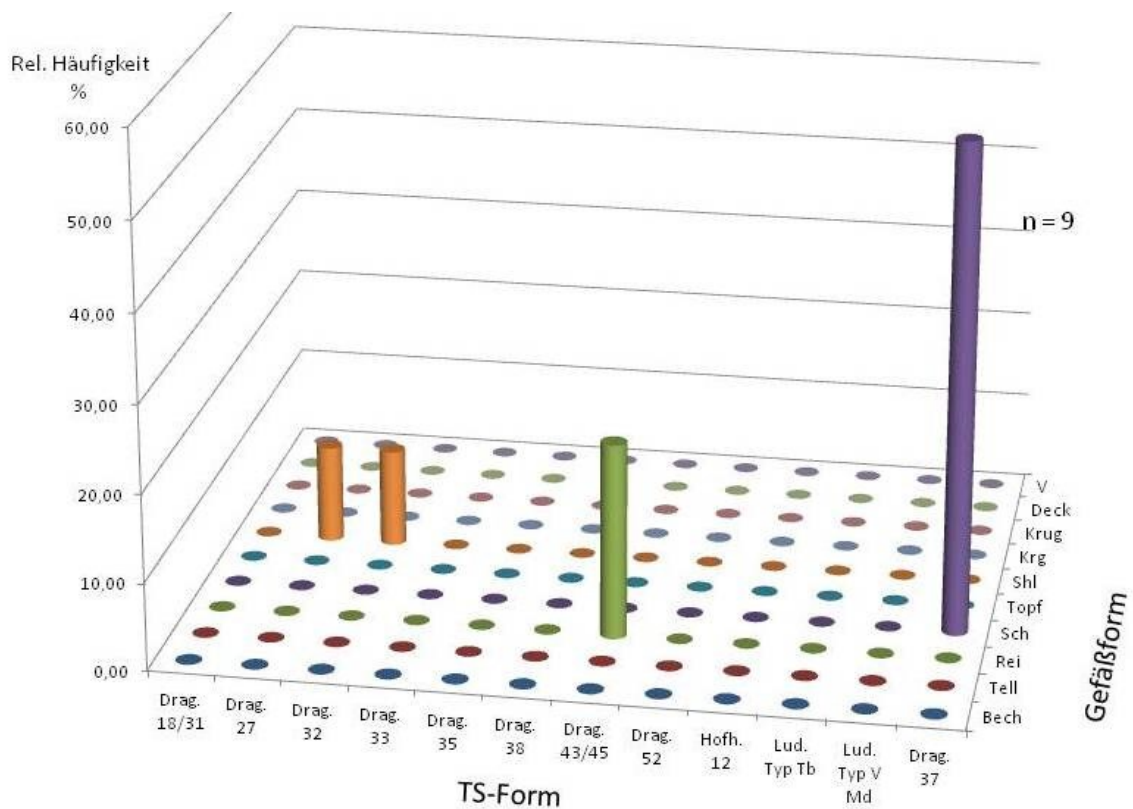


Abbildung 5.157: Sigillata: $h_{\text{Gefäße}^*} = f(\text{TS-Form}, \text{Gefäßform})$ für den Fundkomplex Geb. 3
(Zahlenwerte zur Abb. siehe Tab. 5.217)

*: Randscherben, 4 TS-Wandscherben

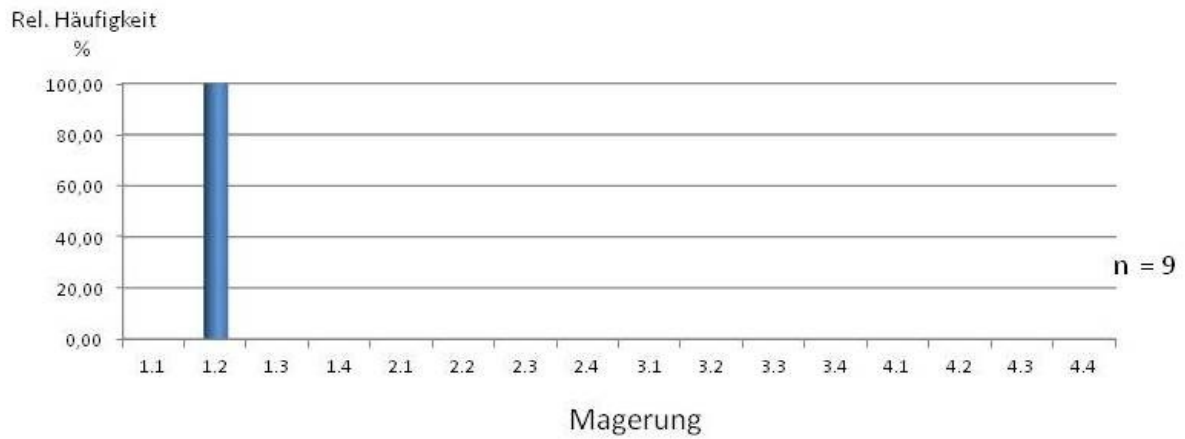


Abbildung 5.158: Sigillata: $h_{\text{Gefäße}^*} = f(\text{Magerung})$ für den Fundkomplex Geb. 3
(Zahlenwerte zur Abb. siehe Tab. 5.218)

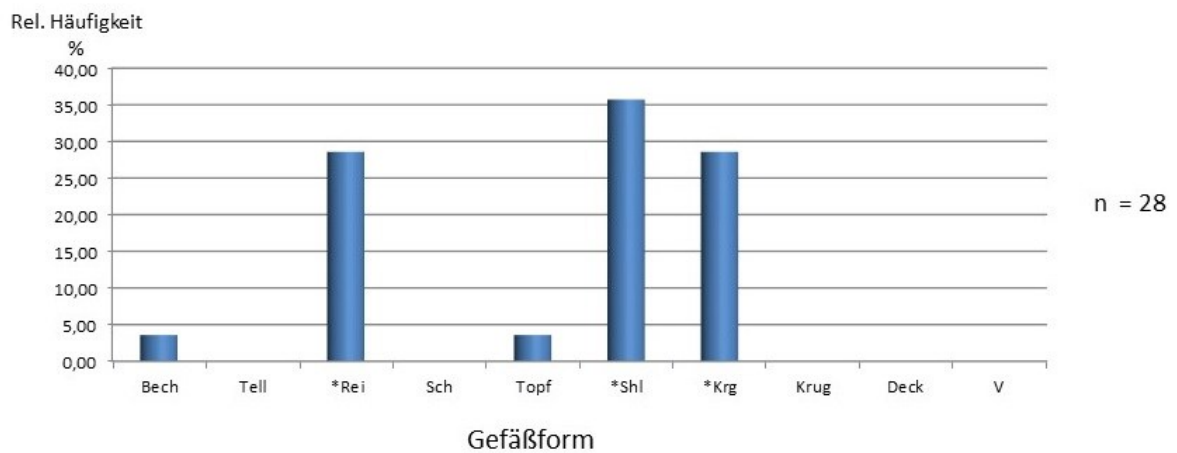


Abbildung 5.159: *Engobierte Ware: $h_{\text{Gefäße}} = f(\text{Gefäßform})$ für den Fundkomplex Geb. 3
(Zahlenwerte zur Abb. siehe Tab. 5.200)

*: Randscherben, 4 TS-Wandscherben

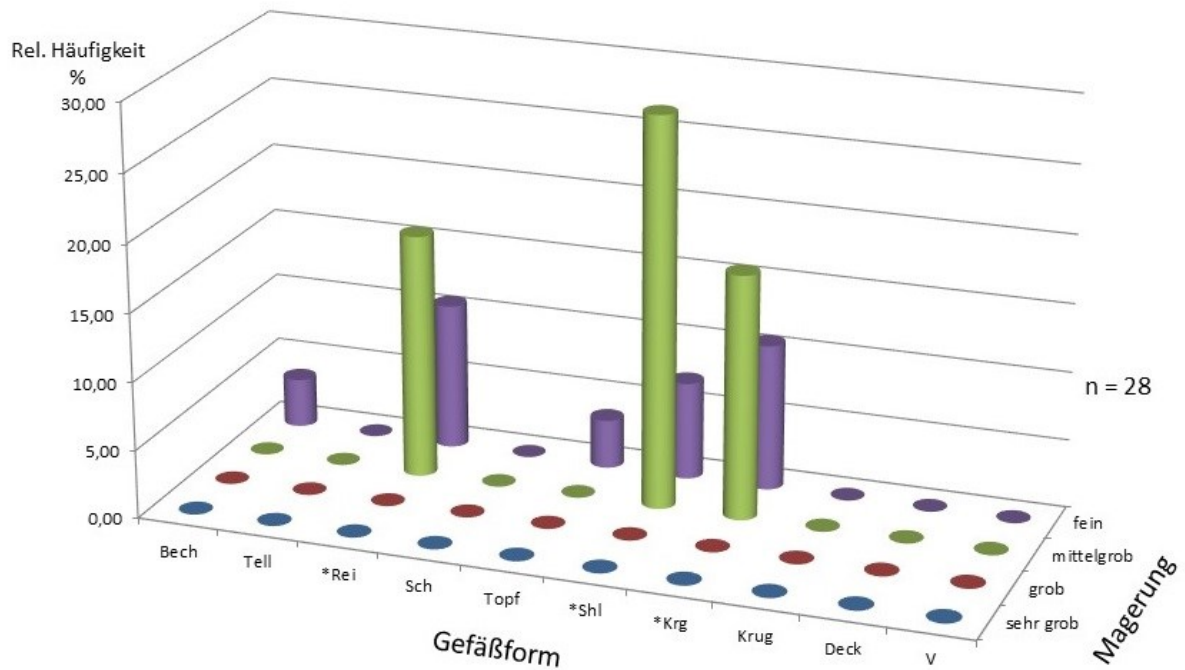


Abbildung 5.160: *Engobierte Ware: $h_{\text{GefäÙe}} = f(\text{GefäÙform, Magerung})$ für den Fundkomplex Geb. 3
(Zahlenwerte zur Abb. siehe Tab. 5.201)

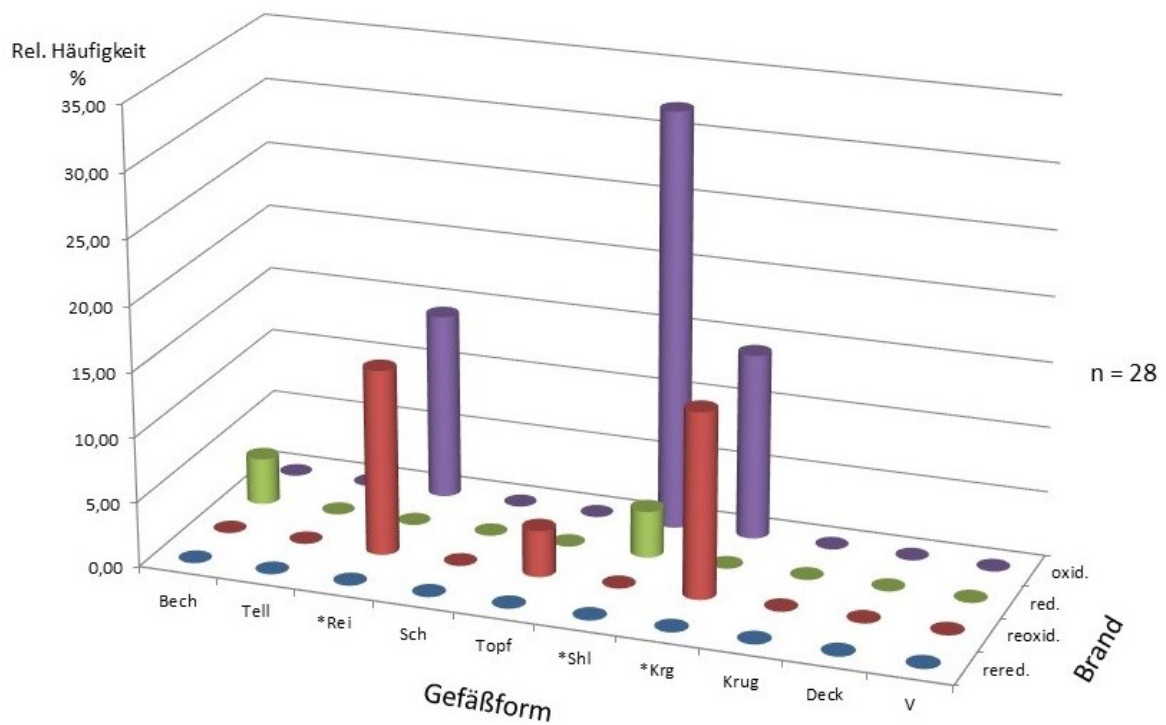


Abbildung 5.161: *Engobierte Ware: $h_{\text{GefäÙe}} = f(\text{GefäÙform, Brand})$ für den Fundkomplex Geb. 3
(Zahlenwerte zur Abb. siehe Tab. 5.202)

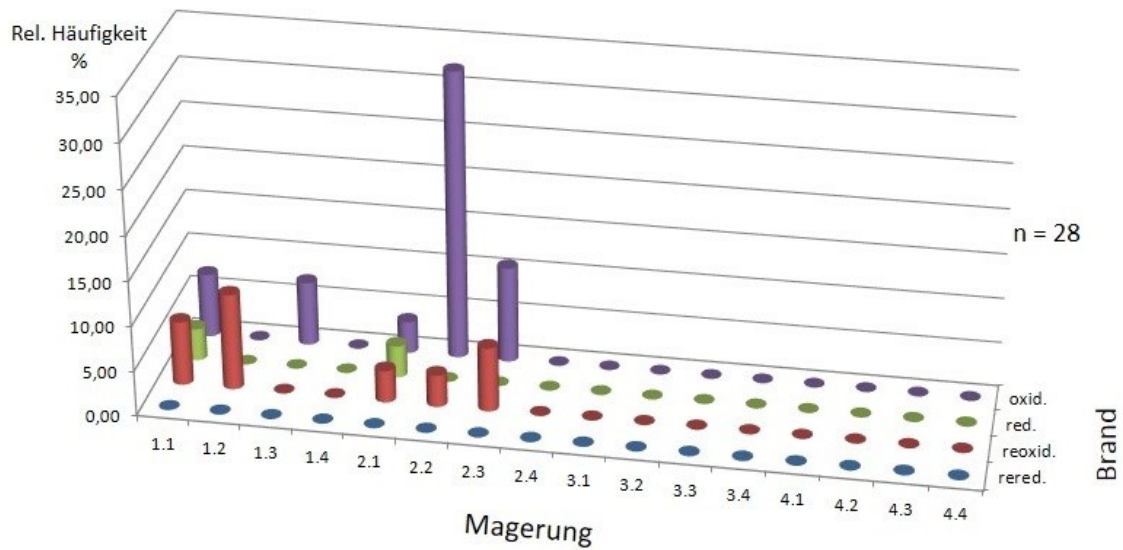


Abbildung 5.162: *Engobierte Ware: $h_{\text{GefäÙe}} = f(\text{Magerung}, \text{Brand})$ für den Fundkomplex Geb. 3
(Zahlenwerte zur Abb. siehe Tab. 5.203)

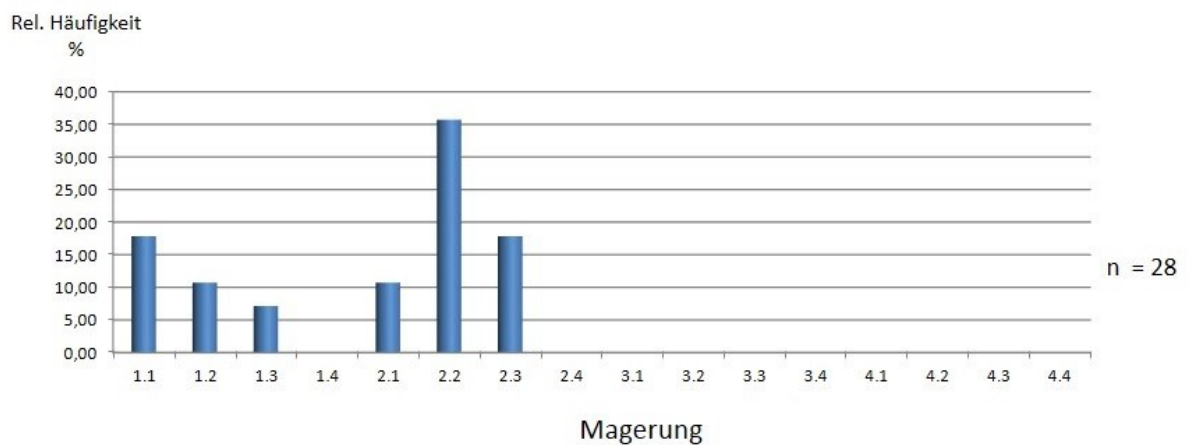


Abbildung 5.163: *Engobierte Ware: $h_{\text{GefäÙe}} = f(\text{Magerung})$ für den Fundkomplex Geb. 3
(Zahlenwerte zur Abb. siehe Tab. 5.204)

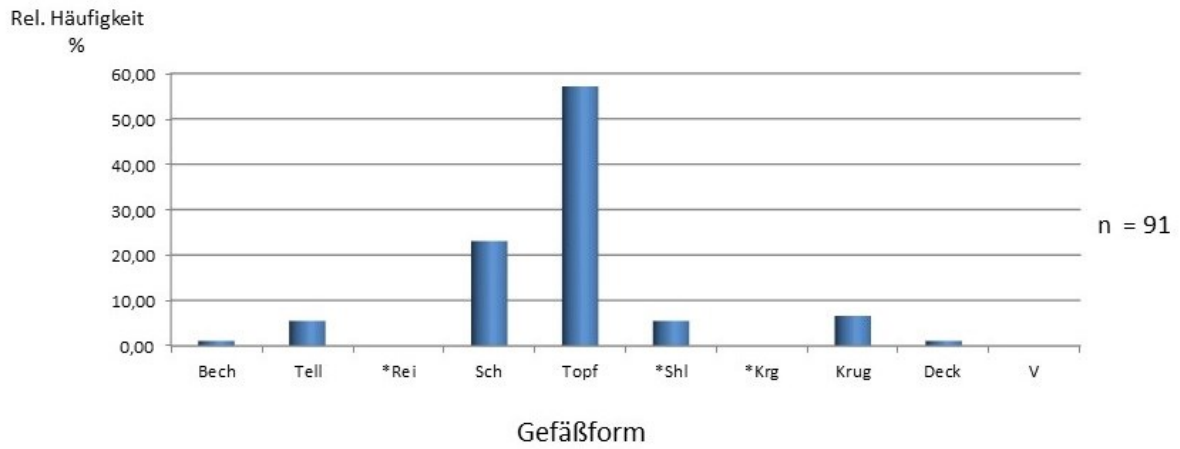


Abbildung 5.164: *Tongrundig-glattwandige Ware: $h_{\text{Gefäße}} = f(\text{Gefäßform})$ für den Fundkomplex Geb. 3
(Zahlenwerte zur Abb. siehe Tab. 5.205)

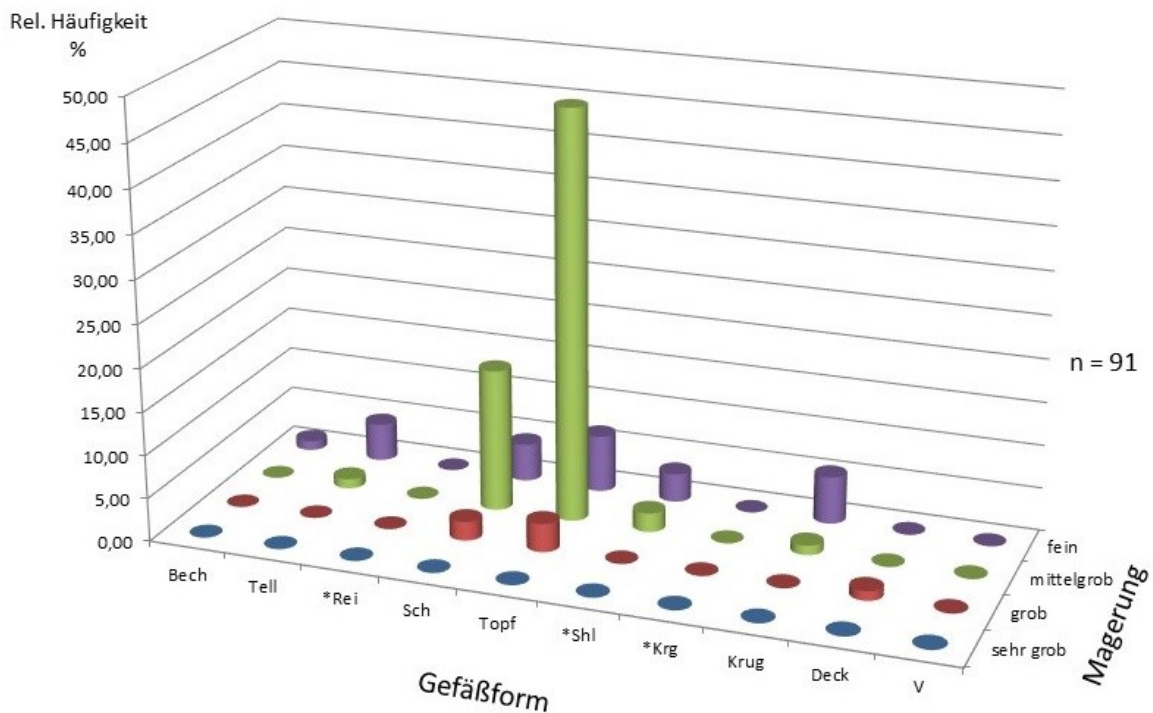


Abbildung 5.165: *Tongrundig-glattwandige Ware: $h_{\text{Gefäße}} = f(\text{Gefäßform}, \text{Magerung})$ für den Fundkomplex Geb. 3
(Zahlenwerte zur Abb. siehe Tab. 5.206)

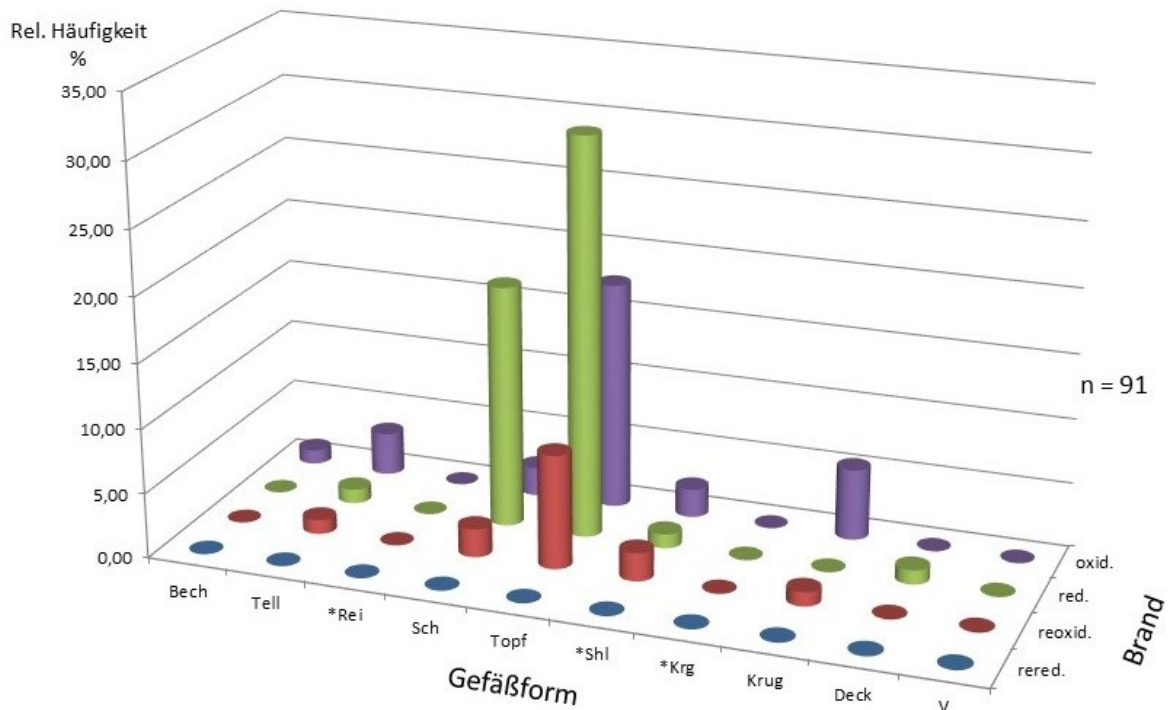


Abbildung 5.166: *Tongrundig-glattwandige Ware: $h_{\text{GefäÙe}} = f(\text{GefäÙform, Brand})$ für den Fundkomplex Geb. 3
(Zahlenwerte zur Abb. siehe Tab. 5.207)

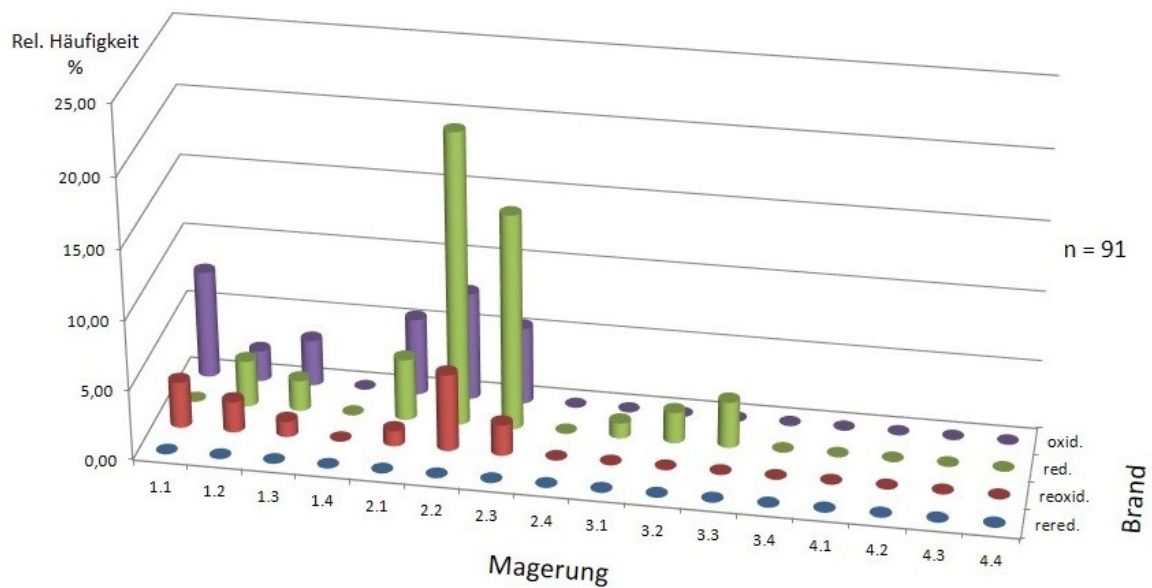


Abbildung 5.167: *Tongrundig-glattwandige Ware: $h_{\text{GefäÙe}} = f(\text{Magerung, Brand})$ für den Fundkomplex Geb. 3
(Zahlenwerte zur Abb. siehe Tab. 5.208)

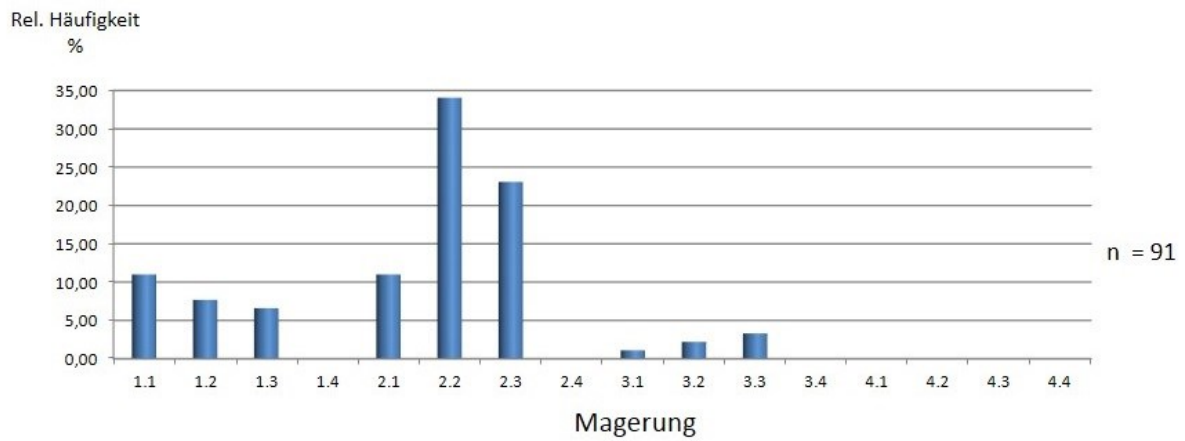


Abbildung 5.168: *Tongrundig-glattwandige Ware: $h_{\text{Gefäße}} = f(\text{Magerung})$ für den Fundkomplex Geb. 3
(Zahlenwerte zur Abb. siehe Tab. 5.209)

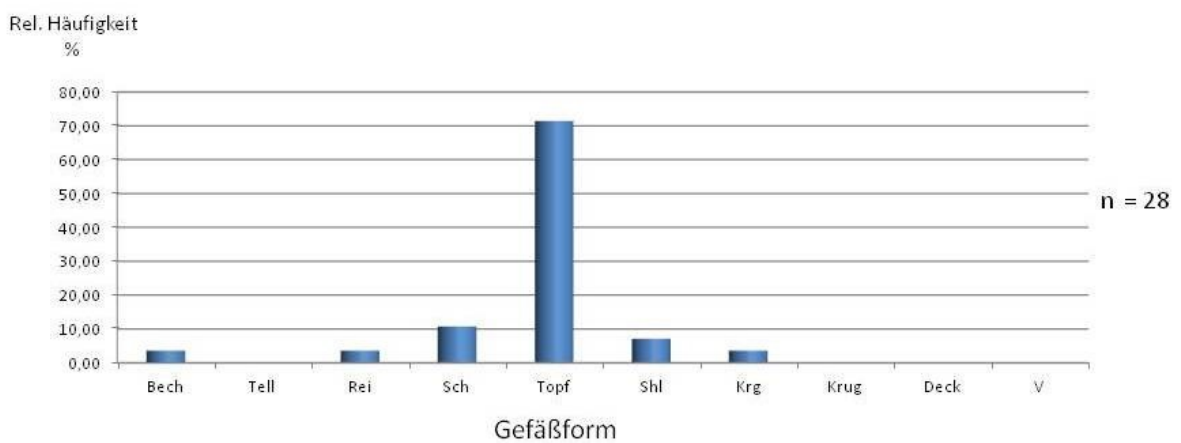


Abbildung 5.169: Tongrundig-rauwandige Ware: $h_{\text{Gefäße}} = f(\text{Gefäßform})$ für den Fundkomplex Geb. 3
(Zahlenwerte zur Abb. siehe Tab. 5.219)

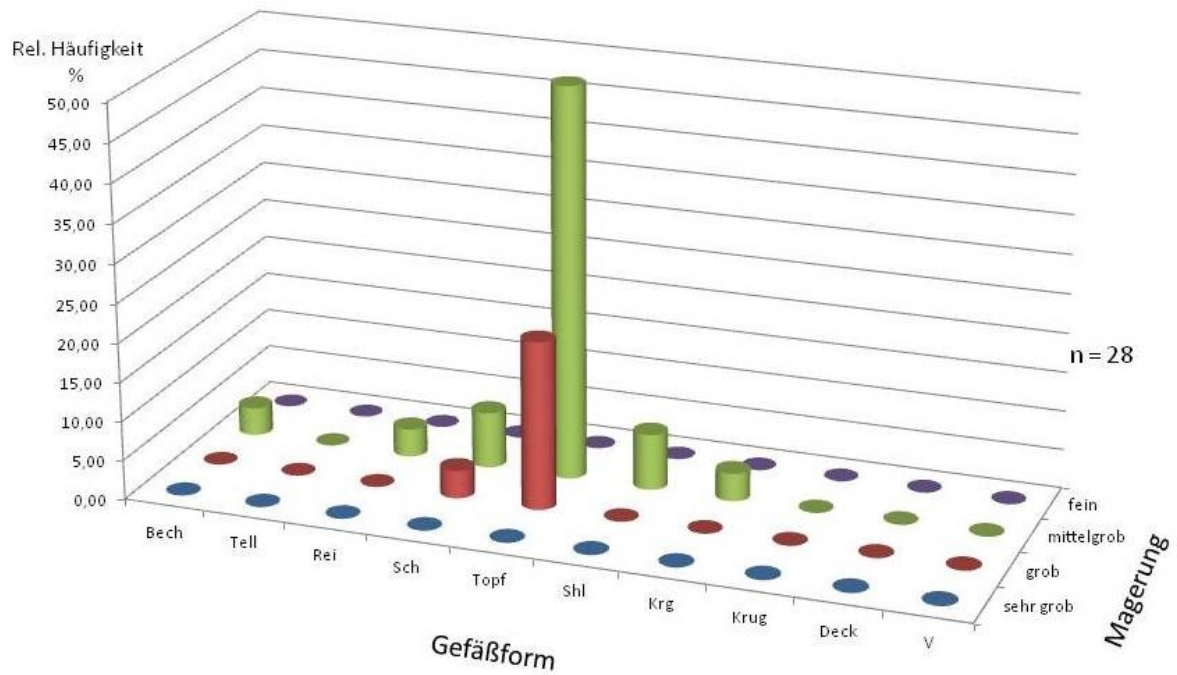


Abbildung 5.170: Tongrundig-rauwandige Ware: $h_{\text{Gefäße}} = f(\text{Gefäßform}, \text{Magerung})$ für den Fundkomplex Geb. 3
(Zahlenwerte zur Abb. siehe Tab. 5.220)

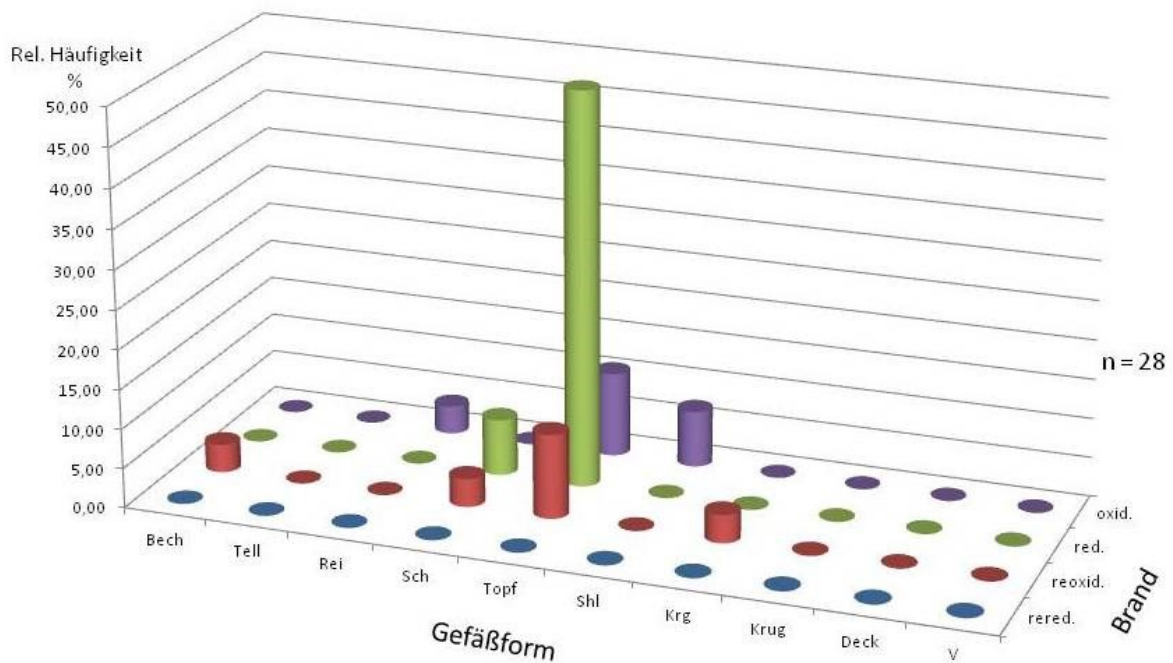


Abbildung 5.171: Tongrundig-rauwandige Ware: $h_{\text{Gefäße}} = f(\text{Gefäßform}, \text{Brand})$ für den Fundkomplex Geb. 3
(Zahlenwerte zur Abb. siehe Tab. 5.221)

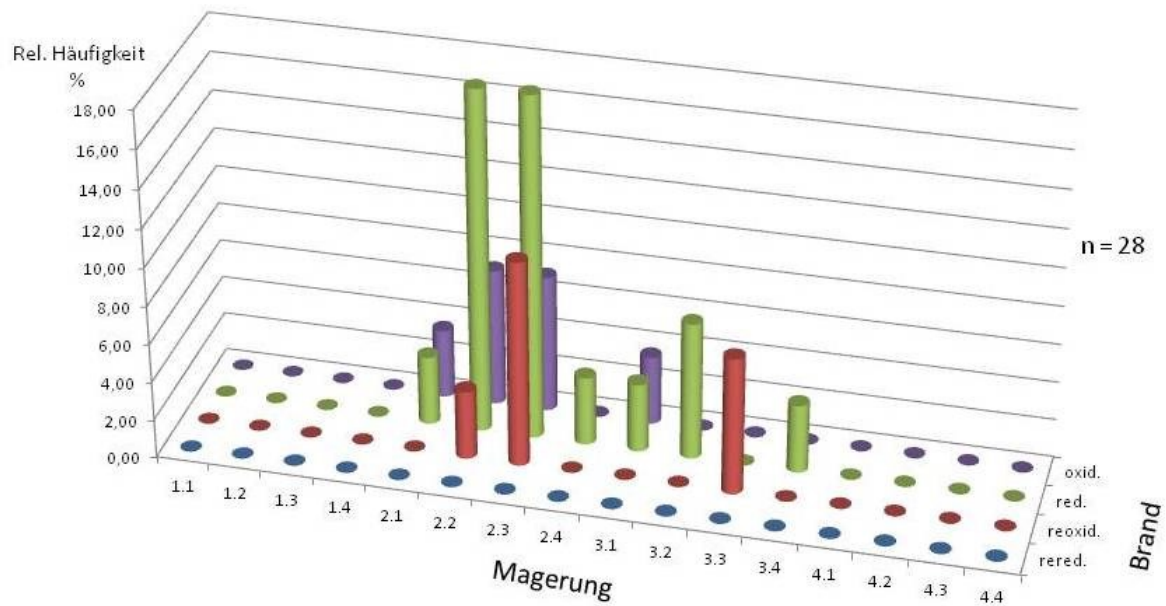


Abbildung 5.172: Tongrundig-rauwandige Ware: $h_{\text{Gefäße}} = f(\text{Magerung, Brand})$ für den Fundkomplex Geb. 3
(Zahlenwerte zur Abb. siehe Tab. 5.222)

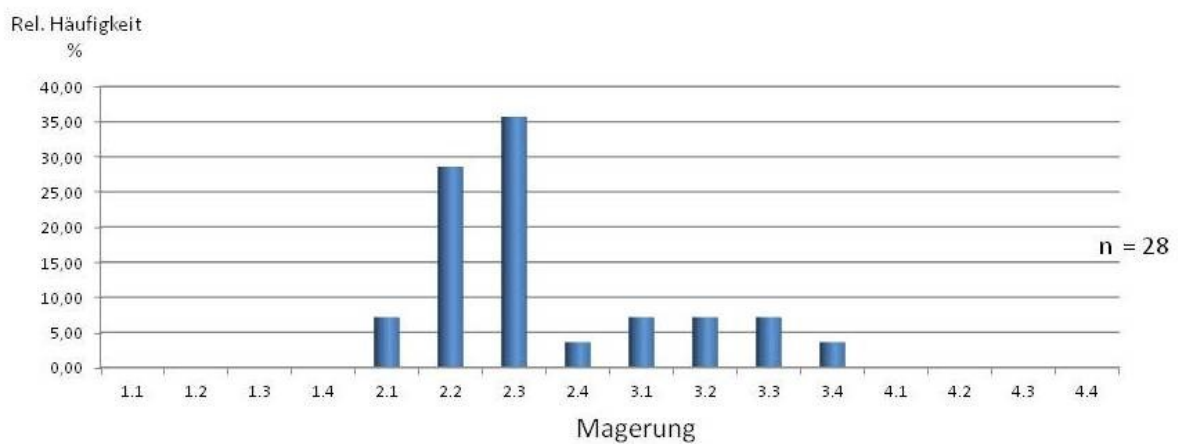


Abbildung 5.173: Tongrundig-rauwandige Ware: $h_{\text{Gefäße}} = f(\text{Magerung})$ für den Fundkomplex Geb. 3
(Zahlenwerte zur Abb. siehe Tab. 5.223)

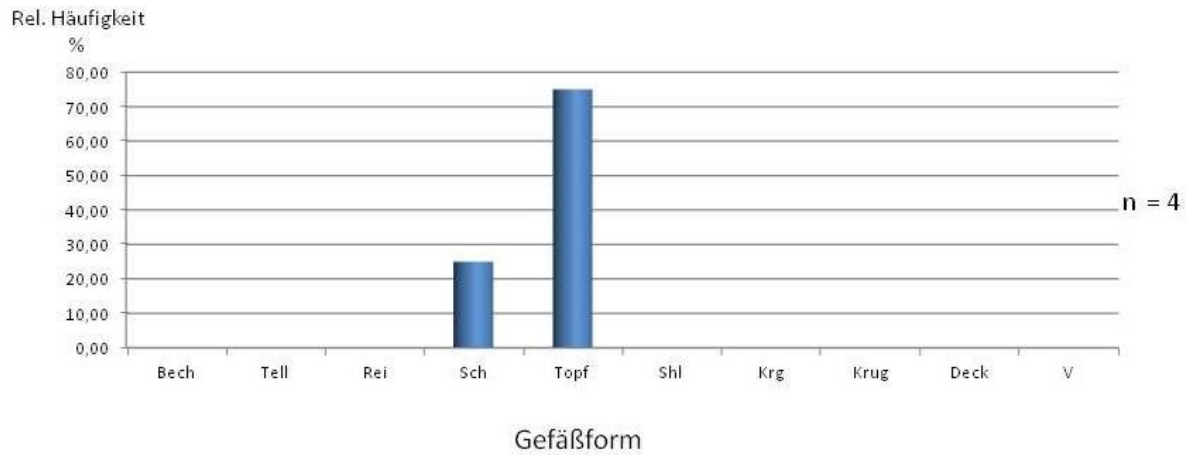


Abbildung 5.174: Handgemachte Ware: $h_{\text{Gefäße}} = f(\text{Gefäßform})$ für den Fundkomplex Geb. 3
(Zahlenwerte zur Abb. siehe Tab. 5.224)

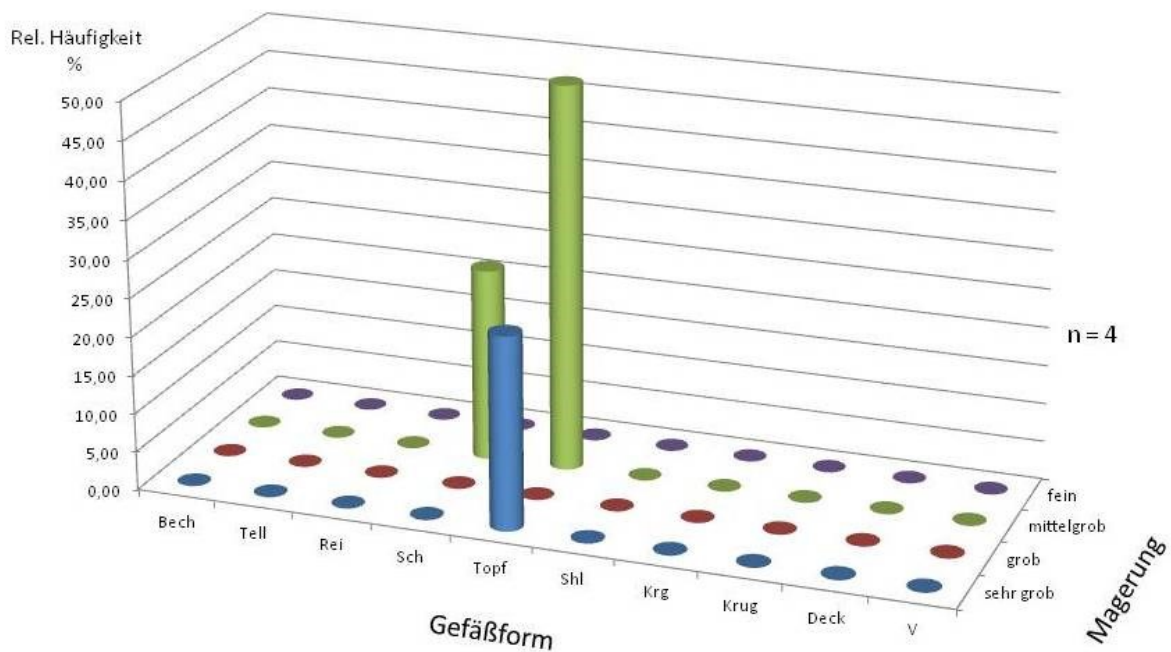


Abbildung 5.175: Handgemachte Ware: $h_{\text{Gefäße}} = f(\text{Gefäßform}, \text{Magerung})$ für den
Fundkomplex Geb. 3

(Zahlenwerte zur Abb. siehe Tab. 5.225)

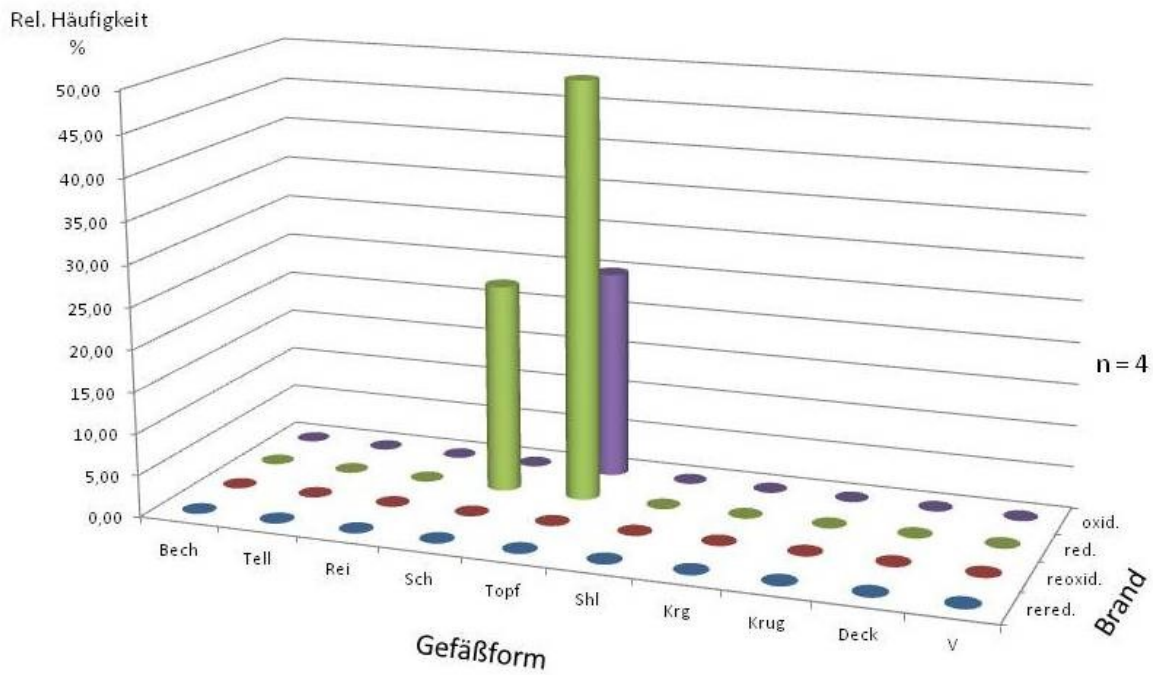


Abbildung 5.176: Handgemachte Ware: $h_{\text{GefäÙe}} = f(\text{GefäÙform, Brand})$ für den Fundkomplex Geb. 3

(Zahlenwerte zur Abb. siehe Tab. 5.226)

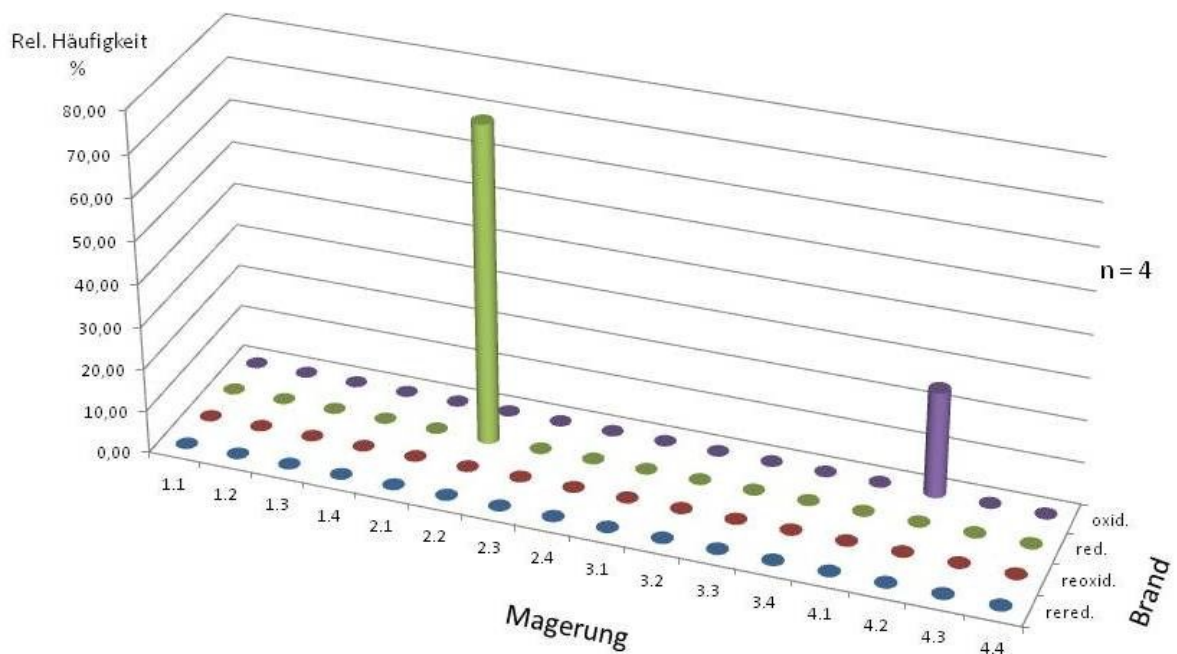


Abbildung 5.177: Handgemachte Ware: $h_{\text{GefäÙe}} = f(\text{Magerung, Brand})$ für den Fundkomplex Geb. 3

(Zahlenwerte zur Abb. siehe Tab. 5.227)

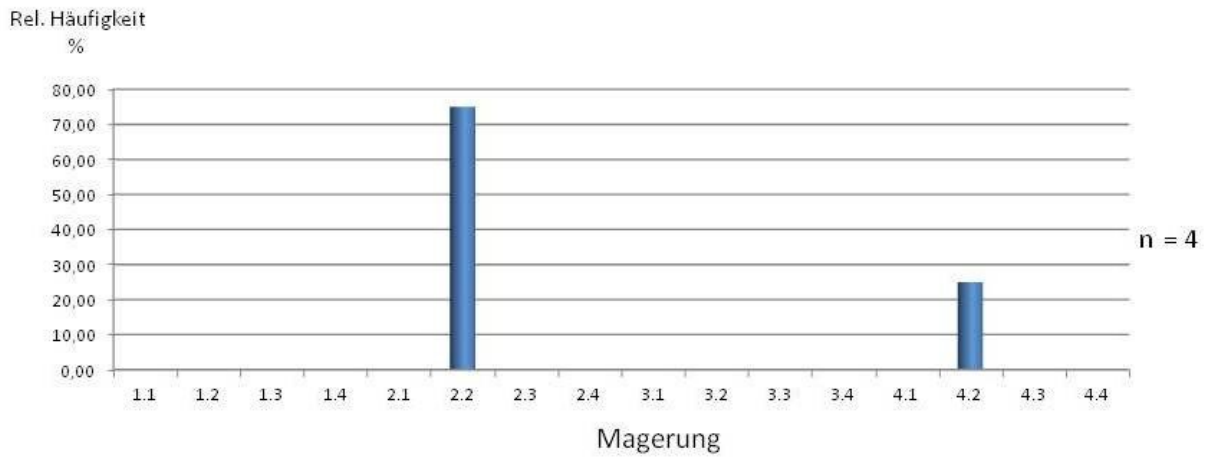


Abbildung 5.178: Handgemachte Ware: $h_{\text{Gefäße}} = f(\text{Magerung})$ für den Fundkomplex Geb. 3
(Zahlenwerte zur Abb. siehe Tab. 5.228)

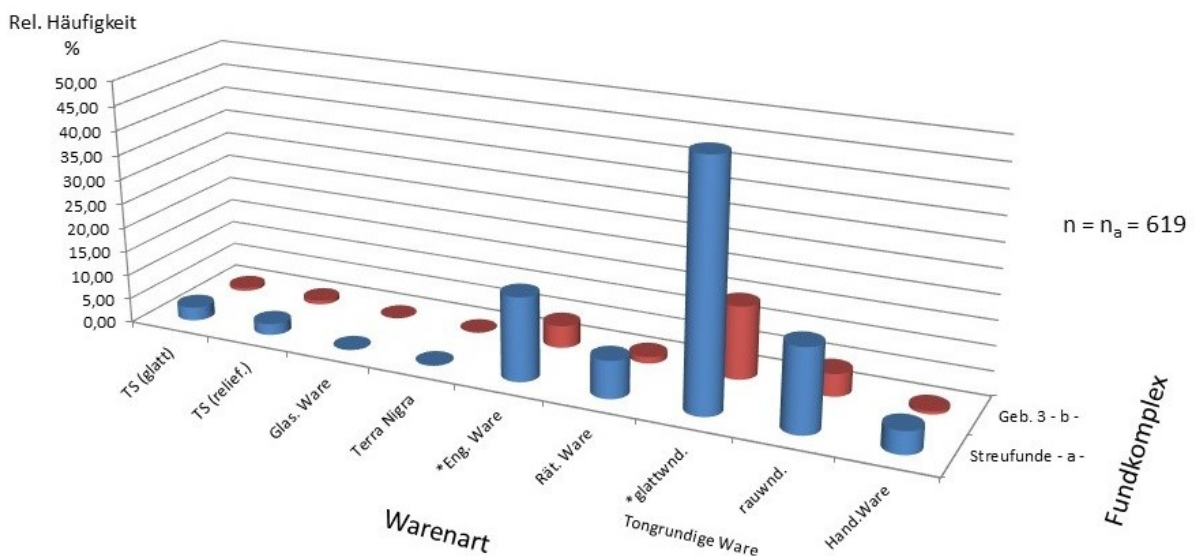


Abbildung 5.179: Keramik: $h_{\text{Gefäße}^*} = f(\text{Warenart}, (\text{Streufunde}, \text{Geb. 3}))$
(Zahlenwerte zur Abb. siehe Tab. 5.229)

*: Streufunde: Randscherben, 8 TS-Wand- und 3 TS-Bodenscherben
Geb. 3: Randscherben, 4 TS-Wandscherben

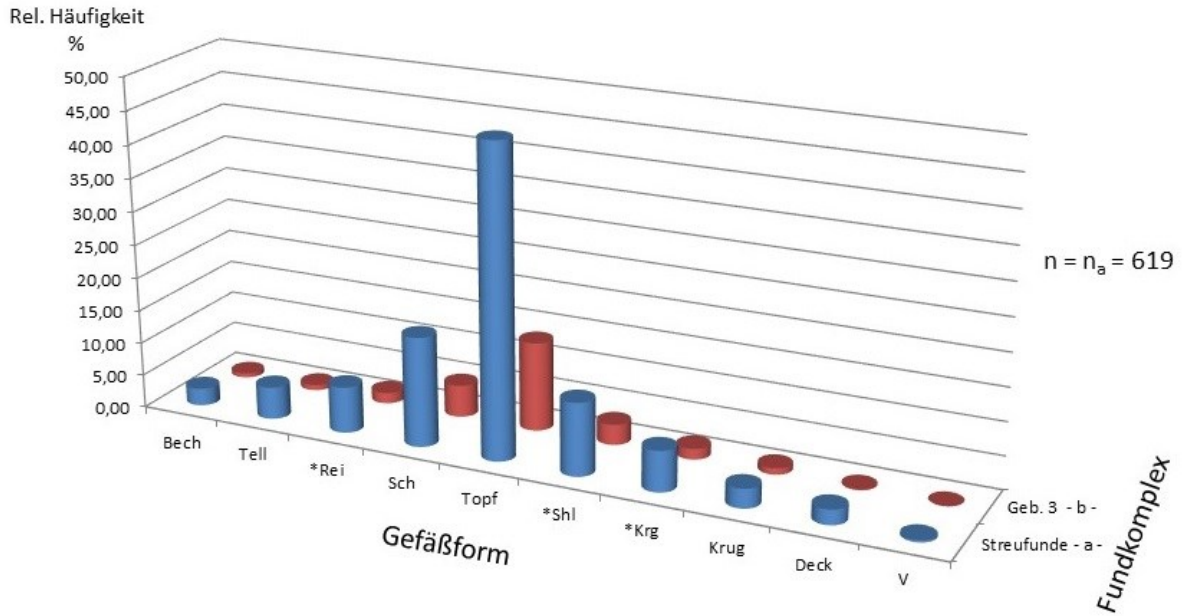


Abbildung 5.180: Keramik: $h_{\text{Gefäße}^*} = f(\text{Gefäßform}, (\text{Streufunde}, \text{Geb. 3}))$
 (Zahlenwerte zur Abb. siehe Tab. 5.230)

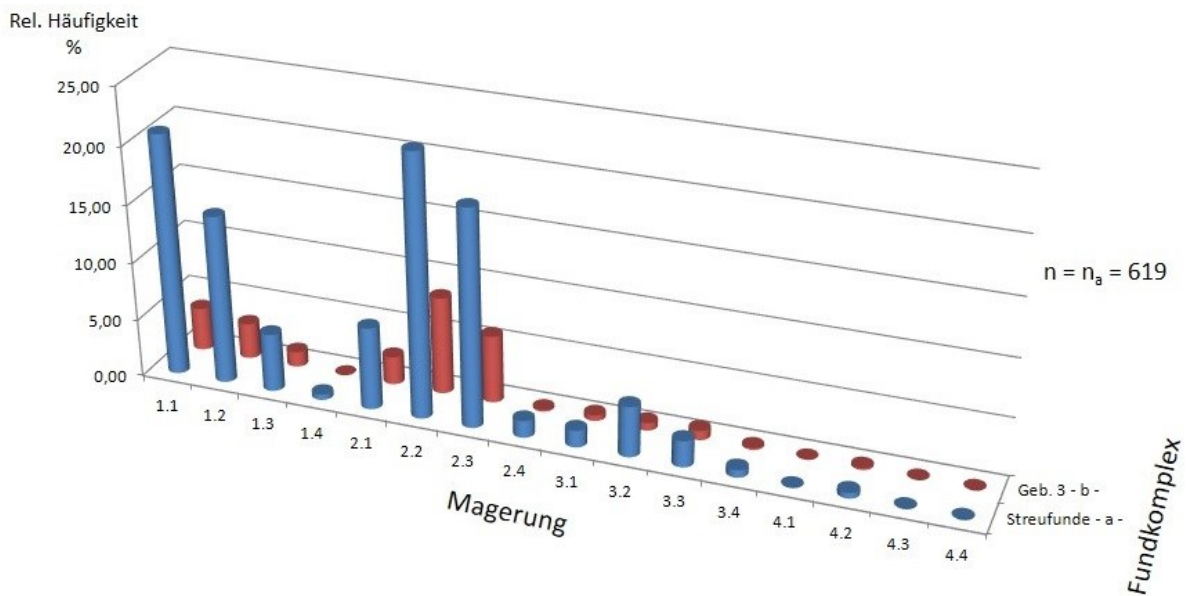


Abbildung 5.181: Keramik: $h_{\text{Gefäße}^*} = f(\text{Magerung}, (\text{Streufunde}, \text{Geb. 3}))$
 (Zahlenwerte zur Abb. siehe Tab. 5.231)

*: Streufunde: Randscherben, 8 TS-Wand- und 3 TS-Bodenscherben
 Geb. 3: Randscherben, 4 TS-Wandscherben

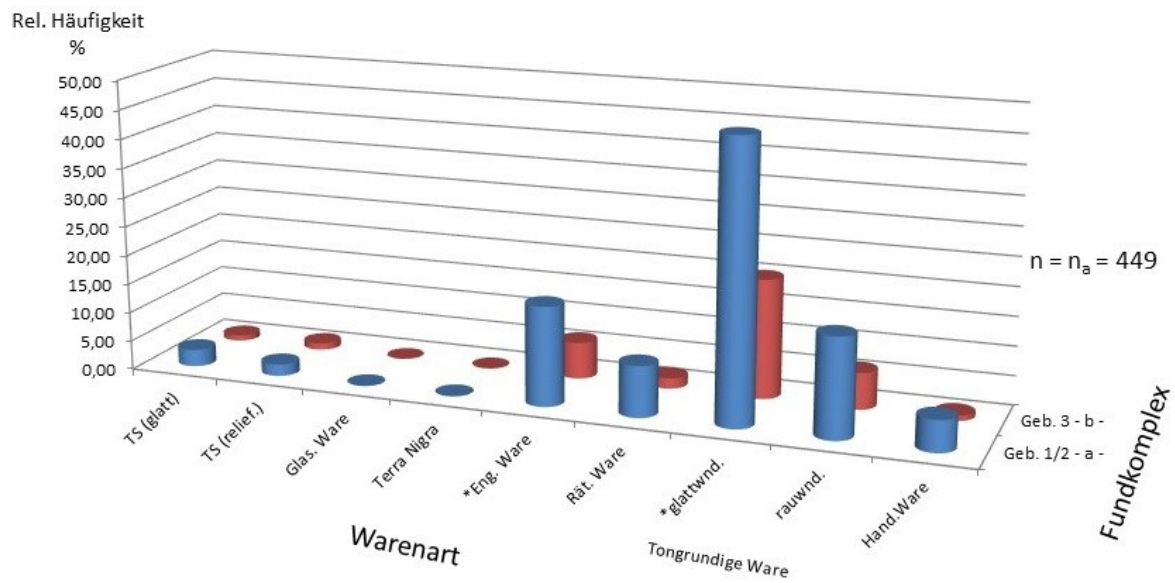


Abbildung 5.182: Keramik: $h_{\text{Gefäße}^*} = f(\text{Wareart}, (\text{Geb. 1/2}, \text{Geb. 3}))$

(Zahlenwerte zur Abb. siehe Tab. 5.232)

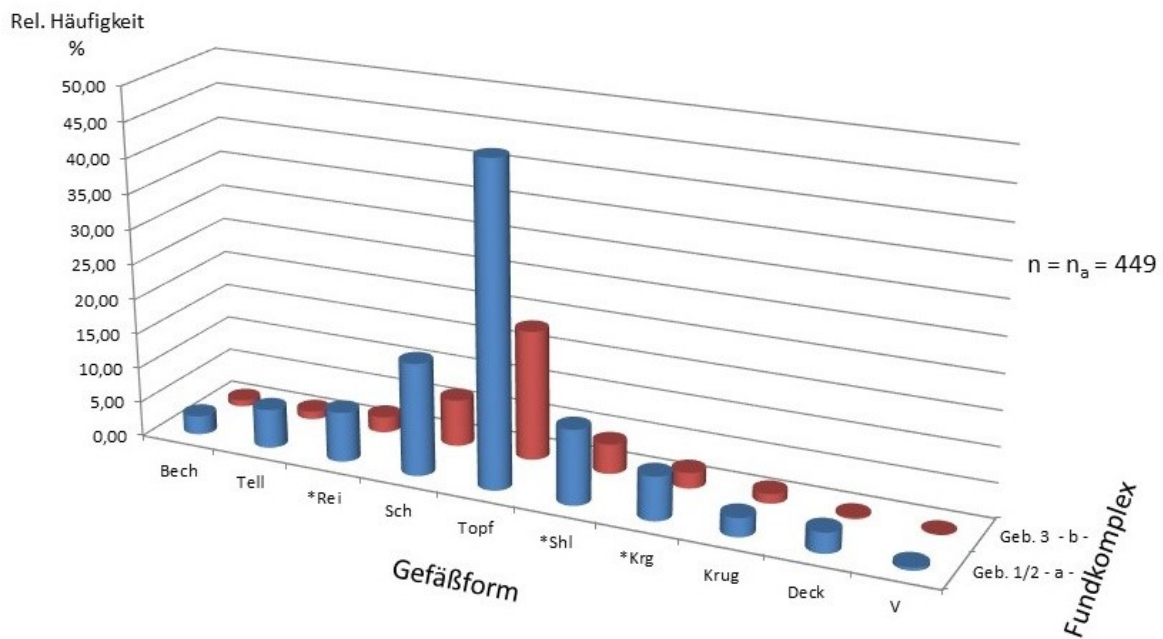


Abbildung 5.183: Keramik: $h_{\text{Gefäße}^*} = f(\text{Gefäßform}, (\text{Geb. 1/2}, \text{Geb. 3}))$

(Zahlenwerte zur Abb. siehe Tab. 5.233)

*: Streufunde: Randscherben, 8 TS-Wand- und 3 TS-Bodenscherben
 Geb. 3: Randscherben, 4 TS-Wandscherben

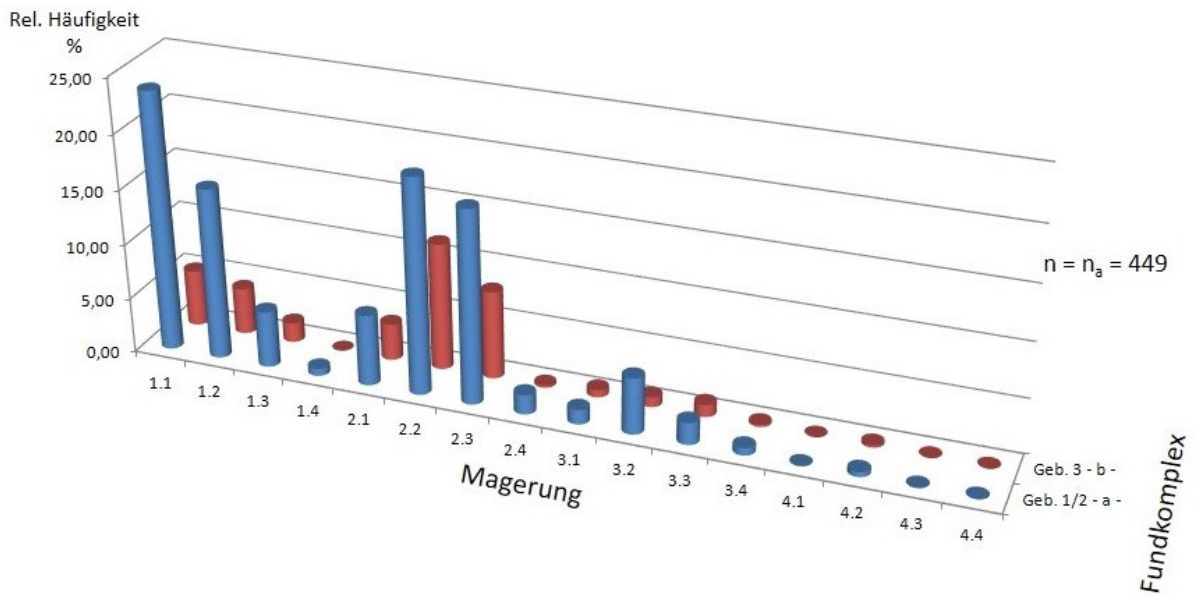


Abbildung 5.184: Keramik: $h_{\text{Gefäße}^*} = f(\text{Magerung}, (\text{Geb. 1/2}, \text{Geb. 3}))$

(Zahlenwerte zur Abb. siehe Tab. 5.234)

*: Streufunde: Randscherben, 8 TS-Wand- und 3 TS-Bodenscherben
Geb. 3: Randscherben, 4 TS-Wandscherben

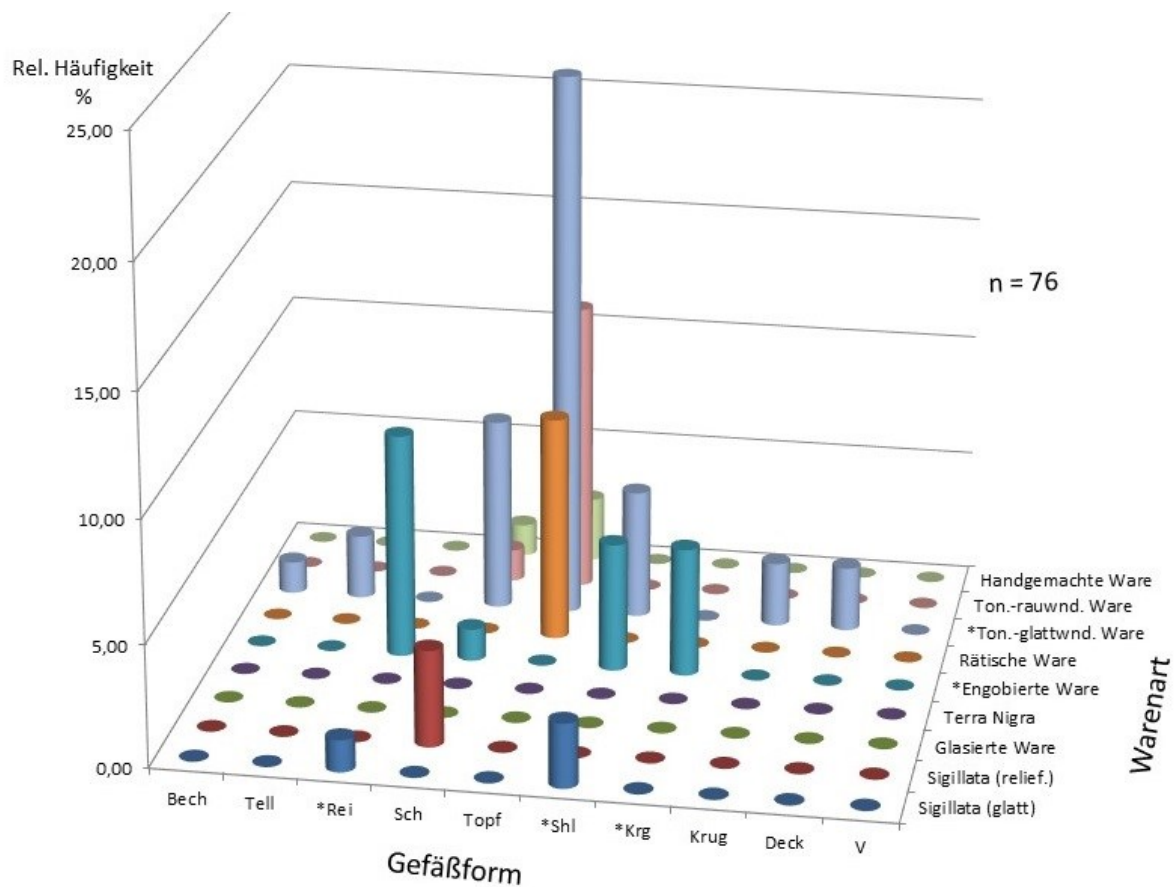


Abbildung 5.185: Keramik: $h_{\text{Gefäße}} = f(\text{Gefäßform}, \text{Warenart})$ über alle Funde in Befunden

(Zahlenwerte zur Abb. siehe Tab. 5.256)

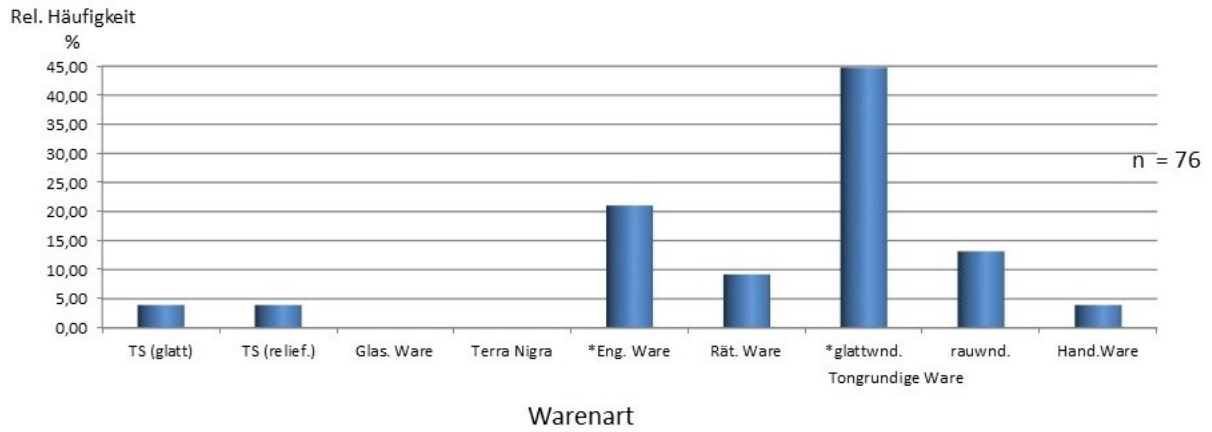


Abbildung 5.186: Keramik: $h_{\text{Gefäße}} = f(\text{Warenart})$ über alle Funde in Befunden
(Zahlenwerte zur Abb. siehe Tab. 5.257)

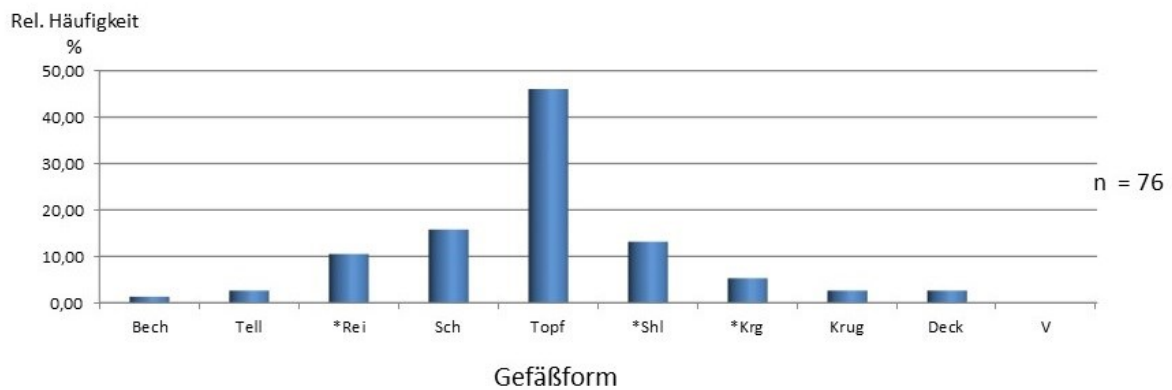


Abbildung 5.187: Keramik: $h_{\text{Gefäße}} = f(\text{Gefäßform})$ über alle Funde in Befunden
(Zahlenwerte zur Abb. siehe Tab. 5.258)

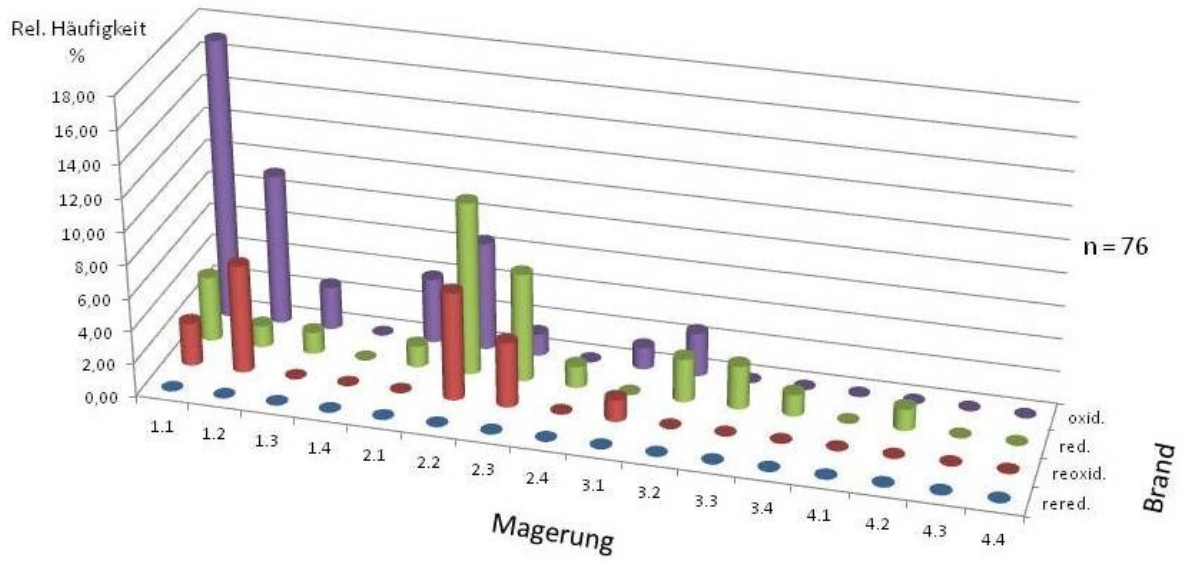


Abbildung 5.188: Keramik: $h_{\text{Gefäße}} = f(\text{Magerung}, \text{Brand})$ über alle Funde in Befunden
(Zahlenwerte zur Abb. siehe Tab. 5.259)

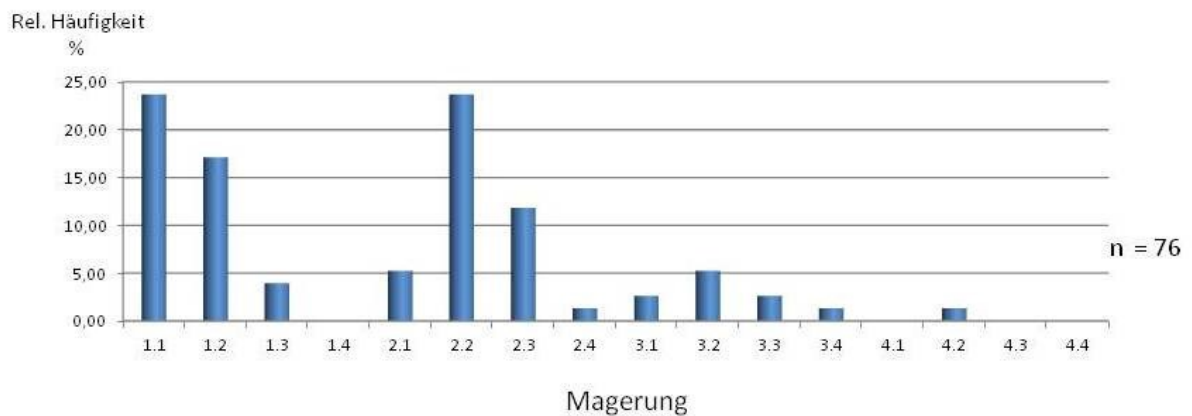


Abbildung 5.189: Keramik: $h_{\text{Gefäße}} = f(\text{Magerung})$ über alle Funde in Befunden
(Zahlenwerte zur Abb. siehe Tab. 5.260)

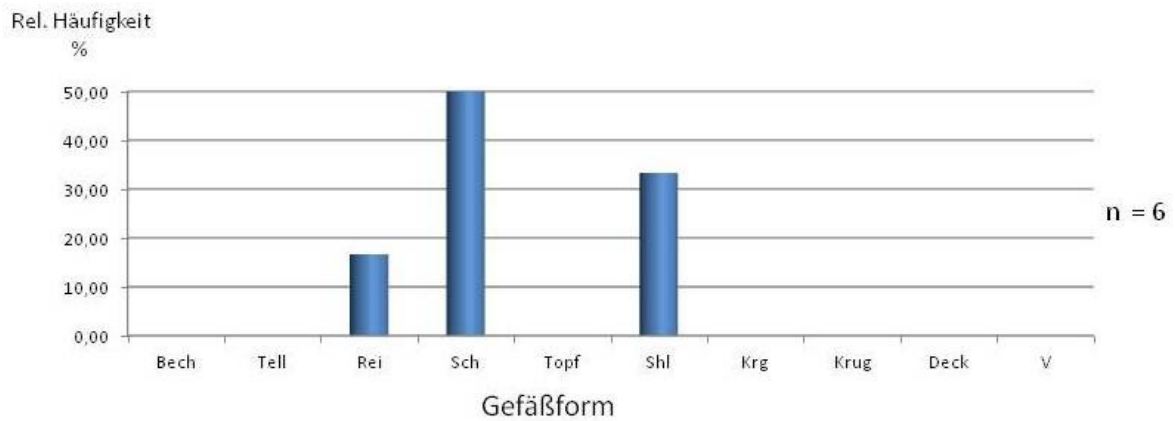


Abbildung 5.190: Sigillata: $h_{\text{GefäÙe}} = f(\text{GefäÙform})$ über alle Funde in Befunden
(Zahlenwerte zur Abb. siehe Tab. 5.261)

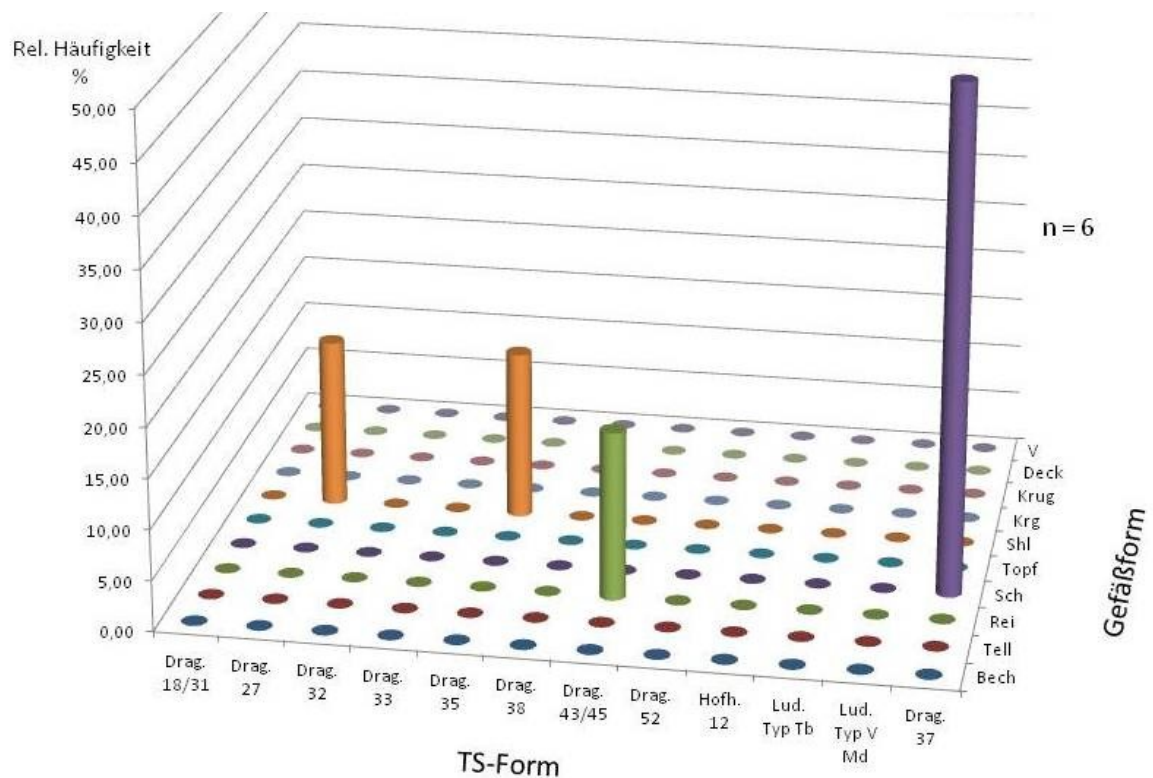


Abbildung 5.191: Sigillata: $h_{\text{GefäÙe}} = f(\text{TS-Form}, \text{GefäÙform})$ über alle Funde in Befunden
(Zahlenwerte zur Abb. siehe Tab. 5.262)

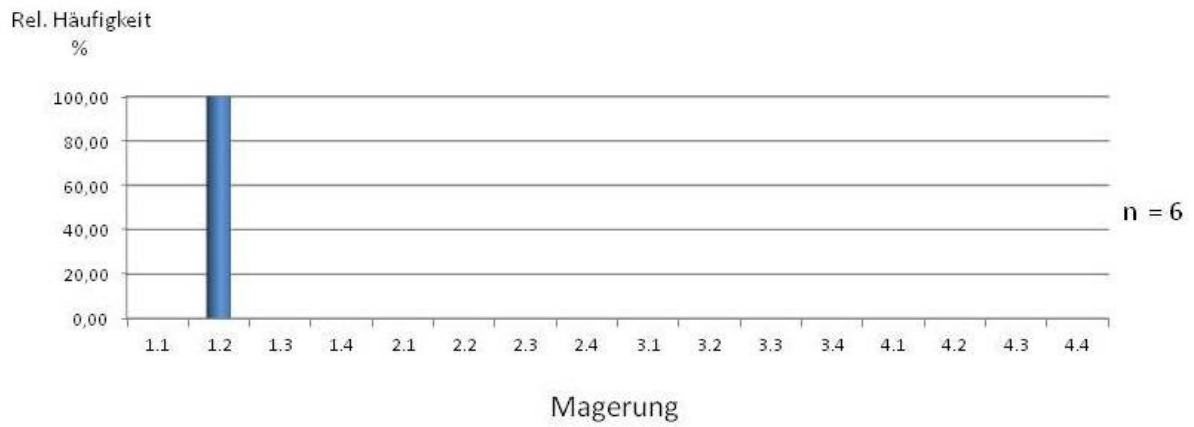


Abbildung 5.192: Sigillata: $h_{\text{GefäÙe}} = f(\text{Magerung})$ über alle Funde in Befunden
(Zahlenwerte zur Abb. siehe Tab. 5.263)

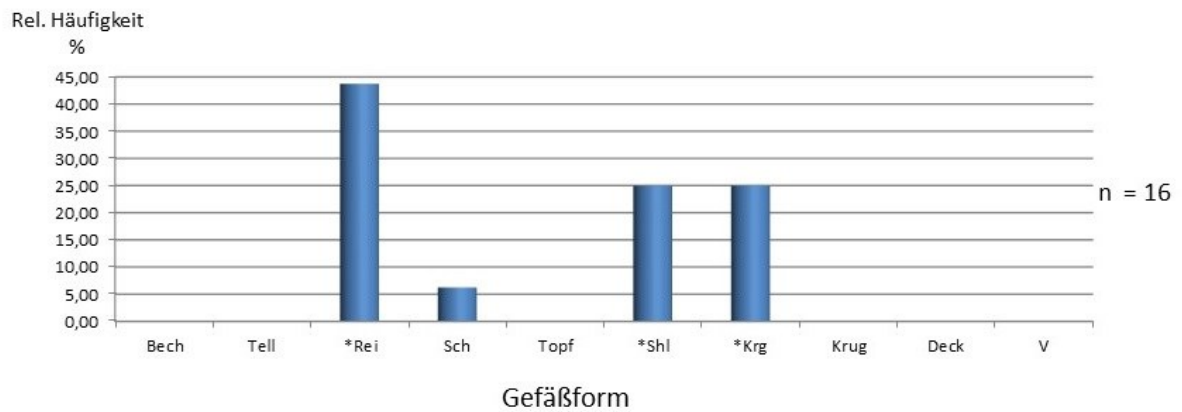


Abbildung 5.193: *Engobiate Ware: $h_{\text{GefäÙe}} = f(\text{GefäÙform})$ über alle Funde in Befunden
(Zahlenwerte zur Abb. siehe Tab. 5.245)

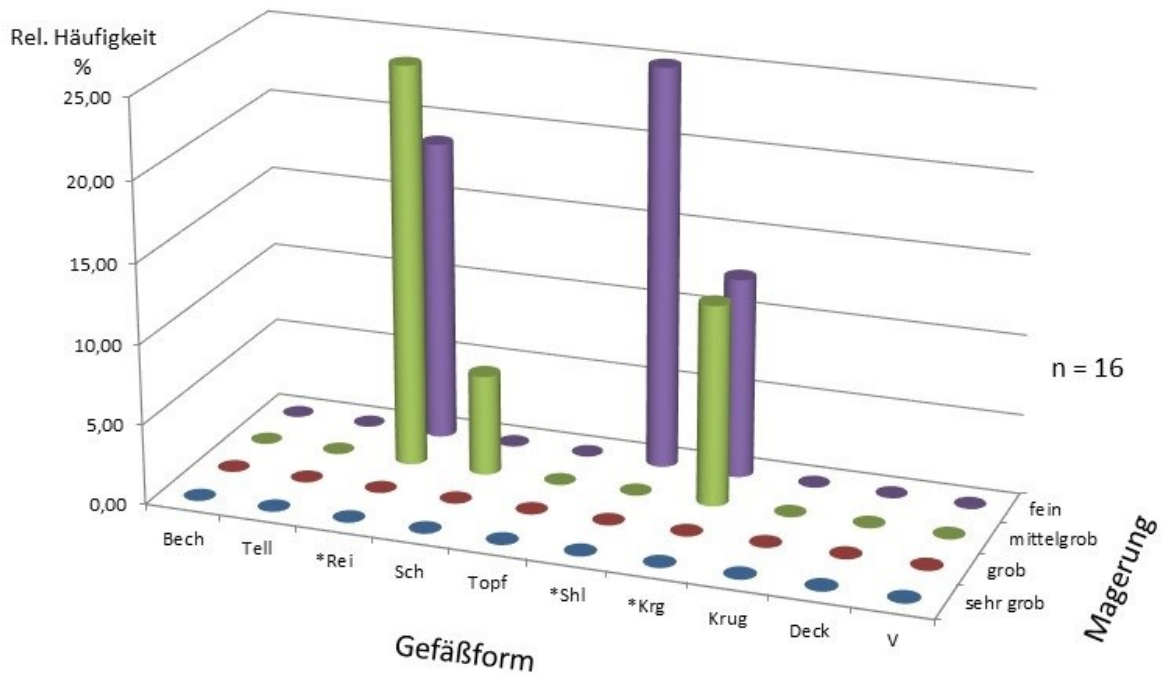


Abbildung 5.194: *Engobierte Ware: $h_{\text{GefäÙe}} = f(\text{GefäÙform, Magerung})$ über alle Funde in Befunden
(Zahlenwerte zur Abb. siehe Tab. 5.246)

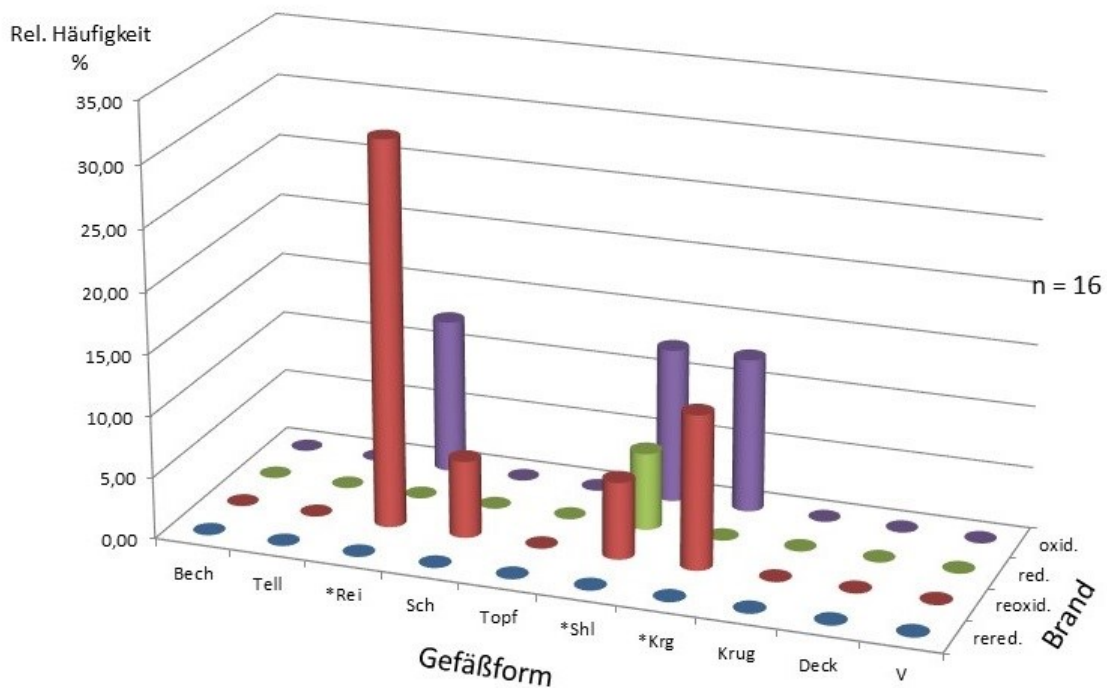


Abbildung 5.195: *Engobierte Ware: $h_{\text{GefäÙe}} = f(\text{GefäÙform, Brand})$ über alle Funde in Befunden
(Zahlenwerte zur Abb. siehe Tab. 5.247)

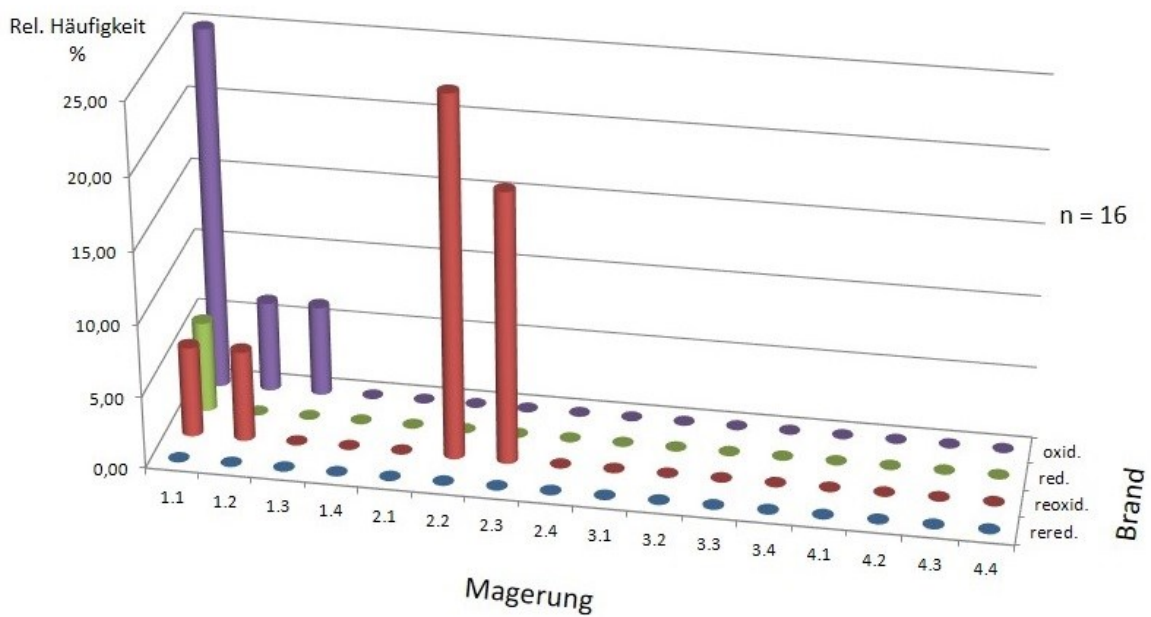


Abbildung 5.196: *Engobierte Ware: $h_{\text{Gefäße}} = f(\text{Magerung}, \text{Brand})$ über alle Funde in Befunden
(Zahlenwerte zur Abb. siehe Tab. 5.248)

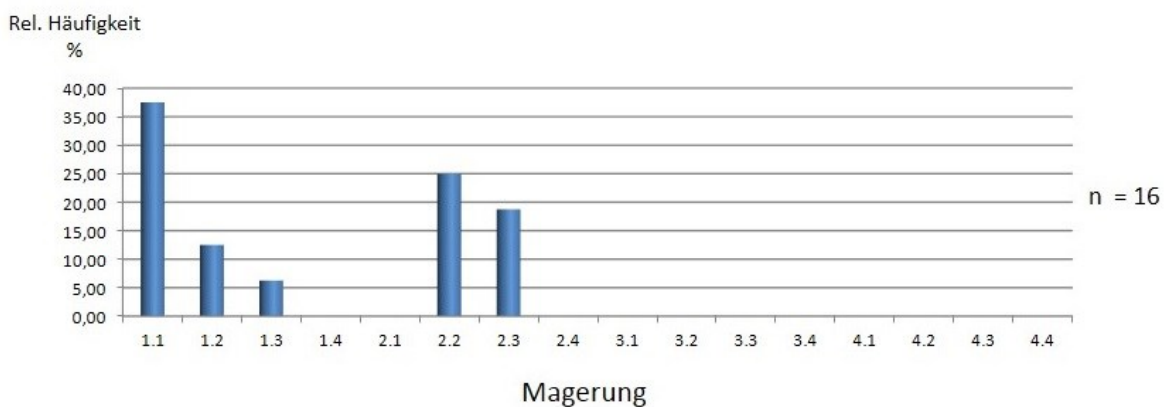


Abbildung 5.197: *Engobierte Ware: $h_{\text{Gefäße}} = f(\text{Magerung})$ über alle Funde in Befunden
(Zahlenwerte zur Abb. siehe Tab. 5.249)

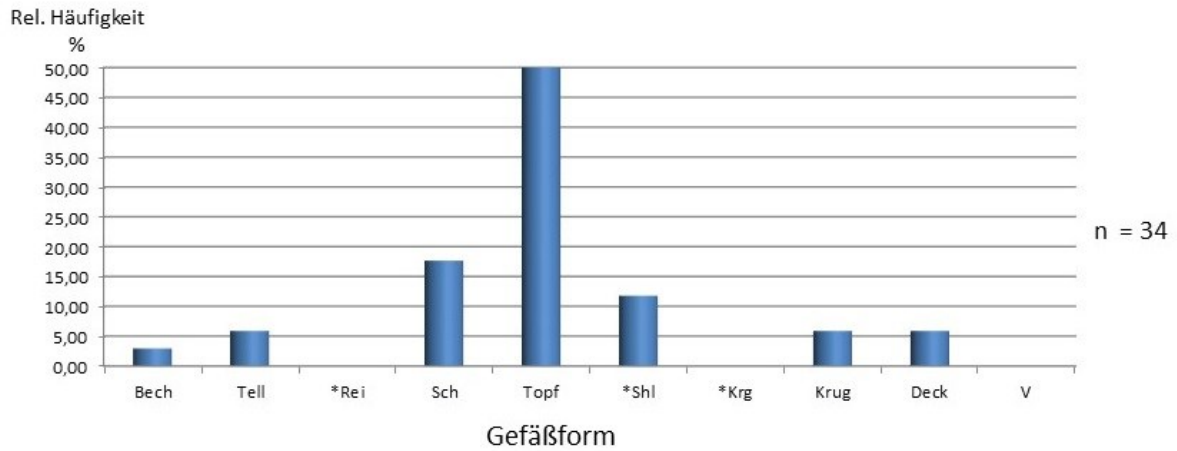


Abbildung 5.198: *Tongrundig-glattwandige Ware: $h_{\text{Gefäße}} = f(\text{Gefäßform})$ über alle Funde in Befunden
 (Zahlenwerte zur Abb. siehe Tab. 5.250)

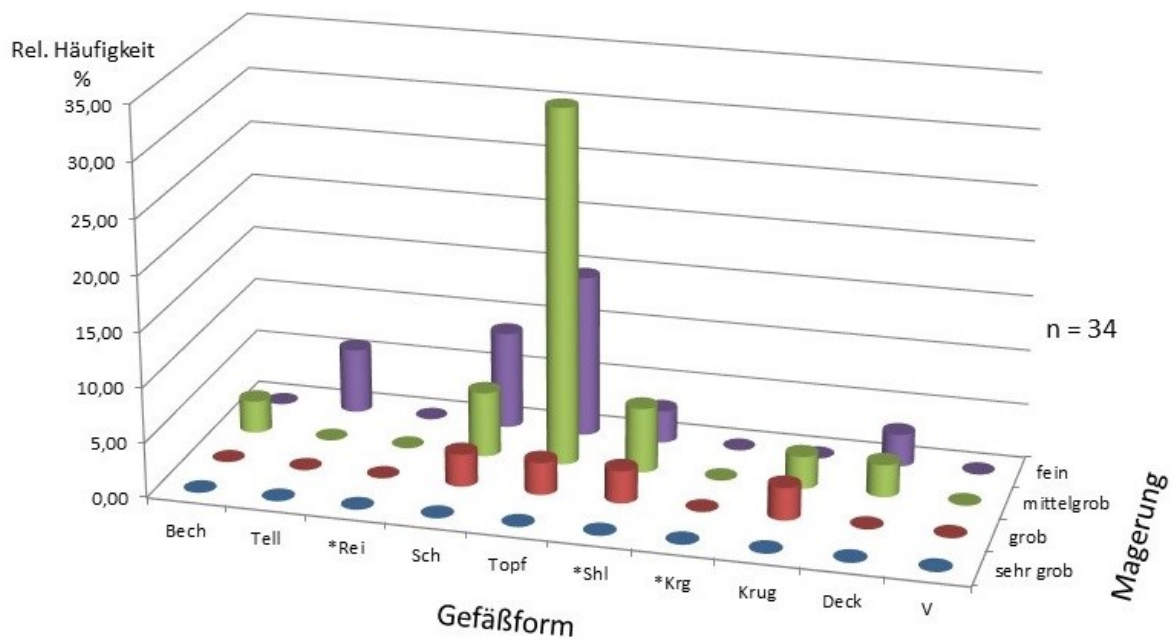


Abbildung 5.199: *Tongrundig-glattwandige Ware: $h_{\text{Gefäße}} = f(\text{Gefäßform}, \text{Magerung})$ über alle Funde in Befunden
 (Zahlenwerte zur Abb. siehe Tab. 5.251)

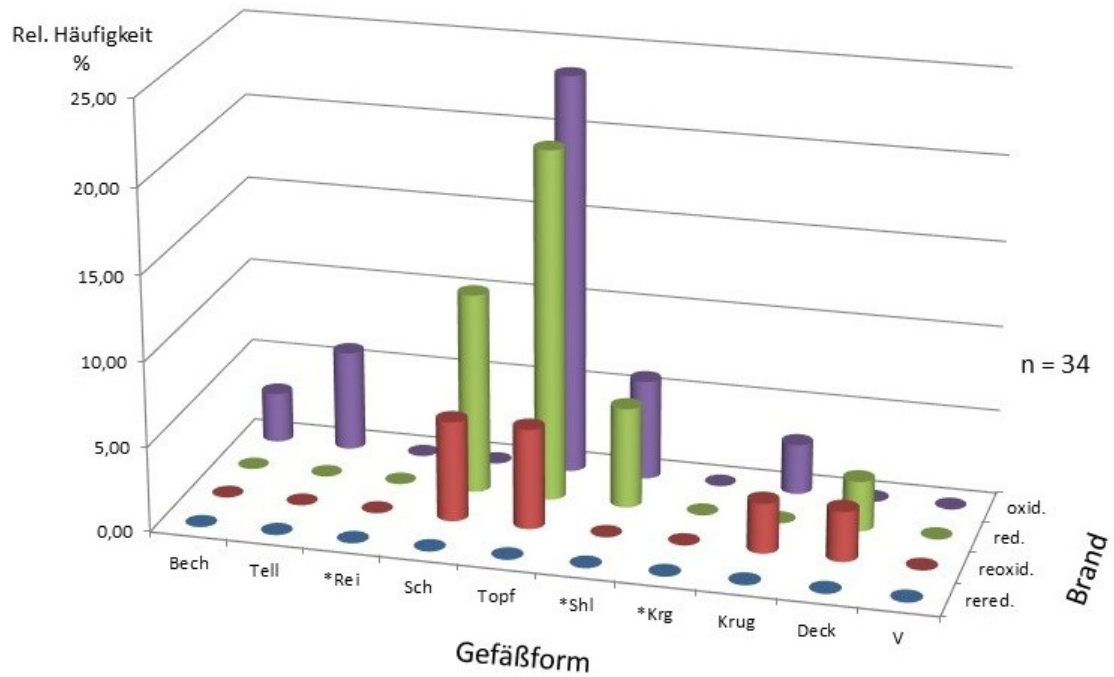


Abbildung 5.200: *Tongrundig-glattwandige Ware: $h_{\text{GefäÙe}} = f(\text{GefäÙform, Brand})$ über alle Funde in Befunden
(Zahlenwerte zur Abb. siehe Tab. 5.252)

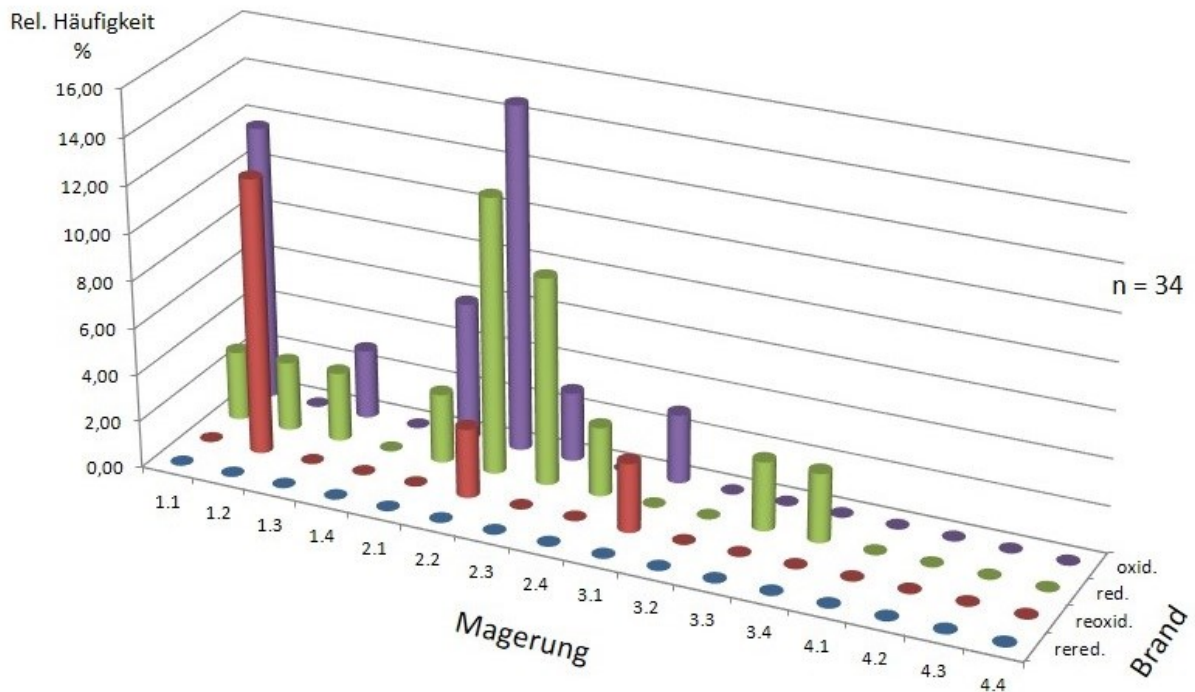


Abbildung 5.201: *Tongrundig-glattwandige Ware: $h_{\text{GefäÙe}} = f(\text{Magerung, Brand})$ über alle Funde in Befunden
(Zahlenwerte zur Abb. siehe Tab. 5.253)

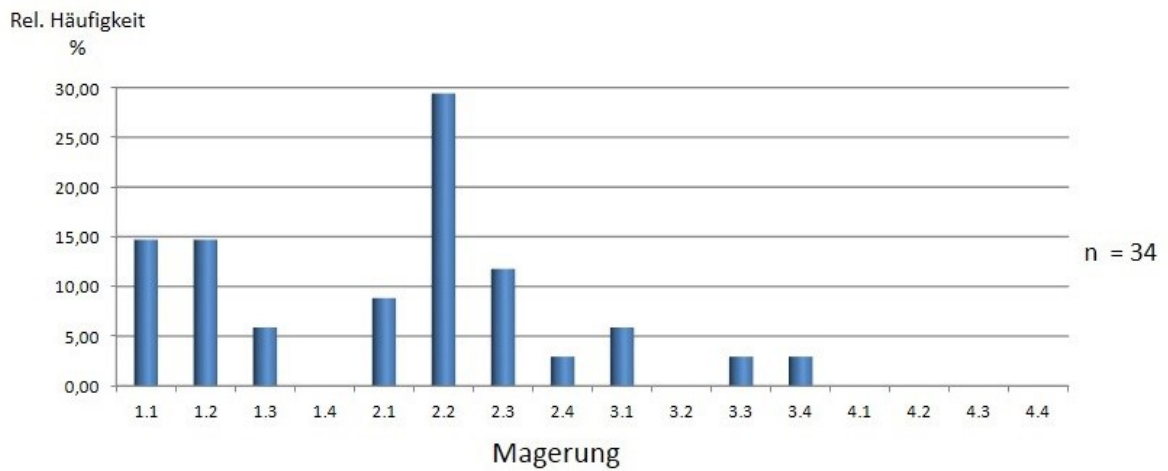


Abbildung 5.202: *Tongrundig-glattwandige Ware: $h_{\text{Gefäße}} = f(\text{Magerung})$ über alle Funde in Befunden
(Zahlenwerte zur Abb. siehe Tab. 5.254)

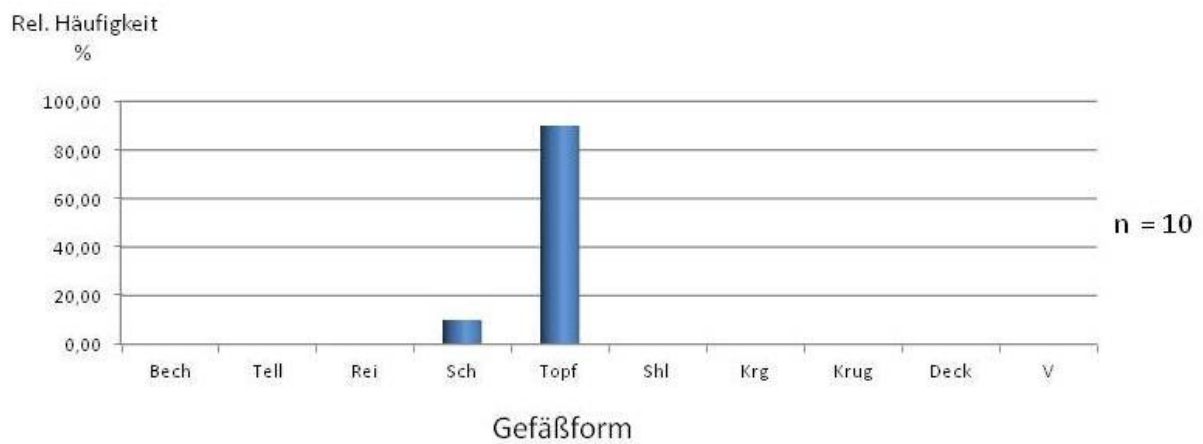


Abbildung 5.203: Tongrundig-rauwandige Ware: $h_{\text{Gefäße}} = f(\text{Gefäßform})$ über alle Funde in Befunden
(Zahlenwerte zur Abb. siehe Tab. 5.263)

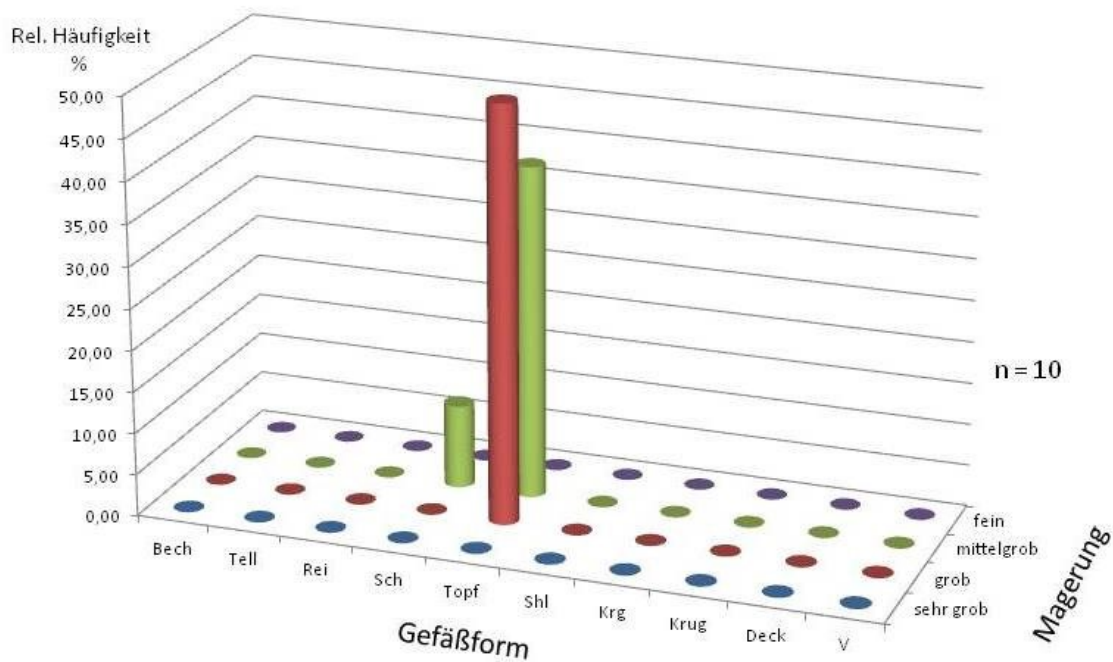


Abbildung 5.204: Tongrundig-rauwandige Ware: $h_{\text{GefäÙe}} = f(\text{GefäÙform, Magerung})$ über alle Funde in Befunden
(Zahlenwerte zur Abb. siehe Tab. 5.264)

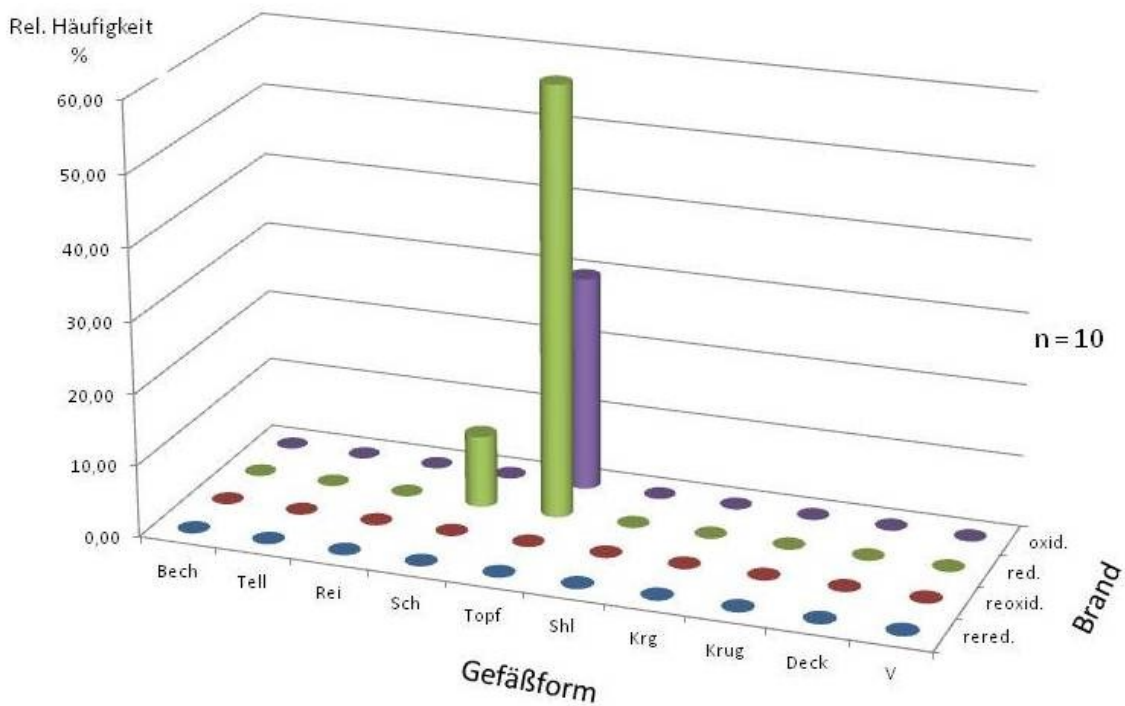


Abbildung 5.205: Tongrundig-rauwandige Ware: $h_{\text{GefäÙe}} = f(\text{GefäÙform, Brand})$ über alle Funde in Befunden
(Zahlenwerte zur Abb. siehe Tab. 5.265)

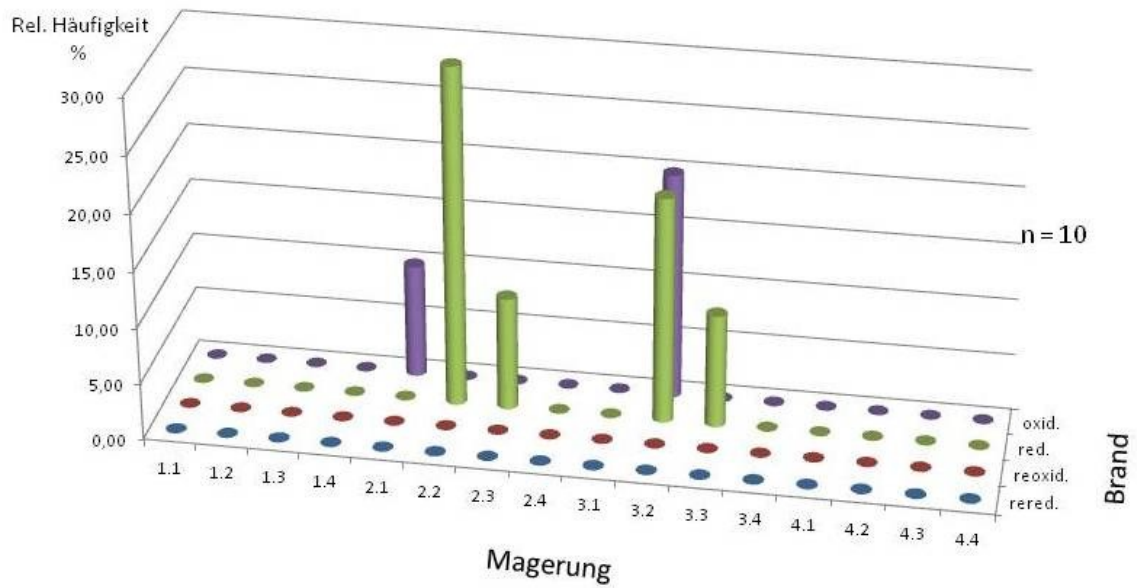


Abbildung 5.206: Tongrundig-rauwandige Ware: $h_{\text{Gefäße}} = f(\text{Magerung, Brand})$ über alle Funde in Befunden
(Zahlenwerte zur Abb. siehe Tab. 5.266)

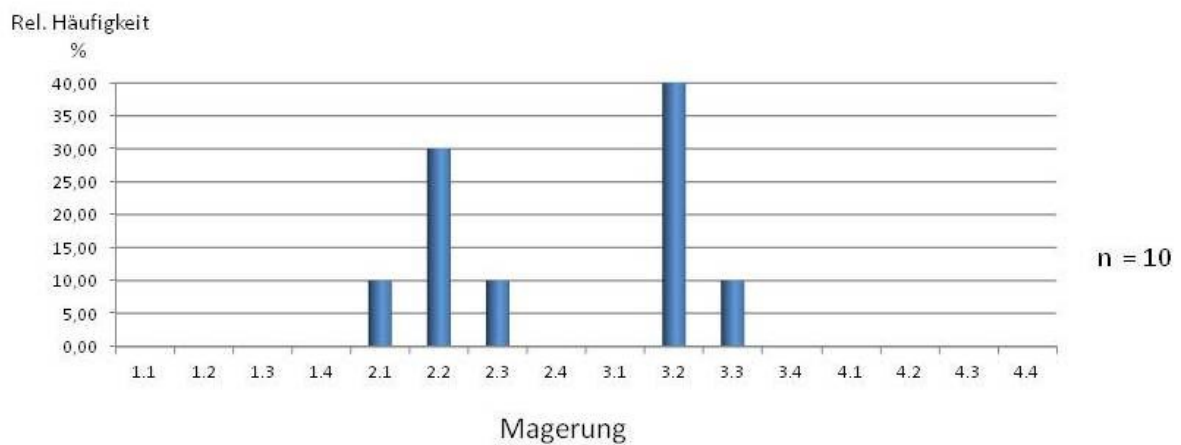


Abbildung 5.207: Tongrundig-rauwandige Ware: $h_{\text{Gefäße}} = f(\text{Magerung})$ über alle Funde in Befunden
(Zahlenwerte zur Abb. siehe Tab. 5.267)

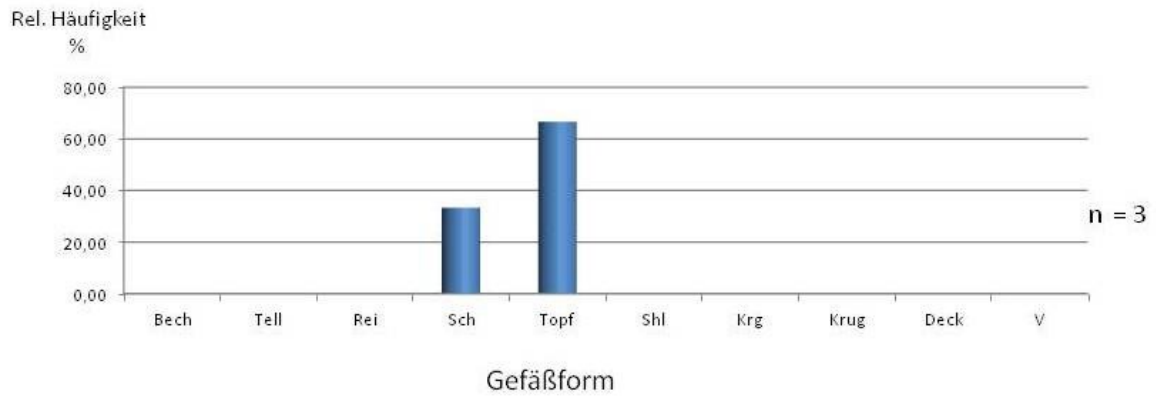


Abbildung 5.208: Handgemachte Ware: $h_{\text{Gefäße}} = f(\text{Gefäßform})$ über alle Funde in Befunden
(Zahlenwerte zur Abb. siehe Tab. 5.268)

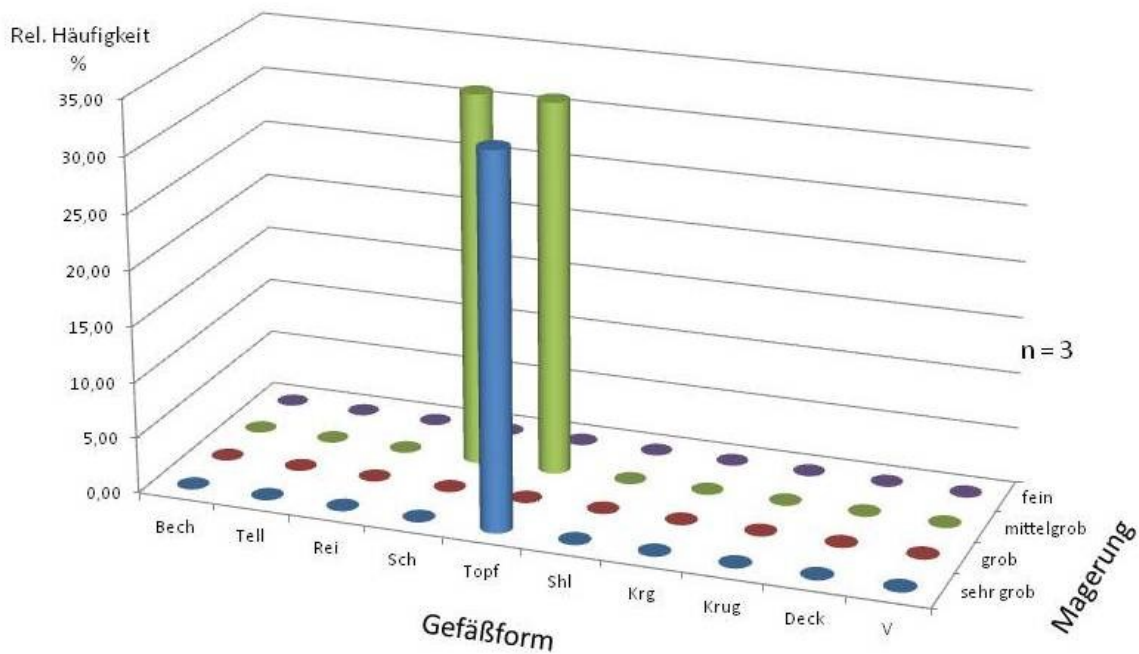


Abbildung 5.209: Handgemachte Ware: $h_{\text{Gefäße}} = f(\text{Gefäßform}, \text{Magerung})$ über alle Funde in Befunden
(Zahlenwerte zur Abb. siehe Tab. 5.269)

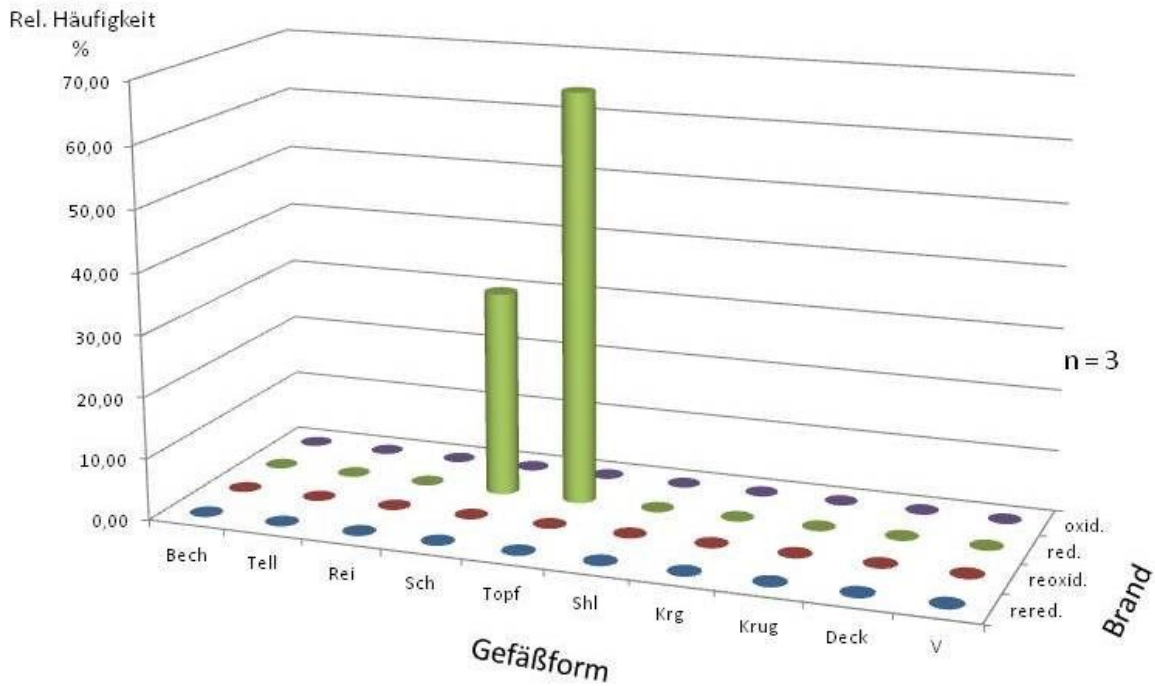


Abbildung 5.210: Handgemachte Ware: $h_{\text{GefäÙe}} = f(\text{GefäÙform, Brand})$ über alle Funde in Befunden
(Zahlenwerte zur Abb. siehe Tab. 5.270)

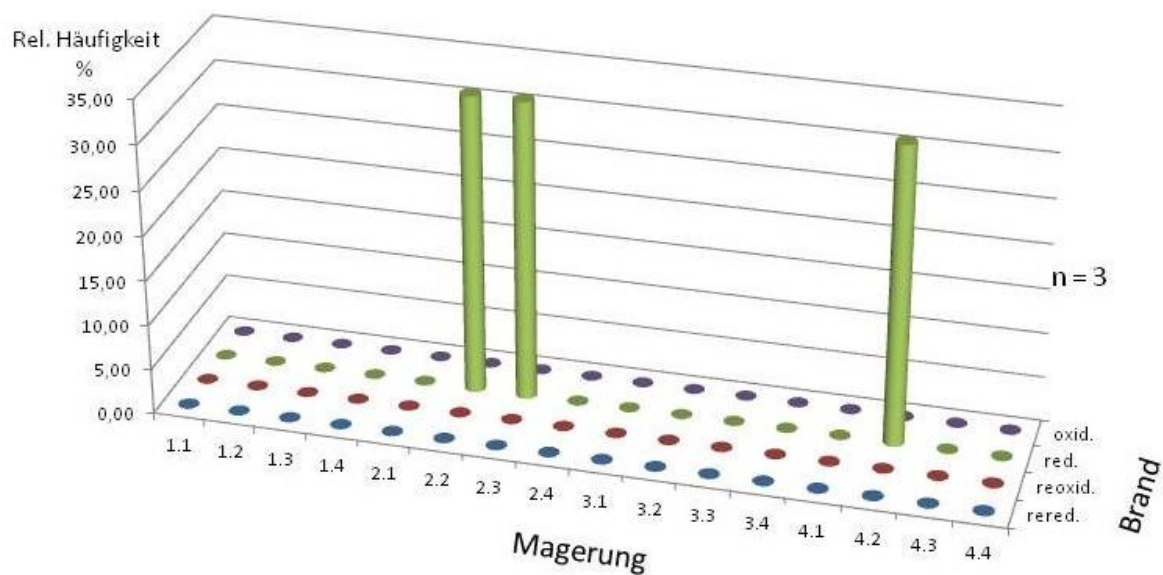


Abbildung 5.211: Handgemachte Ware: $h_{\text{GefäÙe}} = f(\text{Magerung, Brand})$ über alle Funde in Befunden
(Zahlenwerte zur Abb. siehe Tab. 5.271)

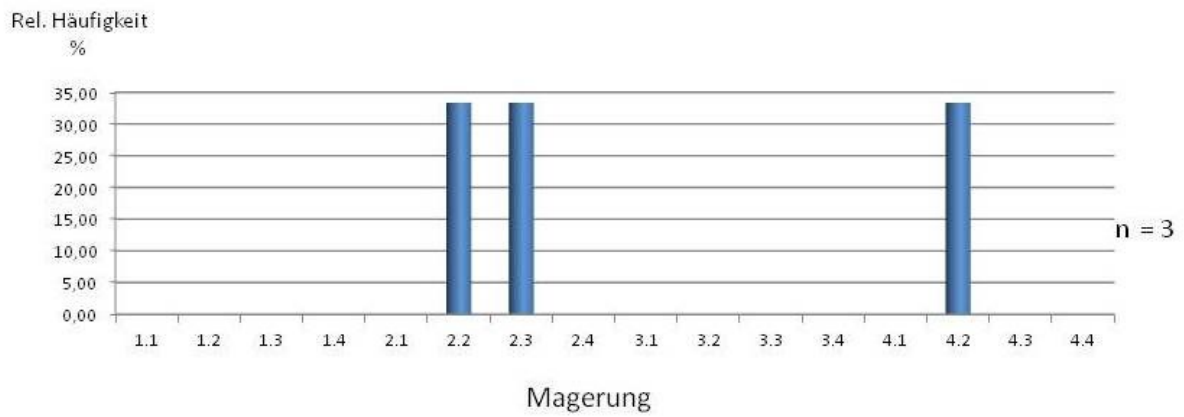


Abbildung 5.212: Handgemachte Ware: $h_{\text{Gefäße}} = f(\text{Magerung})$ über alle Funde in Befunden
(Zahlenwerte zur Abb. siehe Tab. 5.272)

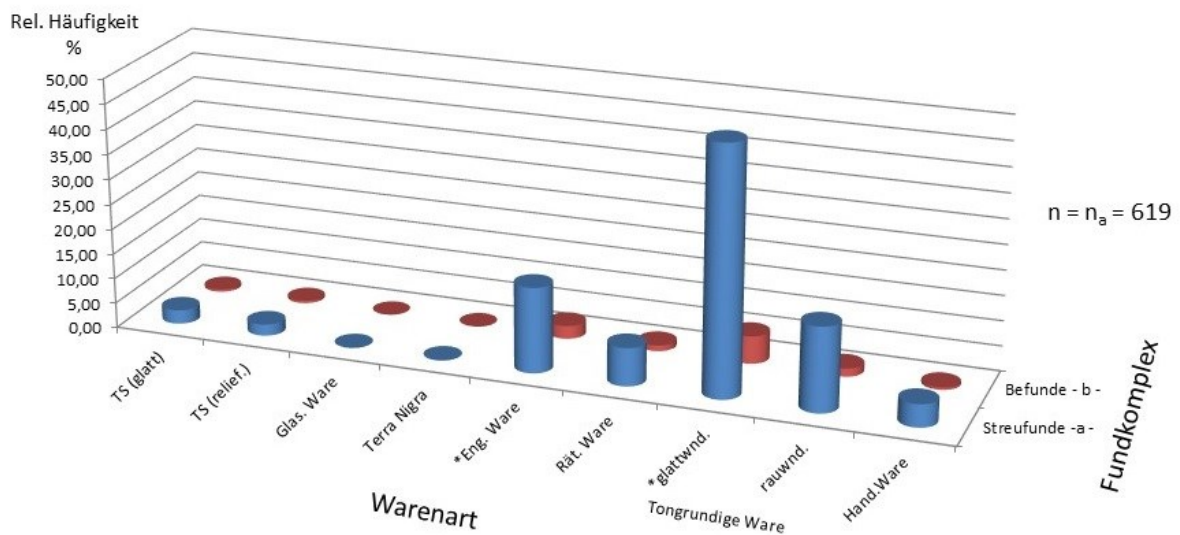


Abbildung 5.213: Keramik: $h_{\text{Gefäße}^*} = f(\text{Warenart}, (\text{Streufunde}, \text{Befunde}))$
(Zahlenwerte zur Abb. siehe Tab. 5.273)

*: Streufunde: Randscherben, 8 TS-Wand- und 3 TS-Bodenscherben
Befunde: Randscherben

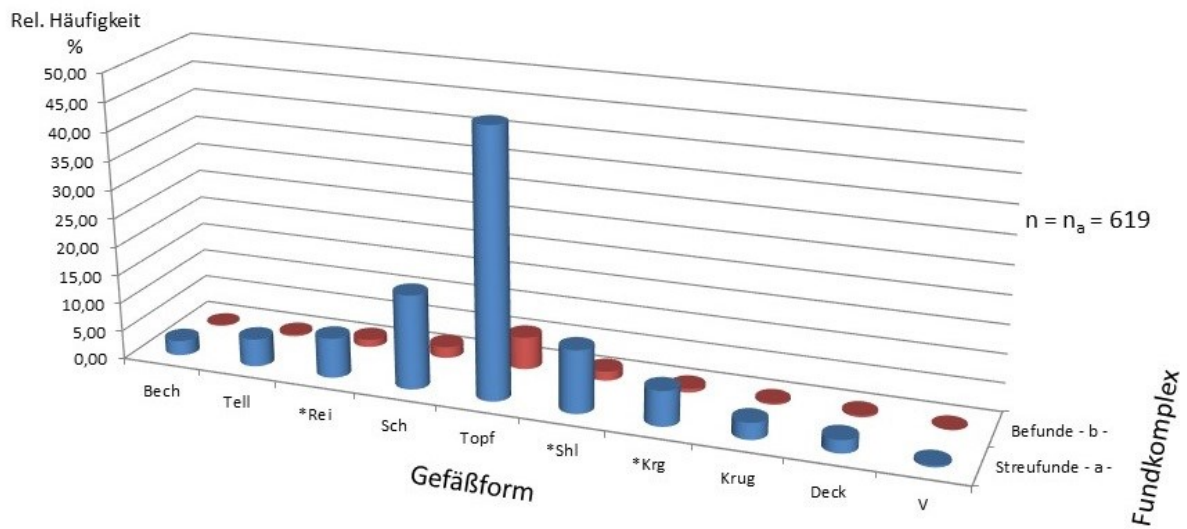


Abbildung 5.214: Keramik: $h_{\text{GefäÙe}^*} = f(\text{GefäÙform}, (\text{Streufunde}, \text{Befunde}))$
 (Zahlenwerte zur Abb. siehe Tab. 5.274)

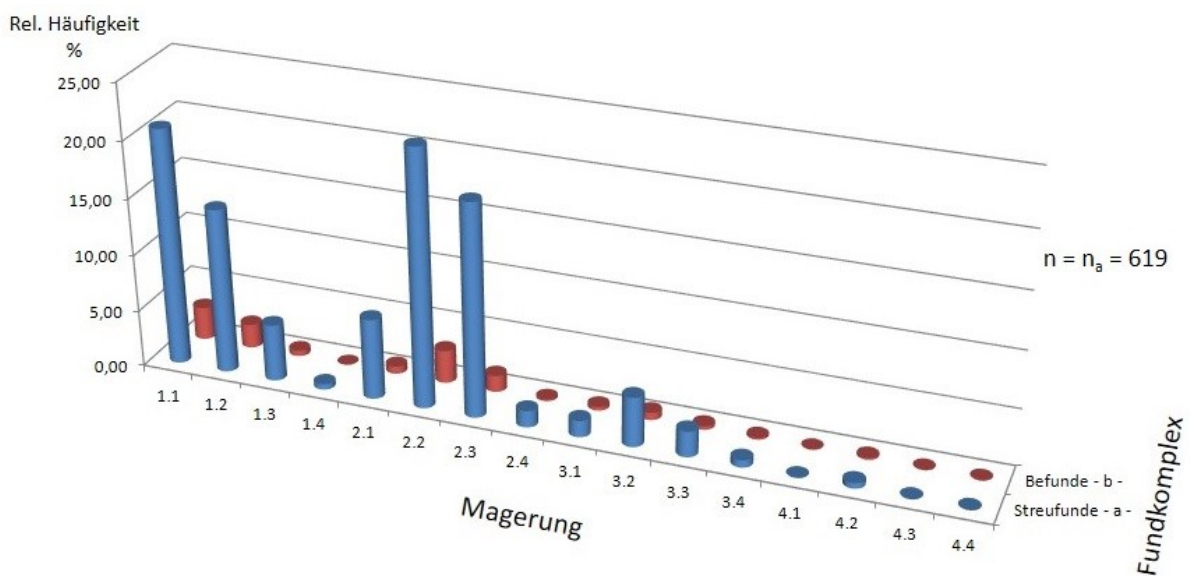


Abbildung 5.215: Keramik: $h_{\text{GefäÙe}^*} = f(\text{Magerung}, (\text{Streufunde}, \text{Befunde}))$
 (Zahlenwerte zur Abb. siehe Tab. 5.275)

*: Streufunde: Randscherben, 8 TS-Wand- und 3 TS-Bodenscherben
 Befunde: Randscherben

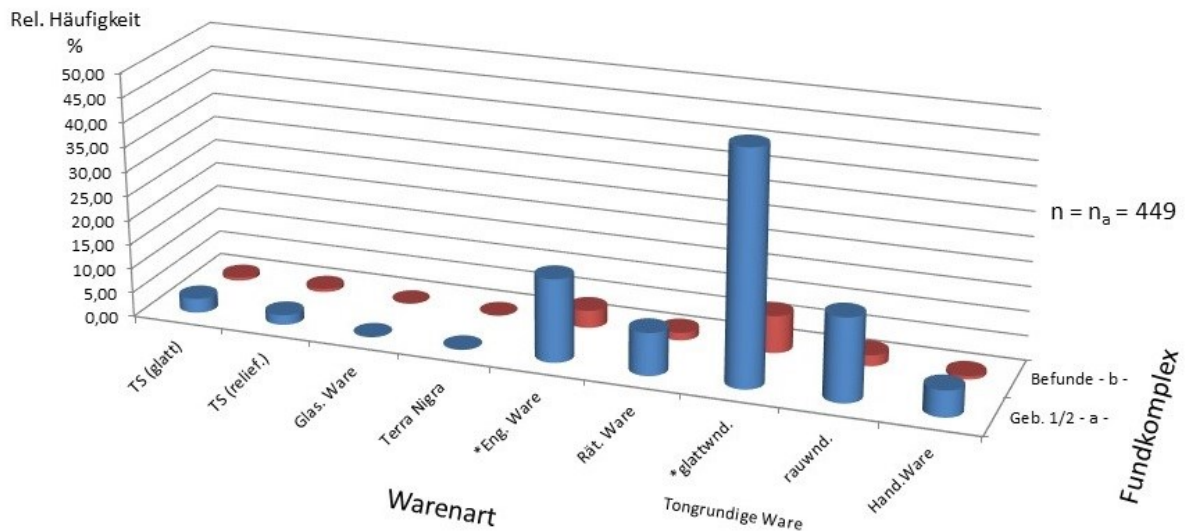


Abbildung 5.216: Keramik: $h_{\text{Gefäße}^*} = f(\text{Warenart}, (\text{Geb. 1/2}, \text{Befunde}))$
 (Zahlenwerte zur Abb. siehe Tab. 5.276)

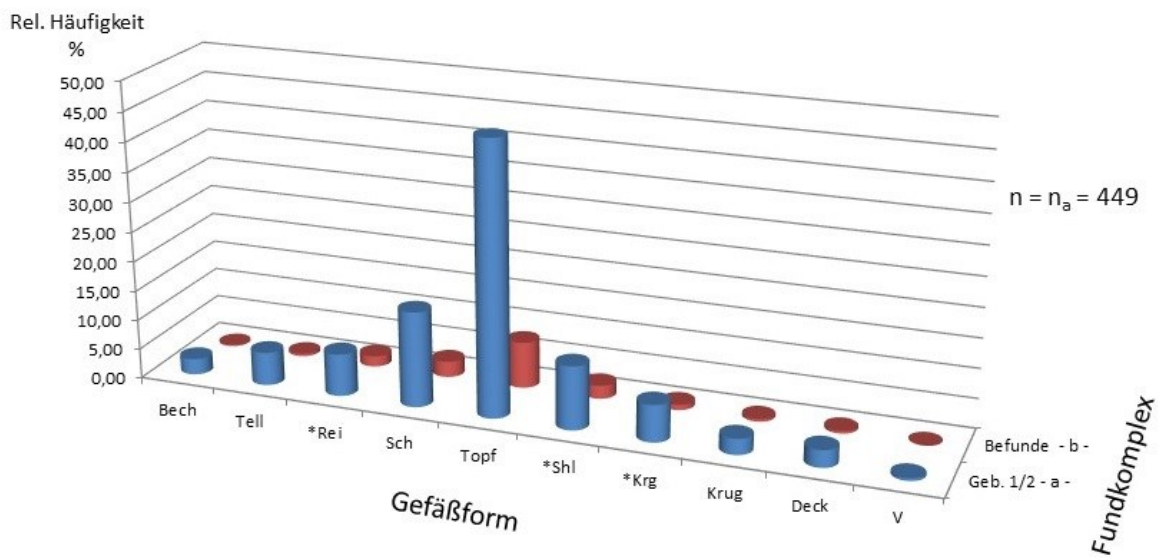


Abbildung 5.217: Keramik: $h_{\text{Gefäße}^*} = f(\text{Gefäßform}, (\text{Geb. 1/2}, \text{Befunde}))$
 (Zahlenwerte zur Abb. siehe Tab. 5.277)

*: Geb. 1/2: Randscherben, 4 TS-Wand- und 3 Bodenscherben
 Befunde: Randscherben

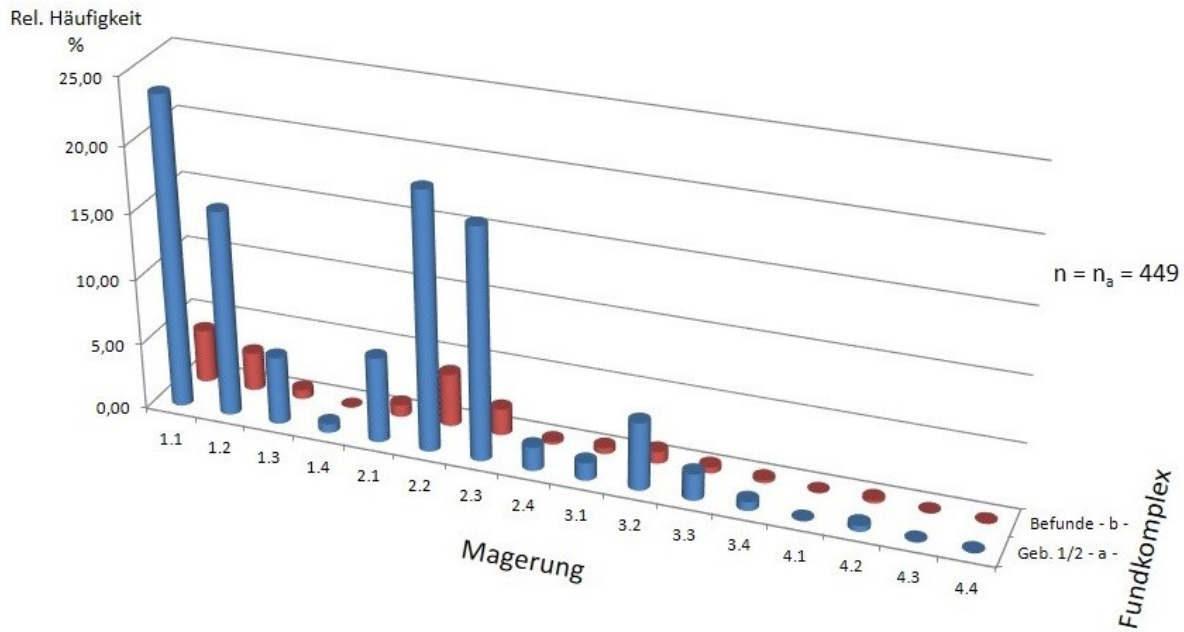


Abbildung 5.218: Keramik: $h_{\text{Gefäße}^*} = f(\text{Magerung}, (\text{Geb. 1/2}, \text{Befunde}))$
(Zahlenwerte zur Abb. siehe Tab. 5.278)

*: Geb. 1/2: Randscherben, 4 TS-Wand- und 3 Bodenscherben
Befunde: Randscherben

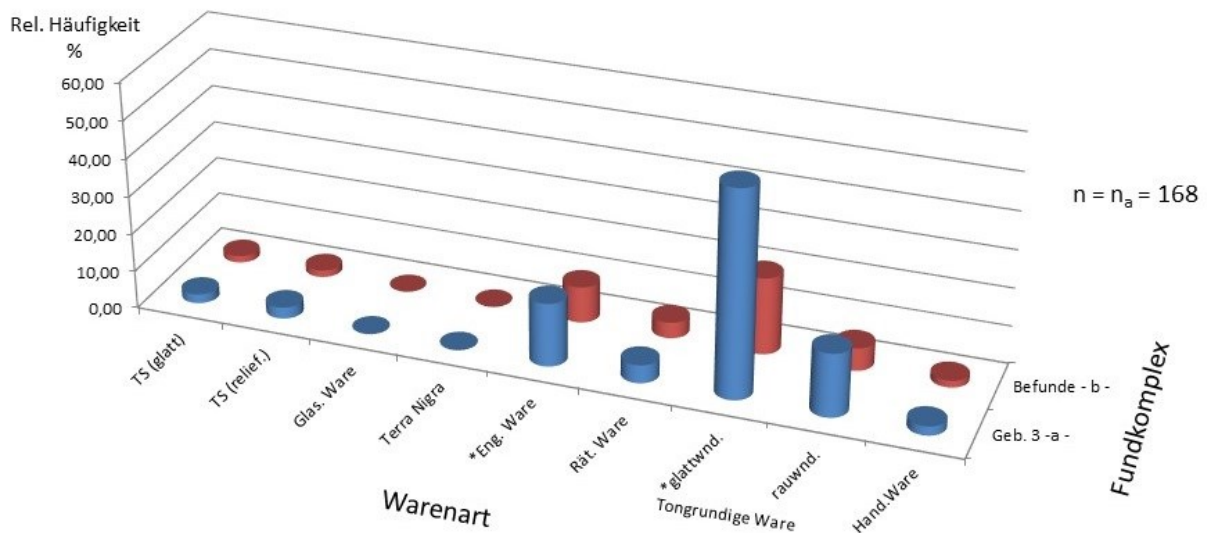


Abbildung 5.219: Keramik: $h_{\text{Gefäße}^*} = f(\text{Warenart}, (\text{Geb. 3}, \text{Befunde}))$
(Zahlenwerte zur Abb. siehe Tab. 5.279)

*: Geb. 3: Randscherben und 4 TS-Wandscherben
Befunde: Randscherben

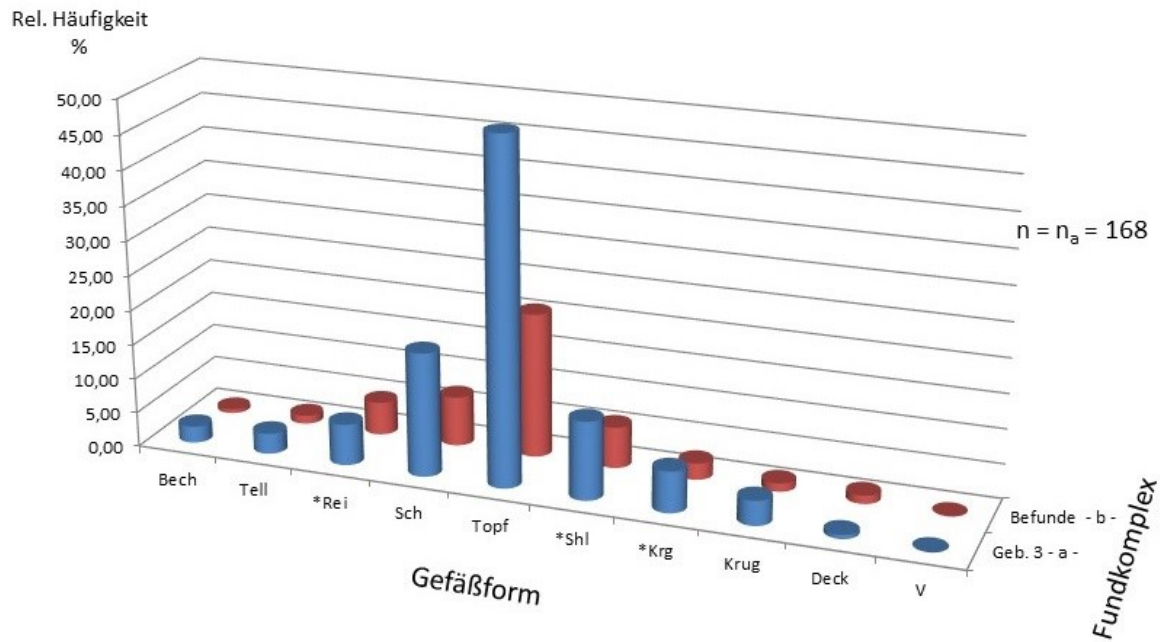


Abbildung 5.220: Keramik: $h_{\text{GefäÙe}^*} = f(\text{GefäÙform}, (\text{Geb. 3}, \text{Befunde}))$

(Zahlenwerte zur Abb. siehe Tab. 5.280)

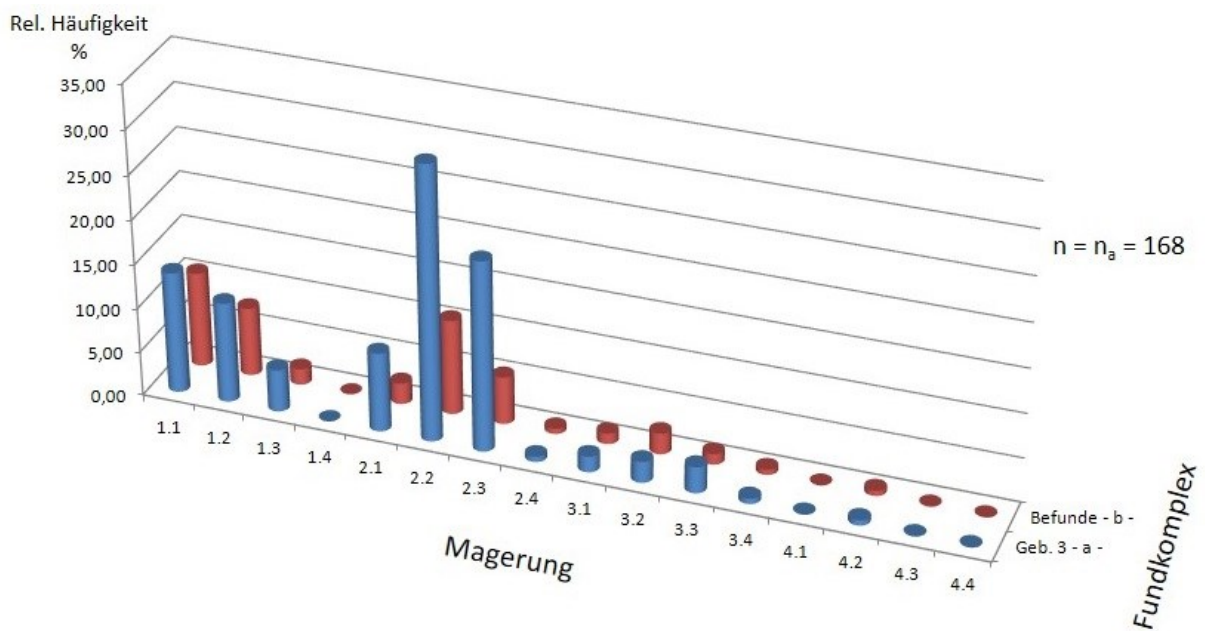


Abbildung 5.221: Keramik: $h_{\text{GefäÙe}^*} = f(\text{Magerung}, (\text{Geb. 3}, \text{Befunde}))$

(Zahlenwerte zur Abb. siehe Tab. 5.281)

*: Geb. 3: Randscherben und 4 TS-Wandscherben
Befunde: Randscherben

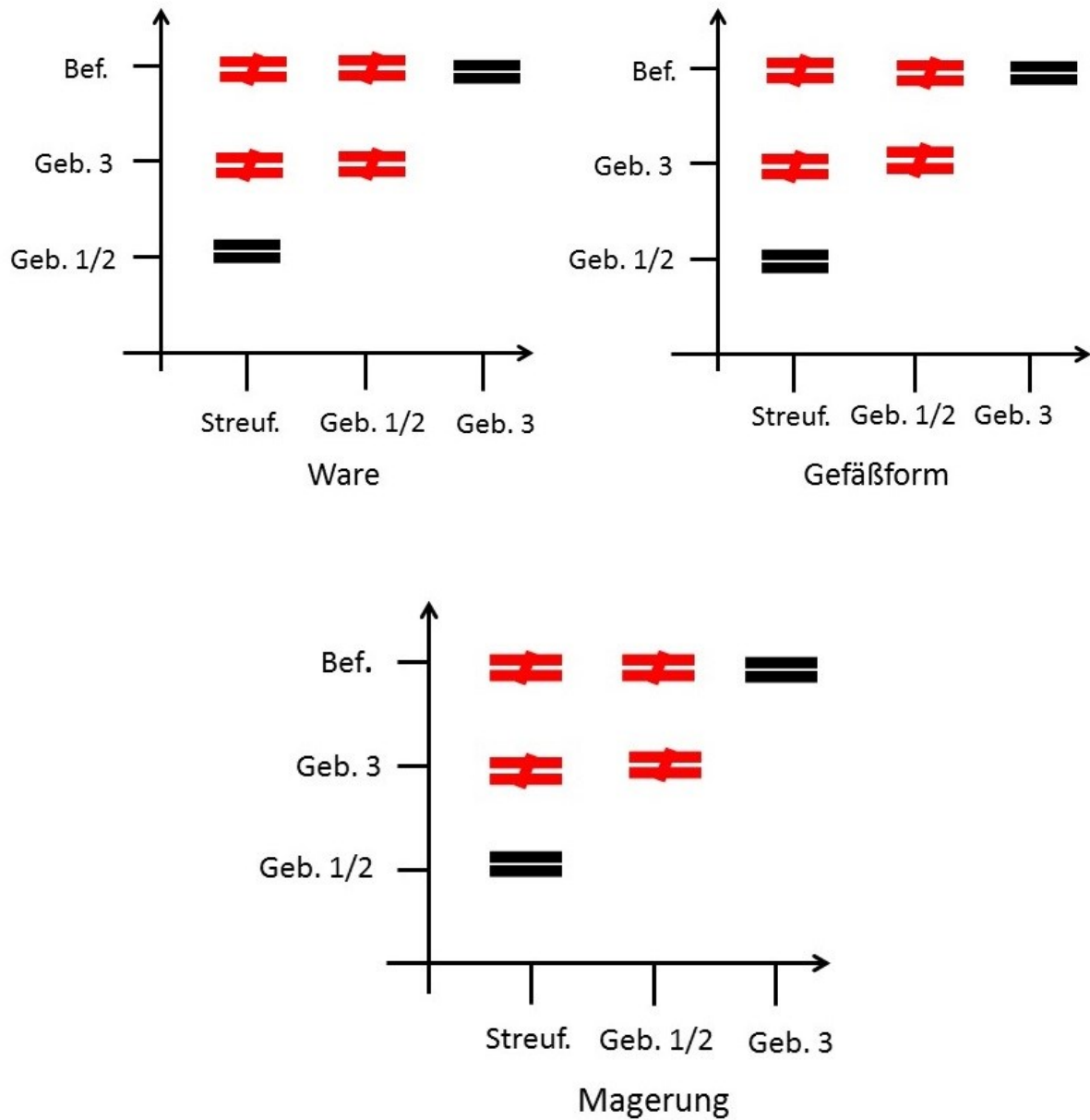


Abbildung 5.222: Keramik: Identitätsverhalten der Fundkomplexe

Legende: = : „identisch“
 ≠ : „nicht identisch“

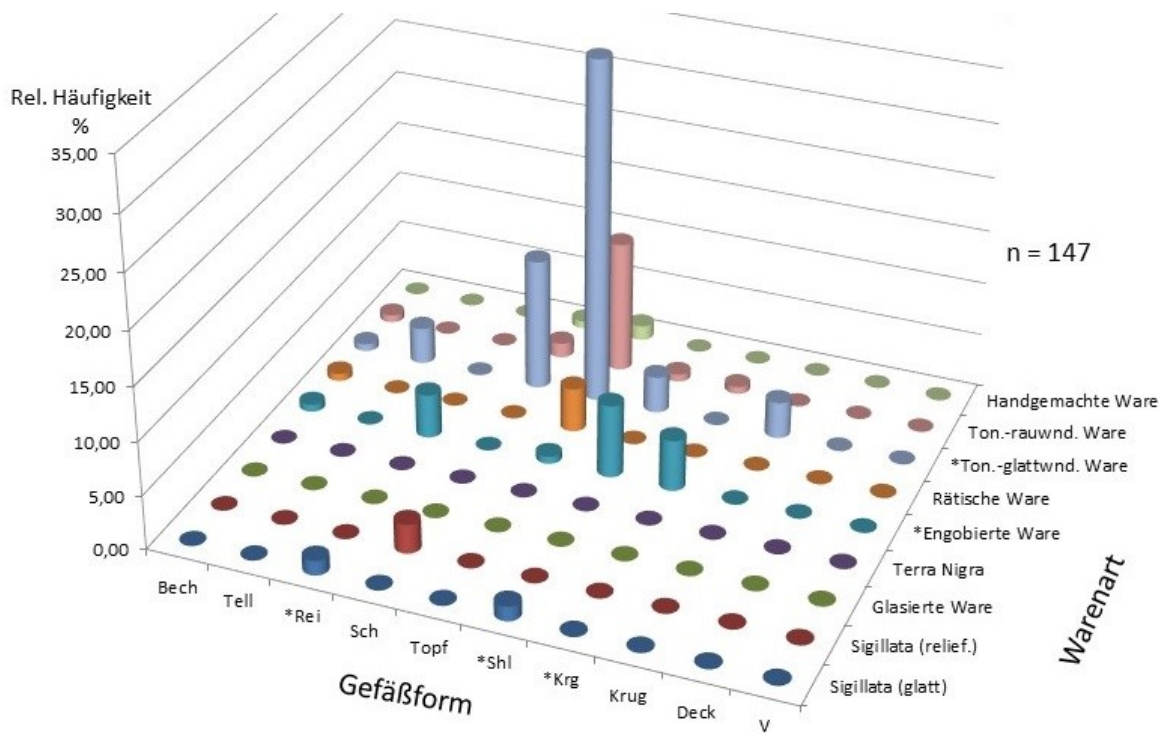


Abbildung 5.223: Keramik: $h_{\text{Gefäße}^*} = f(\text{Gefäßform}, \text{Warenart})$ für den Fundkomplex Abfall (Geb. 3)
(Zahlenwerte zur Abb. siehe Tab. 5.304)

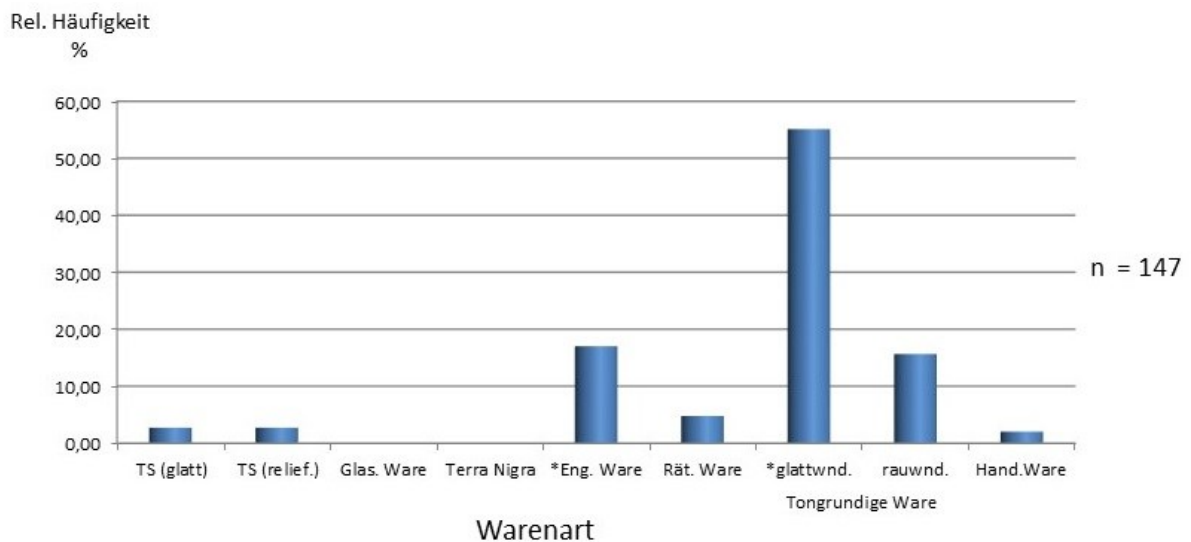


Abbildung 5.224: Keramik: $h_{\text{Gefäße}^*} = f(\text{Warenart})$ für den Fundkomplex Abfall (Geb. 3)
(Zahlenwerte zur Abb. siehe Tab. 5.305)

*: Abfall (Geb.3): Randscherben und 4 TS-Wandscherben

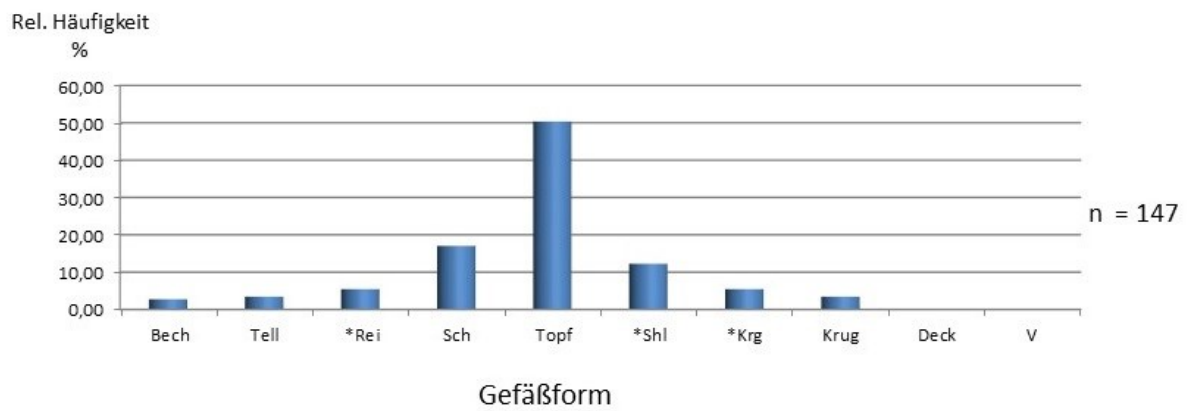


Abbildung 5.225: Keramik: $h_{\text{Gefäße}^*} = f(\text{Gefäßform})$ für den Fundkomplex Abfall (Geb. 3)
(Zahlenwerte zur Abb. siehe Tab. 5.306)

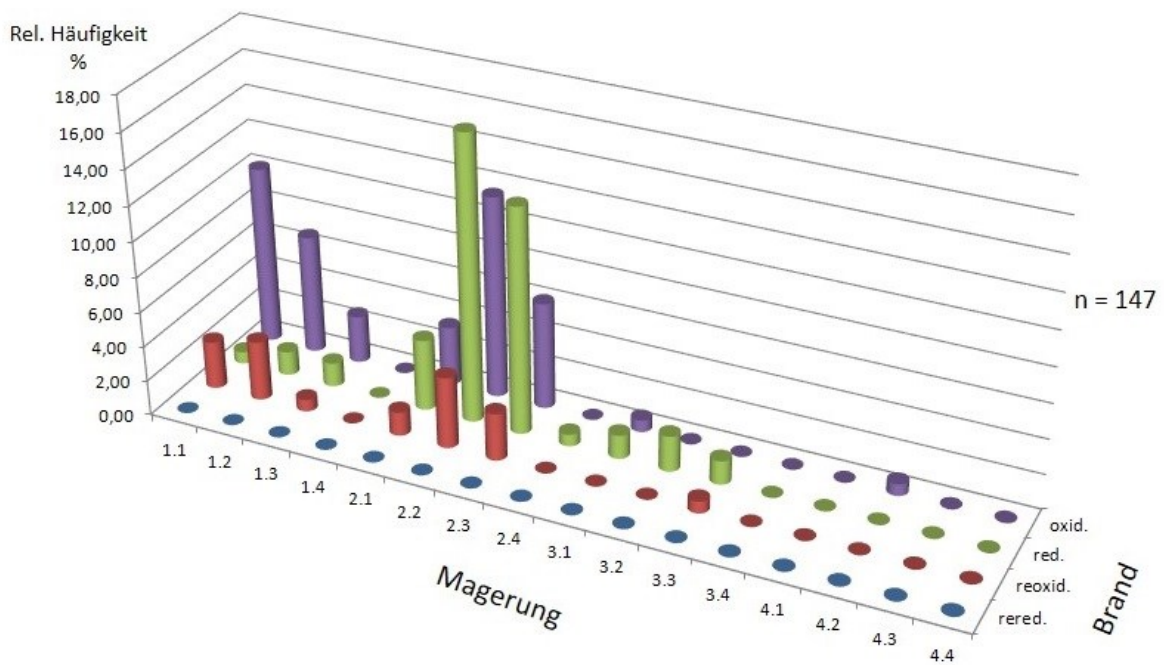


Abbildung 5.226: Keramik: $h_{\text{Gefäße}^*} = f(\text{Magerung}, \text{Brand})$ für den Fundkomplex Abfall (Geb. 3)

(Zahlenwerte zur Abb. siehe Tab. 5.307)

*: Abfall (Geb.3): Randscherben und 4 TS-Wandscherben

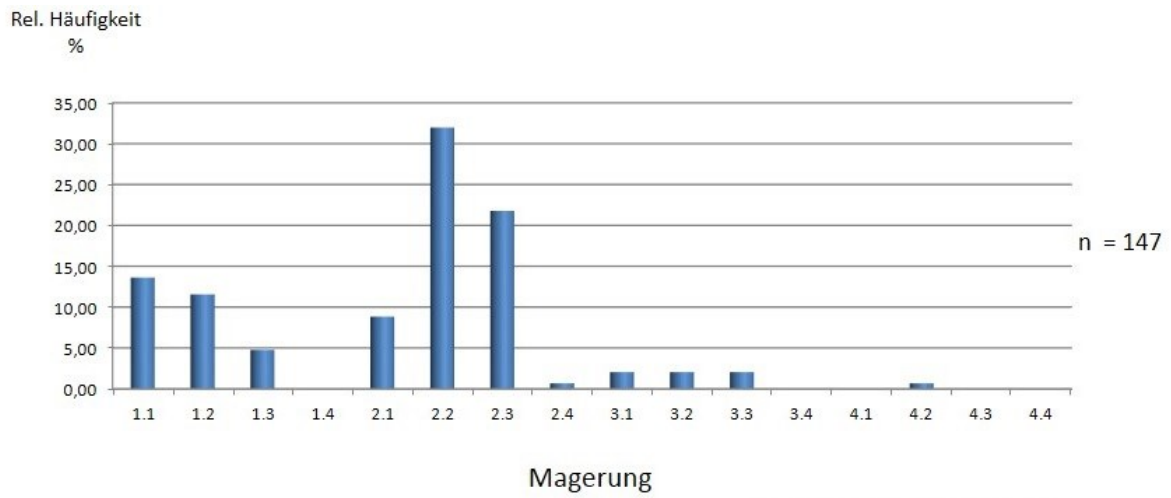


Abbildung 5.227: Keramik: $h_{\text{Gefäße}^*} = f(\text{Magerung})$ für den Fundkomplex Abfall (Geb. 3)
(Zahlenwerte zur Abb. siehe Tab. 5.308)

*: Randscherben und 4 TS-Wandscherben

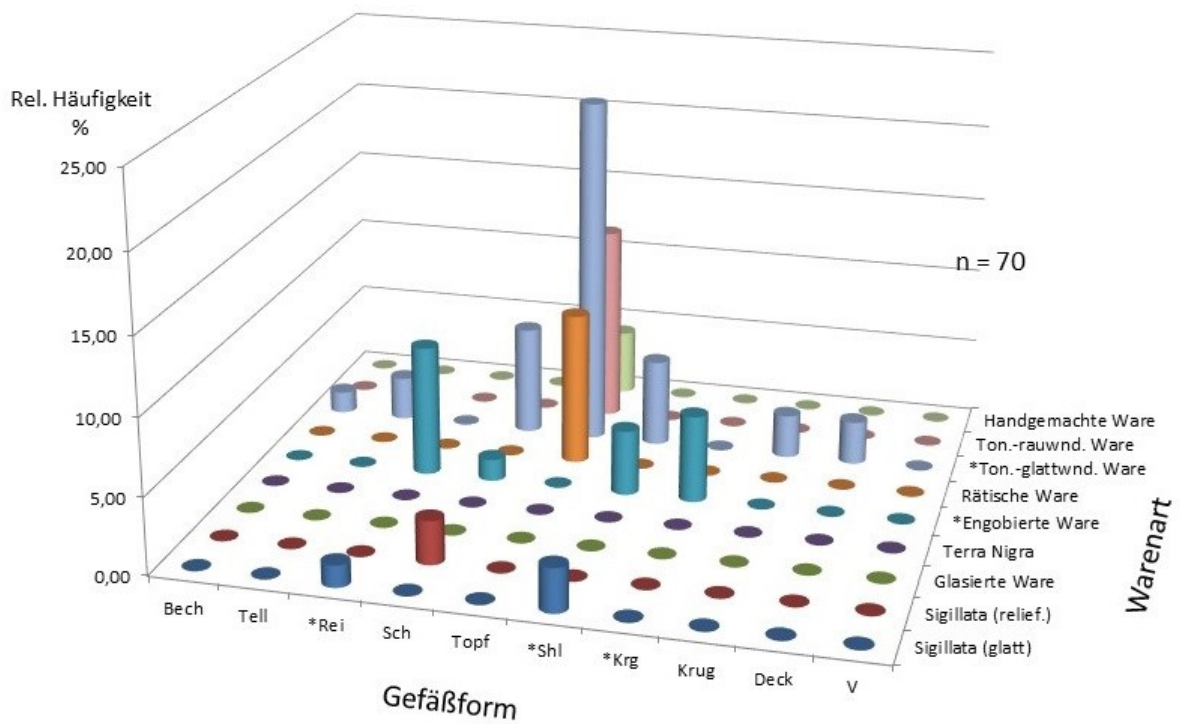


Abbildung 5.228: Keramik: $h_{\text{Gefäße}} = f(\text{Gefäßform}, \text{Warenart})$ für den Fundkomplex Abfall
(Bef.)
(Zahlenwerte zur Abb. siehe Tab. 5.330)

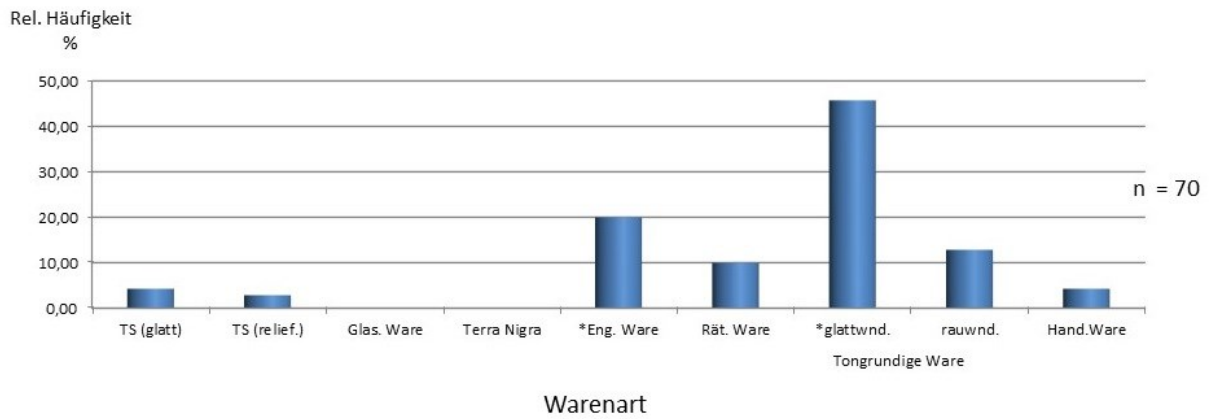


Abbildung 5.229: Keramik: $h_{\text{Gefäße}} = f(\text{Warenart})$ für den Fundkomplex Abfall (Bef.)
(Zahlenwerte zur Abb. siehe Tab. 5.331)

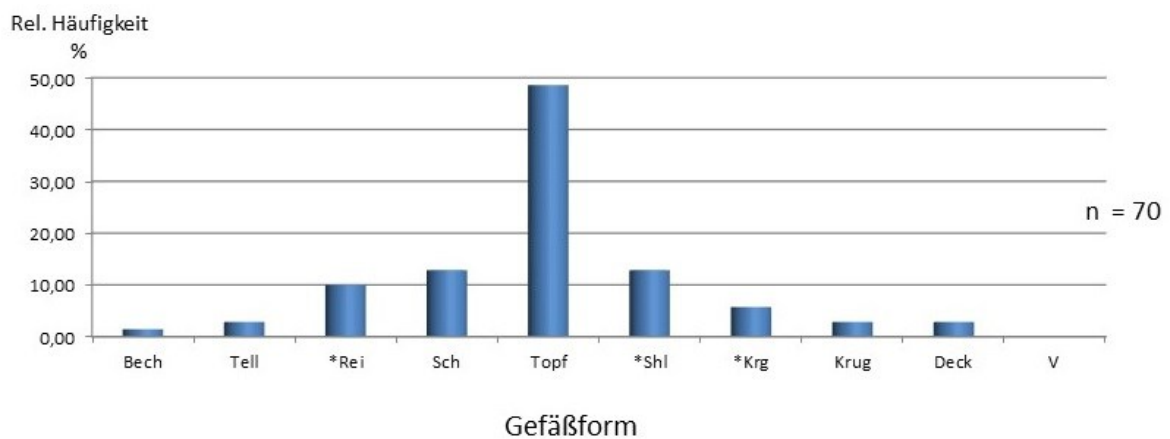


Abbildung 5.230: Keramik: $h_{\text{Gefäße}} = f(\text{Gefäßform})$ für den Fundkomplex Abfall (Bef.)
(Zahlenwerte zur Abb. siehe Tab. 5.332)

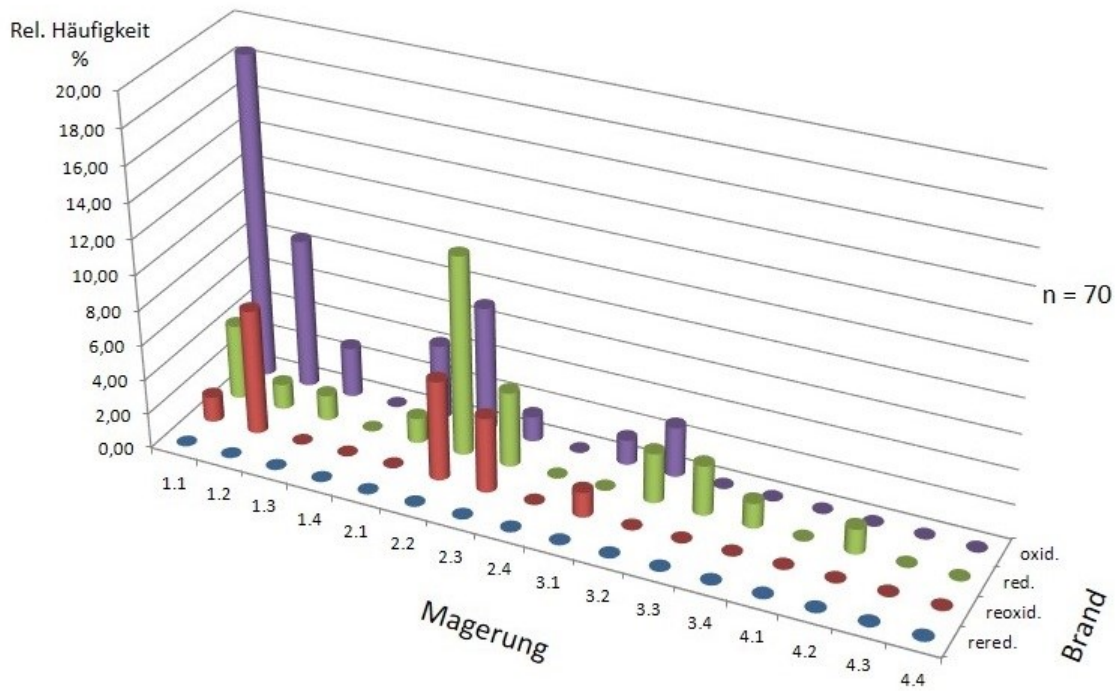


Abbildung 5.231: Keramik: $h_{\text{Gefäße}} = f(\text{Magerung}, \text{Brand})$ für den Fundkomplex Abfall (Bef.)
(Zahlenwerte zur Abb. siehe Tab. 5.333)

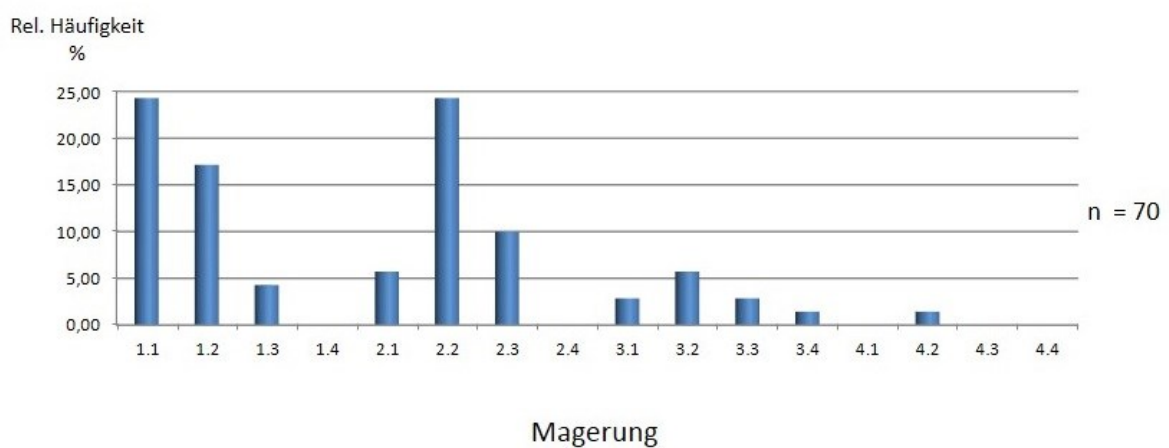


Abbildung 5.232: Keramik: $h_{\text{Gefäße}} = f(\text{Magerung})$ für den Fundkomplex Abfall (Bef.)
(Zahlenwerte zur Abb. siehe Tab. 5.334)

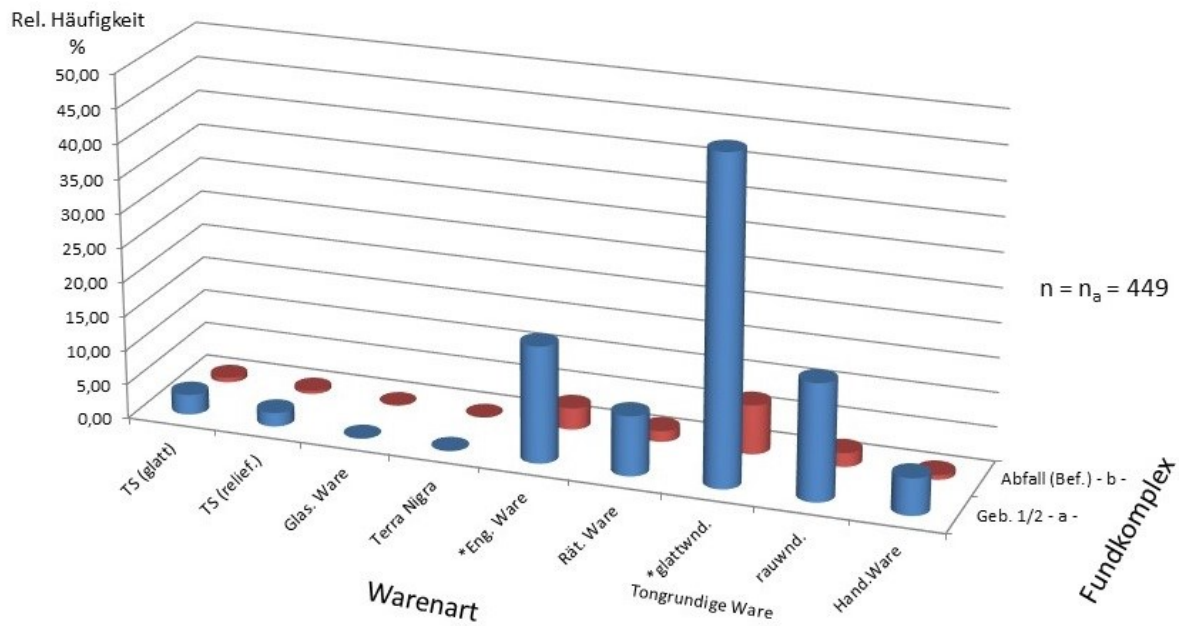


Abbildung 5.233: Keramik: $h_{\text{Gefäße}^*} = f(\text{Warenart}, (\text{Geb. 1/2}, \text{Abfall (Bef.)}))$
 (Zahlenwerte zur Abb. siehe Tab. 5.335)

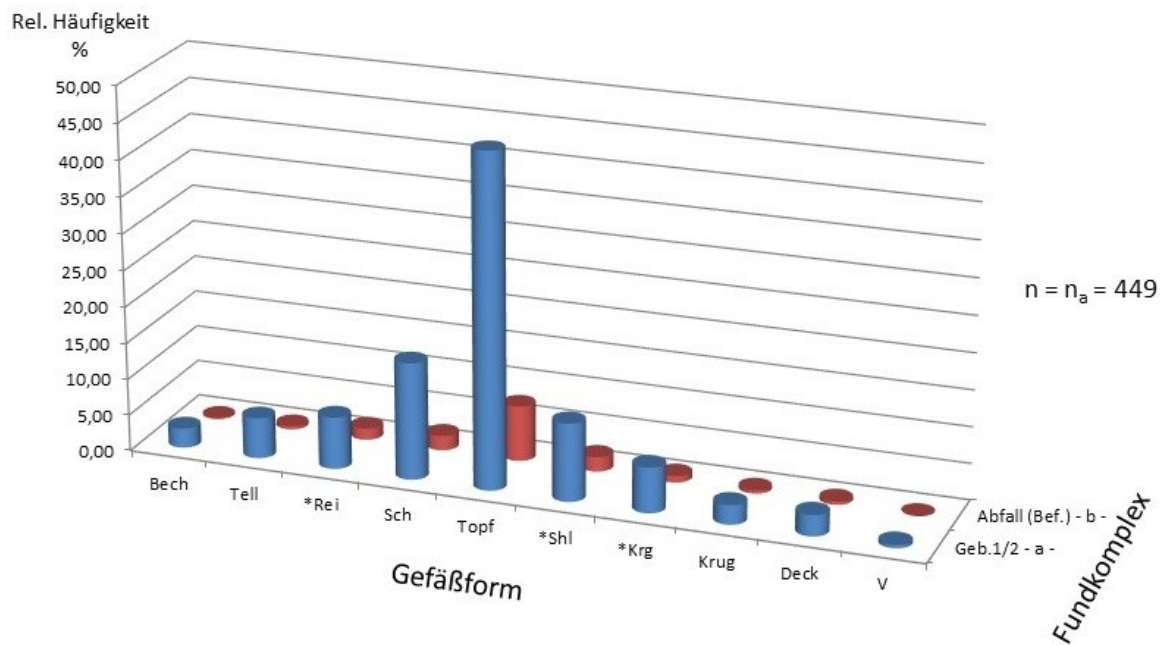


Abbildung 5.234: Keramik: $h_{\text{Gefäße}^*} = f(\text{Gefäßform}, (\text{Geb. 1/2}, \text{Abfall (Bef.)}))$
 (Zahlenwerte zur Abb. siehe Tab. 5.336)

*: Geb.1/2: Randscherben, 4 TS-Wand- und 3 TS-Bodenscherben
 Abfall (Bef.): Randscherben

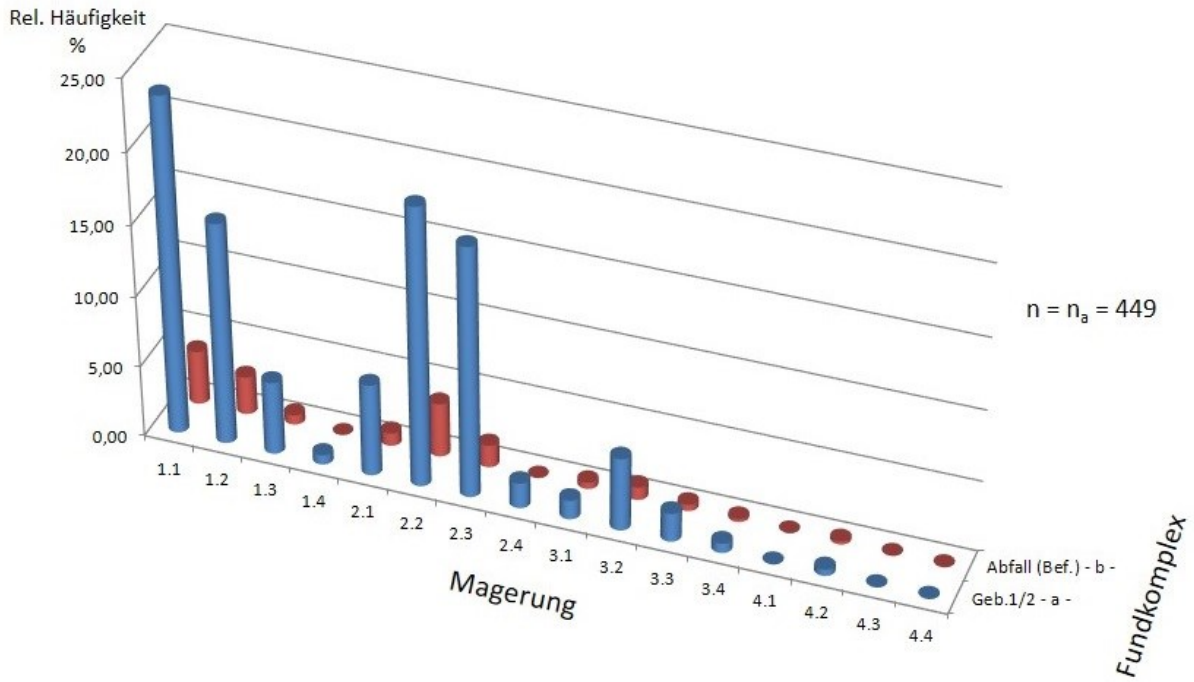


Abbildung 5.235: Keramik: $h_{\text{Gefäße}^*} = f(\text{Magerung}, (\text{Geb. 1/2}, \text{Abfall (Bef.)}))$
(Zahlenwerte zur Abb. siehe Tab. 5.337)

*: Geb.1/2: Randscherben, 4 TS-Wand- und 3 TS-Bodenscherben
Abfall (Bef.): Randscherben

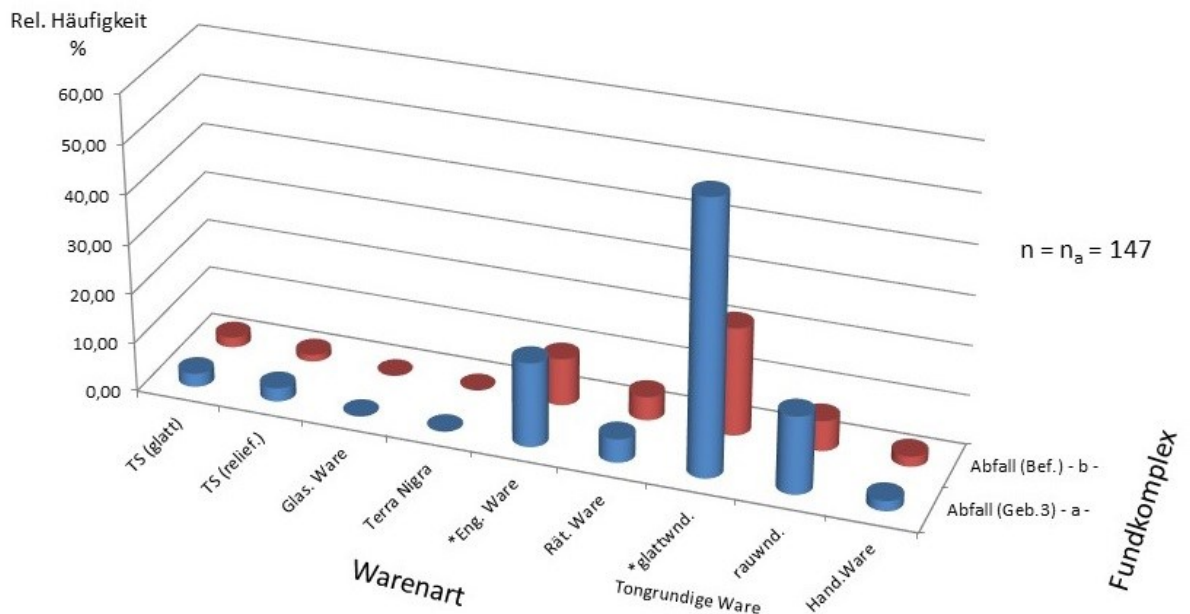


Abbildung 5.236: Keramik: $h_{\text{Gefäße}^*} = f(\text{Warenart}, (\text{Abfall (Geb. 3)}, \text{Abfall (Bef.)}))$
(Zahlenwerte zur Abb. siehe Tab. 5.338)

*: Abfall (Geb.3): Randscherbe und 4 TS-Wandscherben
Abfall (Bef.): Randscherben

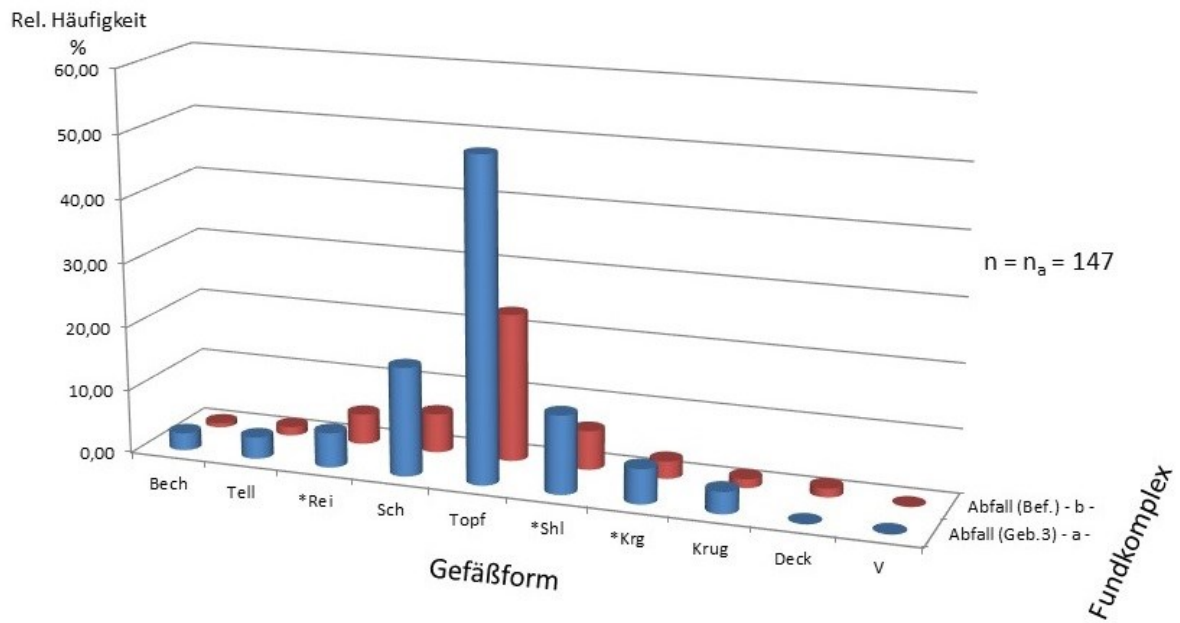


Abbildung 5.237: Keramik: $h_{\text{Gefäße}^*} = f(\text{Gefäßform}, (\text{Abfall (Geb. 3)}, \text{Abfall (Bef.)}))$
 (Zahlenwerte zur Abb. siehe Tab. 5.339)

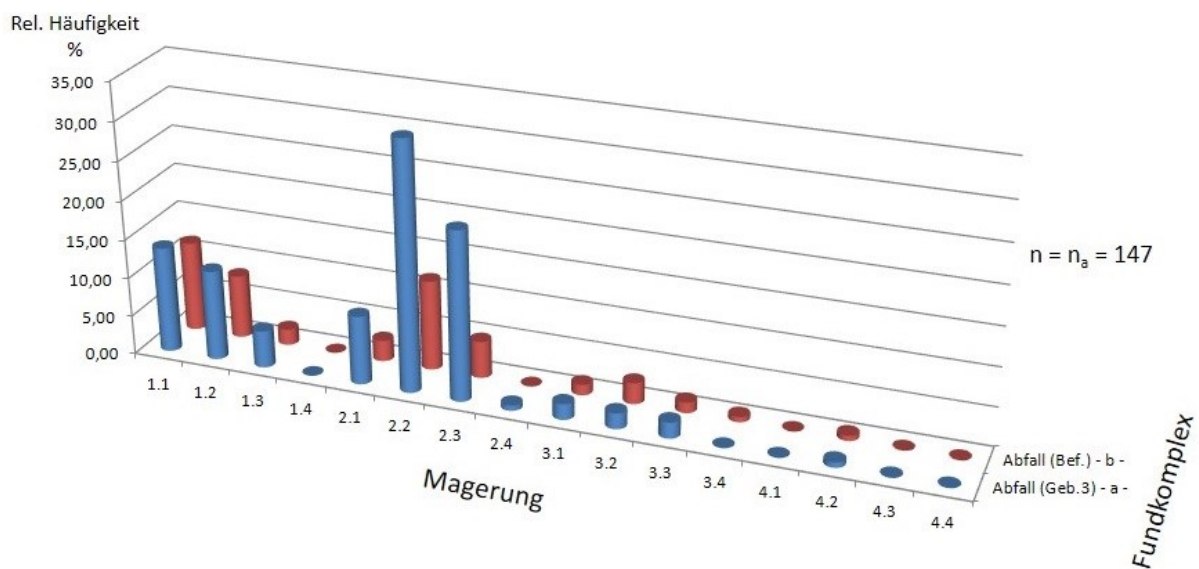


Abbildung 5.238: Keramik: $h_{\text{Gefäße}^*} = f(\text{Magerung}, (\text{Abfall (Geb. 3)}, \text{Abfall (Bef.)}))$
 (Zahlenwerte zur Abb. siehe Tab. 5.340)

*: Abfall (Geb.3): Randscherbe und 4 TS-Wandscherben
 Abfall (Bef.): Randscherben

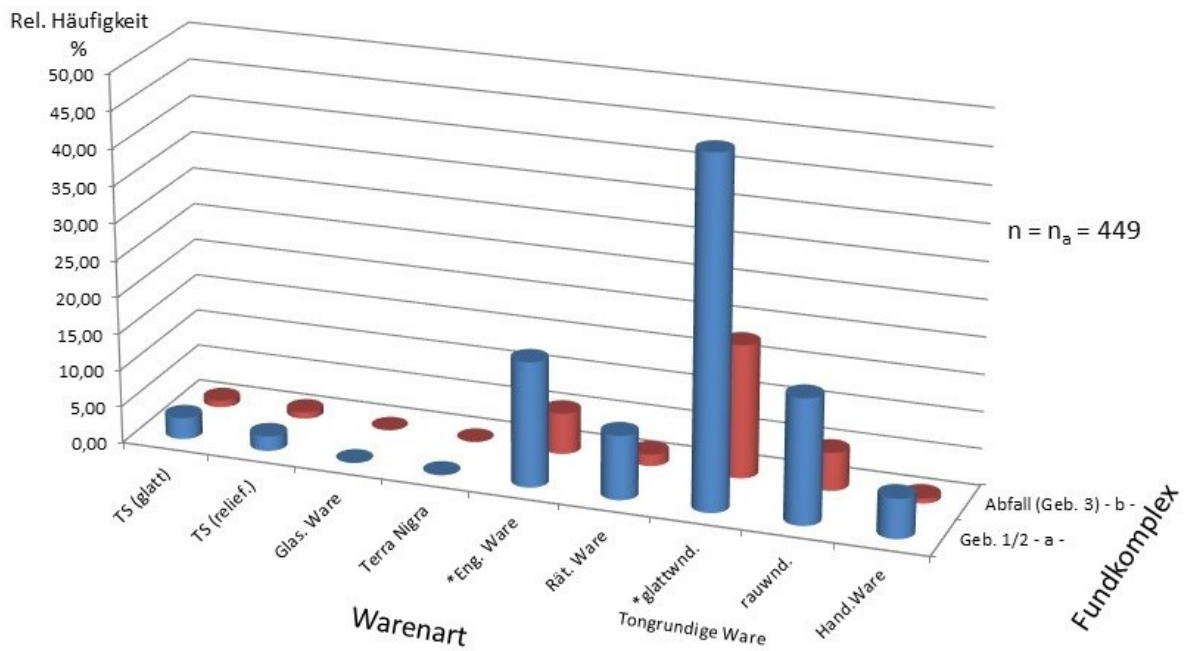


Abbildung 5.239: Keramik: $h_{\text{Gefäße}^*} = f(\text{Wareart}, (\text{Geb. 1/2}, \text{Abfall (Geb. 3)}))$
 (Zahlenwerte zur Abb. siehe Tab. 5.341)

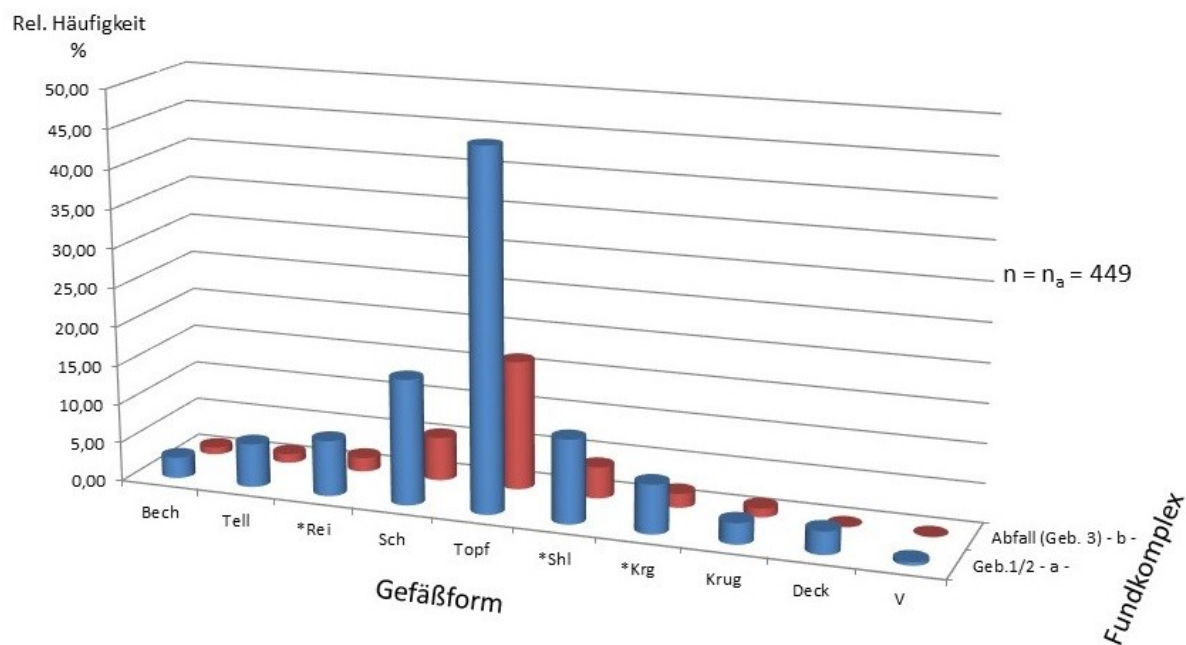


Abbildung 5.240: Keramik: $h_{\text{Gefäße}^*} = f(\text{Gefäßform}, (\text{Geb. 1/2}, \text{Abfall (Geb. 3)}))$
 (Zahlenwerte zur Abb. siehe Tab. 5.342)

*: Geb. 1/2: Randscherbe, 4 TS-Wand- und 3 TS-Bodenscherben
 Abfall (Geb.3): Randscherbe und 4 TS-Wandscherben

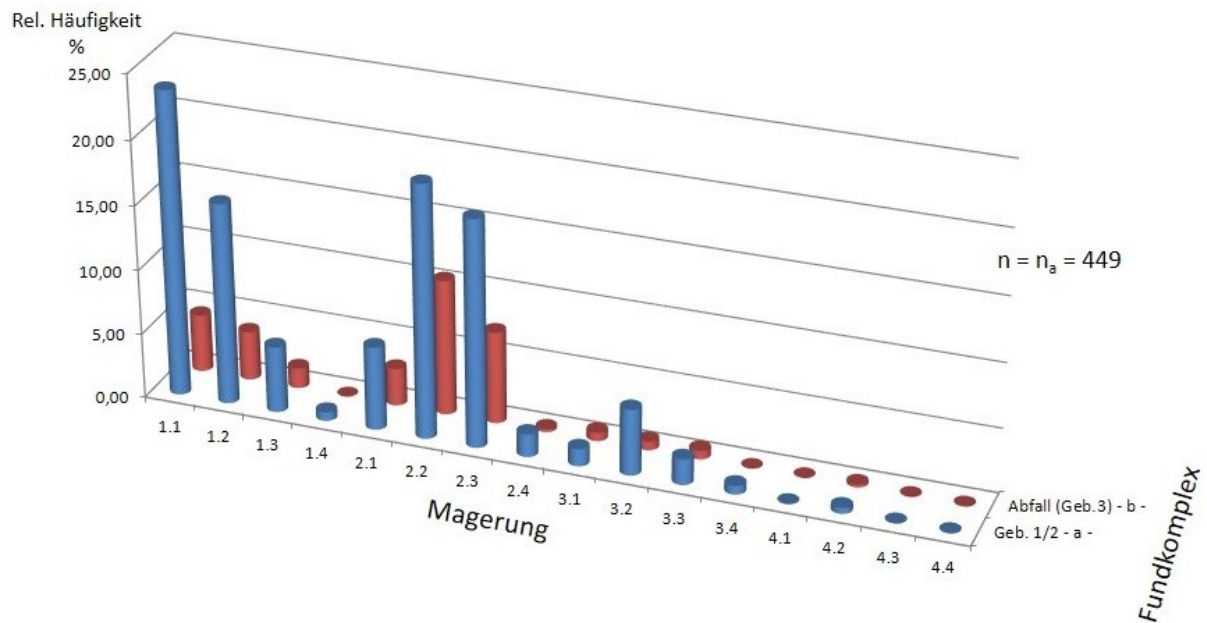


Abbildung 5.241: Keramik: $h_{\text{Gefäße}^*} = f(\text{Magerung}, (\text{Geb. 1/2}, \text{Abfall (Geb. 3)}))$
(Zahlenwerte zur Abb. siehe Tab. 5.343)

*: Geb. 1/2: Randscherbe, 4 TS-Wand- und 3 TS-Bodenscherben
Abfall (Geb.3): Randscherbe und 4 TS-Wandscherben

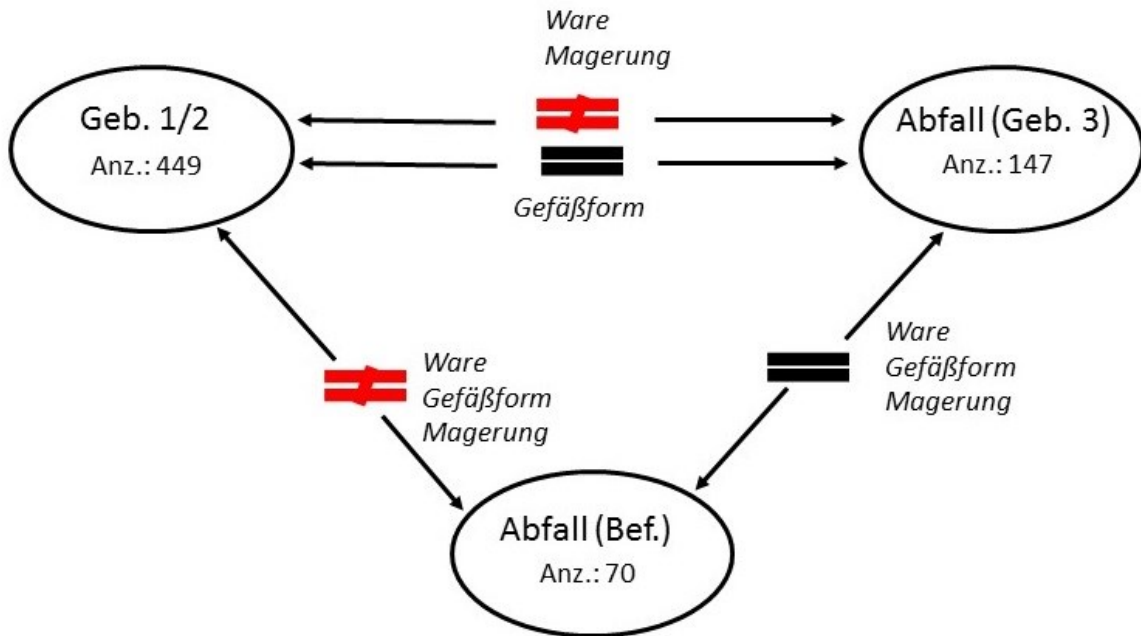


Abbildung 5.242: Keramik: Identitätsabhängigkeiten der Fundkomplexe Abfall

Legende: = : „identisch“
 ≠ : „nicht identisch“

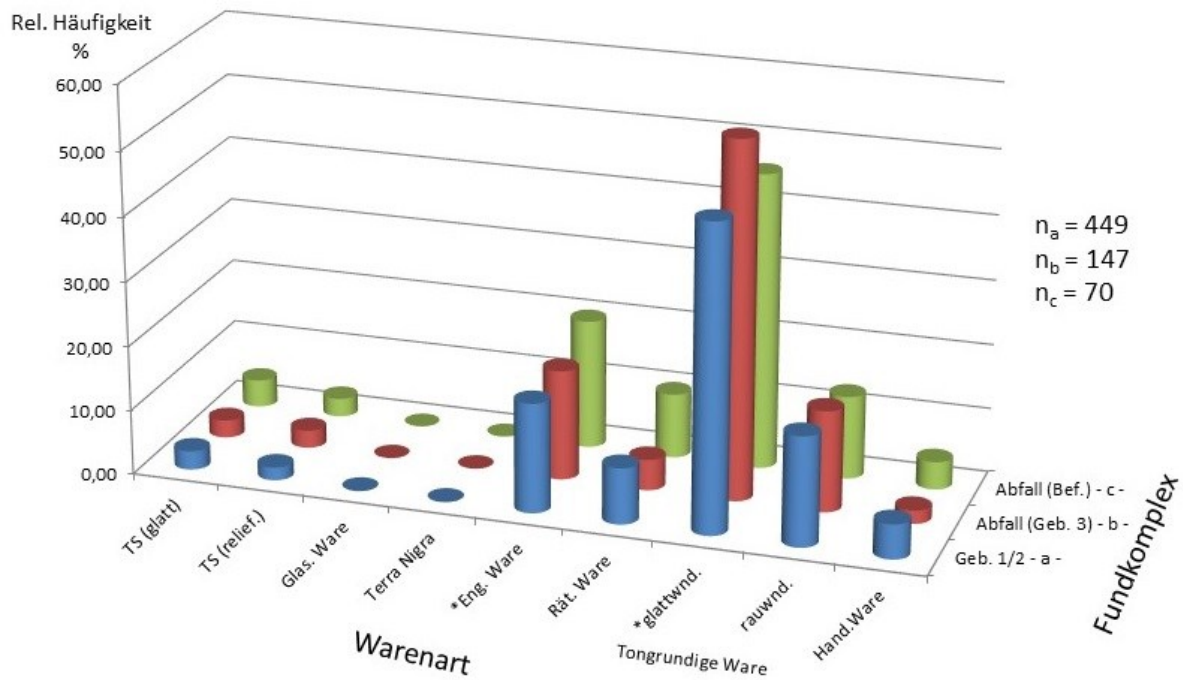


Abbildung 5.243: Keramik: $h_{\text{Gefäße}^*} = f(\text{Wareart}, (\text{Geb. 1/2}, \text{Abfall (Geb. 3)}, \text{Abfall (Bef.)}))$
 (Zahlenwerte zur Abb. siehe Tab. 5.344)

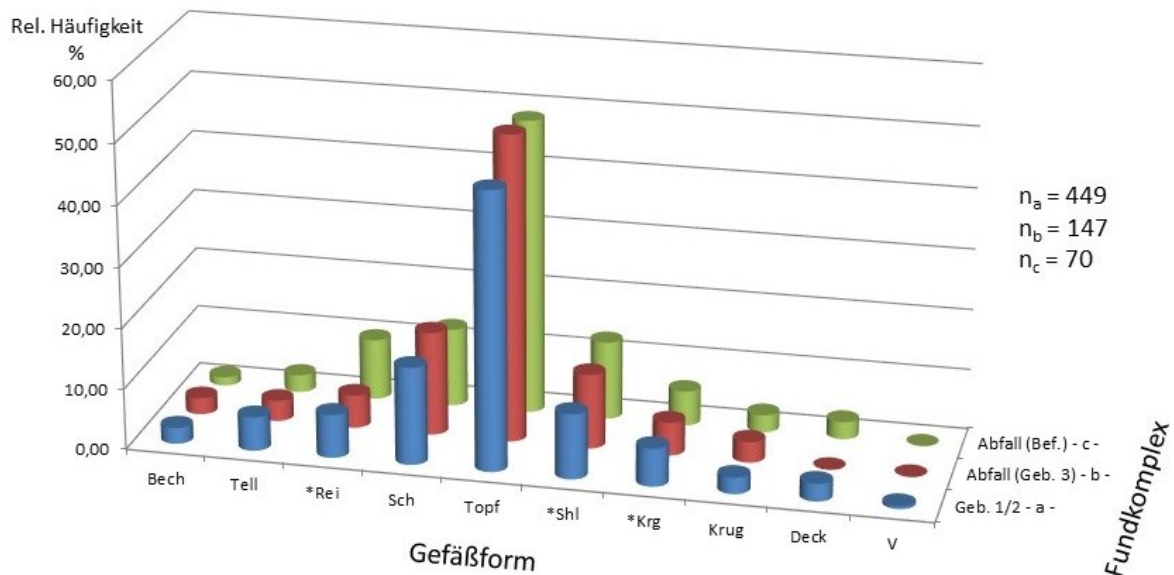


Abbildung 5.244: Keramik: $h_{\text{Gefäße}^*} = f(\text{Wareart}, (\text{Geb. 1/2}, \text{Abfall (Geb. 3)}, \text{Abfall (Bef.)}))$
 (Zahlenwerte zur Abb. siehe Tab. 5.345)

*: Geb. 1/2: Randscherbe, 4 TS-Wand- und 3 TS-Bodenscherben
 Abfall (Geb.3): Randscherbe und 4 TS-Wandscherben
 Abfall (Bef.): Randscherben

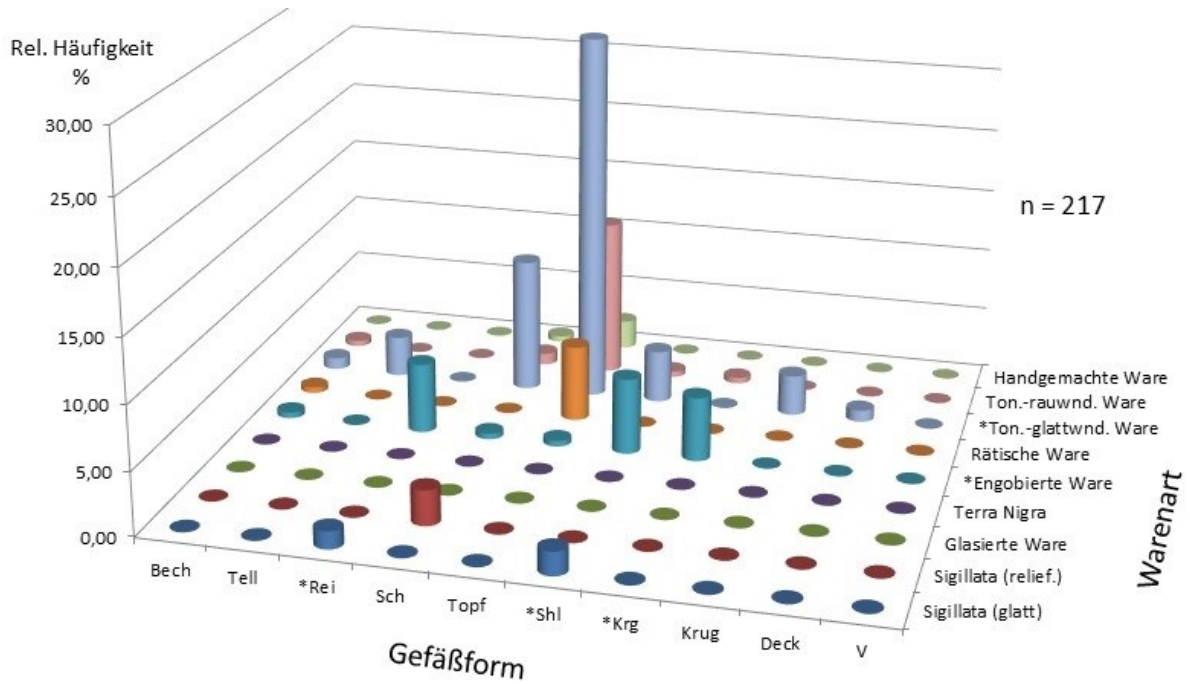


Abbildung 5.245: Keramik: $h_{\text{Gefäße}^*} = f(\text{Gefäßform}, \text{Wareart})$ für den Fundkomplex Abfall
 (Zahlenwerte zur Abb. siehe Tab. 5.347)

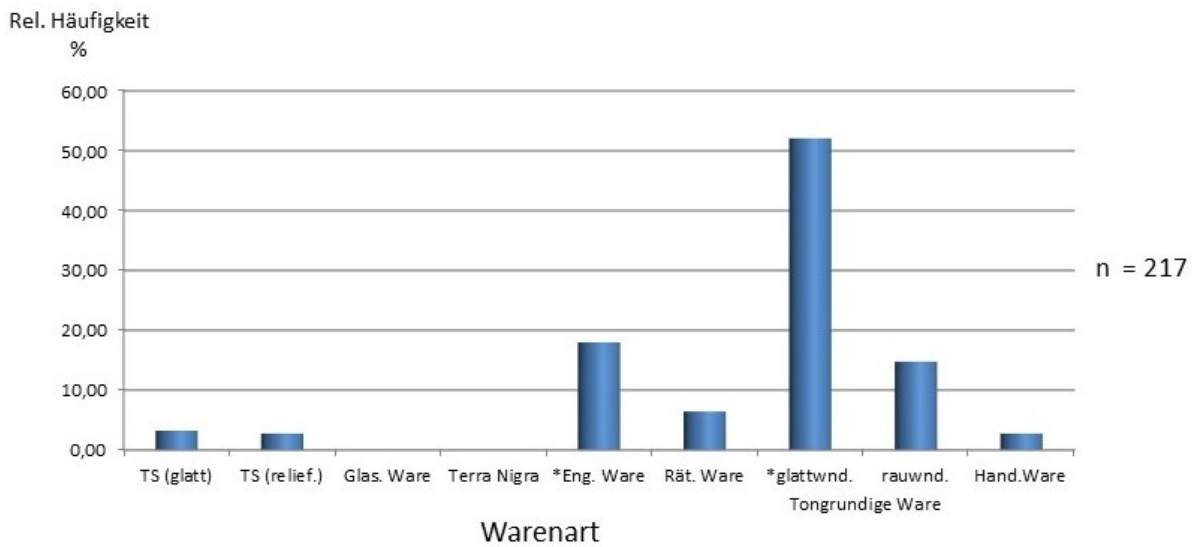


Abbildung 5.246: Keramik: $h_{\text{Gefäße}^*} = f(\text{Wareart})$ für den Fundkomplex Abfall
 (Zahlenwerte zur Abb. siehe Tab. 5.348)

*: Randscherben und 4 TS-Wandscherben

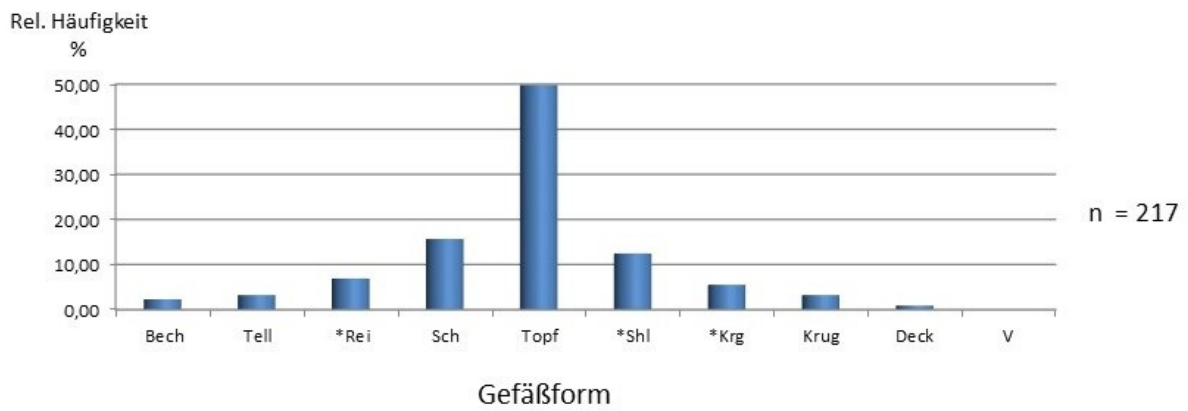


Abbildung 5.247: Keramik: $h_{\text{Gefäße}^*} = f(\text{Gefäßform})$ für den Fundkomplex Abfall
(Zahlenwerte zur Abb. siehe Tab. 5.349)

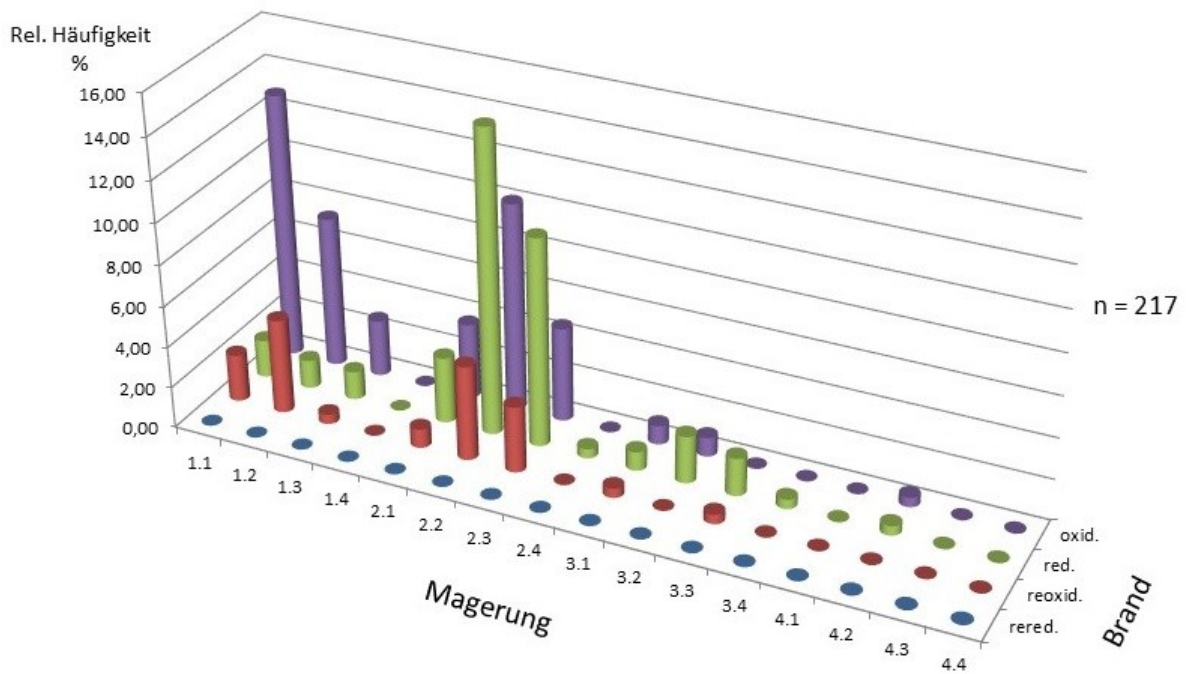


Abbildung 5.248: Keramik: $h_{\text{Gefäße}^*} = f(\text{Magerung}, \text{Brand})$ für den Fundkomplex Abfall
(Zahlenwerte zur Abb. siehe Tab. 5.350)

*: Randscherben und 4 TS-Wandscherben

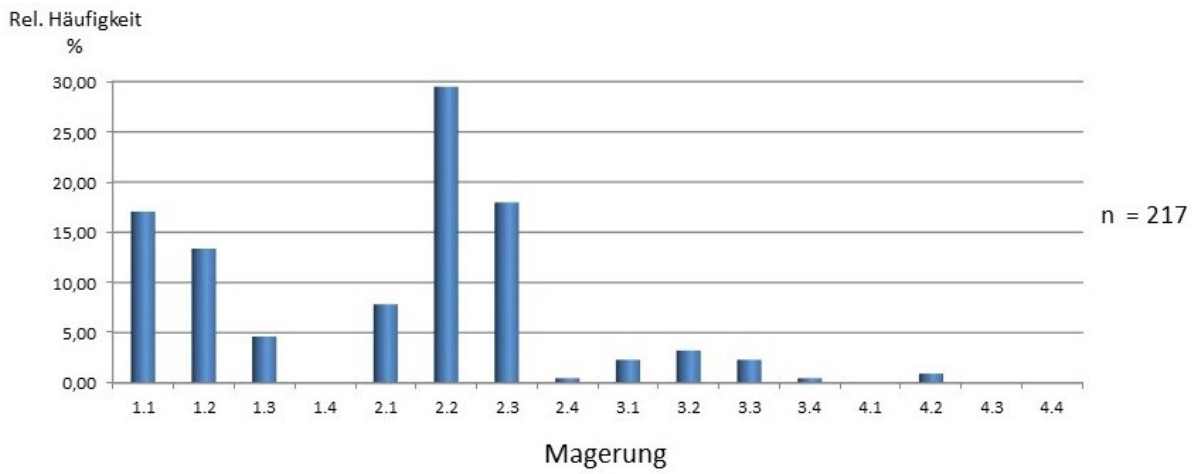


Abbildung 5.249: : Keramik: $h_{\text{Gefäße}^*} = f(\text{Magerung})$ für den Fundkomplex Abfall
(Zahlenwerte zur Abb. siehe Tab. 5.351)

*: Randscherben und 4 TS-Wandscherben

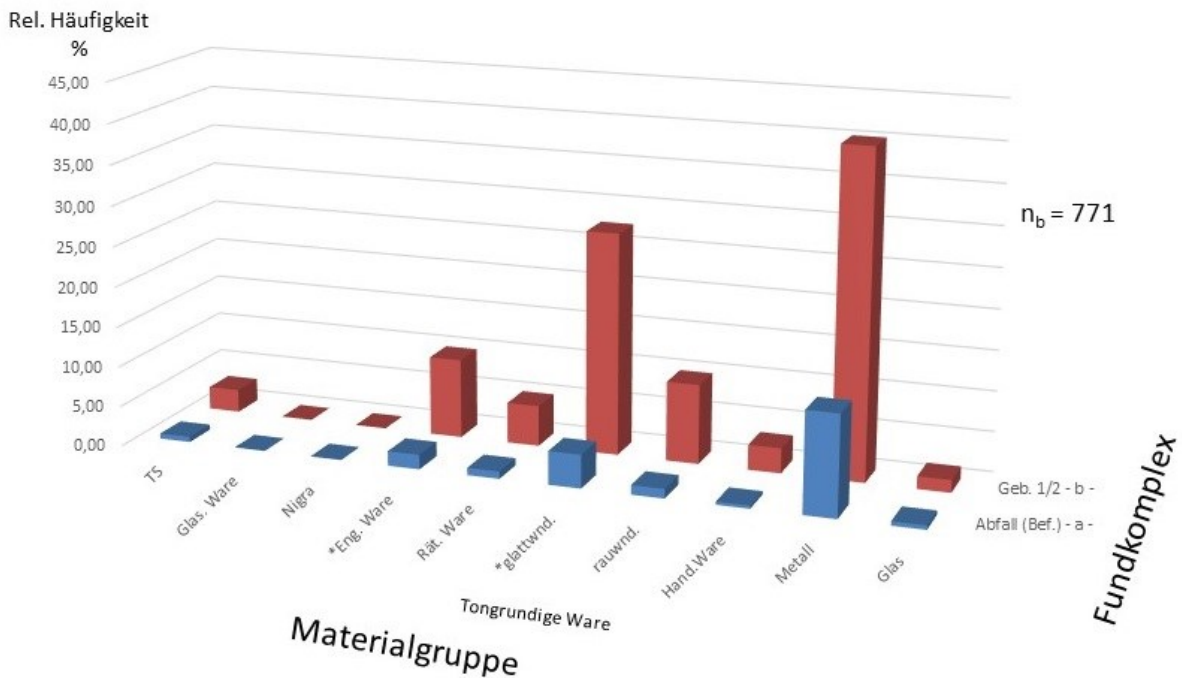


Abbildung 5.250: Material: $h_{\text{Objekte}} = f(\text{Materialgruppe}, (\text{Abfall (Bef.)}, \text{Geb. 1/2}))$
(Zahlenwerte zur Abb. siehe Tab. 5.353)

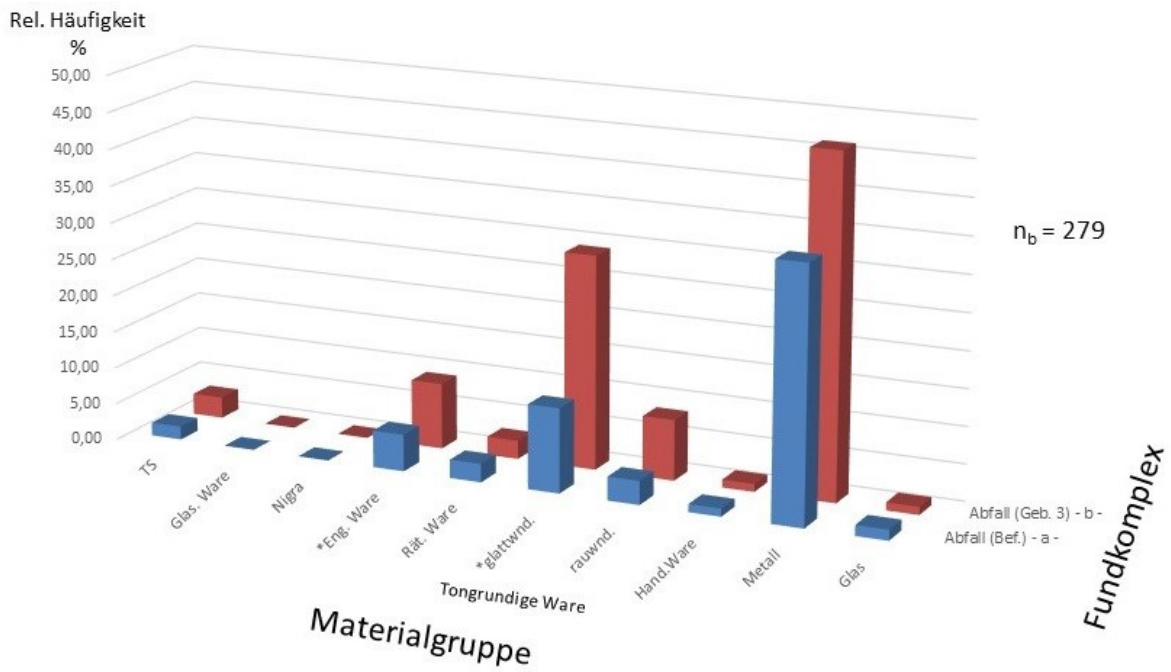


Abbildung 5.251: Material: $h_{\text{Objekte}} = f(\text{Materialgruppe}, (\text{Abfall (Bef.)}, \text{Abfall (Geb. 3)}))$
 (Zahlenwerte zur Abb. siehe Tab. 5.354)

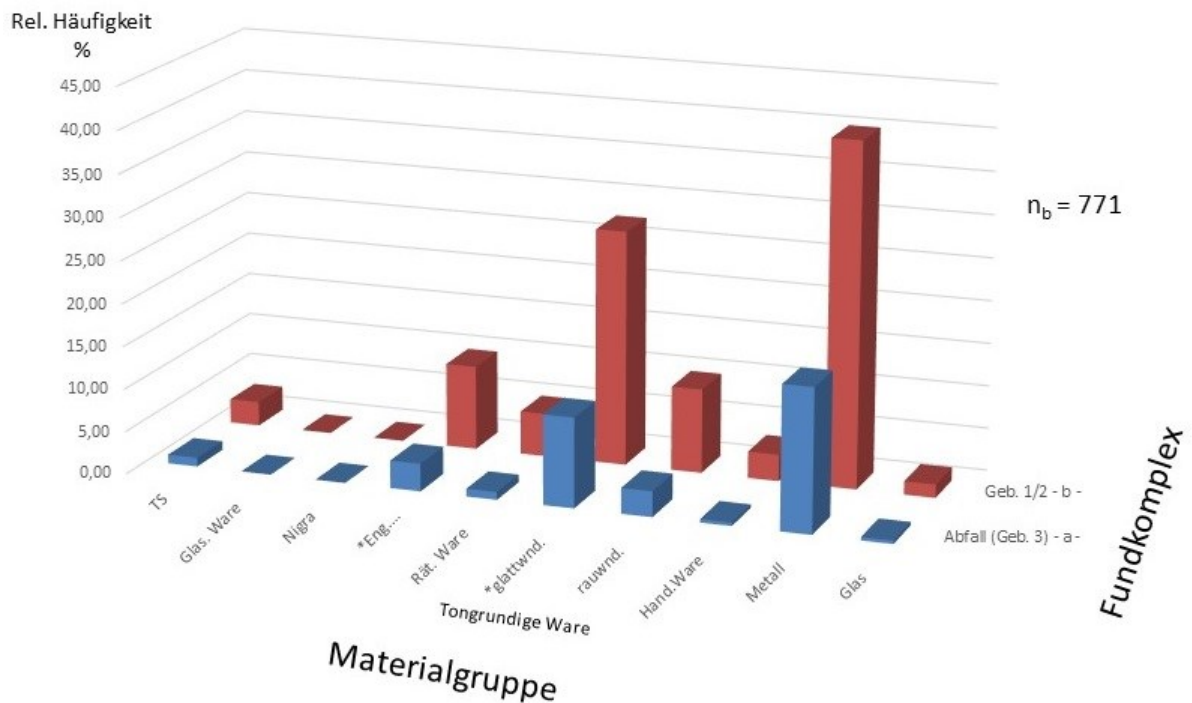


Abbildung 5.252: Material: $h_{\text{Objekte}} = f(\text{Materialgruppe}, (\text{Abfall (Geb. 3)}, \text{Geb. 1/2}))$
 (Zahlenwerte zur Abb. siehe Tab. 5.355)